ГОСУДАРСТВЕННЫЙ КОМИТЕТ СССР ПО ГИДРОМЕТЕОРОЛОГИИ И КОНТРОЛЮ ПРИРОДНОЙ СРЕДЫ

ЛИТОВСКОЕ РЕСПУБЛИКАНСКОЕ УПРАВЛЕНИЕ ПО ГИДРОМЕТЕОРОЛОГИИ И КОНТРОЛЮ ПРИРОДНОЙ СРЕДЫ

КЛИМАТ

Вильнюса и Каунаса

Под редакцией канд геогр. наук К. А. ҚАУШИЛЫ и д-ра геогр. наук Ц. А. ШВЕР



Ленинград Гидрометеоиздат 1983 В книге содержатся результаты многолетних исследований климата столицы Литовской ССР Вильнюса и второго по величине промышленного центра республики — Каунаса. Приведены сведения о развитии метеорологических наблюдений и климатологической изученности. Рассматриваются климатообразующие факторы, режим солнечной радиации, встра, температуры, влажности, осадков и атмосферных явлений в их сложной взаимосвязи. Определены местные критерии и характерные особенности времен года.

Особое внимание отводится установлению и сравнению различий между климатом города и пригорода, а также зависимости основных показателей климатам города и пригорода, а также зависимости основных показатели саниклимата от элементов застройки. Рассмотрены основные показатели санитарно-гигненического состояния воздушного бассейна городов. На основе анализа ландшафтной и урбанистической структуры описываемых городов анализа ландшафтной и урбанистического районирования. В тексте и в приразработана схема их мезоклиматического районирования. В тексте и в приразработана схема их мезоклиматического районирования в тексте и в приразработана схема их мезоклиматического районирования и традостроителей, комплексных климатических показателей, интересующих градостроителей, работников медицины, промышленности, транспорта и коммунального хозяй-ства. Книга будет полезной и для широкого круга читателей, интересующихся вопросами географии городов, климатологии и урбанистики.

КЛИМАТ ВИЛЬНЮСА И КАУНАСА

Редактор Г. А. Солдатова. Техн. редактор Е. А. Маркова. Корректор Л. И. Хромова

Сдано в набор 19.11.80. Подписано в лечать 28.03.83. М-38360. Формат 60×90⁴/₁₈. Бум. тип. № 1. Гарнитура литературная. Печать высокая. Печ. л. 14. Кр.-отт. 14.26. Уч.-изд. л. 16.11. Тираж 500 экз. Индекс МЛ-52. Заказ № 312. Цена 1 руб. Гидрометеонздат. 199053, Ленинград, 2-я линия, д. 23.

Ордена грудового Красного Знамени тип. им. Володарского Лениздата, 191023, Ленин-Ордена грудового Красного Знамени тип. им. Володарского Лениздата, 191023, Ленин-

Гидрометеру.... 1903040000-042 к 1111 (1908) (1990-83 Майгохтенская пр. 93

© Литовское республиканское управление по гидрометеорологии и контролю природной среды (Литовское УГКС) 1983 г.

ПРЕДИСЛОВИЕ

Современный город представляет собой сложный экономико-географический, архитектурно-инженерный и социально-культурный комплекс. В городах сосредоточена основная часть промышленного потенциала и транспортных средств. В 1979 г. в Советском Союзе в городах и населенных пунктах городского типа проживало 62% населения, в частности в Литве — 60%. В соответствии с решениями XXVI съезда КПСС в одиннадцатой пятилетке предусмотрено построить жилые дома общей площадью 530—540 млн. кв. метров 1.

Развитие современного социалистического города осуществляется с учетом сложного и многогранного взаимодействия между городом и окружающей его природной средой. В первую очередь это относится к учету сложившегося климата города и его окрестностей с целью рационального использования гидрометеорологических ресурсов и улучшения гигиенического состояния воздушного бассейна, планирования и проведения мероприятий по сохранению экологического равновесия. Все это требует более полной и многообразной информации о климате, чем та, которая учитывается в настоящее время плановыми, проектными организациями и производственно-эксплуатационными службами.

Город не только испытывает разностороннее влияние окружающей среды, в том числе и ее климатического фона, но и сам влияет на свое окружение, создает особые черты «городского климата», прослеживаемые на режиме всех основных метеорологических элементов и явлений. Поэтому изучение климата городов является современной и очень важной задачей, приобретающей с развитием урбанизации все возрастающее значение.

Общие научно-методические основы описания климата больших городов разработаны в Главной геофизической обсерватории им. А. И. Воейкова. Описание климата Вильнюса и Каунаса составлено в Вильнюсской гидрометеорологической обсер-

¹ Основные паправления экономического и социального развития СССР на 1981—1985 годы и на период до 1990 года. — М.: Политиздат, 1981, с. 66.

ватории Литовского республиканского управления по гидрометеорологии и контролю природной среды. Организация постов для наблюдений и другие подготовительные работы по исследованию микроклимата Вильнюса и санитарно-гигиенического состояния воздушного бассейна Вильнюса и Каунаса проведены в течение 1972—1976 гг. канд. геогр. наук П. Коркутисом при участии канд. биол. наук А. Дединас, ст. инженера Г. Каджюлите, инженеров М. Апанавичене, А. Гасюнас, И. Пямпайте и С. Шидлаускайте. Основные работы по сбору метеорологической информации, ее обработке и составлению таблиц выполнены в отделе прикладной климатологии ВГМО. В состав авторского коллектива, подготовившего текст описания климата Вильнюса и Каунаса, вошли: инженер А. Багдонавичюс (гл. 2), канд. физ.-мат. наук А. И. Буз (раздел 3.1), ст. инженер Г. Алосявичене (гл. 6, раздел 3.2); канд. геогр. наук, доцент К. Каушила (гл. 1, 4, 5, 7, 8; раздел 3.2), инженер В. Кондратавичене (разделы 3.3, 4.2), канд. геогр. наук П. Коркутис и инженер А. Гедрайтене (гл. 9), сотрудник Института архитектуры Литовской ССР А. Пикутис (раздел 5.3).

Научно-методическое рецензирование проведено в ГГО ст. научным сотрудником Н. Г. Горышиной, мл. научным сотрудником Л. Г. Васильевой и ст. инженером Г. И. Прилипко.

Редактирование настоящего издания проведено канд. геогр.

наук К. Каушила и канд. геогр. наук Ц. А. Швер.

Коллектив авторов в своей работе руководствовался методической помощью и советами многих других специалистов. Всем им он выражает искреннюю признательность и благодарность.

1. ВВЕДЕНИЕ

1.1. Историческое развитие Вильнюса и Каунаса

Столица Литовской ССР Вильнюс и второй по величине промышленный и культурный центр республики Каунас возникли на месте мелких поселений раннего средневековья в условиях оборонительной борьбы литовского народа с орденом немецких рыцарей-крестоносцев. В начале XIV в. и Вильнюс (1323 г.), и Каунас (1361 г.) были относительно небольшими, в основном деревянными селениями торговцев и ремесленников. Многочисленные пожары и грабежи во время вражеских нашествий были основной помехой для их дальнейшего роста, однако во время перемирий в них происходила постепенная концентрация как местного населения, так и приглашаемых князьями иностранных торговцев и ремесленников. Рост Вильнюса, стоявшего в глубине края и служившего административным центром, естественно, происходил быстрее, чем рост пограничного Каунаса, несколько раз переходившего из рук в руки, уничтожаемого и вновь отстраиваемого.

В начале XVI в. в Вильнюсе уже насчитывалось 25 тыс. жителей, его селитебная территория составляла 0,85 км² и была окружена трехкилометровой оборонительной стеной высотой 12—14 м. Среди многочисленных ремесленных мастерских стали появляться и более крупные предприятия — мануфактуры. В Каунасе в начале XVII в. проживало только около 5 тыс. жителей, но и в нем было немало каменных зданий и своя оборонительная стена. Хотя рост упомянутых городов в XVII и XVIII вв. замедлялся эпидемнями, пожарами и вражескими нашествиями (Северная война и др.), в конце XVIII в. в Вильнюсе уже проживало около 90 тыс. жителей, город имел университет, учрежденный в 1579 г., и многочисленные каменные постройки. В 1795 г. Вильнюе и Каунае были присоединены к Российской империи. Во время наполеоновского нашествия оба города сильно пострадали. В 1840 г. население Вильнюса составило только 54 тыс. жителей, а Каунаса — всего 8,5 тыс.

Во второй половине XIX в. в Вильнюсе и Каунасе начинает развиваться промышленность. Постройка железных дорог (1860—1870 гг.) оживила товарообмен. Все увеличивающееся население и промышленные предприятия не могли разместить-



Рис. 1. Исторический центр г. Вильнюса.

ся в старых границах перенаселенной селитебной территории. К западу от исторически сложившегося одно- и двухэтажного центра Вильнюса (рис. 1) выросли трех- и четырехэтажные каменные жилые и промышленные кварталы нового города. Вокруг них выстраивались дачи и усадьбы, со временем запол-

нившие значительную часть долины по обе стороны р. Нярис. Новые промышленные и жилые районы Каунаса разместились на востоке от старого центра и заполнили всю нижнюю правобережную часть долины р. Нямунас, а предместья распространились па склоны и примыкающие к ним участки окружающей равнины. Число жителей Вильнюса к 1914 г. превысило 200 тыс. (рис. 2). Подобными темпами рос и Каунас, хотя в нем, исходя из стратегических соображений, царским правительством было запрещено строительство зданий, выше чем в два этажа.

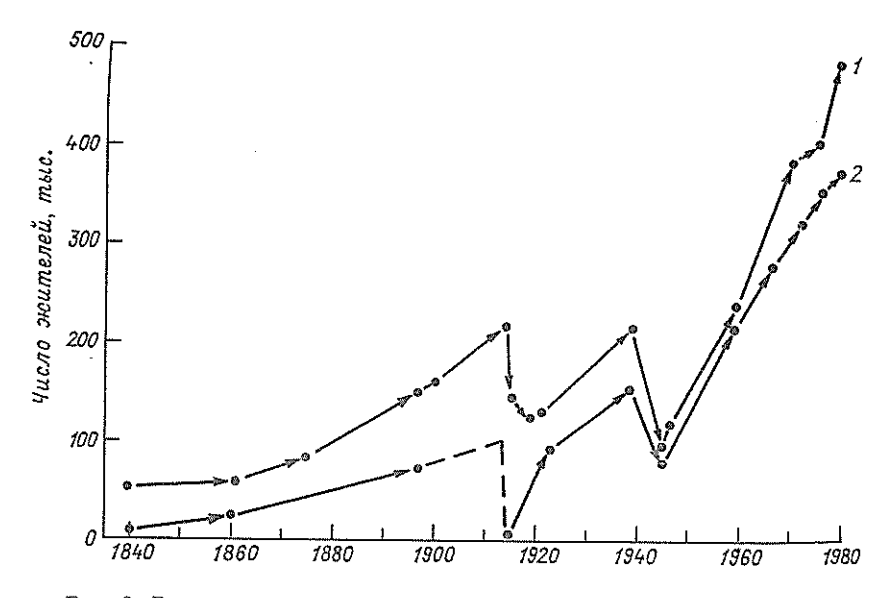


Рис. 2. Рост числа жителей в городах Вильнюсе (1) и Каунасе (2).

Во время первой мировой войны основные предприятия и значительная часть трудового населения обоих городов были эвакупрованы. В Каунасе в 1915 г. осталось всего 5 тыс. жителей.

В 20—30 гг. XX в. предпосылки для дальнейшего роста обоих городов коренным образом изменились в пользу Каунаса, ставшего временной столицей буржуазной Литвы. К 1939 г. его площадь составила 40 км², число жителей — 152 тыс. В городе развивалась легкая и пищевая промышленность. Однако и развитие Каунаса ограничивалось обострившимся в 1929—1935 гг. экономическим кризисом. Вильнюс, вошедший в состап буржуазной Польши, к 1939 г. не достиг по числу населения даже уровня 1914 г., хотя его административная площадь и была увеличена до 104 км².

Вторая мировая война и фашистская оккупация нанесли обоим городам ущерб невиданного масштаба. В одном только

Вильнюсе было уничтожено более 40% жилого фонда, выведены из строя почти все крупные объекты коммунального хозяйства и промышленные предприятия. Численность населения сократилась более чем на половину. Благодаря быстрым и решительным действиям Советской Армии потери Каунаса в жилом фонде были меньше, но и в нем было выведено из строя около 60% предприятий, все мосты и железнодорожный вокзал.

После войны в условиях социалистического строя восстановление и развитие Вильнюса и Каунаса проходило усиленными темпами. Уже в середине первой послевоенной пятилетки уровень промышленности и количество жителей были равны довоенным. За 20 послевоенных лет жилой фонд Вильнюса увеличился в два раза. В нем построены новые крупные промышленные районы на юго-западной, северной и восточной окраинах города. На месте обветшалых деревянных пригородов к 1964 г. выросли современные жилые массивы из крупнопанельных домов в 5—8 этажей, свободно расположенных среди окружающих зеленых насаждений (Антакальнис, Вингис). Согласно Генеральному плану 1964 г. осуществлено комплексное освоение новых жилых районов на северной и северо-западной окраинах города (Жирмунай, Лаздинай, Каролинишкес, Виршулишкес и др.), где выстроены дома повышенной этажности (8—12 этажей) и проведено полное отделение пешеходных коммуникаций от путей моторизированного транспорта (рис. 3). Административная территория Вильнюса увеличена до 260 км² (в том числе застроенная— до 61,4 км²). Количество его жителей в 1974 г. превышало 425 тыс. [41, 72].

Такими же быстрыми темпами развивался и Каунас (рис. 4). В восточной и северо-восточной частях города построены и расширяются новые жилые и промышленные районы (Дайнава, Калнечю, Петрашюнай и др.) из 5—12-этажных зданий. Ведутся комплексные реставрационные работы и реконструкция коммуникаций в старой части города. Суммарная площадь нового жилого фонда, построенного в послевоенные годы, уже превышает 2,5 млн. м². Административная территория города в 1961 г. составила 108,4 км² (в том числе застроенная—42,3 км² (рис. 5). Количество жителей Каунаса в 1976 г. превысило 350 тыс. [46, 62].

Оба города продолжают развиваться [72]. Ведется строительство жилых районов с повышенным благоустройством: Балтупис, Шяшкике, Пашилайчяй, Юстинишкес — в Вильнюсе; Ейгуляй, Шилайняй и др. — в Қаунасе. Осуществляется строительство микрорайонов с целевым назначением, таких, как вильнюсский больничный комплекс в Сантаришкесе и университетский городок в Антакальнисе. Растет новый административно-торговый центр Вильнюса на правом берегу р. Нярис. В административную территорию столицы Литовской ССР бу-

дут включены ближайшие промышленные поселки-спутники:

Лентварис и Григишкес.

В настоящее время Вильнюс и Қаунас — это самостоятельные современные гармонически развивающиеся города с высоко развитой металлообрабатывающей и химической промышлен-

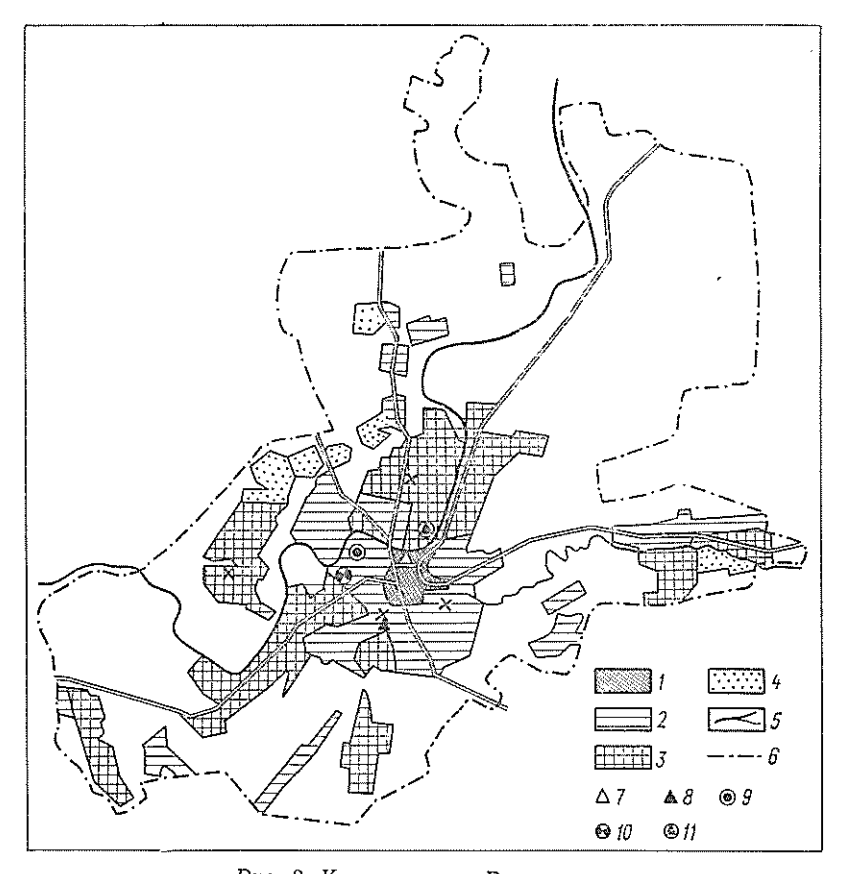


Рис. 3. Картосхема г. Вильнюса. 1— районы, застроенные до 1795 г., 2— застроенные до 1939 г., 3— застроенные или заново перестроенные в 1945—1975 гг., 4— строящиеся и намеченные к строительству, 5— реки, 6— административная граница города, 7— метеостанция Астрономическая обсерватория, 8— Железнодорожная, 9— Лукицкю, 10— Чюрлёню, 10— Райтининку, \times — временные посты.

ностью, точным станкостроеннем, радиоэлектроникой и приборостроением, полиграфической, легкой и пищевой промышленностью, дополняющие друг друга административные, промышленные, научные и культурные центры Литовской Советской Социалистической Республики, города с многочисленными архитектурными памятниками старины и новыми ансамблями современной архитектуры.

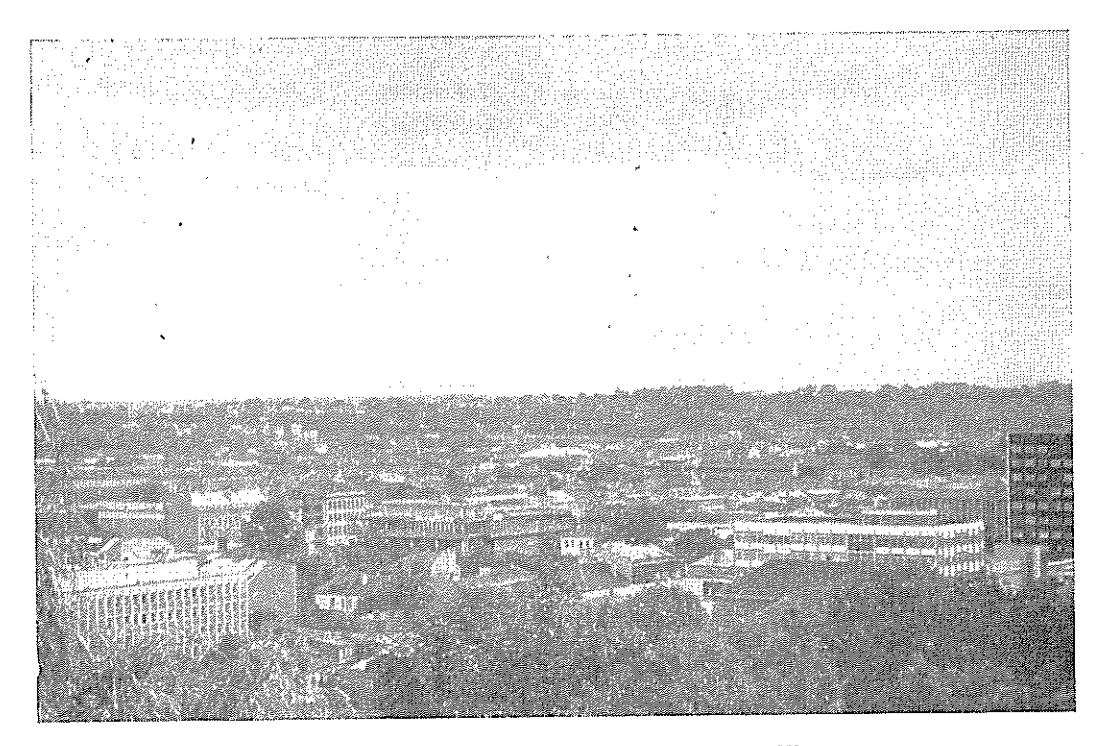


Рис. 4. Вид на центр г. Каунаса со стороны района Жалякалинс.

Эти крупнейшие города Литвы тяготеют друг к другу: Вильнюс в основном растет в сторону Каунаса, а Каунас расширяется в направлении Вильнюса; увеличиваются и экономические связи между ними. В отдаленном будущем возможно образование из этих городов и их спутников единой городской агломерации.

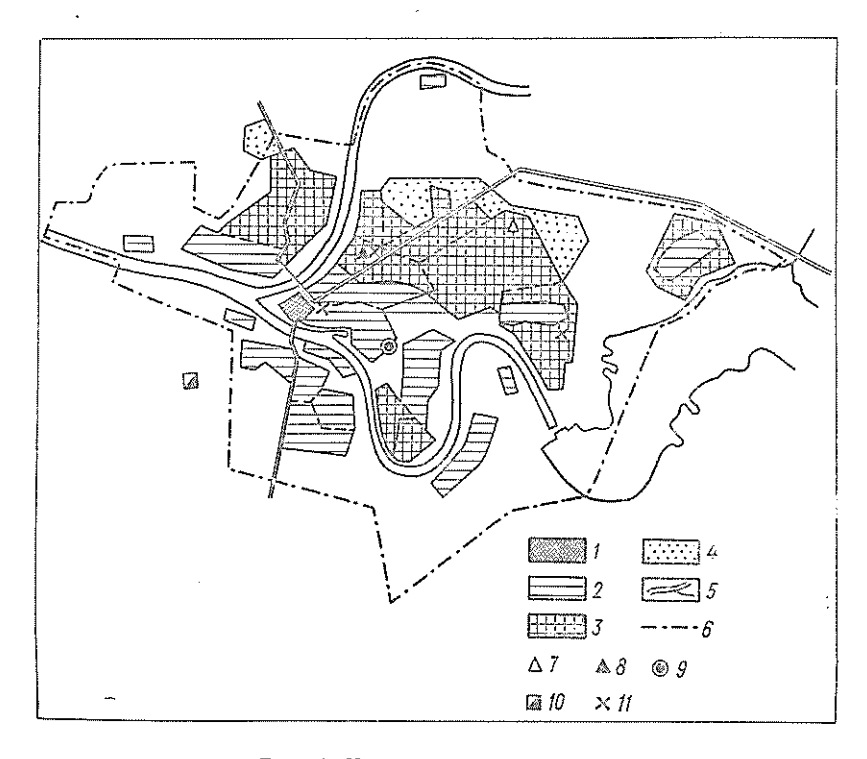


Рис. 5. Картосхема г. Каунаса. I — районы, застроенные до 1705 г., 2 — застроенные до 1911 г., 3 — застроенные или заново перестроенные в 1945—1975 гг., 4 — строящиеся и намеченные к строительству, 5 — реки, 6 — административная граница города, 7 — метсостанция Дайнава (агрометстанция). 8 — Обсерватория, 9 — Железнодорожная, 10 — Норейкишкес, 11 — временные посты.

1.2. Физико-географическое местоположение Вильнюса и Каунаса

Столица Литовской ССР Вильнюс и второй по величине город Литвы Каунас находятся на западе европейской части Советского Союза в области распространения ледниковых равнин и небольших возвышенностей, пересекаемых реками бассейна Нямунаса. Вильнюс расположен на обоих берегах р. Нярис там, где она протекает между южными отрогами Молетай-

ской возвышенности, входящей в систему Балтийской гряды, и северо-западными отрогами Медининкайской возвышенности, относящейся к Литовско-Белорусской возвышенности. Уровень реки в черте города опускается до отметки 80 м, а вершины окружающих холмов достигают высоты 180—210 м над уровнем моря. Таким образом, разница высот в черте города превышает 120 м.

По характеру рельефа территорию Вильнюса можно разделить на три крупные части. Северная часть города представляет собой пересеченную холмисто-западинную местность, образованную последним оледенением. В южной части города господствует более спокойный увалисто-балочный ландшафт предпоследнего оледенения, частичио преобразованный позднейшими приледниковыми потоками. Среднюю часть территории города занимает террасированная послеледниковая и современная долина р. Нярис и ее левого притока Вплняле. Ширина этой долины в черте города достигает 4—5 км. Ее крутые склоны местами изрезаны густой сетью оврагов и балок, спускающихся с окружающих возвышенностей в осевую часть долины.

Не менее разнообразен рельеф Каунаса, расположенного у слияния рек Нямунас и Нярис. Долины этих рек отделяют северную часть Среднелитовской низменности, сложенной из донно-моренных отложений, от ее южной части, где распространены озерно-ледниковые образования. Разница между крайними отметками высоты на территории Каунаса вдвое меньше, чем в Вильнюсе. Рельеф северо-западной окраины города слегка волнистый, со следами моренных холмов. Равнина южнее города частично заболочена. Пересекающие центральную часть территории города долины рек Нямунас и Нярис шириной до 2—3 км имеют плоское дно и крутые склоны, местами пересеченные оврагами и оврагообразными долинами мелких притоков Нямунаса.

Гидрографическая сеть рек, на которых расположены Вильнос и Каунас, обладает некоторыми общими чертами. Через центры городов протекают довольно многоводные (по масштабам Литвы) реки со значительными колебаниями уровней в течение года. В обоих городах близки даты начала осеннего ледостава и весеннего ледохода. Однако наблюдаются и некоторые различия (табл. 1). Река Нямунас у Каунаса значительно шире и многоводнее, чем река Нярис у Вильнюса. В настоящее время обе эти реки частично зарегулированы. Значительная часть стока р. Нярис во время весеннего половодья задерживается в Вилейском водохранилище и используется летом для обводнения Минска. Часть нямунасского половодья задерживается в водохранилище Каунасской ГЭС. Обе реки судоходны, но Нярис судоходна только в черте Вильнюса на протяжении

Таблица 1 Основные гидрографические параметры (по [12])

	черте	= ::	и	Дебит, м ³ /с			иту-	Начало	
Участок реки	Длина рек в че города, км	Ширина русла,	Глубина русла,	средний из максимальних средний годовой		средний лет- ней межени	Средияя амиль да колебания уровней	ледостава	ледохода
Нярис у Вильнюса Вильня у Вильнюса Нямунас у Каунаса выше устья Нярис	27 18 14	70—140 10—15 200—300	0,6—2,0 0,4—0,7 1,3—2,5	54	111 5.4 251		1.0	7 I —	15 111
Нярис у Каунаса Нямунас ниже устья Нярис		160—220 250—400			178 449	82 205	3,6 3,6	26 XII 30 XII	

8 км, а Нямунас— во всем нижнем течении: от Каунаса до Куршского залива.

На северной части территории Вильнюса имеется несколько малых озер. Самое большое из них—оз. Балсис—занимает 0,56 км² и имеет глубину до 38,8 м. На территории Каунаса нет озер, но есть Каунасское водохранилище (площадь 63,5 км², длина 93 км, наибольшая ширина 3,3 км, глубина до 22 м), возникшее в 1959 г. на восточной окраине города в результате перекрытия р. Нямунас плотиной ГЭС.

На большей части территории Вильнюса и его окрестностей преобладают дерново-подзолистые почвы, образовавшиеся на мелкозернистых песках и супесях. Для Каунаса и его окрестностей более характерны дерново-глееватые и глеевые почвы на средних и тяжелых суглинках (табл. 2). Нижние террасы и поймы рек покрыты аллювиальными почвами, образовавшимися на крупнозернистых песчаных и галечных наносах. На бессточных понижениях рельефа встречаются подзолистые заболоченные минеральные и болотные торфяные почвы. В кварталах городов со сплошной застройкой под асфальтом и мостовыми лежат искусственные насыпные грунты со строительными отходами и остатками древних построек. Общая толщина насыпного грунта в напболее древней части Вильнюса достигает 5 м.

Растительность окрестностей Вильнюса и Каунаса является типичной для зоны смешанных лесов. Ее местные различия связаны с особенностями почвенного покрова. В окрестностях обоих городов более 60% территории занимают пашни. В районе Каунаса они распространены на местах естественного обитания широколиственных лесов и ели. В районе Вильнюса преобладают менее плодородные пашни на месте вырубленных сосновых боров. В поймах рек Нямунас, Нярис и их притоков имеются значительные массивы лугов и культурных пастбищ.

Таблица 2 Некоторые физические и гидрологические свойства почв (по [48])

HekoTopate thisusective						•	
_	ные нты, см	физической ины	та, см	гая г/см ^а	nast r/cm³	Влагоемкость, % от абс. сухой почвы	
Почва	Почвенные горизонты,	% физ	Глубипа,	Удельная масса, г/см ^а	Объемная масса, г/см ³	капил- лярная	полная
	Вильнюс	: (Трак	у-Воке)				
Пахотная светло-серая пылевато-комковатая су- песь Темно-коричневая супесь Сероватый карбонатный крупный песок	0—29 29—40 40—100	7,37 15,89 8,37	0—10 10—20 20—30 30—40 40—50 50—60 60—70 70—80 80—90 90—100	2,64 2,68 2,72 2,76 2,78 2,81 2,82 2,71 2,69 2,70	1,43 1,55 1,59 1,39 1,50 1,51 1,54 1,56 1,54	24,7 22,0 21,4 23,7 23,2 21,6 20,5 14,6 17,6 18,8	32,2 27,1 26,4 36,0 38,1 30,1 29,2 34,0 27,9 24,8
	Кауна	с (Дай	нава)				
Пахотная темно-серая ком- коватая супесь Желтая с белыми пятнами супесь Желтая с темными пятна- ми плотная глина Желтовато-бурая глина с включениями карбонатов Красно-бурая плотная гли- на	0-20 20-36 36-54 54-83 >83	17,60 15,48 61,58 79,13 63,99	0—10 10—20 20—30 30—40 40—50 50—50 60—70 70—80 80—90 90—100	2,56 2,58 2,62 2,75 2,73 2,78 2,73 2,69 2,74 2,75	1,48 1,57 1,51 1,50 1,43 1,41 1,44 1,50 1,52	24,9 23,5 27,4 24,7 32,7 33,7 32,6 28,1 28,3 26,9	28,4 24,8 27,8 30,7 33,6 34,6 32,6 29,3 29,6 28,6

Леса в окрестностях Вильноса и Каунаса занимают около 25% территории. Они сохранились только на наименее плодородных подзолистых, частично заболоченных, песчаных почвах. В районе Вильноса это в основном сосновые боры с примесью ели и березы, в районе Каунаса — сосняки и ельники с примесью березы и широколиственных пород. Растительность лесопарков и других зеленых насаждений на территории самих городов отличается большим разнообразием широколиственных пород (липы, клена, дуба). Для озеленения улиц и скверов используются не только липы, каштаны, тополя, но и более теплолюбивые породы декоративных деревьев и кустарников. На окраинах городов имеется много садов и огородов.

По данным [63], застроенная часть Вильнюса занимает только около 34% всей его территории, 43% занимают древесные насаждения, 26% занято сельскохозяйственными угодьями, совсем немного (менее 2%) водными поверхностями (рис. 6). Протяженность улиц Вильнюса составляет 650 км, из них

450 км с твердым покрытием.

Несколько иная структура территории Каунаса, застроенная часть которого составляет 39% [62]. В нем только 15% территории занято древесными насаждениями, но примерно в шесть раз больше водных поверхностей. Почти половина территории Каунаса занята полями— основным резервом для строительства города и его озеленения. Протяженность каунасских улиц 534 км, из них 295 км с твердым покрытием.

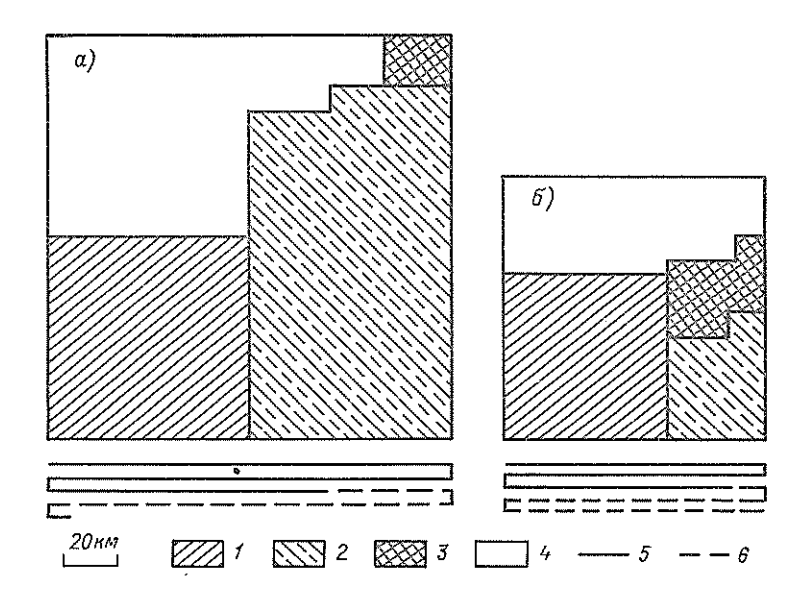


Рис. 6. Структура территорин городов Вильнюса (a) и Каунаса (b). I— застроенная площадь города, 2— зеленые насаждения, 3— реки и водоемы, 4— другие угодья, 5— длина улиц мощеных и асфальтированных, 6— грунтовых.

Современный облик Вильнюса и Каунаса складывался постепенно, однако во все времена он формировался под ощутимым влиянием физико-географического положения.

Древние центры обоих городов выбраны по стратегическим соображениям у слияния двух рек. Рост городов вширь ограничивался оборонительными сооружениями. Поэтому оба города унаследовали старые кварталы двух- и трехэтажных домов со сплошной застройкой узких, часто кривых улиц и затененными двориками. Существующие зеленые насаждения в этой части городов возникли поздно, чаще всего на месте разрушенных и невосстановленных построек. Структура сплошной беспорядочной застройки в настоящее время сохранилась только в исторических центрах городов на самых низких местах речных долин в непосредственной близости от их слияния.

Для периода капитализма характерны районы преимущественно периметрической, более упорядоченной застройки, с повышенной этажностью и прямоугольной планировкой улиц, с более светлыми и лучше проветриваемыми дворами. Поскольку постройка таких кварталов требовала более просторных и доступных для транспорта участков, в Каунасе они распространились только к востоку от старого города, по дну долины и нижним террасам правого берега р. Нямунас. Наличие значительных речных преград и отсутствие достаточного количества мостов препятствовали распространению такого типа застройки в других направлениях. В Вильнюсе такой тип застройки получил распространение не только к западу и югу от старого центра, но и за водными преградами. Именно такие кварталы являются центрами северного и частично восточного предместий Вильнюса.

На окраинах обоих городов распространялись кварталы свободной застройки с одноэтажными, преимущественно деревянными домами пригородного (дачного) типа, окруженные садами и огородами. В настоящее время такой тип застройки, частично усовершенствованный путем постройки каменных двухэтажных особняков, сохранился только на наиболее отдаленных от центра окраинах и на неудобных для сплошной застройки склонах овражно-балочных образований. Некоторые из таких пригородов (Лампеджяй — в Каунасе, Валакампяй — в Вильнюсе) теперь служат центрами пригородных зон отдыха.

В настоящее время основные направления пространственного развития Вильнюса и Каунаса остались прежними: Вильнюс в основном растет в юго-западном, западном и северо-западном направлениях, а Каунас — к востоку и северо-востоку от старого центра, выходя за пределы застроенных речных долин, но принципы планировки кварталов существенно изменились. Градостроители отказались от сплошной застройки кварталов. В современных районах городов, как построенных на месте старых деревянных пригородов, так и на не застроенной раньше территории, крупнопанельные и кирпичные здания в 5—12 этажей стоят свободно или небольшими группами в значительном отдалении друг от друга, хорошо приспособленные к неровностям рельефа. Проведено полное отделение жилых районов от промышленных. Между всеми районами оставлены широкие зоны древесных насаждений. Внутри жилых микрорайонов имеются только пешеходные тракты. Транспортные магистрали вынесены за их пределы и проведены по естественным и искусственным углублениям рельефа. Всем этим обеспечиваются близкие к оптимальным условия инсоляции квартир, хорошее проветривание открытых дворов, более надежная защита воздушного бассейна как от запыленности и загазованности, так и от чрезмерных ветровых нагрузок.

Различно застроенные кварталы Вильнюса и Каунаса не

вполне сливаются в компактные агломераты. Их частично отделяют друг от друга не только речные артерии, но и зеленые массивы лесопарков, которые с разных сторон, по крутым склонам долин доходят до самых городских центров. Этим обеспечивается тесная функциональная взаимосвязь между городскими кварталами и различными природными образованиями, положительно влияющая на все аспекты функционирования этих природно-экономико-социальных организмов. В частности, рассмотренные выше особенности планировки описываемых городов являются основной причиной своеобразного территориального распределения в них мезо- и микроклиматических различий.

1.3. Краткая характеристика метеорологических наблюдений

Появление интереса к научным исследованиям явлений погоды в Вильнюсе связано с общим увеличением интереса к естественным наукам в Главной Литовской школе — так назывался Вильнюсский университет в конце XVIII в. (рис. 7). Начало систематических метеорологических наблюдений связано с именем ее ректора Мартинаса Почобутаса, который еще в 60-е гг. XVIII в. во время своей поездки в страны Западной Европы приобретал научные приборы и оборудование.

Точная дата начала метеорологических наблюдений неизвестна. Ежедневные наблюдения за температурой воздуха более или менее постоянно проводились, по-видимому, с мая 1770 г. [16, 69]. Начало сохранившегося до нашего времени ряда ежедневных наблюдений относится к 17 января 1777 г. Наблюдения в конце XVIII и в первой половине XIX вв. проводились в центре города. Термометры были укреплены на северной стене здания обсерватории на высоте примерно 21 м от поверхности земли и затенялись от прямых лучей солнца стенами зданий.

В 1871 г. в помещении астрономической обсерватории на высоте 118 м над уровнем моря был установлен барометр Фусса, а на двух противоположных (юго-западном и северовосточном) углах окружающего обсерваторскую башню балкона на высоте 34 м от поверхности двора были поставлены два дождемерных ведра. Измерения осадков производились по тому из них, которое в данный момент оказывалось подветренным. До 1876 г. скорость ветра оценивалась по десятибалльной визуальной шкале Бофорта. В 1876 г. на восточной башне обсерватории был установлен флюгер.

Ежедневные метеорологические наблюдения при Вильнюсской астрономической обсерватории производились до февраля 1883 г. Материалы этих наблюдений в свое время были переданы в Главную физическую обсерваторию и уже тогда обра-

SIABONETEO PROPERTA MARCOLLA SELECTION DE RECOLLA S

батывались сотрудниками этого методического центра. В частности, данные о средних суточных температурах Вильнюса и их изменчивости с 1777 по 1883 г. обработаны Валеном и опубликованы Шенроком [71]. С 1884 по 1891 г. вильнюсская серия

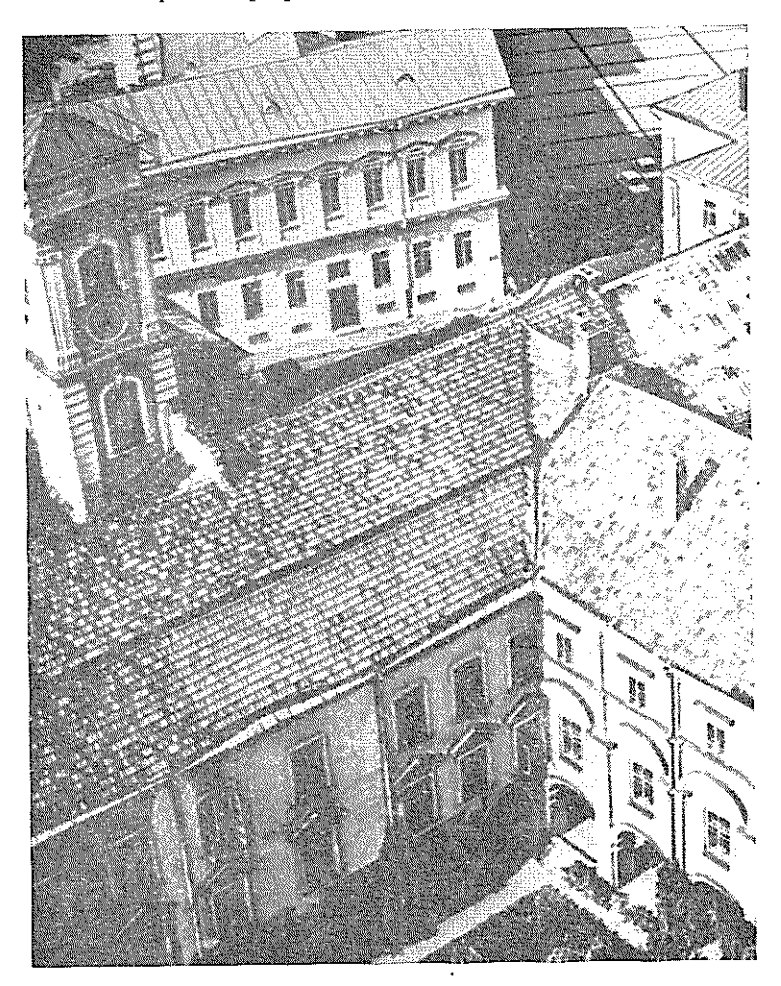


Рис. 7. Здание старой астрономической обсерватории Вильнюсского университета.

метеорологических наблюдений продолжалась в Еврейском учительском институте, точное местоположение которого в настоящее время неизвестно. Барометр находился на высоте 106 м над уровнем моря. Термометры помещались в оцинкованной будке, прикрепленной на северной стене здания, на высоте 9 м. Будка имела с боков дополнительную жалюзийную защиту. Дождемер и флюгер стояли на крыше здания [56].

История метеорологических наблюдений XIX в. в Қаунасе намного беднее. С 1834 по 1846 г. наблюдения за температурой воздуха, атмосферным давлением (с помощью барометра Делюка) и состоянием погоды производились при местной гим-

назни [69], но записи этих наблюдений не сохранились.

Следующий этап развития метеорологических наблюдений связан с постройкой железных дорог. С 1892 по 1915 г. метеорологические станции Вильнюса и Каунаса находились па территории железнодорожных вокзалов и уже имели оборудованные психрометрическими будками и флюгерами метеорологические площадки. Наблюдения производились по полной программе станций второго разряда, под методическим руководством Главной физической обсерватории. Однако непосредственное окружение (близость паровозного депо в Вильнюсе и местоположение площадки на дне глубокой и узкой балки, заканчивающейся железнодорожным тоннелем в Каунасе) известным образом отражалось на показаниях приборов. Данные наблюдений вильнюсской и каунасской станций того периода опубликованы в Летописях Главной физической обсерватории [33]. В начале XX в. метеорологические наблюдения в Вильнюсе проводились также при юнкерском училище (1900-1914 гг.). Примерно в то же время существовал дождемерный пост в пригороде Каунаса — Панемуне. Однако сохранившиеся записи наблюдений в этих пунктах отрывочны и не обобщены.

С 1917 по 1919 г. метеорологические наблюдения в Вильнюсе проводились в центре города, во дворе трехэтажного здания (ныне проспект Ленина, 40). После первой мировой войны возобновлены Вильнюсским университетом: (1920—1921 гг.) во дворе химического факультета (ныне ул. Партизану, 22), а с нюля 1922 г. при кафедре метеорологии, на территории бывшего юнкерского училища (ныне ул. Чюрленно, 23). Эта метеорологическая площадка, расположенная на хорошо проветриваемой высокой террасе р. Нярис, просуществовала до 1953 г. В 1925 г. па этой станции профессором К. Янтзеном начаты аэрологические наблюдения с помощью шаров-пилотов. На территории современного Вильнюса с 1926 по 1938 г. существовала еще одна метеорологическая станция при лесничестве (Науя-Вильнюсский район).

Подлинники записей наблюдений па этих станциях не сохранились, но часть наблюдений за осадками (по 1930 г.) опубликована в ежегодинках Польского метеорологического института [66]. Записи основной метеорологической станции Вильнюса за 1918—1939 гг. сохранились полностью и в настоящее время

хранятся в гидрометфондах УГКС Литовской ССР.

В Каунасе наблюдения восстановлены в 1922 г. Каунасская центральная метеорологическая станция (с 1925 г. — Метеорологическое бюро, в 1938 г. — Институт климатологии) была ведущим метеорологическим учреждением буржуазной Литвы

и вела наблюдения по программе станции первого разряда. Ее площадка, расположенная в северо-восточной части города за чертой сплошных городских построек (ныне ул. Архиво, 8), просуществовала до 1955 г. На этой станции директором института С. Ольшаускасом в 1938 г. были начаты измерения солнечной раднации с помощью актинографа Робича. Часть данных наблюдений Каунасской метеорологической обсерватории была опубликована в Литовской статистической летописи [61], но в основном они были обработаны и опубликованы уже после 1945 г.

После восстановления Советской власти в Литве вильносская и каунасская метеорологические станции вошли в единую метеорологическую сеть Советского Союза и перешли от трехсрочных ежедневных наблюдений к четырехсрочным. Были устранены существовавшие методические различия. Данные наблюдений стали более надежными и сравнимыми. В 1945 г. были открыты новые станции при вильнюсском и каунасском аэропортах. Станция в Каунасе была преобразована в гидрометеорологическую станцию первой категории с комплексом актинометрических, радиолокационных и радиозондовых наблюдений.

По мере застройки территорий, окружающих метеоплощадки, с целью повышения репрезентативности наблюдений, городские станции обоих городов были перенесены в более открытые места. Метеорологическая площадка ст. Вильнюс в декабре 1954 г. была перенесена на правый низменный берег р. Нярис (нынешняя территория спортивного стадиона, ул. Райтинику) с редкими одноэтажными усадьбами пригородного типа. В мае 1964 г. метеорологические наблюдения были перенесены в район аэропорта, а станция объединена с вильнюсской АМСГ.

На восточной окраине Каунаса, в пос. Дайнава, в 1951 г. открыта агрометеорологическая станция. В июне 1955 г. туда перенесен весь комплекс метеорологических и актинометрических наблюдений со ст. Каунас и только аэрологические наблюдения оставлены на старом месте. Из-за застройки высотными зданиями этой части города станция в 1974 г. перенесена на западную окраину города, в пос. Норейкишкес. Основные данные наблюдений систематически публикуются в Справочниках по климату [49] и других серийных изданиях, предназначенных для обслуживания народного хозяйства.

Данные метеорологических наблюдений станций Вильнюс и Каунас по мере их накопления неоднократно обобщались. В частности, они использовались Веселовским при описании климата России, Вильдом, Каминским, Горчинским в исследованиях годового хода и географического распределения различных метеорологических элементов [16, 69]. Ромер и Мерецкий пользовались этими данными при климатическом районирова-

нин Польши [16], а Пакштас — для описания климата Литвы [65]. В 20—30-х гг. текущего столетия появились первые сборники трудов, специально посвященные анализу климатических показателей Вильнюса. Метеорологами Вильнюсского университета Дзевульским и Роецким исследованы условия солнечного сияния. Яитзен и Околович дали описание режима температуры почвы, Тарановский — осадков, Янтзен — изменения ветра с высотой [56]. Вильнюсские исследователи положили начало изучению мезоклиматических различий между Вильнюсом и его окрестностями. Янтзен исследовал различия термического режима, а Роецкий — различия солнечного сияния и облачности [56]. Подобные исследования климата Качнаса в это время проводились Ольшаускасом.

После второй мировой войны исследования климата Вильнюса и Каунаса были продолжены Стырой и Гарбаляускасом, исследовавшим режим солнечной радиации в Каунасе [68], Каушилой, обобщившим особенности режима температуры и облачности в Вильнюсе [17], и Бузом, исследовавшим условия образования гроз и туманов в районе вильнюсского аэропорта [9, 57]. Интересные выводы, касающиеся условий образования и особенностей изменения климата окрестностей Вильнюса и Каунаса получены Стырой, Гарбаляускасом и Бузом [51], Каушилой [18, 58], Дофман и Укмергишкисом [13]. Условия загрязнения воздушного бассейна города исследовались Коркутисом [30] и Шидлаускайте [70].

Основой для настоящего описания климата Вильнюса и Каунаса послужили прежде всего материалы, опубликованные в Справочнике по климату СССР [49], а также данные за отдельные годы, хранящиеся в гидрометфондах Вильнюсской ГМО. Некоторые дополнительные данные заимствованы из Летописей Главной физической обсерватории [33] и других пуб-

ликаций этого учреждения.

Кроме материалов стационарных наблюдений, использованы также некоторые данные, полученные на постах, где в настоящее время ведутся наблюдения за санитарно-гигиеническим состоянием воздушного бассейна городов. Использованы также некоторые результаты проведенных в разное время маршрутных съемок и микроклиматических исследований в различных кварталах Вильнюса. Наряду с данными наблюдений, для описания климата Вильнюса и Каунаса использованы некоторые косвенные и расчетные характеристики. Некоторые характеристики осадков, падающих на стены различной ориентации, рассчитаны на ЭВМ Литовским Институтом архитектуры. Текст описания и перечень прилагаемых таблиц составлен с учетом рекомендаций Главной геофизической обсерватории им. А. И. Воейкова.

Поскольку Вильнюе и Каунае расположены всего в 100 км друг от друга, многие показатели общеклиматического фона

у них оказались очень близкими, что дало возможность с определенной достоверностью экстраполировать параметры и закономерности, полученные в одном из городов, на территорию другого и тем, хотя и частично, восполнить пробелы в наблюдениях. Кроме того, проведение сравнительного анализа метеорологических характеристик этих городов позволило получить дополнительные сведения о влиянии естественных и антропогенных факторов на гидрометеорологические показатели.

Новым в изучении климата городов представляется и попытка мезоклиматического районирования Вильнюса и Каунаса на основе совместного учета особенностей строения естественной подстилающей поверхности и архитектурной планировки городов. При этом использовались принципы и методы

картирования, частично опубликованные в [20, 60].

1.4. Общая характеристика климата

Характер климата как многолетнего режима погоды [52] для любой местности земного шара определяется совокупностью весьма разнообразных глобальных и местных факторов. В первую очередь он зависит от особенностей радиационного режима, характера подстилающей поверхности и связанной с ними циркуляции атмосферы [2]. Зонально распределенные потоки солнечной энергии в различной степени поглощаются азонально расположенными материками и океанами. Поглощенное ими тепло возвращается в атмосферу и приводит в движение различные циркуляционные механизмы (системы ветров), управляющие процессами обмена теплом и влагой между различными широтами земного шара, континентами и океанами, приземными и вышележащими слоями атмосферы.

Находящиеся примерно в 6000 км от экваториальной полосы и почти в 4000 км от Северного полюса, Вильнюс и Каунас в течение года получают примерно в два раза меньше солнечной энергии, чем поверхность жарких пустынь, но почти в полтора раза больше, чем поверхность Северного Ледовитого океана. Годовой ход полуденной высоты Солнца в пределах 47° и продолжительности дня в пределах 10 ч приводит к значительным суточным и годовым колебаниям тепловых показателей климата. Значительное удаление рассматриваемых городов как от жарких, так и от холодных поясов земного шара, наряду с вышеупомянутыми колебаниями, является главной причиной формирования их умеренного климата с ярко выраженными четырьмя временами года.

Вильнюе и Каунае расположены в зоне господствующего в тропосфере умеренных широт потока западных ветров, где возникают, развиваются и затухают воздушные вихри: циклоны и антициклоны. Они чаще всего заполнены воздушными массами умеренных широт, но в отдельных случаях могут приносить с собой также воздух арктического и тропического происхождения. В воздушном потоке умеренных широт в результате взаимодействия солнечной радиации с подстилающей поверхностью формируются характерные для нашего климата типы погоды. Вторжения воздуха из соседних географических зон вызывают их резкие перемены, которые также являются характерными признаками здешнего климата.

Из азональных факторов, формирующих климат Вильнюса и Каунаса, решающими являются водные пространства Атлантического океана на западе и огромный материк Евразии на востоке. Хотя расстояние от рассматриваемых городов до ближайшего берега Балтийского моря составляет всего несколько сотен километров, их климат нельзя назвать морским. Сравнительно небольшое и мелководное, отделенное от океана полуостровами Балтийское море оказывает на климат своих берегов весьма ограниченное влияние. Хотя открытые пространства северной части Атлантического океана с его теплым течением удалены от Вильнюса и Каунаса более чем на 1000 км, оно оказывает влияние через воздушные массы, путь которых лежит через Западную и Центральную Европу, а иногда и через север Европы. Часть свойств, приобретенных ими над океанскими просторами, в этом пути теряются.

Как известно, континентальность климата пропорциональна годовой амплитуде температуры воздуха и зависит от географической широты. Степень континентальности любой точки земного шара нетрудно определить по формуле из [52]

$$K = \frac{A - 5.4 \sin \varphi}{A} ,$$

где A — разность между многолетней средней температурой самого теплого и самого холодного месяцев, φ — широта местности. Для Лондона, согласно этой формуле, K равно 0,62, для Вильнюса и Каунаса — 0,83, Москвы — 0,86; для западносибирских городов на той же широте $K \approx 0,90$. Если K менее 0,5, климат относится K океаническому, от 0,5 до 0,75 — K переходному, от 0,75 до 0,87 — K слабо континентальному и более 0,87 — K резко континентальному. Климат Вильнюса и Каунаса, согласно этой формуле, относится K слабо континентальному климату Восточной Европы. По другим признакам, например по мягкости зим или по соотношению повторяемостей морских и континентальных воздушных масс, он более похож на переходный от морского K континентальному климату Центральной Европы.

Макрорельеф территории, окружающей Вильнюс и Каунас, преимущественно равнинный. Невысокие горы Скандинавского полуострова, отдаленные на 700—800 км, и примерно на столько же отдаленные Карпаты иногда изменяют траектории про-

ходящих барических образований, но вообще мало влияют на погоду Вильнюса и Каунаса. Влияние Восточно-Европейской равнины выражается в выравнивании различий на больших территориях. Поэтому климат Вильнюса и Каунаса, а также соседних территорий, входящих в более крупную климатографическую единицу (область, провинцию или зону), является в большой степени однородным.

По классификации В. Кеппена [23], климат Вильнюса и Каунаса обозначается символом Dfb и относится к климатам с умеренно холодной снежной зимой (температура января ниже —3° С) и прохладным летом (температура июля ниже 22° С). Пять месяцев имеют температуру выше 10° С. Осадков при таком климате достаточно во все времена года, но больше

всего их в теплом полугодии.

Согласно Л. С. Бергу, окрестности Вильнюса и Қаунаса относятся к подзоне смешанных лесов таежной зоны, где тепла и влаги в вегетационный период достаточно для произрастания дуба и клена, но из-за зимнего холода невозможно произрас-

тание бука [2].

По генетической классификации Б. П. Алисова [1], климат Вильнюса и Каунаса относится к юго-западной подобласти атланто-континентальной лесной области зоны умеренных широт. Согласно более подробному делению данной климатической подобласти (в пределах южной Прибалтики) на климатические районы [18], Каунас входит в состав южного подрайона влажных низин района внутренних глинистых равнин, а Вильнюс — в южный подрайон песчаных равнин района внутренних моренных возвышенностей. Последнее деление отражает местные разновидности климата, более всего отражающиеся на режиме характеристик приземного слоя воздуха и почвы. К ним относятся также и особенности климата, создаваемые самими городами и описываемые в последующих главах.

2. РАДИАЦИОННЫЙ И СВЕТОВОЙ РЕЖИМ

2.1. Астрономические факторы и солнечное сияние

Энергия, поддерживающая механизм циркуляции и определяющая другие климатообразующие процессы, приходит к нам от Солнца. Эта энергия передается атмосфере как непосредственно, так и через посредника — подстилающую поверхность. Количество солнечной радиации, приходящей на земную поверхность, зависит как от формы Земли, так и от траектории ее движения, определяющих на каждой географической широте своеобразное изменение продолжительности дня и ночи. Как изменяется в течение года продолжительность светлого времени суток, показано на рис. 8. По нему нетрудно определить, что от момента, когда верхний край Солнца пересекает плоскость горизонта, до момента, когда он пересекает горизонт в обратном направлении, 1 января проходит 7 ч 17 мии, а 1 июля — 17 ч 17 мин. К этому еще необходимо добавить время гражданских сумерек: от захода солнца до включения городского освещения и от его выключения до восхода. (При ясном небе гражданские сумерки 1 января равны 85 мин, при пасмурном — 63 мин, 1 июля — 105 мин и 95 мин соответственно.)

При наличии возвышенностей, деревьев или построек, заметно поднимающих высоту горизонта, время восхода увеличивается на 7—10 мин на каждый градус закрытости горизонта (в пределах 6°). Заход соответственно наступает раньше. На рис. 9 также показано изменение полуденной высоты Солнца, которая на широте Каунаса в течение года меняется в пределах 46,5°. Данные об изменении высоты Солнца в зависимости от времени суток приведены в табл. 3.

Высота Солнца тесно связана с его азимутом. На рис. 9 из [24] сплощными линиями показан путь Солнца по небосклону 15-го числа каждого месяца. Азимуты показаны радпусами, высоты Солнца — окружностями. Штриховыми линиями соединены одинаковые моменты времени (ч). График составлен для географических координат Минска, и при его использовании следует вводить поправку на разницу высот Солнца (—0,7° в Вильнюсе —1,0° в Каунасе) и на разницу времени суток (—8,5 мин в Вильнюсе, —14,5 мин в Каунасе). Солнце всходит

точно на востоке только в дни весеннего и осеннего равноденствий. Летом оно появляется на юго-восточной, а зимой — на северо-восточной стороне горизонта.

Моменты восхода и захода Солнца определяют возможную продолжительность облучения земной поверхности Солнцем. На открытом месте на географической широте Вильнюса и

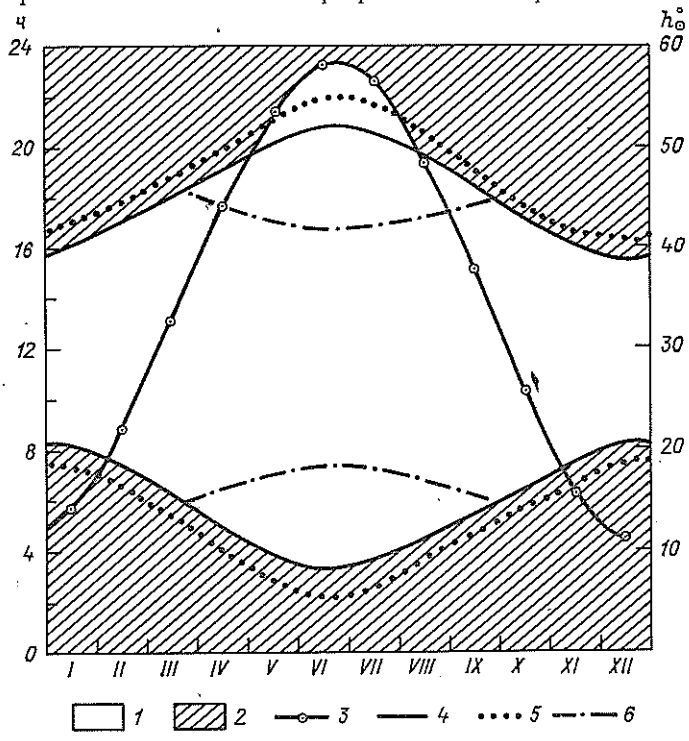


Рис. 8. Продолжительность дня и ночи в г. Қаунасе. I — день, 2 — ночь, 3 — высота Солнца в полдень, 4 — время восхода (захода) Солнца, 5 — начало (конец) сумерек, 6 — конец (начало) облучения северных стен.

Таблица 3
Высота Солнца (град) на 15-е число месяца в Каунасе (время среднее солнечное)

Время, ч мин	Ţ	II	III	IV	v	VI	VII	AIII	IX	X	XI	XII
6 30 9 30 12 30 15 30 18 30	6,6 13,6 2,5	13,9 21,9 10,3	1,9 24,4 32,6 19,2	12,6 36,2 44,2 28,6 3,6	20,3 44,6 53,2 35,7 10,3	23,4 48,2 57,9 40,0 14,6	21,2 46,0 56,3 39,3 13,9	15,4 39,8 48,9 32,9 7,7	7,7 30,5 37,6 22,4	20,7 25,9 11,2	11,4 15,9 2,4	5,9 11,4

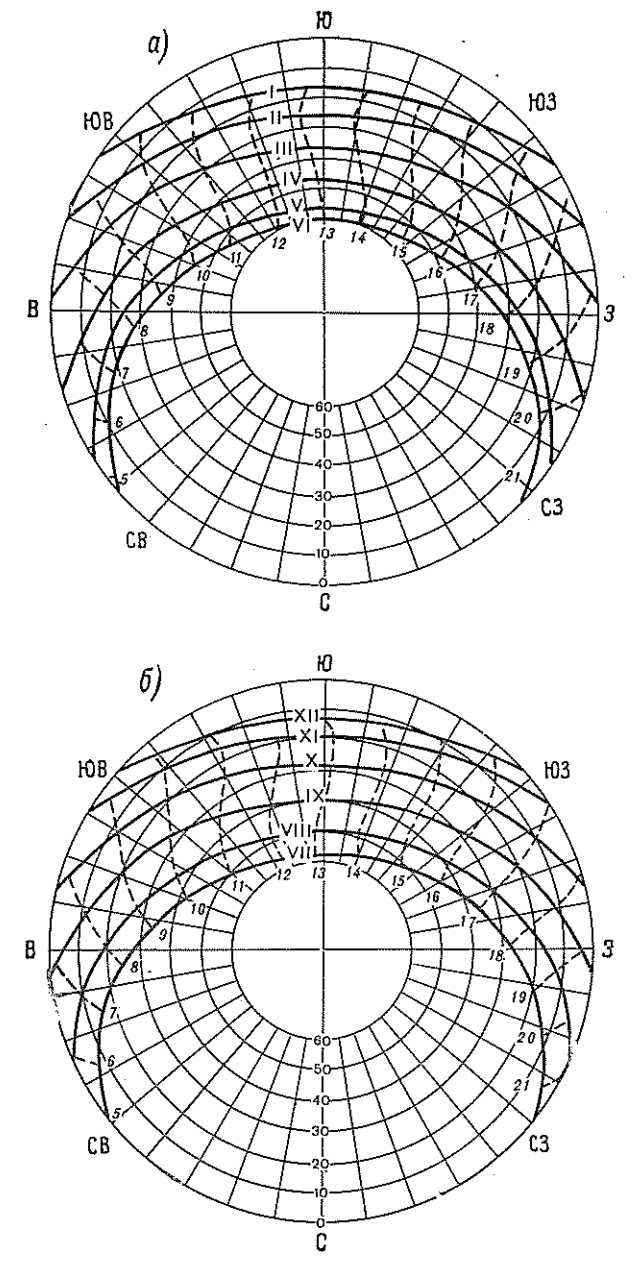


Рис. 9. Высота и азимут Солица. а) январь — июнь, б) июль — декабрь.

Каунаса возможная продолжительность солнечного сияния меняется примерно от 200 ч в месяце с наиболее короткими днями— декабре, примерно до 480 ч в месяце с самыми длинными днями— июне.

Действительная продолжительность солнечного сияния из-за наличия облачности значительно короче. В наиболее ясные летние месяцы в Вильнюсе и Каунасе она составляет в среднем 55—60% от возможной. В наиболее пасмурную зимнюю пору доля действительной продолжительности солнечного сияния по отношению к возможной составляет в среднем 15—20%. Самый солнечный месяц — нюнь: среднее число часов солнечного сияния в этом месяце в Вильнюсе равно 265, в Каунасе—276. Самая короткая месячная продолжительность солнечного сияния чаще всего бывает в декабре: 27 ч в Вильнюсе и 30 ч в Каунасе. Если в течение летних месяцев (июль — август) Солнце не показывается из-за облаков только 1—2 дня в месяц, то поздней осенью и в начале зимы (ноябрь — январь) оно полностью закрыто облаками в течение 19—21 дня кажлого месяца.

Согласно [49], средняя годовая продолжительность солнечного сияния в Вильнюсе составляет 1673 ч, в Каунасе — 1790 ч.

В связи с тем что частота образования атмосферных фронтов и интенсивность термической конвекции в разные годы имеют разные масштабы, значительно меняется и обусловленная ими продолжительность солнечного сияния: В крайние годы она может стать на 11—14% больше или на 9—12% меньше среднего. Наибольшие относительные колебания среднего месячного количества часов солнечного сияния отмечаются зимой, когда количество солнечных часов может превысить среднее более чем в два раза или составить только 20% от последнего. В теплое время года эти колебания относительно меньше: они не превышают ±30% от среднего. Примерно в таком же днапазоне (27-32%) колеблется из года в год и годовое число дней без солнца, которое для Каунаса в среднем равно 102, а для Вильнюса 106. Сводные данные о количестве часов солнечного сияния и об их отношении к возможному в отдельные месяцы помещены в табл. 1 приложения.

Суточные колебания интенсивности вертикальных движений воздуха и связанный с ними ход изменения количества облаков влияют и на суммарную продолжительность солнечного сияния в отдельные часы дня. Для суточного хода продолжительности солнечного сияния летом характерна некоторая асимметричность. Суммарная продолжительность солнечного сияния в предполуденные часы на несколько десятков минут больше, чем в часы после полудня, когда увеличивается кучевая облачность. В утренние часы наблюдается асимметрия обратного знака. Остатки ночных туманов и сплошной облачно-

сти уменьшают среднюю месячную продолжительность солнеч-

ного сияния именно по утрам.

Наиболее часто (от 28 до 38% случаев) солнце светит непрерывно 2—4 ч подряд. Почти так же часто повторяется непрерывная продолжительность солнечного сияния, равная 4—6 ч. Случаи непрерывного сияния в течение всего дня весной и летом повторяются в 10—15% дней. Осенью таких дней неболее 1—2% [49].

2.2. Солнечная радиация и радиационный баланс

Лучистая энергия Солнца поступает на землю в виде электромагнитных волн диапазона 0,3—4,0 мкм. Каждый квадратный метр поверхности, расположенной перпендикулярно к пути солнечных лучей, на верхней границе атмосферы при среднем расстоянии Земли от Солнца получает 1,372 кВт лучистой энергии (1,98 кал/(мин·см²) = 1,372 кВт/м²). Проходя через атмосферу, поток солнечной радиации отражается, рассенвается и поглощается частицами воздуха, молекулами водяного пара и различными примесями. Ослабление солнечной радиации, проходящей двойную толщину безоблачной атмосферы над Каунасом, согласно [15], в среднем составляет 20% ее первоначальной интенсивности зимой и 30% летом.

Прозрачность атмосферы весной на 3—4% больше, чем осенью. Кроме того, она испытывает значительные междусуточные колебания, вызванные нерегулярной сменой различно увлажненных и запыленных воздушных масс. Междусуточная изменчивость прозрачности атмосферы в Каунасе примерно в 2 раза превышает амплитуду годового хода средних месячных значений.

Количество солнечной радиации, падающей на горизонтальную поверхность, зависит и от высоты Солнца над горизонтом. Как показали расчеты месячных и годовых сумм радиации [18], поверхность Каунаса даже в условиях совершенно безоблачной атмосферы получила бы всего 68% годового, 69% июньского и только 56% январского количества солнечной радиации, поступающей в указанное время на верхнюю границу атмосферы. При этом на непосредственное облучение прямыми солнечными лучами приходилось бы немногим более половины этой энергии (≈4396 МДж/(м²·год). Следующие 15% (≈1214 МДж/м²×ход) поступили бы в виде радиации, рассеянной в атмосфере.

Существенные изменения радиационного режима происходят под влиянием облачности, количество которой в среднем меняется обратно пропорционально продолжительности солнечного сияния. Количество радиации, задержанной облаками, зависит не только от продолжительности закрытия ими пути солнечных лучей, но и от пропускной способности самого об-

лачного покрова, которая над Каунасом в январе в два раза меньше, чем в июне, когда пропускается около 40% радиации, приходящей на верхнюю границу облачного покрова [18].

Фактические условия радиационного режима описываемых городов приходится рассматривать на основе результатов актинометрических наблюдений, проводимых в окрестностях Кау-

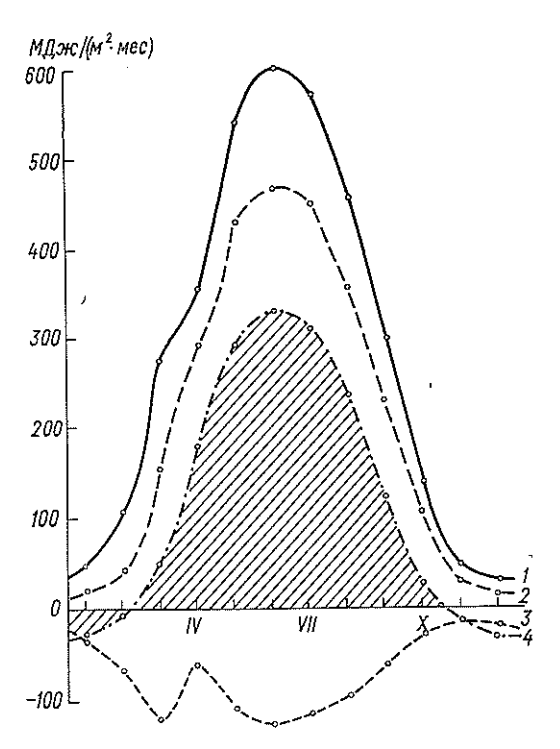


Рис. 10. Годовое изменение составляющих радиационного баланса в г. Каунасе. 1—суммарная радиация, 2—поглощениая, 3—отраженная, 4—радиационный баланс.

наса, так как в Вильнюсе такие наблюдения не проводятся. Подобная экстраполяция данных правомерна, поскольку оба города расположены почти на одной географической широте, имеют сходные свойства подстилающей поверхности и примерно одинаковый режим облачности. Средние месячные суммы основных членов радиационного баланса, обобщенные за 20летний период наблюдений, представлены в табл. 2 приложения. Главные особенности их годового хода показаны на рис. 10.

Приходную часть радиационного баланса составляют два основных потока: прямая радиация, падающая на горизонтальную поверхность, и рассеянная атмосферой и облаками радиа-

ция, приходящая со всех точек небосвода. Оба эти потока со-

ставляют суммарную радиацию.

Как видно из приведенных данных, количество суммарной раднации, поступающей на поверхность описываемых городов, в отдельные месяцы неодинаково. Если в июне приходит 17% годового количества радиации, то в январе — только 1,5%, т. е. в 12 раз меньше. Годовой ход суммарной радиации тесно связан с изменением полуденных высот Солнца над горизонтом. Некоторая асимметрия годового хода, наблюдаемая в начале весны, объясняется повышенной в это время года прозрачностью атмосферы. Соотношение сумм прямой и рассеянной радиации также зависит от времени: количество прямой радиации превышает количество рассеянной только в начале лета в июне, в остальные летние месяцы количество прямой и рассеянной радиации распределяется поровну, а в зимние месяцы доля прямой радиации снижается до 20%.

Колебания годовых сумм суммарной радиации из года в год составляют $\pm 10\%$ от средней (табл. 3 приложения). Летом этот диапазон колебаний увеличивается до $\pm 25\%$, а зимой достигает ± (35-40%). Подобные колебания испытывают из года в год и другие потоки раднации. Аномалии режима облачности в отдельные годы приводят также к смещению годового

максимума радиации на июль или май.

Суточный ход радиации в основном определяется изменением высоты Солица. При отсутствии облаков максимум прямой и суммарной радиации приходится на полдень. Максимум рассеянной радиации в летнее полугодие смещается на первую половину дня, поскольку днем возрастает количество водяного пара, заметно поглощающего радиацию. В дни со значительной облачностью нормальный ход суммарной раднации нарушается согласно фактическому изменению облачности. При этом возможно не только уменьшение, но и увеличение радиации, особенно рассеянной. Благодаря отражению солнечных лучей от кучевых облаков может увеличиться не только рассеянная, но

и суммарная раднация.

Дальнейшая трансформация суммарного потока радиации после того, как он достигнет земли, происходит уже под влиянием подстилающей поверхности, которая не только поглощает падающую на нее радпацию, но и отражает часть ее обратно в атмосферу. В табл. 2 приложения представлены значения раднации, отраженной поверхностью метеорологической площадки, которая летом покрыта травяной растительностью, а зимой — снежным покровом. При данных условиях от земной поверхности отражается около 25% годового количества радиации. Для большинства месяцев доля отраженной радиации в Каунасе составляет около 20% от суммарной, но в период залегания снежного покрова она достигает 50% и более, хотя в абсолютном выражении она в это время невелика.

Самые большие потери радиации за счет отражения бывают в предвесенний период, когда от еще сохранившегося снежного покрова отражаются все увеличивающиеся потоки солнечной радиации (рис. 10). Второй максимум отраженной радиации наблюдается в обычное для других потоков время — летом. Количество радиации, отражающейся от поверхности города в целом, может существенно отличаться от приведенного выше потому, что различные поверхности обладают весьма различной отражательной способностью (альбедо). Так, например, асфальтовые покрытия отражают от 10 до 30%, а железная кровля — от 24 до 32% падающей на них радиации (в зависимости от цвета покрытий). Бетонные и кирпичные поверхности отражают 30—35%, деревянные стены — до 40%, силикатный кирпич — 48—50%, светлая штукатурка — 60% падающей на них радиации. С другой стороны, альбедо сухого песка составляет всего 19%, гравия — 13%, черного пара — 10—12%, неспокойных водных поверхностей — в среднем 8%. Альбедо древесных насаждений существенно зависит от их густоты и видового состава.

Значения суммарной отражательной способности городского ландшафта в целом зависят от распределения составляющих его поверхностей и порой могут заметно отличаться от ее значений, измеренных на покрытой травой площадке. В [18] представлены расчеты интегрального альбедо для ландшафта окрестностей Каунаса. Сравнение расчетных данных с измеренными показывает, что летом различия составляют только 3—4%, но в переходные сезоны они возрастают до 7—12% главным образом из-за несовпадения в сроках образования и схода снежного покрова.

В условиях городского ландшафта часть отраженной от стен зданий радиации поглощается другими стенами. Поэтому действительная отражательная способность плотно застроенных кварталов несколько ниже, чем полученная путем соответствующих расчетов. Среднее альбедо застроенной части Минска по измерениям с самолета на 4—6% ниже, чем альбедо окружающего ее ландшафта [24]. Надо полагать, что примерно такое же соотношение справедливо и для центральных частей Кау-

наса и Вильнюса.

Второй существенный член расходной части радиационного баланса — эффективное излучение — представляет собой результирующую двух противоположных потоков — теплового излучения земной поверхности и такого же излучения атмосферы, направленного в сторону поверхности земли. Поскольку эти потоки в Литовской ССР не измеряются приборами, их значения можно получить как разность между поглощенной радиацией и измеренным приборами полным радиационным балансом.

Таким образом установленное годовое количество эффектив-

ного излучения составляет около 1130 МДж/(м 2 -год), т. е. примерно 33% суммарной радиации. В июне доля эффективного излучения уменьшается до 25%, а в зимние месяцы оно становится соизмеримым с количеством суммарной радиации, хотя по абсолютному значению летом эффективное излучение

в Каунасе почти в три раза больше, чем зимой.

Годовая сумма радиационного баланса составляет примерно 42% годового количества суммарной радиации. В течение года он дважды меняет свой знак. В осенне-зимнее время (ноябрьфевраль), когда эффективное излучение больше сумм поглощенной радиации, значения радиационного баланса земной поверхности отрицательны. В это время территория Вильнюса и Каунаса поглощает дополнительное количество тепла, приносимого с других территорий вместе с воздушными массами. В период, когда эффективное излучение меньше поглощенной радиацин (март — октябрь), излишки тепла расходуются на испарение или уносятся турбулентными потоками в атмосферу. В первой половине лета таким образом передается от земной поверхности в воздух до 55% приходящей от солнца энергии.

В годовом ходе раднационного баланса время его минимальных значений несколько опаздывает по сравнению с наступлением периода наиболее коротких дней. Определенная асимметрия характерна и для других времен года: из-за большого альбедо снежного покрова раднационный баланс февраля заметно уступает радиационному балансу октября и в марте он меньше, чем в сентябре. Летом этн различия сглажены.

В суточном ходе раднационный баланс имеет обратную асимметрию из-за относительного увеличения эффективного излучения в более теплое послеполуденное время. По ночам радиационный баланс, как правило, отрицателен и равен эффективному излучению, взятому с обратным знаком. Переход радиационного баланса от отрицательных значений к положительным происходит при высоте Солнца 6—8°, т. е. в течение 50-80 мин после восхода Солнца, вечером происходит обратное.

2.3. Радиационный режим вертикальных поверхностей

В условиях города во многих случаях солнечная радиация поглощается не горизонтальными, а вертикальными и наклонными поверхностями (стенами, крышами зданий и т. п.), радиационный режим которых существенно отличается от радиационного режима горизонтальных поверхностей.

Облучение солнечными лучами вертикальных поверхностей, кроме всего прочего, зависит от их ориентации и для любого отрезка времени может быть определено из уравнения

$$S_{\rm B} = S \cos h_{\odot} \cos (A_{\odot} - A_{\rm B}),$$

где $S_{\rm B}$ — прямая солнечная радиация, поступающая на вертикальную поверхность, S — прямая радиация на перпендикулярную к лучам поверхность, A_{\odot} — азимут Солнца, $A_{\rm H}$ — азимут

иормали к вертикальной поверхности [32].

На рис. 8 и 11 видно, что время облучения южных стен в летнее время короче продолжительности дня. В это время по утрам и вечерам прямыми лучами солнца облучаются также и северные стены зданий, суммарная продолжительность облучения которых в дни равноденствия превышает 7,5 ч (рис. 11).

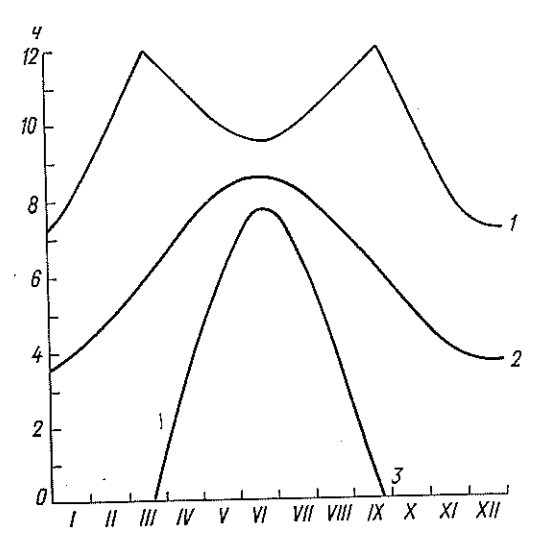


Рис. 11. Возможная дневная продолжительность солнечного сияния на 15-е число каждого месяца для стен разной ориентации.

1— стены южной ориентации, 2— западной и восточной, 3— северной.

Летом разница в продолжительности облучения стен различной ориентации оказывается наименьшей. Время облучения восточных и западных стен в зимнее полугодие пропорционально продолжительности дня и равно ее половине. В летнее полугодие время облучения этих стен продолжает увеличиваться и в период равноденствия в Вильнюсе и Каунасе превышает 8,5 ч. Наибольшая возможная продолжительность облучения южных стен наблюдается в период равноденствий и равна половине суток, летом она укорачивается примерно до 9,5 ч.

В зависимости от ориентации стен изменяется и действительная продолжительность облучения. Рассмотрим это на материале г. Каунаса. Как видно из табл. 4, в зимнее время действительное число часов солнечного сияния для южных стен

Таблица 4 Характеристики солнечного сияния для стен разной ориентации в Каунасе (1924—1963 гг.)

					(1021	-1900	111.)				
Ориента- ция стены	I	II	III	IV	v	VI	VII	VIII	IX	x	XI	XII
Число часов (в среднем за день)												
С В Ю З	0 0,60 1,31 0,71	0 0,89 2,01 1,12	0 2,05 4,39 2,34	0,58 3,08 5,58 3,08	2.10 4.27 6,25 4,08	3,07 4,65 6,13 4,54	2 52 4,28 6,18 4,42	1,17 3,58 6,30 3,88	0,07. 2,68 5,48 2,88	0 1,49 3,15 1,66	0 0,56 1,22 0,66	0 0,46 0,95 0,49
Отношение действительной продолжительности к возможной, %												
С В Ю З	15,7 17,0 18,6	18,3 20,7 23,9	35,1 37,4 40,1	19,5 43,9 50,4 43,9	35,8 53,3 61,3 50,8	39,7 53,8 64,0 52,5	37,1 50,8 62,5 52,4	26,3 47,5 59,0 51,5	6,5 41,9 46,9 44,9	28,1 29,7 31,4	14,1 14,5 16,5	12,5 13,1 13,6

такое же, как и для горизонтальной поверхности. Для западных и восточных стеи оно составляет приблизительно половину этого времени, а для северных стен равно нулю.

В июне — месяце летнего солнцестояния — продолжительность облучения даже южных стен сокращается более чем на 30%; для западных и восточных стен она составляет примерно половину, а для северных равна 30% продолжительности облучения горизонтальной поверхности. Несколько большая продолжительность облучения западных стен, чем восточных, объясияется увеличением облачности в утренние часы зимних и переходных месяцев. Относнтельно лучшие условия облучения восточных стен в Каунасе наблюдаются только в мае и июне, когда получает перевес влияние кучевой облачности, увеличивающейся после полудня. Меняется для стен разной ориентации и отношение действительной продолжительности солнечного сияния к возможной (табл. 4). Если поздней осенью и зимой это отношение для облучаемых восточных, южных и западных стен различается в пределах 5%, то летом разность для северных и южных стен составляет уже 20-25%, весной (в апреле) 30%, ранней осенью (в сентябре) даже 40%. Рассматриваемая разница для восточных и западных стен летом не превышает 2-3%. Такая неоднородность различий между относительной облучаемостью противоположных стен полностью объясняется суточным ходом облачности, причем различия для северных и южных стен пропорциональны его амплитуде, а различия для восточных и западных отражают влияние только его асимметрии, т. е. разницы между пред- и послеполуденной облачностью.

Количество солнечной радиации, приходящей на различно ориентированные стены за месяц, можно получить путем инте-

грирования уравнений для $S_{\rm B}$. Ввиду трудоемкости такой работы ориентировочные суммы прямой радиации можно получить путем умножения данных из табл. 2 приложения на соответствующие поправочные коэффициенты, предложенные в [42]. Суммы суммарной радиации можно получить путем добавления к суммам прямой радиации половины суммы отраженной и половины суммы рассеянной радиации, умноженной на поправочный коэффициент, который, согласно [24], для южных стен равен 1,1, для юго-западных и юго-восточных 1,05, для северо-западных и северо-восточных 1,02 и для северных стен 1,06. Полученные таким путем месячные суммы прямой и сум-

марной радиации приведены в табл. 4 приложения.

Как видно, в зимние месяцы, при низком стоянии Солнца, стены южной четверти горизонта (юго-западные, южные и юго-восточные) в Каунасе получают в 3, 4 и даже в 5 раз больше прямой радиации, чем в это время получает горизонтальная поверхность. Летом, при высоком стоянии Солнца, эти же стены получают только 40—60% радиации (по сравнению с горизонтальной поверхностью). При этом наибольшее количество прямой радиации получают не южные, а юго-восточные и юго-западные стены. С апреля по октябрь восточные стены обогреваются солнечными лучами лучше, чем западные; с ноября по март, наоборот, больше тепла получают западные стены. Количество прямой радиации, падающей на стены северной четверти горизонта (северо-западные, северные и северо-восточные), даже в июле составляет не более 10—30% радиации, приходящей на горизонтальную поверхность.

Различия между месячными суммами суммарной радиации, падающей на различно ориентированные стены, известным образом сглажены. Стены южной четверти горизонта зимой получают радиации в 1,5—2 раза больше, а стены северной четверти— на 30% меньше, чем горизонтальная поверхность. Летом северные стены получают 40%, а остальные 50—60% радиа-

ции, падающей на горизонтальную поверхность.

Вышеприведенные данные действительны только для домов, стоящих в достаточном удалении друг от друга. В случае тесной застройки, на узких улицах, стены зданий недополучают раднацию из-за частичной их затененности другими зданиями. Вследствие этого в районах сплошной застройки количество раднации, падающей на стены различной ориентации, согласно [10], может сократиться до 10% раднации, которую получают отдельно стоящие здания. Большие различия в раднационном нагреве различно ориентированных стен можно в известной степени регулировать путем подбора соответствующей окраски и других средств, изменяющих отражательную и поглощательную способность ограждающих конструкций.

При оценке радиации, проникающей в помещение через застекленные окна, следуя [24], можно принять, что при одинар-

ном застеклении внутрь помещений проникает около половины, а при двойном — около одной трети радиации, падающей на плоскость оконных проемов.

2.4. Естественная освещенность

Для практических целей важна оценка не только солнечной радиации, но и количества света. Освещенность предметов определяется не всем солнечным спектром, а только его видимой частью, которая изменяется в атмосфере несколько иначе,

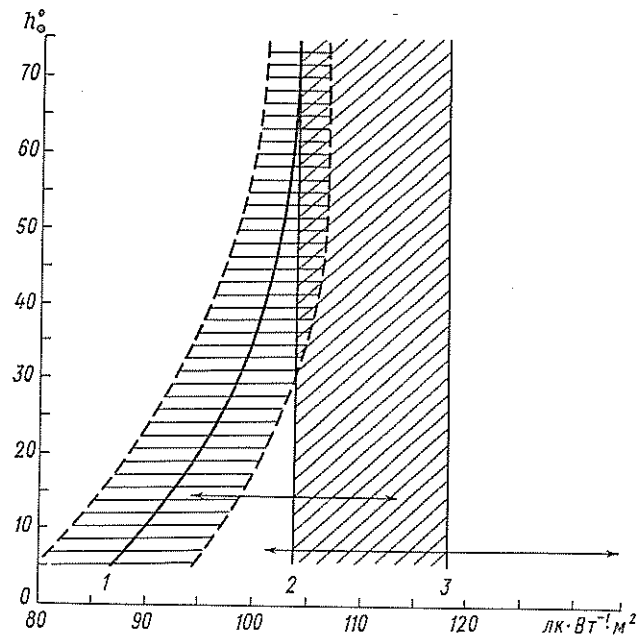


Рис. 12. Световой эквивалент суммарной (1) и рассеянной радиации при пасмурном (2) и ясном (3) небе.

чем остальная часть спектра. Соотношение между количествами энергии видимой и невидимой частей спектра зависит от высоты Солнца, прозрачности атмосферы, влажности воздуха, количества и формы облаков и т. д. Поэтому освещенность поверхности, вызванная одной единицей приходящей на нее радиации, бывает различной в зависимости от вида радиации и условий погоды. Для приближенных расчетов освещенности при ясной погоде, согласно [4], можно принять, что световой эквивалент рассеянной радиации колеблется от (117 ± 17) лк $\times BT^{-1} \cdot M^2$ (при небольшой облачности и ярком солнце) до 103 лк $\cdot BT^{-1} \cdot M^2$ при пасмурном небе. Световой эквивалент пря-

мой и суммарной радиации при ясном и пасмурном небе зависит от высоты Солнца и меняется так, как показано на рис. 12. Как видно, в диапазоне между зимними и летними полуденными высотами Солнца он меняется от (89±7) до (103±3) лк × Вт⁻¹·м². Указанные отклонения светового эквивалента от среднего пропорциональны изменчивости количества атмосферных примесей, избирательно ослабляющих радиацию в разных областях спектра.

С помощью приведенных коэффициентов и данных об интенсивности солнечной радиации при ясном небе нетрудно найти значения возможной освещенности. По результатам таких расчетов составлена табл. 5 приложения. Значения суммарной освещенности можно получить путем простого сложения значений прямой и рассеянной освещенности. Годовой и суточный ход возможной при ясном небе освещенности в основных чертах повторяет изменение интенсивности соответствую-

щих потоков солнечной радиации.

Значения действительной освещенности определяются также и облачным покровом. Суммарная освещенность при действительных условиях облачности Вильнюса и Каунаса в среднем в 1,5—2 раза меньше освещенности при ясиом небе. Рассеянная освещенность уменьшается только при сплошной облачности. В условиях переменной облачности рассеянная освещенность увеличивается за счет отражения света от боковых поверхностей облаков настолько, что может иметь место даже увеличение суммарной освещенности.

Основные закономерности годового хода суммарной и рассеянной освещенности такие же, как и у соответствующих потоков раднации. Как видно из табл. 5, рассеянная освещен-

Таблица 5 Средние месячные суммы суммарной (E_Q) и рассеянной (E_D) освещенности (клк· 10°) в Каунасе (1956-1965 гг.)

		+		`								
Освещен- ность	I	11	III	IV	v	VI	VII	VIII	IX	х	ΧI	XII
EQ ED	9	20 15	51 32	63 37	95 50	102 51	99 54	73 42	50 29	25 17	9 7	7 6

ность горизонтально расположенных предметов летом в Вильносе и Каунасе в 8—10 раз, а суммарная освещенность даже в 15—20 раз больше, чем зимой. Максимум суммарной освещенности падает на июнь, а рассеянной— на июль. В летние месяцы рассеянная освещенность Вильноса и Каунаса составляет примерно половину суммарной. Зимой доля рассеянной освещенности увеличивается до 90%. Освещенность весенних месяцев несколько превышает освещенность осенних.

Заметное увеличение освещенности происходит в начале весны. Рассеянная освещенность в марте в 2 раза, а суммарная в 2,5 раза больше, чем в феврале. В апреле, после схода снежного покрова, увеличение освещенности замедляется. В отдельные годы средняя месячная освещенность может отклоняться от средней многолетней в значительных пределах. По данным [24], полученным в Минске, который расположен почти на одной географической широте с Вильнюсом и имеет весьма похожие показатели облачности, среднее квадратическое отклонение о от средних часовых показателей освещенности составляет летом примерно 10%, а зимой около 30%.

3. ОСОБЕННОСТИ АТМОСФЕРНОЙ ЦИРКУЛЯЦИИ

3.1. Погодообразующие механизмы

Не менее чем от радиационных процессов климат Вильнюса и Каунаса зависит от перемещения барических образований, воздушных масс и атмосферных фронтов.

Движущей силой воздушных течений являются горизонтальные барические градиенты, возникающие под воздействием неравномерного нагревания земной поверхности Солнцем. Под влиянием ряда физических и географических факторов в потоках воздуха образуются большие вихри— циклоны и антициклоны. Области высокого и низкого давления в значительной степени определяют условия погоды. Поэтому представляют интерес сведения как о повторяемости этих образований, так и о продолжительности их воздействия.

На погоду Вильнюса, Каунаса и их окрестностей ежегодно оказывают воздействие в среднем 57 циклонов и 47 антициклонов (табл. 6). В отдельные годы количество циклонов меня-

Таблица 6 Среднее количество барических образований и число дней с их воздействием в Вильнюсе (1946—1972 гг.) 1

	Колі	ичество	Число ді	ней с воздейств	ием полей
Месяц	циклонов	антициклонов	циклонических	антициклопи- ческих	промежуточ ных
І ІІ ІІ V VI VII VIII IX X XI XII Год	5 6 4 5 6 4 4 4 5 5 5 7	3 3 4 4 5 5 5 4 3 4 5 4 3 4 7	17 15 16 14 13 11 12 13 14 15 16 17	12 11 10 11 12 11 10 11 12 11 12 11 11	2 4 6 7 7 8 8 5 4 3 3 59

¹ Наблюдения велись с перерывами.

ется в пределах от 37 (1951 г.) до 79 (1962 г.), а количество антициклонов — от 34 (1965 г.) до 62 (1940 г.). Средние квадратические отклонения о годового числа циклонов и антициклонов близки к 10. Қоэффициенты вариации (C_v) годового числа циклонов и антициклонов равны соответственно 0,17 и 0,21.

В среднем в течение года на погоду рассматриваемого района циклонические образования (циклоны, ложбины) воздействуют в течение 173 дней, а антициклонические (антициклоны, отроги, гребни) — в течение 133 дней. В остальные дни — пере-

ходные барические образования.

Хотя годовой ход числа циклонов и антициклонов выражен слабо, продолжительность циклонических воздействий в декабре на 50% больше, чем в июне. Средняя продолжительность антициклонических влияний распределена по месяцам более равномерно (табл. 6). Средняя годовая непрерывная продолжительность циклонических ситуаций в Вильнюсе равна 32 ч и примерно на 23% превышает среднюю непрерывную продолжительность антициклонических ситуаций [27].

Зимой, когда циклоны следуют один за другим большими сериями, непрерывные циклонические воздействия в среднем на 30-60% продолжительнее антициклонических. Однако продолжительность воздействия одного циклона во все времена года в среднем меньше, чем одного антициклона, потому что циклоны перемещаются быстрее. Более 60% всех циклонов движется над Вильнюсом и Каунасом со скоростью 25-30 км/ч, а 28% — еще быстрее. Число же антициклонов, движущихся со скоростью более 25 км/ч, здесь не превышает 21% [27].

Траектории перемещения барических образований, как и их повторяемость, весьма изменчивы. Однако можно выделить преобладающие траектории. В табл. 7 указана повторяемость перемещения циклонов и антициклонов по различным траекториям, выраженная в % от общего числа циклонов (антициклонов), следовавших по всем учитываемым траекториям в тече-

ние года (сезона).

В течение года преобладает воздействие антициклонов, перемещающихся с запада и северо-запада. Летом вхождение . антициклонов происходит почти исключительно по этим траекториям. Зимой к ним прибавляются вторжения по полярным и ультраполярным траекториям. Пути циклонов более изменчивы. В среднем за год повторяемость различных циклонических траекторий примерно одинакова, но сезонные изменения очевидны. Так, летом циклоны с Ирландского моря перемещаются на рассматриваемый район в 4 раза чаще, чем зимой. Циклоны с Исландии, Баренцева и Норвежского морей зимой приходят примерно в 2 раза чаще, чем летом.

Территория Литовской ССР редко служит местом образования новых воздушных масс или их значительной трансформации. Основную роль в формировании погоды и климата

Таблица 7
Повторяемость различных траекторий движения барических образований, влияющих на погоду Вильнюса и Каунаса (1960—1969 гг.)

		Повт	горяемос	ть, %
Вид образования	Направление движения	год	лето	зима
Антициклоны атлантические норвежские новоземельские ультраполярные	С Атлантического океана через Западную Европу на восток С Норвежского и Баренцева морей через Скандинавию на юго-восток С района Новой Земли на юг и юго-запад С Карского моря на юго-запад	34 36 27 3	50 50 —	29 39 28 4
Циклоны северные	С Исландии через Норвежское и	27	18	34
западные	Баренцево моря С Ирландского моря через Балтий-	26	41	10
ныряющие	ское в направлении Белого моря С Норвежского и Баренцева морей	21	17	32
еынжо	на юг и юго-восток Со Средиземного и Черного морей на север и северо-восток	24	23	24

здесь играет адвекция воздушных масс из других стран и акваторий. Свойства переносимого над Вильнюсом и Каунасом воздуха зависят не столько от направления переноса, сколько от места его формирования и скорости передвижения. Здесь наиболее часто встречаются воздушные массы умеренных широт (табл. 8). Их средняя годовая повторяемость составляет 80%. При этом воздух морского и континентального происхождения имеет приблизительно одинаковую повторяемость. Перенос морского воздуха с Атлантического океана совершается либо в циклонах, смещающихся с запада, либо по восточной или северной периферии смещающихся оттуда же антициклонов. Первый процесс преобладает в холодное полугодие, второй в теплое.

Морской воздух зимой является теплой воздушной массой. Свыше 40% вторжений морского воздуха приносят в Вильнюс и Каунас погоду с положительной температурой в течение суток. Столь же часто повторяются дневные оттепели. В 18% случаев в течение суток наблюдаются незначительные отрицательные температуры. Массы морского воздуха зимой приносят также низкую облачность и туманы.

Летом морской воздух является прохладной и влажной воздушной массой с температурой в районе Вильнюса на 1—1,5° С ниже средней. Под влиянием солнечной радиации в нем возникает мощная термическая конвекция, приводящая к образова-

Таблица 8 Повторяемость (%) дней с воздушными массами различного происхождения в Вильнюсе (по [51]) (1931—1950 гг.) 1

		III-V			VI-VIII		IX-XI			II-IIX			
Воздушная масса	макс.	среднее	мин.	макс.	среднее	мин.	макс,	среднее	MRII.	макс.	среднее	MHII.	Год
Арктическая													
континентальная	14	3	0	14	0	0	8	4	1	23	9	0	5
морская	28	19	10	19	10		47	$1\hat{7}$	Ô	25	11	1	13
Умеренных широт						-				~	~ *	1	1.0
континентальная	59	42	29	55	38	23 37	69	41	19	67	38	8	40
морская	51	35	14	65	49	37	54	36	21	72	41	23	40
Тропическая													-10
континентальная	3 3	1	0	9	3	0	4	<1	0	0	0	0	1
морская	3	<1	0	3	<1	0	12	2		2	1	0	1

¹ Наблюдения велись с перерывами.

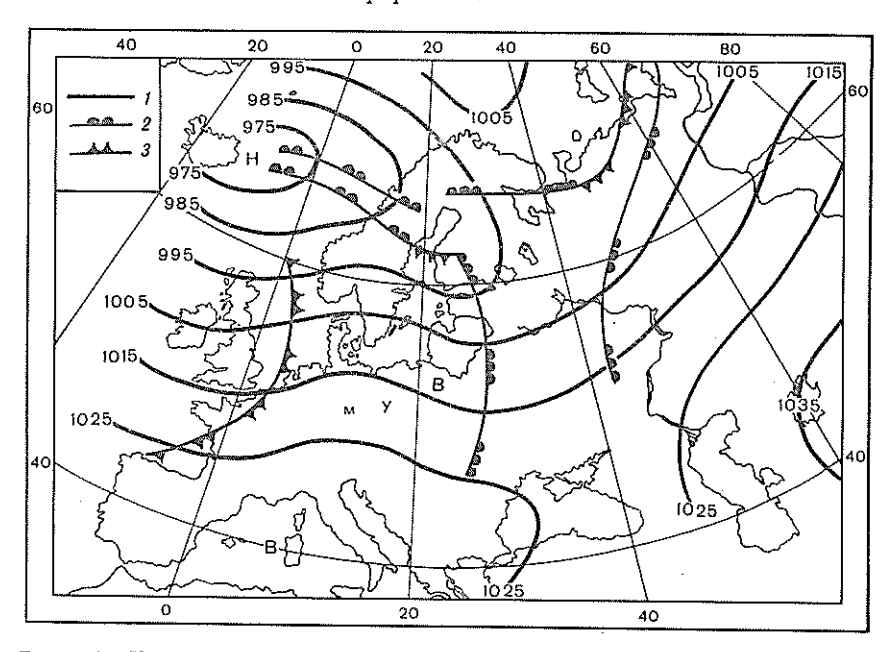


Рис. 13. Қарта погоды за 3 января 1948 г. Перенос морского воздуха умеренной зоны. I — изобары, 2 — теплый фронт, 3 — холодный фронт.

нию кучевой облачности, порывистых ветров, ливневых дождей и гроз. В переходные времена года средняя температура морских воздушных масс близка к температуре континентальных.

На рис. 13 приведен пример вхождения морского воздуха умеренных широт в феврале. Этот воздух поступил с сильными западными потоками с Атлантического океана и оттеснил более холодный воздух на восток Европейской территории СССР. В морском воздухе средние суточные температуры воздуха повысились до 3—4° С.

Континентальный воздух умеренных широт поступает с континента. Евразии чаще всего в областях повышенного давления. Зимой континентальный воздух является холодной воздуш-

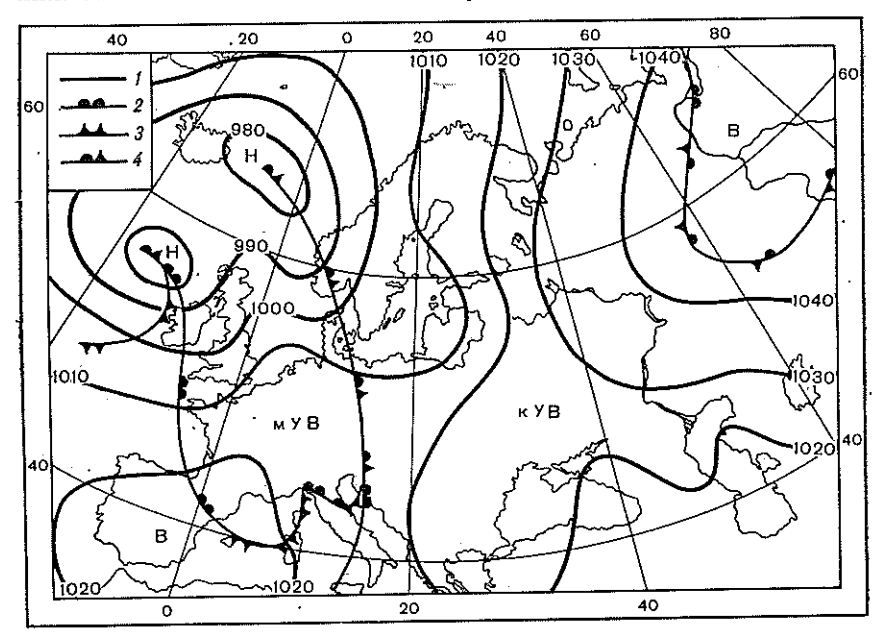


Рис. 14. Қарта погоды за 14 января 1947 г. Қонтинентальный воздух умеренной зоны. 1- изобары, 2- теплый фронт, 3- холодный фронт, 4- фронт окклюзии,

ной массой, средняя температура которой в районе Вильнюса на 4—5° С ниже средних месячных температур. Погода, обусловленная зимним континентальным воздухом, в 56% случаев морозная. Из-за малого влагосодержания и устойчивой стратификации вероятность малооблачной погоды в нем достигает 50%. Пример вторжения континентального воздуха умеренных широт приведен на рис. 14. Этот воздух поступил на Восточную Европу в отроге сибирского антициклона и обусловил малооблачную морозную погоду. Летний континентальный воздух теплый. Погода хорошая, лишь в утренние часы местами возможны радиационные туманы, а в послеполуденные, при достаточной влажности воздуха — кратковременные внутримассовые дожди и грозы.

Воздушные массы арктического происхождения (с районов Гренландии и Северного Ледовитого океана) наблюдаются редко (18% случаев в год). Массы морского арктического воздуха чаще всего поступают в тылу атлантических циклонов (зимой) или по восточной окраине антициклонов, занимающих север Атлантического океана и Западной Европы. Массы континентального арктического воздуха вторгаются с антициклонами из Арктики и Таймырского полуострова.

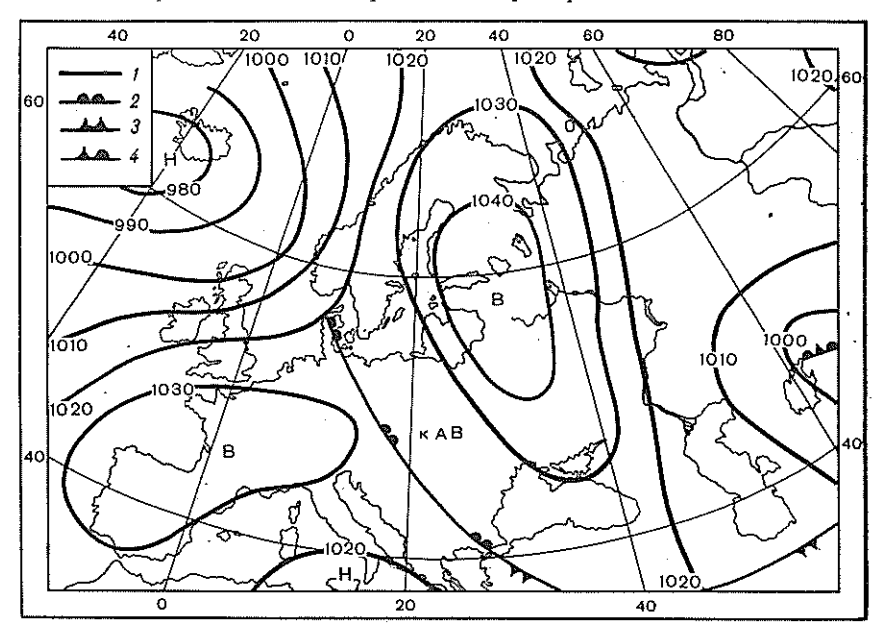


Рис. 15. Карта погоды за 11 января 1950 г. Арктический воздух в Литве. Усл. обозначения см. рис. 14.

Воздушные массы арктического происхождения в течение всего года являются холодными. Температуры их в среднем ниже температуры умеренного воздуха. Наиболее холодными являются континентальные разновидности этих масс, их приходом обусловлены длительные и устойчивые морозы с минимальными температурами в районе Вильнюса и Каунаса иногда —30° С и ниже. На рис. 15 показано вторжение арктического воздуха с Баренцева моря. В арктическом воздухе сформирован обширный антициклон. С вхождением этого антициклона минимальные температуры понизились в Вильнюсе при ясной погоде до —31° С. Смещение антициклона к югу и вхождение с запада воздуха умеренных широт вызвало повышение температуры и ослабление морозов.

Морской арктический воздух зимой при своем движении над незамерзшим океаном может в нижних слоях прогреться и

увлажниться. В этих случаях его вхождение сопровождается ненастной погодой с туманами и низкой облачностью. Весной вторжение арктических масс приводит к возникновению заморозков даже на фоне средней суточной температуры выше 10° С. Летом и осенью выносы морского арктического воздуха редки. Они сопровождаются холодной облачной погодой с кратковременными дождями, порывистыми ветрами.

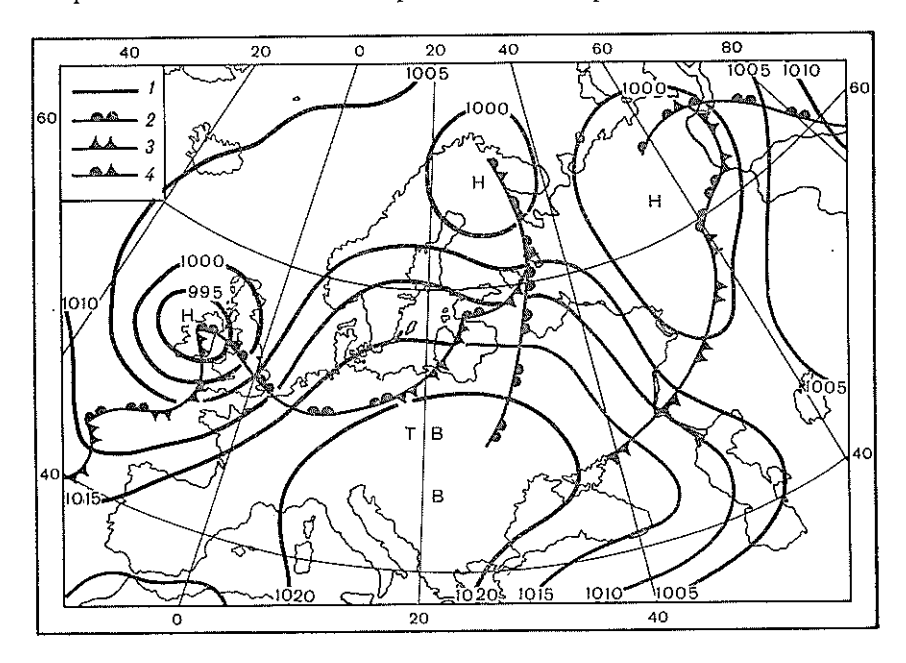


Рис. 16. Карта погоды за 22 июля 1948 г. Перенос воздуха тропического происхождения.
Усл. обозначения см. рис. 14.

Повторяемость воздушных масс тропического происхождения не превышает 1—2%. Они теплы во все времена года. Вторжение субтропического воздуха зимой сопровождается оттепелями, густыми туманами и нередко гололедом. Летом при таких вторжениях стоит жаркая погода с плохой видимостью. На рис. 16 приведен пример вхождения тропического воздуха со Средиземного моря по северо-западной периферии антициклона, располагавшегося над югом Европы. В этом воздухе при малооблачной погоде днем температура в Вильнюсе повысилась до 31°С. Теплый сектор с тропическим воздухом был очень узким, поэтому такая высокая температура удерживалась всего один день.

Повторяемость воздушных масс всех типов зависит от времени года. Летом и зимой, когда зональная циркуляция наи-

более интенсивна, в Вильнюсе и Каунасе учащается повторяемость морского воздуха умеренных широт (табл. 8). В переходные времена года относительно учащаются случаи меридионального переноса, когда воздух умеренной зоны частично уступает место морскому воздуху из Арктики. Зимой до 9% повышается вероятность поступления континентального арктического воздуха. В исследованиях циркуляционных механизмов над Прибалтикой [2, 18] указывается на существование определенной цикличности колебаний атмосферной циркуляции, приводящей к некоторым вековым колебаниям погоды.

Циркуляция атмосферы приводит к сближению воздушных масс с различными свойствами. В зоне их соприкосновения возникают переходные зоны, носящие названия атмосферных фронтов. В течение года над Вильнюсом и Каунасом проходит свыше 170 атмосферных фронтов (табл. 9). Если в холодное

Таблица 9 Среднее число атмосферных фронтов, проходящих через Вильнюс и Каунас (1946—1958 гг.)

Фронт	l	11	ΙΙΪ	IV	V	VΙ	VII	VIII	ıx	Х	XI	XII	Год
Теплый Холодный Окклюзии по типу теплого фрон- та по типу холодного фронта Всего	66333	5 5 2 2	5 6 3 3	4 7 3 2 1	4 8 3 1 2	4 8 2 2	4 8 2 2	4 8 2 2	5 7 3 3	5 7 3 1 2	6 7 3 3	6 6 3 3	58 83 32 19 13

время число теплых и холодных фронтов примерно одинаково, то в теплое время года теплых фронтов в два раза меньше, чем холодных. Из 32 фронтов окклюзии, проходящих над Вильнюсом, 19 имеют черты теплого фронта, а 13—холодного. В отдельные годы число фронтальных разделов различных типов может отклониться от вышеуказанного среднего числа на 20—30% [18].

Теплые фронты наиболее характерны для холодного времени года. Характерная скорость их передвижения около 30 км/ч. При переваливании теплых фронтов через Скандинавские горы, на 300—400 км впереди их происходит образование верхнего фронта, с которым связаны снегопады, метели и усиление ветра. В 84% случаев зимние теплые фронты сопровождаются сплошной облачностью; 40% теплых фронтов приносят осадки в виде снега, 25% — мокрый снег или дождь. Около 10% теплых фронтов сопровождается усилением ветра, 5% — сильным ветром и выпадением снега, в результате чего обра-

зуются метели. Около 10% теплых фронтов сопровождаются гололедом.

Весной теплые фронты становятся более размытыми; сплошной облачностью отличаются только 60% весенних теплых фронтов. В 50% случаев они сопровождаются дождем и только в 20% случаев снегом. Сильный ветер при прохождении весенних теплых фронтов отмечается только в 6% случаев. В конце весны около 8% теплых фронтов уже сопровождается грозами.

Летом скорость передвижения теплых фронтов замедляется до 20 км/ч и менее, 50% фронтов сопровождается неполной облачностью. Половина теплых фронтов летом сопровождается обложными дождями, а 25% — ливнями. С 12% теплых фронтов летом связаны грозы, которые чаще всего отмечаются вечером и ночью. Сильным ветром отличается только 5% теплых летних фронтов.

Осенью повторяемость и интенсивность теплых фронтов увеличиваются. В основном они опять сопровождаются сплошиой облачностью. Свыше 50% теплых осенних фронтов еще сопровождается дождями, но уже около 20%— снегопадами. До 10% увеличивается число случаев появления в зоне теплого

фронта сильных ветров.

Холодные фронты чаще повторяются в теплое полугодие. Скорость движения холодных фронтов больше скорости движения теплых. Наиболее быстро, со скоростью около 50—70 км/ч, движутся холодные фронты, смещающиеся с северозапада. Летом скорость их движения меньше, чем зимой. Около 80% зимних холодных фронтов сопровождается сплошной и только 3% — умеренной облачностью. Осадки, связанные с ними, выпадают преимущественно в виде снега. Только 15% фронтов сопровождается осадками в виде дождя или мокрого снега. При холодных зимних вторжениях усиление ветра до штормового наблюдается в 20% случаев. Метелями сопровождается 10% холодных фронтов. Гололед наблюдается при арктических вторжениях, если перед этим температура воздуха была положительной. На быстродвижущихся зимних холодных фронтах иногда могут наблюдаться грозы.

Весной повторяемость холодных фронтов увеличивается, но их облачность уменьшается. Только 50% холодных весенних фронтов сопровождается сплошной облачностью. Повторяемость туманов по сравнению с зимой уменьшается почти в два раза. Около 40% холодных фронтов весной сопровождается дождями, столько же — мокрым снегом, остальные не дают

осадков.

Летом холодные фронты имеют наибольшую повторяемость и наиболее резко выражены. В 57% случаев с этими фронтами связана значительная облачность. Около 70% летних холодных фронтов сопровождается ливнями и около 20%— грозами. Осенью повторяемость холодных фронтов опять несколько

уменьшается, а их скорость увеличивается. В ноябре они сопровождаются метелями и гололедом. Вероятность низкой облачности и туманов при прохождении холодного фронта увеличивается от 20% в начале до 40% в конце осени. Чаще всего эти явления наблюдаются на замедляющихся фронтах и на фронтах с волнами. При прохождении холодных осенних фронтов осадки наблюдаются в 85% случаев. Повторяемость сильных ветров при прохождении холодного фронта осенью составляет 10%.

Циркуляционные процессы находятся в сложном и многогранном взаимодействии, обусловливая большую изменчивость во времени погодообразующих механизмов и самой погоды.

3.2. Давление воздуха

Изменчивость атмосферной циркуляции наиболее отчетливо отражается на режиме давления воздуха. От количества проходящих атмосферных вихрей и скорости их передвижения зависит частота колебаний давления, а от мощности вихрей и от расстояния между городом и путями их следования зависит отклонение давления от его среднего фона.

Временную изменчивость давления можно оценить как разницу между наибольшим и наименьшим давлением. В Вильносе в среднем за год эта разница составляет 64,3 гПа, а в Каунасе — 65,7 гПа. В середине лета в связи с общим ослаблением циклонической деятельности эта разница на 35—40% меньше. Зимой, когда циклоническая деятельность наиболее интенсивна, изменчивость давления увеличивается по сравнению со средней годовой примерно на 50%. Наиболее высокое давление в Каунасе отмечено 9 января 1929 г. — 1044,3 гПа, а наиболее низкое — 17 января 1931 г. — 946,7 гПа. Абсолютный диапазон колебаний составляет 97,6 гПа.

Средние месячные значения давления воздуха в отдельные годы зимой различаются не более чем на 25—27 гПа. Летом такие различия не превышают 10—12 гПа. Колебания средних показателей давления из года в год тесно связаны с вековыми изменениями интенсивности циркуляции атмосферы. Годовая амплитуда колебания упомянутых показателей на уровне станций в Вильнюсе составляет всего 3—3,5 гПа, а в Каунасе почти 4 гПа. Годовая амплитуда давления, приведенного к уровню моря, в связи с различиями температуры зимы и лета в обонх городах близка к 5 гПа (табл. 6 приложения).

Наибольшее среднее месячное давление воздуха приходится на самый холодный месяц года — январь. Его изменение от зимы к весне происходит медленно: с января по март давление в Каунасе понижается только на 1,3 гПа. Его относительное повышение в мае (по сравнению с апрелем на 0,5 гПа), по-ви-

димому, связано с известным усилением антициклонической деятельности. Изменение давления от весны к лету в связи с интенсивным нагревом атмосферы идет быстрее; с мая по июль оно в среднем падает на 2,3 гПа. Почти такими же темпами начинается и рост давления от лета к осени; с июля по сентябрь давление увеличивается на 2,7 гПа. Осенью давление держится почти на одинаковом, повышенном уровне; его изменение от сентября к декабрю составляет всего 0,2 гПа. Относительное повышение давления в октябре так же связано с некоторым вторичным осенним усилением антициклогенеза.

Суточные колебания давления над Вильнюсом и Каунасом значительно меньше годовых. В Вильнюсе суточная амплитуда атмосферного давления в зимнее полугодие составляет только 0,5—0,6 гПа, увеличиваясь в мае — июне до 0,7—0,9 гПа. Столь же невелики и различия давления между упомянутыми городами. Разница среднего годового давления, приведенного к уро-

вню моря, между ними составляет только 0,3 гПа.

Давление воздуха определенным образом зависит от высоты места над уровнем моря. В приземном слое воздуха оно убывает примерно на 1 гПа на каждые 8 м высоты, потому бывает различным даже в пределах одного города. В Вильнюсе между точками, расположенными на дне долины реки Нярис (высота 103,9 м) и на примыкающей с юга возвышенности (191,7 м), разница давления в среднем составляет 11,2 гПа (табл. 7 приложения). Аналогичные различия существуют и между разными районами Каунаса. Частота и значения непериодических колебаний атмосферного давления представлены даи-

Таблица 10 Повторяемость (%) междусуточной изменчивости давления воздуха в Вильнюсе (1966—1975 гг.)

			s Dn.	прик	ice (1300-	101		,				
Давление, гПа	I	П	III	īÝ	v	VI	VII	VIII	ΙX	x	ΧI	XII	Год
Падение давления													
$30 \cdots 20,1$ $20 \cdots 10,1$ $10 \cdots 5,1$ $5 \cdots 0,1$	1 7 12 31	1 5 17 26	8 17 25	1 4 14 28	1 12 38	1 9 43	1 6 43	7 47	3 11 35	1 6 17 26	2 7 18 25	1 8 16 22	1 4 13 33
				Po	ст да	авлен	ия						
05 $5,110$ $10,120$ $20,130$	25 16 7 1	31 12 8	29 14 6 1	34 13 6	37 9 3	39 8 •	42 7 1	36 9 1	33 15 3	26 16 7 1	23 13 11 1	27 15 11	32° 12 5

Примечание. Точка (·) означает, что повторяемость данной градации менее 0,5 %.

ными о повторяемости междусуточной изменчивости давления в различных пределах (табл. 10). Наиболее часты незначительные колебания давления воздуха. В Вильнюсе в 50% случаев зимой и до 80% случаев летом они не выходят за пределы 5 гПа. Но во все месяцы года бывают междусуточные перепады давления до 20 гПа, а в холодное время года и до 30 гПа, однако частота их появления не превышает нескольких процентов. Время повышенной изменчивости давления—это поздняя осень и начало зимы, когда интегральная повторяемость перепадов давления более 10 гПа достигает 10% от всех дней данного месяца. Значительные перепады давления наиболее опасны для больных с повышенным артериальным давлением и другими заболеваниями сердечно-сосудистой системы.

3.3. Ветер

Фоновый режим ветра наиболее достоверно определяется по данным наблюдений на загородной, более открытой территории. Наблюдения за ветром в Вильнюсе производились в различных по характеру рельефа и застройки местах, поэтому фоновый режим ветра в настоящем описании оценивается в основном по данным Каунаса. Предварительное сравнение однородных десятилетних рядов показателей ветра в Вильнюсе и Каунасе не показало существенных различий между ними. Сравнение ветровых параметров по четырех- и восьмисрочным наблюдениям также привели к идентичным результатам. Обобщенные по месяцам многолетние данные наблюдений за направлением и скоростью ветра по флюгеру в Каунасе представлены в табл. 8 и 9 приложения и на рис. 17.

В основном над Вильнюсом и Каунасом преобладают ветры западной и южной четверти горизонта. Наиболее редки ветры северо-восточного и примыкающих к нему направлений. Особенно часты западные и юго-западные ветры в теплое полугодне (май — октябрь), когда их общая повторяемость составляет 35-40%. В холодное полугодие (декабрь - март) заметно увеличивается повторяемость южных ветров, которые наиболее часты в декабре и январе. В переходные месяцы (апрель и ноябрь) преобладающими становятся юго-восточные ветры. Наиболее редкими ветрами зимой оказываются северо-восточные, а летом — восточные. Их повторяемость на несколько процентов возрастает весной и в начале лета. Наименьшие различия между повторяемостью частых и редких направлений ветра весной составляют всего 6%. Летом эти различия в два с половиной раза, а осенью - до трех раз больше. Наиболее сильными ветрами с мая по сентябрь в среднем бывают западные, а с октября по апрель — юго-восточные ветры. Наиболее слабы в течение всего года ветры северные и северо-восточные.

Средняя годовая скорость ветра в окрестностях Вильнюса и Каунаса равна 3,6 м/с. В ноябре она возрастает до 4,3 м/с, а в августе уменьшается до 2,7 м/с (табл. 11). В годовом ходескорости ветра наблюдается ее относительное уменьшение в середине зимы и некоторое вторичное увеличение в период предвесенья (табл. 10 приложения). Отклонения от нормы средних

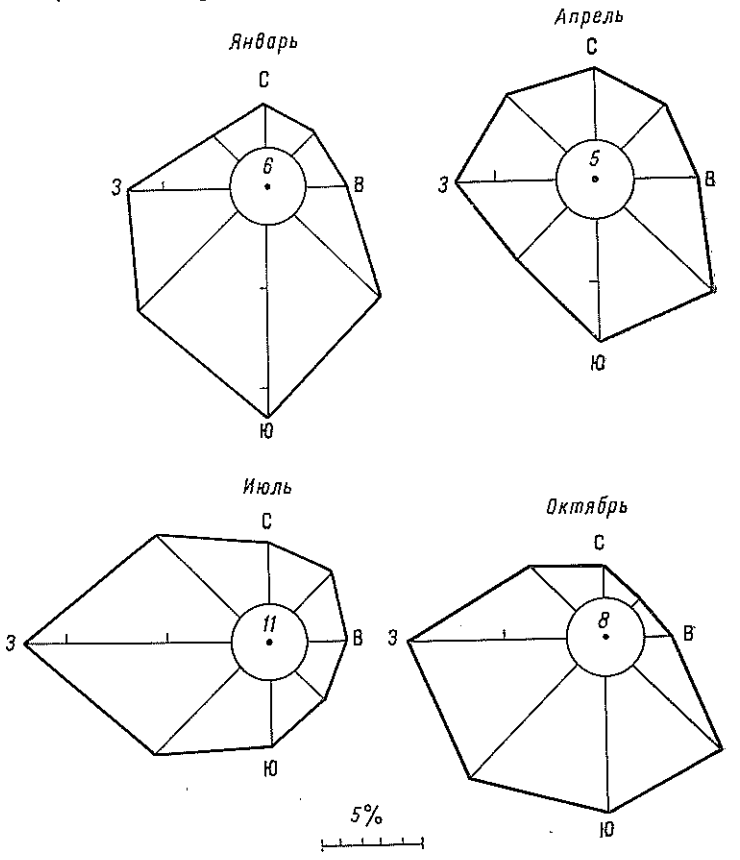


Рис. 17. Повторяемость (%) направлений ветра в г. Каунасе и число дней со штилем (в центре кружка).

месячных скоростей ветра в отдельные годы невелики. Значения годовых и июльских средних скоростей колеблются в пределах 1 м/с, декабрьских — в пределах 3,5 м/с. Годовой ход средних месячных скоростей ветра показан на рис. 18. В отдельные годы он подвержен некоторым отклонениям. Наиболее высокие средние месячные скорости ветра могут наблюдаться в любом зимнем месяце, с ноября по апрель. Наиболее часто это случается в ноябре (36% всех лет), декабре (20%) или

Таблица 11 Средняя и максимальная скорость ветра (м/с) в Каунасе (1950—1975 гг.)

***	-	•	•	•		•	_	,
Характеристика	1	11	11	I	IV		v	VI
Средняя скорость Отклонение	4,3	4,1	3	,9	3,7		3,3	3,1
наибольшее положительное среднее наибольшее отрицательное	1,1 0,6 —1,1	1,4 0,6 0,9	5 0	,4 ,5	1,3 0,5 —1,0		1,2 0,4 -0.8	0,9 0,4 0,8
Средний максимум 50 %-ной повторяемости	12,8	11,8			10,0		10,5	0,8 9,6
Расчетная скорость 5 %-ной интегральной повторяемости	17	16	17		17		16	18
Максимальные порывы % лет с максимальной скоростью ветра < 10 м/с	28 15	22 15	28 18		24 26		20 48	24 59
% лет со скоростью ветра ≥15 м/с	42	31	23		19		19	15
Характеристика	VII	VIII	ΙX	х		ΚI	XII	Год
Средняя скорость Отклонение	2,9	2,7	3,0	3,	6	4,3	4,2	3,6
наибольшее положительное среднее наибольшее отрицательное	0,5 0,3 —0,5	0,7 0,4 0,9	1,2 0,5 —0,7	0, 0, —1,	4	1,3 0,4 0,7	2,1 0,7 —1,6	0,6 0,3 0,5
Средний максимум 50 %-ной повторяемости	9,2	9,4	9,6	11,		1,4	11,4	15,8
Расчетная скорость 5 %-ной интегральной повторяемости	14	15	14	20	1	6	17	20
Максимальные порывы % лет с максимальной скоростью ветра <10 м/с	18 74	24 67	20 63	25 30	2 2		24 18	28 0
% лет со скоростью ветра ≥15 м/с	19	19	12	23	2	7	35	81
		4	•					

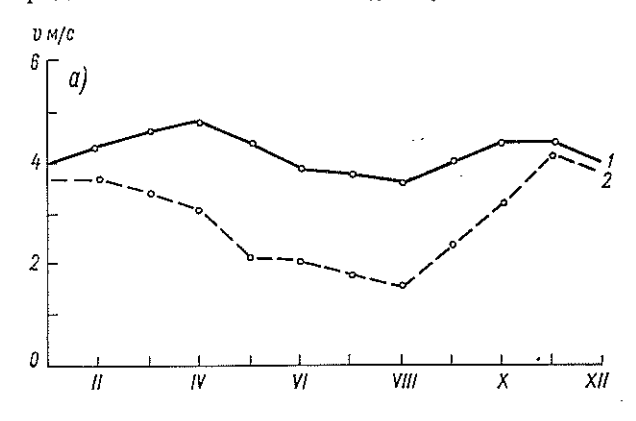
в январе (20%). Время года, когда отмечаются наиболее низкие из средних месячных скоростей ветра, более устойчиво. Такие скорости могут наблюдаться с июля по декабрь, но почти в каждом втором году они встречаются в августе и в каждом четвертом году—в сентябре. Относительное вторичное понижение скорости ветра в каждый третий год бывает в ноябре и каждый четвертый год—в декабре.

Наиболее высокие скорости ветра во все времена года наблюдаются в ранние послеполуденные сроки, чаще всего около 15 ч, когда наиболее интенсивна термическая конвекция (табл. 10 приложения). Но в декабре они только на 0,2 м/с, а летом уже на 2—2,2 м/с выше того среднего минимального уровня, который наблюдается с 21 до 6 ч (рис. 18).

Минимальные скорости ветра в любое время года могут приблизиться к нулю. Максимальные скорости (осредненные по

трехминутным интервалам) могут оказаться в 4—6 раз, а моментальные порывы ветра— в 5—8 раз больше средних скоростей ветра (табл. 11). Поскольку экстремальные скорости ветра имеют большее значение для народного хозяйства, чем средние, их следует рассмотреть более подробно.

В регионе Вильнюса и Каунаса на высоте флюгера (13 м) штили в среднем наблюдаются в 8% случаев. Летом повторяе-



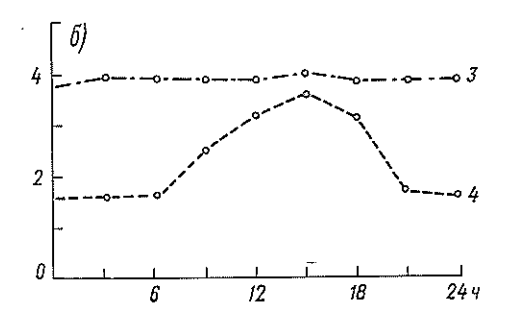


Рис. 18. Годовой (α) и суточный (б) ход скорости ветра в г. Қаунасе.

1) в 3 ч, 2) в 15 ч, 3) в декабре, 4) в августе.

мость штилей достигает 10% и более, а в начале зимы сокращается до 3%. На городских улицах и в скверах вблизи земной поверхности затишье наблюдается и тогда, когда флюгер показывает скорость ветра больше 1 м/с, а в закрытых со всех сторон дворах — и при скоростях ветра до 2 и 3 м/с.

Поскольку при штилях и слабых ветрах в городских кварталах наблюдается скопление вредных газов, представляет интерес оценка непрерывной продолжительности периодов штилевой и маловетреной погоды. Такие данные представлены в табл. 11 приложения. При этом для Вильнюса таблица со-

ставлена как по 8-срочным, так и по 24-срочным наблюдениям. В первом варианте короткие 1- и 2-часовые перерывы в периодах с одинаковыми скоростями ветра не учитывались. Как видно из приведенных данных, различия в методике расчетов почти не повлияли на наибольшую продолжительность периодов, но средняя продолжительность в варианте 8-срочных наблюдений получилась примерно в два раза больше.

Средняя продолжительность погоды, неблагоприятной для динамического перемешивания городского воздуха, в среднем составляет 5—8 ч (при учете коротких часовых периодов оно сокращается до 2,2—4 ч). Зимой средняя непрерывная продолжительность таких периодов на 30—40% больше. В исключительных случаях штилевая погода может продолжаться летом до суток, а зимой—свыше двух суток. В Вильнюсе непрерывная продолжительность периодов с маловетреной погодой несколько меньше, чем в Каунасе, что следует, по-видимому, отнести к более открытому местоположению метеорологической площадки в Вильнюсском аэропорту.

Более подробные сведения о годовом ходе показателей штилевой погоды даны в табл. 12, построенной по ежечасным на-

Таблица 12 Количество и продолжительность периодов со скоростью ветра 1 м/с в Вильнюсе по 24-срочным наблюдениям (1964—1973 гг.)

		Колнч	ество пе	риодов		Пр	одолжит	ельності	, ų
Месяц	среднее	малыное	год	мини- мальное	год	суммарная	средняя одного периода	максим. Одного периода	год
І ІІІ ІІV VVI VII VIII IX X XI XII Год	14 10 9 10 21 23 25 26 15 15 9 186	39 21 21 21 38 29 38 49 33 27 19 21 277	1964 1966 1969 1966 1964 1964 1966 1971 1964 1968 1968	1 2 5 1 7 13 16 17 7 5 3 1 133	1973 1965 1965 1965 1966 1966 1966 1967 1970 1972 1965	52 30 24 23 42 60 59 68 40 47 28 28	3,7 3,0 2,7 2,3 2,6 2,4 2,6 2,7 3,1 3,1 2,7	31 15 15 12 15 27 23 22 15 45 18 16 45	1968 1964 1969 1967 1967 1972 1967 1972 1971 1964 1964 1969

блюдениям. Как видно, количество периодов и их суммарная продолжительность максимальных значений достигают в августе, а минимальных — в ноябре — декабре. Продолжительность одного периода как в среднем, так и в максимальных случаях, наибольшая в декабре и январе, а наименьшая — весной. За год в Вильнюсе наблюдается от 133 до 227 (в среднем 186)

штилевых периодов, суммарная продолжительность которых составляет 501 ч. Максимальная непрерывная продолжительность одного периода (отмечена в октябре 1969 г.) равна 45 ч.

Для народного хозяйства важен также и учет сильных ветров. В Каунасе и Вильнюсе бывают ветры скоростью 15—17 м/с и даже 20 м/с, а отдельные порывы ветра достигают 22—24 м/с и даже 28 м/с. Естественно, что большие скорости ветра повторяются не каждый год и даже не каждое десятилетие. Несколько чаще повторяются месячные максимумы скорости, равные 10 м/с, и годовые максимумы, равные 15 м/с и более. Такие скорости ветра повторяются в среднем через год.

Годовой ход сильных и очень сильных ветров более сложен, чем ход средних скоростей ветра. Заметное ослабление летом и усиление зимой свойственно только для средних месячных

максимумов скорости ветра (табл. 11).

Подобным образом меняется и повторяемость из года в год месяцев с максимальной скоростью ветра более 10 м/с. Если повторяемость таких январей в Каунасе составляет 85% от всего исследуемого периода, то повторяемость таких июлей—всего 26%. Изменение максимальной скорости ветра из месяца в месяц уже не обнаруживает такой яркой закономерности. Ветры со скоростью 18—20 м/с изредка появляются как в январе, так и в августе, т. е. в месяце самых низких средних скоростей ветра, а также в апреле, июне и октябре. Подобным образом меняется и максимальная скорость порывов ветра. Согласно расчетам, вероятности всех скоростей ветра, встречаемых реже чем один раз в год, распределяются так, как показано в табл. 13. В центральных кварталах Вильнюса и Каунаса вероятность сильных ветров, естественно, меньше.

Таблица 13 Наибольшие скорости ветра (м/с) различной вероятности

	Cro	рость ветра	, возможна	я один раз	В
Стапция	1 год	5 лет	10 лет	15 лет	20 лет
Вильнюс, АМСГ Каунас, агрометстанция	16 17	18 19	20 20	21 21	22 22

Максимальные скорости ветра меняются также в зависимости от направлений (табл. 14). Самые большие скорости характерны для западных и юго-западных ветров. Максимальные скорости ветров восточной четверти горизонта на 30—50% меньше. Особенности их изменения в течение года ничем не отличаются от годового хода абсолютных максимумов скорости ветра.

Таблица 14 Максимальная скорость ветра (м/с) по направлениям в Каунасе (1950—1975 гг.)

Месяц	С	СВ	В	ЮВ	Ю	103	3	. сз
I III IV V VI VII VIII IX X XI XII Fog	10 12 12 10 10 13 14 10 7 12 12 10 14	12 10 12 10 12 9 8 9 10 8 9	10 14 10 14 12 10 10 8 12 14 17 12	15 14 12 14 14 14 10 12 15 12 17 12	17 16 17 17 12 10 14 9 12 10 14 14 17	17 14 17 10 16 18 12 14 15 14 15 14	20 17 17 18 21 20 10 20 15 18 16 17 21	166 9 177 144 111 9 12 100 100 140 101 17

Сильные ветры, скорость которых превышает 15 м/с, считаются неблагоприятными для городского транспорта и проведения строительных работ под открытым небом. В Каунасе и Вильнюсе каждый год в среднем бывает 2—3 дня с такими ветрами. В 1950 г. таких дней в Каунасе отмечено 10, но в 19% лет они совсем отсутствовали. Вероятность таких дней в отдельные месяцы намного меньше. Даже в наиболее ветреные зимние месяцы более чем в половине лет сильные ветры не наблюдаются. Летом вероятность отсутствия таких ветров достигает 80—85% (табл. 11). В годы с сильными ветрами это чаще всего западные (59%), юго-зпадные (10%), южные (10%) или юго-восточные (13%) ветры. При этом сильные западные ветры вероятны во все времена года, юго-западные вероятны, как правило, весной, южные — зимой, а юго-восточные — осенью. В холодное полугодне иногда бывает сильный северо-западный или восточный ветер (табл. 15). Продолжительность сильных ветров в Вильнюсе и Каунасе невелика. Даже зимой и весной такие ветры без перерыва дуют не более 4-5 ч (табл. 11 приложения).

Достоверные сведения о режиме ветра в нижнем слое атмосферы (до высоты 1 км) над городами в настоящее время можно получить только для Каунаса. Такие данные представлены в табл. 12 и 13 приложения и на рис. 19. Вектор преобладающего направления ветра на высотах изменяется. Начиная с высоты 200 м над поверхностью земли, преобладающее направление ветра переходит на соседний румб: в январе с южного на юго-западный, в апреле с юго-юго-восточного на юго-восточный, в октябре с западо-юго-западного на западный. Только в июле преобладающее направление на всех высотах остается

западным. Наряду с этим соответственно изменяется повторяемость и других направлений ветра. Распределение ветра по направлениям на высоте 900 м существенно не отличается от повторяемости на высоте 400 м.

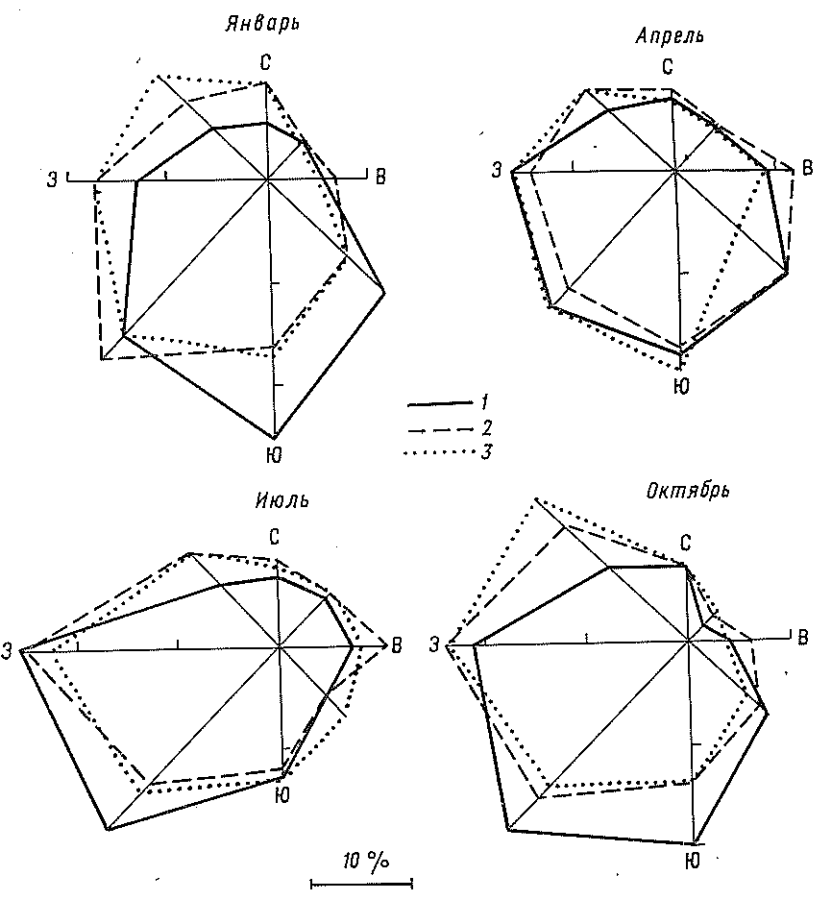


Рис. 19. Повторяемость направлений ветра по высотам в г. Каунасе.
1) 100 м, 2) 400 м, 3) 900 м.

По мере удаления от земной поверхности изменяется и скорость ветра. Уже на высоте 100 м над поверхностью земли средние скорости ветра увеличиваются в 2—3 раза по сравнению со скоростями на высоте флюгера и продолжают расти во всем нижнем полукилометровом слое. Выше рост скорости ветра с высотой сильно замедляется и на высоте 900—1000 м в ночные часы даже проявляет тенденцию к снижению.

Годовой ход скоростей ветра на высотах над Каунасом такой же, как и у поверхности земли, наиболее высокие средние

Таблица 15 Повторяемость (%) сильных ветров (>15 м/с) по направлениям в Каунасе (1950—1975 гг.)

Месяц	В	ЮВ	IO	103	3	СЗ
I II		5	14		77	4
III IV			50 20 50	20	50 30	30
V VI			50	33	50 67	
VII				50	50	
VIII		33		33	$\frac{100}{34}$	
X XI	11	67			$\frac{100}{22}$	
XII Год	2	13	10	33 10	67 59	6

месячные скорости ветра наблюдаются в ноябре. Суточный ход ветра на высотах, начиная с уровня 100 м, меняется на противоположный приземному. Ночью средние скорости ветра на всех высотах больше, чем днем (табл. 13 приложения).

Подобным образом распределяются на высотах и экстремальные скорости ветра. Заметно сокращается количество штилей, повторяемость которых уже на высоте 200 м в течение большей части года не превышает 1%. Несколько больше штилей в январе, начиная с высоты 400 м. Максимальные скорости ветра, которые у поверхности земли повторяются только раз в 20 лет, на высоте 400 м отмечаются в среднем через год. Абсолютные максимумы на высотах 400—900 м над поверхностью земли, как правило, близки к скоростям ветра, наблюдаемым у земли во время наиболее сильных порывов, и только в редких случаях превышают такие скорости. Самая высокая за исследованный период скорость ветра над Каунасом отмечена в 3 ч 5 декабря 1975 г. На высотах 400 и 500 м скорость ветра в это время превышала 34 м/с.

4.1. Годовой и суточный ход температуры воздуха

Температура воздуха — это один из важнейших элементов климата. Она наиболее ярко отражает годовой и суточный ритм климатообразующих процессов и атмосферных явлений. Среднее многолетнее изменение температуры воздуха в течение года прослеживается по средним месячным и средним суточным данным. О колебаниях температуры из года в год можно судить по средним квадратическим отклонениям температуры отдельных лет от средней многолетней — σ , а внутригодовые непериодические изменения отражаются на показателях междусуточной изменчивости температуры. Все параметры температуры воздуха определяются по данным наблюдений в метеорологической будке, на высоте 2 м над поверхностью земли.

В табл. 14 приложения наряду с многолетними средними, максимальными и минимальными температурами по месяцам показаны и их экстремальные значения для Вильнюса. Из более ранней публикации [49] известно, что в Каунасе и Вильнюсе не только характер изменения, но и сами абсолютные значения средних месячных температур почти одинаковы.

Годовой ход основных показателей температурного режима представлен на рис. 20, из которого видно, что наиболее холодный месяц года в Вильнюсе, как и во всей Литве,— январь. Его средняя многолетняя температура в Вильнюсе на 2,7° С ниже температуры декабря и на 0,8° С ниже средней температуры февраля. В отдельные экстремальные годы средняя температура января может оказаться примерно на 8° С ниже, или наоборот, на 6° С выше, по сравнению со средней многолетней. Средний максимум температуры января, характеризующий дневные условия, в крайне аномальные годы может оказаться на 5° С выше нормы, а средний минимум, характеризующий ночные условия температуры, понизится на 11° С.

Самый теплый месяц года в обоих городах — июль — в среднем только на 1° С теплее августа и на 2° С теплее июня. Колебания средней месячной температуры июля из года в год более чем в два раза меньше, чем в январе. Средний максимум температуры июля в отдельные годы может быть на 3—3,5° С выше, а средний минимум — на 2° С ниже многолетнего. Средняя

годовая амплитуда колебання средних месячных температур в районе Вильнюса и Каунаса составляет примерно 24° С. Диапазон разброса месячных температур в отдельные годы состав-

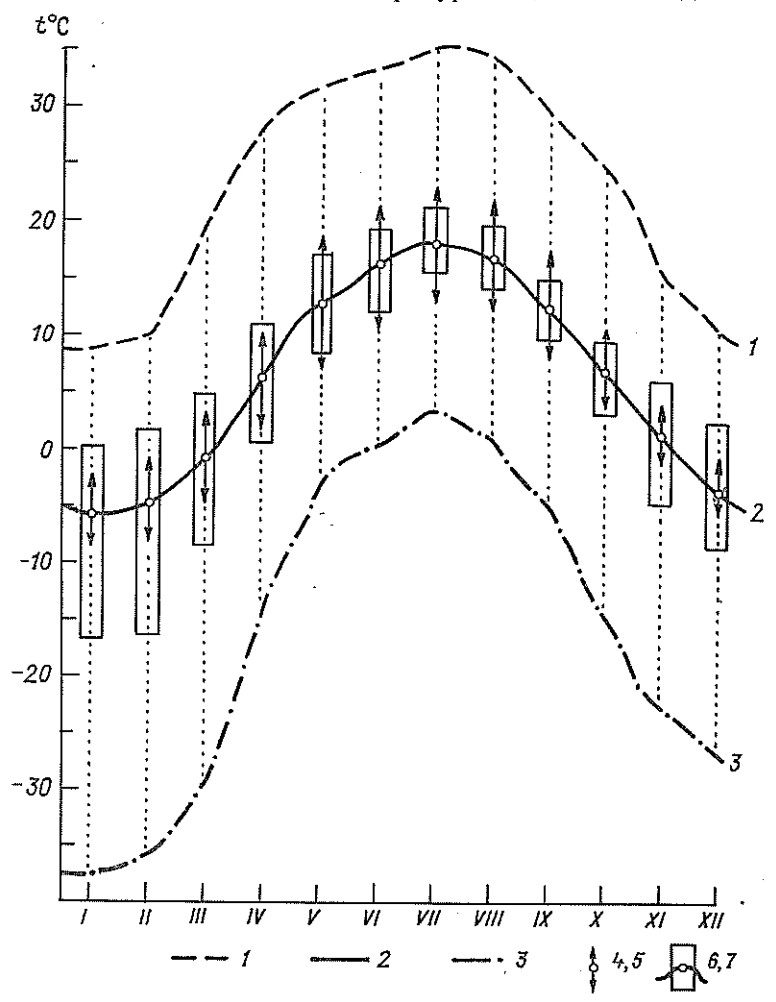


Рис. 20. Годовой ход температуры воздуха в г. Вильнюсе. 1—абсолютный максимум, 2—средняя месячная, 3—абсолютный минимум, 4—средний максимум, 5—средний минимум, 6—нанболее высокая месячная, 7—нанболее низкая месячная.

ляет более 37° С. Еще шире полоса колебаний средних суточных температур: она приближается к 63° С. Наконец, разница между самой высокой (35,4° С) и самой низкой (—37,2° С) температурой воздуха, наблюдавшейся в течение 1918—1975 гг., в Вильнюсе составляет почти 73° С.

Изменение температуры из месяца в месяц следует за изменением показателей радиационного баланса. Некоторые различия связаны с механизмом передачи солнечного тепла земной атмосфере и с перераспределением тепла в самой атмосфере. Главным различием является запаздывание максимумов температуры относительно времени наибольшего прихода солнечной радиации почти на месяц. Связь между температурой воздуха и составляющими радиационного баланса наиболее тесна во время равноденствий [18]. В это время средний прирост температуры при увеличении суммарной радиации на $1 \text{ МДж/(м}^2 \cdot \text{сут)}$ в Каунасе составляет $1,2-1,4^{\circ}$ С. При таком же увеличении радиационного баланса прирост температуры равен 1,7-1,9° С. В дни, близкие к летнему солнцестоянию, при увеличении суммарной радиации и радиационного баланса на 1 МДж/(м²-сут) средняя температура повышается соответственно только на 0,6—0,7° С и на 1,2—1,4° С.

В холодное время года влияние местного радиационного баланса на режим температуры малозаметно. В это время он почти целиком определяется чередованием адвекции тепла из Атлантического океана и холода из Арктики. Поскольку интенсивность и время наступления таких вторжений в отдельные годы весьма непостоянны, то соответственно меняется и режим зимних температур. По этой причине январь действительно является наиболее холодным только в 45% зим. Примерно в 32% зим самым холодным оказывается февраль и в 21% зим — декабрь. Раз в 100 лет самым холодным месяцем в году может стать даже ноябрь или март. Летом большие сдвиги во времени наступления наиболее теплой погоды наблюдаются реже. Самым теплым месяцем года июль оказывается в 63% лет, в 22% лет им бывает август и в 15% лет — июнь.

Более подробные сведения о годовом ходе температуры воздуха содержатся в табл. 15 приложения, построенной по ежесуточным данным. Из приведенных там данных видно, что наиболее холодные сутки в среднем наблюдаются во второй половине января (26 января) и что их средняя температура равна

7,2° C.

Самая низкая температура за исследуемый период (16 января 1940 г.) в Вильнюсе составила —33,6° С, а абсолютный минимум температуры в ночь на 17 января 1940 г. был равен —37,2° С. Наиболее теплые сутки в году наблюдаются в середине июля (13 июля). Их средняя температура равна 18,5° С. Средняя температура самых жарких суток исследуемого периода (13 июля 1959 г.) составила 29° С. Абсолютный максимум, отмеченный в околополуденные часы того же дня, составил 35,4° С.

Представляет интерес оценка точности вышеприведенных средних показателей температуры. Это удобно осуществить с помощью статистического показателя стандартной ошибки µ

$$\mu = \frac{\sqrt{\sum_{1}^{n} (x_i - \overline{x})^2}}{n^2},$$

где \overline{x} — среднее значение ряда, x_i — значение отдельных членов ряда, n— их количество (число лет) [55]. Сведения о стандартной ошибке средних, помещенных в табл. 14 и 15 приложения, представлены в табл. 16 приложения. Как видно, точность суточных показателей температурного режима в летние месяцы составляет \pm (0,6—0,7° C). В холодное время года из-за увеличения диапазона колебаний температуры из года в год она снижается до \pm (0,9—1,0° C). Точность месячных средних немного больше. Летом она сохраняется в пределах \pm (0,4—0,5° C), зимой уменьшается до \pm (0,7—0,8° C).

О закономерностях изменения температуры воздуха в течение суток можно судить по данным табл. 17 приложения, в которой представлена средняя температура каждого часа суток, вычисленная по записям термографов в Вильнюсе и Каунасе. В этой же таблице показана и суточная амплитуда температуры воздуха, представляющая собой разницу между средними температурами наиболее теплого и наиболее холодного часа.

Как известно, суточный минимум температуры в течение всего года наблюдается перед восходом Солнца. В Вильнюсе и Каунасе это бывает: зимой в 7—8 ч, весной и осенью —в 5—6 ч, а летом — в 4 ч. Суточный максимум температуры воздуха отмечается в ранние послеполуденные часы. Зимой он в среднем отмечается около 13—14 ч, летом — в 14—15 ч. Средняя суточная температура воздуха в первом приближении пропорциональна аналогичному изменению радиационного баланса, происходящему под воздействием меняющейся высоты солнца.

Согласно табл. 17 приложения, в Вильнюсе и Каунасе наибольшие значения суточной амплитуды температуры воздуха в среднем приходятся на май— нюль месяцы, наименьшие ее значения наблюдаются в декабре. Наблюдаемый сдвиг годового максимума суточной амплитуды воздуха в сторону весенних месяцев обусловлен асимметрией годового хода прозрачности атмосферы и облачности.

На колебания температуры воздуха в течение суток существенно влияет и перенос различно нагретых масс воздуха. Под воздействием циркуляционных процессов может произойти значительное искажение суточного хода температуры. Вместе с адвекцией тепла наблюдается более раннее наступление минимальных и опаздывание максимальных температур. Адвекция холода дает обратный эффект. Сильное перемешивание в нижних слоях воздуха существенно уменьшает суточные колебания температуры даже тогда, когда адвекции тепла или холода не наблюдается. Из-за упомянутых причин значения суточной амплитуды температуры, представленные в табл. 17 при-

ложения, не совпадают с диапазоном различий между средним максимумом и средним минимумом температуры воздуха, о котором можно получить представление по данным табл. 14 и 15

приложения.

Значения различных показателей температуры в отдельные годы могут отклоняться от многолетних средних в весьма широких пределах. Это относится и к температуре отдельных дней месяца и к температуре отдельных часов суток. Общее представление об этом можно получить путем сравнения данных за отдельные годы, представленных в табл. 14 и 15 приложения, которые показывают наблюденные пределы отклонений рассмотренных показателей от многолетней нормы. Повторяемость различных значений температуры внутри этих пределов неравномерна. Рассматриваемые отклонения принято представлять в виде среднего квадратического отклонения

$$\sigma = \sqrt{rac{\sum (X_i - \overline{X})^2}{n}}$$
 ,

где X_i — показатель за отдельные годы, \overline{X} — его многолетнее среднее, n — число лет периода осреднения [55]. Результаты расчетов о для температуры в Вильнюсе представлены в табл. 15 приложения. Из них видно, что о как средних суточных, так и средних месячных показателей температуры зимой примерно в два раза выше, чем летом. Разница между зимними и летними о максимальных температур несколько меньше, но для минимальных температур зимние о превышают летние в три раза и более. Это указывает на различную степень чувствительности ночных и дневных температур к циркуляционным воздействиям.

Часто необходимо знать не только значение средних и крайних отклонений показателей температуры от их многолетней нормы, но и вероятность наступления различных значений температуры в определенные сроки (дни месяца, часы суток). С этой целью производится распределение ежедневных (ежечасных) температур по различным градациям шкалы и опре-

деляется статистическая повторяемость таких градаций.

Для практических целей более удобно связывать вероятностные характеристики не с определенными календарными сроками, а со средними значениями температуры. Такие данные представляются потребителям в виде номограмм (см. приложение 1). С помощью таких номограмм нетрудно определить вероятность наступления заданной температуры в % для любого дня или часа, если известна его средняя температура.

По этим же номограммам можно установить температуру, имеющую заранее заданную интегральную повторяемость, например, узнать, какого уровня она достигает 1 раз в заданное число лет (необходимые для этого средние суточные и средние часовые температуры Вильнюса даны в табл. 15 п 17 приложения). С помощью представленных номограмм (см. приложение 1), например, можно определить, что в Вильнюсе в апреле при средней многолетней температуре в 17 ч равной 9°С, вероятность того, что истинная температура этого часа достигнет или превысит 19°С составляет всего 5%. Следовательно, такой случай возможен один раз в 20 лет. Подобные номограммы очень облегчают определение параметров, необходимых для планирования и проектирования различных объектов народного

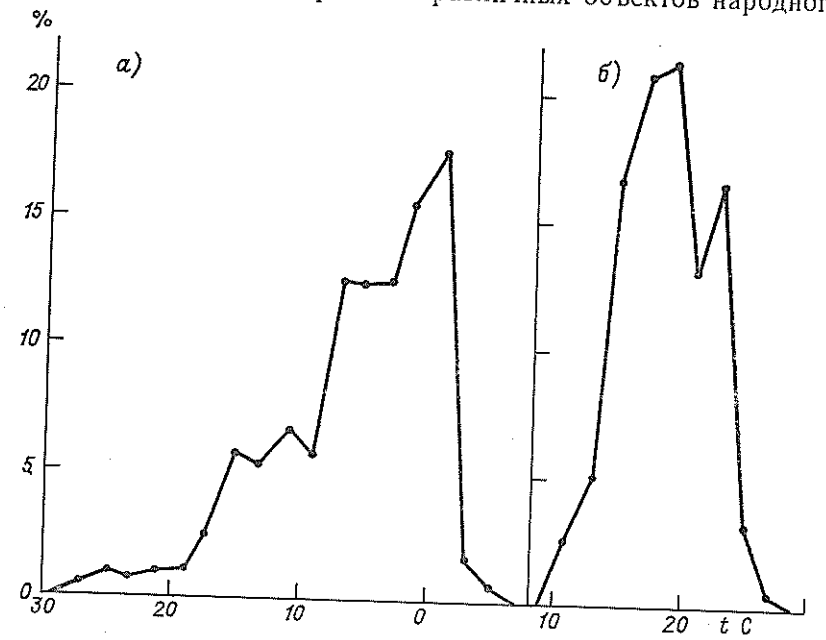


Рис. 21. Распределение средних суточных температур воздуха по градациям 17 января (a) и 17 нюля (б) в г. Вильнюсе (1778—1975 гг.)

хозяйства. Они дают более полное представление о повторяемости и вероятности различных температур в любое время года и суток.

Правомерность определения значений и частоты отклонений показателей температуры от их средних значений с помощью статистических расчетов и основных номограмм зависит от того, насколько рассматриваемые отклонения близки к случайным. Это условие для климата Вильнюса и Каунаса в достаточной мере справедливо не во всех случаях. Особенности температурного режима отдельных лет отражают также преемственность (временную последовательность) различных циркуляционных процессов, создающих кратковременные циклы резких колебаний температуры. В Вильнюсе и Каунасе это наблюдается

чаще, чем в регионах с более однообразным континентальным климатом. В некоторых случаях определенные процессы атмо-сферной циркуляции повторяются почти ежегодно и в близкие календарные сроки, создавая те или иные особенности и в многолетнем ходе средних показателей температурного режима. К числу таковых, например, следует отнести заметное похолодание в третьей пятидневке мая, общая вероятность наступления которого в Вильнюсе превышает 90% [18], а вероятность

падения температуры ниже 0° С достигает 50%. В некоторых случаях температурный режим определяется процессами, которые прямо не связаны с определенными календарными сроками. Таких процессов может оказаться несколько, их воздействие на температуру может быть противоположным, а повторяемость — неодинаковой. Примером вышесказанного может служить график повторяемости средних суточных температур, построенный по данным 17 января за период с 1778 по 1975 г. (рис. 21). На нем хорошо выражена асимметрия кривой распределения, вызванная тем, что температура в середине января в исследуемом районе чаще определяется сравнительно теплыми воздушными массами с Атлантического океана, чем весьма холодным в это время года континентальным воздухом с Восточной Европы. Благодаря этому в Вильнюсе наиболее часто повторяются относительно высокие средние суточные температуры.

4.2. Непериодические изменения температуры

Характерной особенностью краткосрочных изменений температуры является ее междусуточная изменчивость, определяемая разницей между температурой данных суток и температурой предшествующих. Средняя годовая изменчивость температуры в Вильнюсе и Каунасе близка к 2°С (табл. 16). Она за-

Таблица 16

Средняя междусуточная изменчивость температуры воздуха в Вильнюсе (1918—1953 гг.)

Месяц I II III IV V VI VII VIII IX X XI XII Год Изменчи- 2,8 2,6 2,2 2,1 2,3 2,2 1,8 1,6 1,8 1,8 1,8 2,4 2,1 вость, °С

метно уменьшается летом и осенью и снова увеличивается с наступлением холодного времени года. Среднее январское значение междусуточной изменчивости температуры воздуха в Вильнюсе составляет почти 3° С. Вероятность того, что изменение температуры изо дня в день превысит 5° С в это время достигает 10—15%.

В Вильнюсе известен случай, когда температура воздуха за счет исключительно сильного притока тепла с 11 на 12 января

1940 г. повысилась на 17° C, а спустя три дня вследствие вторжения арктического воздуха в течение суток понизилась на 26° C [18]. Летом и осенью средняя междусуточная изменчивость температуры сохраняется на уровне ниже 2° C. Вероятность температурных перепадов более 5° C в это время не достигает 5%.

Незначительные потепления и похолодания в рассматриваемых городах могут последовать за каждой сменой направления ветра. Сведения о зависимости температуры от направления ветра представлены в табл. 18 приложения. В ней даны осредненные по месяцам и направлениям ветра значения температуры отдельно для дня и ночи. Данные за центральные месяцы сезонов года пзображены на рис. 22 в виде термических роз ветров. На них по направлениям отложена их средняя температура за 9 и 15 ч, а окружностями показана температура воздуха при штиле. Как видно, зимой самая низкая температура в Вильнюсе и Каунасе, как правило, наблюдается при северных и северо-востоиных ветрах, а относительно теплыми бывают западные и юго-западные ветры. Весной холодными чаще всего бывают северо-западные и северные ветры, а повышение температуры обычно наступает при южных и юговосточных ветрах. Летом прохладу приносят северо-западные и западные ветры, а самая жаркая погода приходит вместе с восточными и юго-восточными ветрами. Осенью наиболее холодные северные и северо-восточные ветры, а потепление отмечается при юго-западных, южных и юго-восточных.

Интересно распределяется температура при штилях. Зимой она в среднем близка к температуре при самых «холодных» направлениях ветра в любое время суток. Летом и днем и ночью она близка к температуре при самых «теплых» направлениях ветра. Весенняя и осенняя температура при штилях ночью приближается к температуре самых холодных направлений,

а днем — к температуре самых теплых.

Более подробные сведения о температуре при различных направлениях ветра представлены в табл. 19 приложения, где указана повторяемость в % температуры выше или ниже определенных пределов. В Вильнюсе и Қаунасе при северных и северо-восточных ветрах январские утренние температуры воздуха колеблются от +5 до —35° С. При этом наиболее часто повторяется температура от —5 до —10° С и только в 5% случаев она бывает положительна. При юго-западных и западных ветрах температура в это время года колеблется от +5 до —15° С, наиболее часто наблюдается температура от 0 до —5° С, а повторяемость положительных значений уже превышает 30%. В апреле северные и северо-западные ветры по утрам приносят отрицательную температуру в 25—30% случаев. При южных и юго-восточных ветрах это наблюдается только в 5—10% случаев, при этом в 10—20% из последних температура стано-

вится выше 10° С. В нюльские дни при всех направлениях ветра, кроме северо-западного, наиболее часто встречается температура от 20 до 25° С, однако при юго-восточных и южных ветрах около 5% случаев бывает с температурой выше 30° С, а при

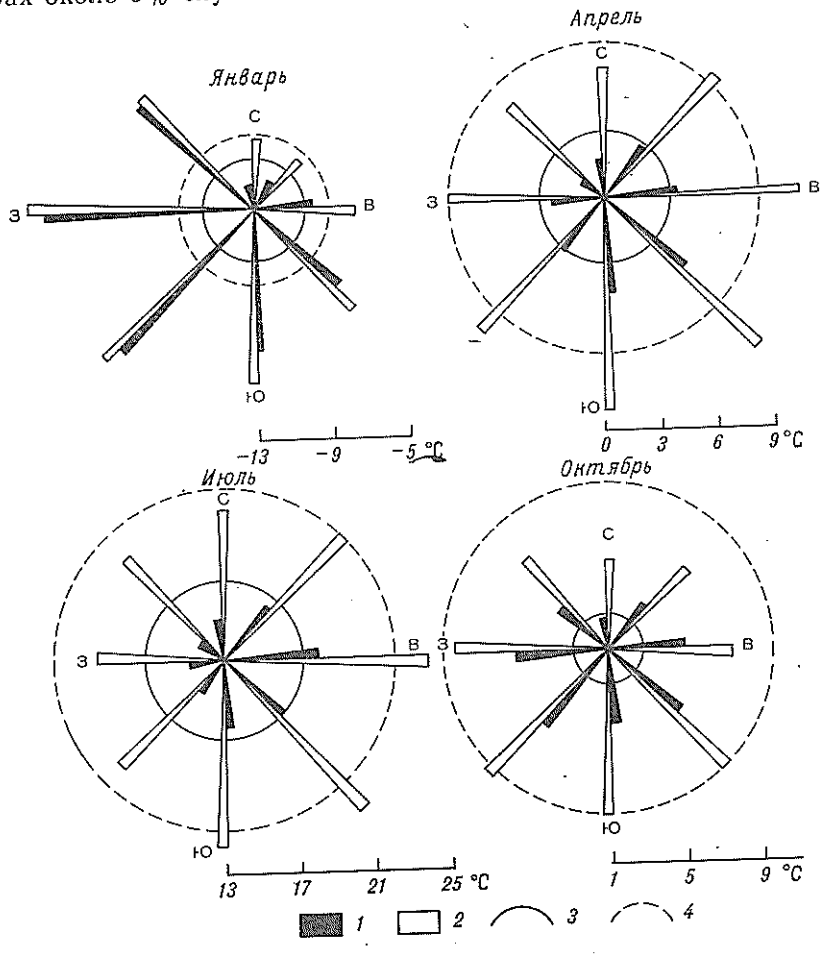


Рис. 22. Термические розы ветров в г. Вильйюсе при различных направлениях ветра в 7 ч (1) и в 13 ч (2) и при штиле в 7 ч (3) и в 13 ч (4).

западных и северо-западных ветрах в 5—10% случаев температура опускается ниже 15°С, чего не бывает при ветрах противоположных направлений. Из приведенных в табл. 19 приложения данных можно получить наглядное представление о вероятности наступления различных температур при определенном направлении ветра и для других месяцев года.

Для выбора оптимальных параметров систем отопления и вентиляции, для оценки теплозащитных свойств ограждающих конструкций [3] и степени суровости погоды для пребывания человека и проведения работ на открытом воздухе [28, 38] необходимы сведения о сочетании различных температур и скоростей ветра. Поскольку повторяемость различных сочетаний температуры воздуха и скорости ветра так же существенно зависит от времени года, ее целесообразно представлять отдельно для теплого (май — сентябрь) и для холодного (октябрь — апрель) времени года. Соответствующие данные для Вильнюса, полученные по ежечасным наблюдениям за десятилетний период, помещены в табл. 20 приложения.

Для теплой половины года при принятых в рассматриваемой таблице интервалах в районе Вильнюса п Каунаса выступают 122 различных сочетания температуры и скорости ветра. Однако 44 из них повторяются так редко (реже 0,05% каждая), что практического значения для народного хозяйства не имеют. Повторяемость более 1% имеют только 28 сочетаний: температуры от 6 до 24°C и скорости ветра от 2 до 8 м/с, но вместе взятые они составляют 77% всех исследованных случаев. Общая повторяемость десяти наиболее часто встречаемых сочетаний составляет 40%. Из них наиболее высокая повторяемость (более 5%) наблюдается при сочетании темпера-

туры 12—14° С и ветра 4—5 м/с.

В холодное полугодие может быть 196 различных сочетаний исследуемых параметров, но повторяемость 73 из них ниже условного предела значимости (менее 0,05%). Повторяемостью более 1% обладают только 34 различные сочетания, сосредоточенные главным образом между температурой —10°C и +10°C и скоростью ветра 2—7 м/с. Общая повторяемость десяти наиболее часто встречаемых сочетаний составляет 34%. Из них наиболее высокой частной повторяемостью (более 5%) отличается сочетание температуры 0—2°С и ветра 6—7 м/с.

Пользуясь данными табл. 20 приложения и краевыми критериями, представленными в [34], нетрудно установить, в Вильнюсе и Каунасе почти не бывает суровой погоды, затрудняющей пребывание и работу на открытом воздухе взрослому человеку. (Согласно вышеприведенным данным, работа на открытом воздухе не рекомендуется только в 0,12%, а ежечасные перерывы для обогрева требуются в 0,53% часовых интервалов.) Однако погода, неблагоприятная для прогулок детей, в среднем составляет около 3% холодного времени года. Если соответствующие расчеты осуществить для наиболее холодных (января — февраля), показатели неблагоприятной в этом отношении погоды окажутся более высокими.

4.3. Параметры температуры для строительства

Температура наружного воздуха влияет и на тепловой режим закрытых помещений, поэтому учитывается при строительно-климатическом районировании и типизации жилищ. Температурные параметры используются при теплотехнических расчетах проектируемых зданий. По ним определяется нужное количество топлива. Согласно климатическому районированию для строительства [50], территория Вильнюса и Каунаса входит в район II-В, отличающийся комфортными условиями теплалетом и его недостатком зимой. (Западная граница этого района совпадает с изотермой самого холодного месяца —5° С.) Тепловой комфорт жилых помещений в холодное время года здесь обеспечивается отоплением.

Согласно [50], отопление проводится при средней суточной температуре наружного воздуха ниже 8°С. Падение температуры ниже указанного предела, определяющее начало отопительного сезона в Литве, происходит при вторжениях холодного воздуха, поэтому в Вильнюсе и Каунасе наступает почти одновременно. Наиболее ранние сроки начала отопительного сезона наступают в последней декаде сентября, а наиболее поздние — в первой декаде ноября.

В среднем в 50% случаев начало отопительного сезона приходится на середину, между 6 и 24 октября. Средняя многолетняя дата начала отопительного сезона—15 октября (табл. 17). Конец отопительного сезона в отдельные годы ко-

Таблица 17

Даты начала и конца отопительного сезона и его продолжительность различной вероятности (1922—1975 гг.)

различ	non be	ролик	,,,,,,,,,,,,,,,,,,,,,,,,,,,,,,,,,,,,,,,									
	Сред-			Веро	ятность,	25						
Характеристика	няя дата	5	10	25	50	75	90	95				
Вильнюс												
Начало отопительного	15 X]	24 IX	27 IX	6 X	15 X	24 X	1 XI	5 X				
сезона Конец отопительного	28 IV	14 IV	17 IV	22 IV	28 IV	5 V	11 V	15 V				
сезона Продолжительность, дни	196	166	173	184	196	207	216	223				
•		Кау	нас									
Начало отопительного	16 X	24 IX	27 IX	6 X	16 X	24 X	1 XI	5 XI				
сезона Конец отопительного	28 IV	12 IV	15 IV	22 IV	28 IV	4 V	11 V	15 V				
сезона Продолжительность, дни	195	164	171	184	195	2 07	216	223				
•	}		ì	l	j	ı	•					

леблется от середины апреля до середины мая. В 50% случаев он наступает между 22 апреля и 5 мая при средней многолет-

ней дате — 28 апреля.

Продолжительность отопительного сезона колеблется от 155 до 230 дней. В 50% случаев его продолжительность остается в пределах 184—207 дней, при средней продолжительности 195 дней. В табл. 17 представлены вероятностные характеристики начала, конца и продолжительности отопительного сезона, более полно раскрывающие характер межгодовой изменчивости его временных параметров.

Для ряда задач, связанных со стронтельством и эксплуатацией жилищ, недостаточно сведений только о продолжительности отопительного сезона. Для определения норм топлива необходимо знать и его среднюю температуру, для расчетов параметров стен массивных кирпичных зданий и проектирования систем их отопления требуется средняя температура наиболее холодных пятидневок. Согласно [14], в первом приближении

$$t_5 = 1,25t_x - T$$

где $t_{
m x}$ — средняя температура самого холодного месяца, T постоянный коэффициент. (В [14] указано $T=17.6^{\circ}$ С, по нашим оценкам для района Вильнюса и Каунаса $T=16^{\circ}\,\mathrm{C.}$) Для расчетов легких безчердачных перекрытий промышленных зданий и крупнопанельных стен требуется средняя температура наиболее холодных суток

$$t_1 = 1.31t_x - T_1$$
.

(В [14] указано $T_1 = 21^{\circ}$ С, по нашим оценкам $T_1 = 19.5^{\circ}$ С.) Для проектирования вентиляции необходимо знать зимнюю вентиляционную температуру, которая равна средней температуре наиболее холодной части отопительного сезона, занимающей 15% его общей продолжительности. Согласно [14], ее можно рассчитать по формуле

$$t_{\rm B} = 1{,}125t_{\rm x} - T_{\rm 2}$$
.

Для Вильнюса и Қаунаса $T_2 = 3^{\circ}$ С. Вышеуказанные расчетные параметры представлены в табл. 18.

Для проектирования фундаментов и подземных коммуникаций нужны сведения о температурном режиме почвы. В частности, необходимо знать глубину промерзания грунтов. Согласно [50], для этой цели должно учитываться среднее многолетнее из ежегодных максимальных глубин сезонного промерзания грунтов под оголенной поверхностью почвы. Поскольку такие наблюдения на сети метеорологических станций не проводятся, требуемый параметр может быть определен с помощью приближенного уравнения

$$h_{n} = C \sqrt{\sum |t|},$$

Таблица 18

Температура самой холодной пятидневки t_{π} (°C), зимняя вентиляционная температура $t_{\rm B}$ (°C), средняя температура отопительного периода $t_{\rm O, II}$ (°C) и его продолжительность τ (в днях)

Станция	$t_{\rm ff}$	t _B	t _{о.П}	τ	
Вильнюс город АМСГ Каунас обсерватория агрометстанция	-23 -24 -20 -20	9.2 9,8 8,5 8,6	—0,9 —1,4 —0,5 —0,6	194 199 192 195	

где $\Sigma |t|$ — абсолютное значение суммы отрицательных температур, C — коэффициент, который для суглинков равен 2,3, а для супесей — 2,8. Нормативная глубина промерзания почвы, рассчитанная таким образом, для супесей Вильнюса равна 59 см, а для суглинков Каунаса—48 см. Под естественным покрытым снегом покровом (табл. 19 и табл. 21 приложения)

Таблица 19 Глубина промерзания почвы, см (1948-1957 гг.)

Станция	XII	ĭ	Ħ	11f	1V	Из максимальных за зиму		
						средняя	наи- мень- пая	наи- боль- шая
Вильнюс Каунас	13 8	24 20	40 37	45 46	30 37	55 52	22 21	82 108

глубина промерзания супесчаной почвы в среднем на 10%

меньше, а суглинистой на 10-20% больше.

В отдельные годы в связи с колебаниями суровости зим глубина промерзания почвы под естественным покровом может оказаться в 1,5—2 раза больше многолетней средней. Подобную поправку для получения максимальной глубины промерзания следует вводить и в условиях оголенной почвы.

Максимальная глубина нулевой изотермы, возможная один раз в 10 лет, согласно [55], в окрестностях Вильнюса и Каунаса близка к 100 см. Следует добавить, что глубина промерзания почвы сильно колеблется в зависимости от форм рельефа. Еще более значительные вариации этого показателя образуются в городе между различно застроенными участками.

5. РЕЖИМ АТМОСФЕРНОГО УВЛАЖНЕНИЯ

5.1. Влажность воздуха

При описании особенностей атмосферного увлажнения используются несколько показателей. Представляет интерес определение общего влагосодержания, о котором удобно судить по упругости водяных паров (абсолютная влажность). С помощью недостатка насыщения оценивается потенциальная возможность воздуха поглощать дополнительное количество влаги, испаряющейся из местных источников. Отношением содержащейся в воздухе влаги к максимально возможной при данной температуре (относительная влажность) определяется ощущение человеком «сырости» или «сухости» погоды. Режим упомянутых параметров в основном определяется теми же самыми процессами, от которых зависит и режим температуры. Однако влияние этих процессов на различные показатели атмосферного увлажнения не является одинаковым.

Основным источником атмосферной влаги в воздушном бассейне Вильнюса и Каунаса служит Атлантический океан, откуда влага приносится весьма различными потоками. Дополнительным источником в теплое время служит испарение с земельных угодий, окружающих город.

Изменение влагосодержания в воздухе, показанное в табл. 22 приложения и на рис. 23, в основном зависит от его температуры. Годовая амплитуда колебания абсолютной влажности в исследуемых городах превышает 10 гПа. В среднем изменение температуры воздуха на 1°С сопровождается изменением его абсолютной влажности зимой на 0,3 гПа, весной и осенью на 0,5 гПа и летом на 0,8 гПа. Сдвиг фаз годового хода абсолютной влажности относительно хода температуры в Вильнюсе и Каунасе невелик. В переходные сезоны он составляет 5—10 дней. Вслед за температурой изменяется также и недостаток насыщения.

При этом асимметрия годового хода этого показателя получается отрицательной, т. е. годовой максимум недостатка насыщения отмечается в июне.

Совсем другой характер годового хода относительной влажности воздуха. В связи с малой влагоемкостью холодного воздуха зимой даже небольшое количество влаги насыщает его

до такой степени, что максимальные значения относительной влажности наблюдаются в холодное время года. При этом начало зимы в связи с большим содержанием влаги в морских воздушных массах влажнее, чем ее вторая половина. Наиболее высокая относительная влажность наблюдается в декабре. В Вильнюсе в это время она близка к 90%. Интенсивное испарение в середине лета замедляет рост недостатка насыщения, сдерживает падение относительной влажности, поэтому ее минимум наблюдается в конце весны. Относительная влажность в мае в указанных городах близка к 70%.

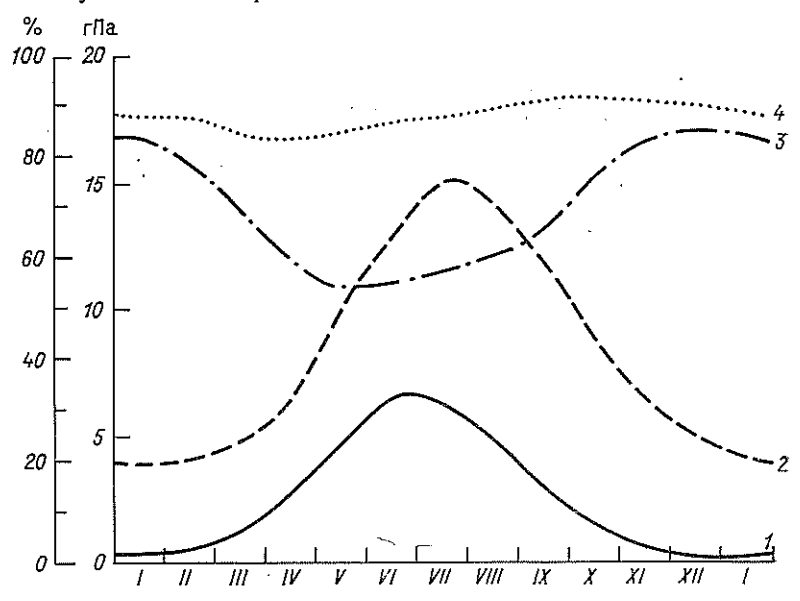


Рис. 23. Годовой ход характеристик влажности в г. Каунасе. 1— недостаток насыщения (гПа), 2— абсолютная влажность (гПа), 3— относительная влажность (%) в 13 ч, 4— относительная влажность (%) в 1 ч.

От температурного режима зависит и суточный ход относительной влажности с минимумом после полудня и максимумом в раннеутренние часы. Амплитуда суточных колебаний относительной влажности поздней весной и летом (май — август) в Каунасе и Вильнюсе находится в пределах 30%. Зимой она

не превышает и 10%.

Колебания показателей влажности в отдельные годы в основном зависят от частоты и интенсивности притока влажных морских воздушных масс. В отдельные годы абсолютная влажность июля может повыситься до 18—18,5 гПа, а в другие понизиться до 12,5—13 гПа. Колебания абсолютной влажности отдельных лет зимой, как и летом, заключаются в диапазоне 5 гПа. При этом в зимы с повышенной повторяемостью холод-

ных и бедных влагой арктических масс воздуха средние месячные (февральские) значения абсолютной влажности воздуха в Вильнюсе и Каунасе могут быть меньше 2 гПа. В зимы с усиленным притоком влажного морского воздуха средние декабрьские значения абсолютной влажности могут увеличиться до 7 гПа. Колебания относительной влажности из года в год зи-

мой в два раза меньше, чем летом.

Характер изменения относительной влажности зависит и от направления ветра (рис. 24). В Вильнюсе (декабрь — январь) зимой относительно «сухне» северные и северо-восточные ветры, наиболее «влажные» юго-западные. В теплое время года (май — сентябрь) относительно сухие ветры восточные, юго-восточные, иногда южные, наиболее влажные — западные, северо-западные и частично северные. Самая влажная погода наблюдается штилях.

Характерные для климата Литвы кратковременные отклонения влажности сопряжены по времени с аналогичными отклонениями температуры. Например, временное понижение абсолютной влажности в начале июня вызвано адвек-

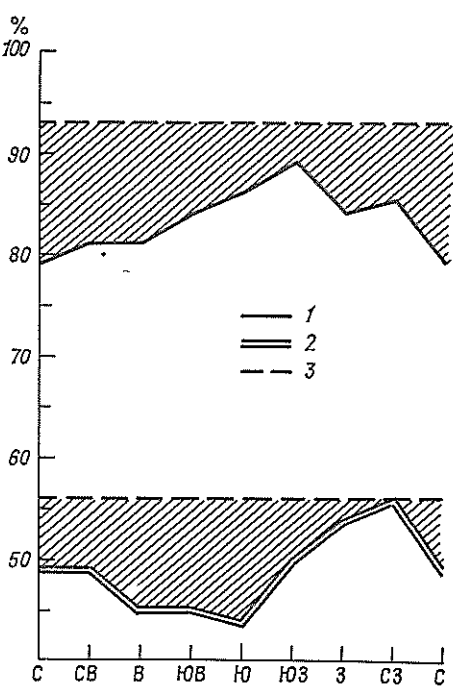


Рис. 24. Средняя относительная влажность в 13 ч при различных направлениях ветра в г. Вильнюсе в декабре (1), в мае (2) и при штиле (3).

цией бедного влагой прохладного арктического воздуха. Следует добавить, что кратковременные относительные (в процентах от годовой амплитуды) колебания абсолютной влажности существенно больше аналогичных колебаний температуры. Краткосрочные колебания относительной влажности в отдельных случаях могут достичь значения, равного половине годовой амплитуды. По мере притока очень сухого континентального воздуха относительная влажность в исследуемом районе зимой может уменьшиться до 30% и меньше, а в первой половине лета — даже до 20% и меньше (табл. 22 приложения).

Число сухих дней (с относительной влажностью в один из сроков менее 30%), как и дней влажных (с относительной влажностью в 13 ч более 80%) также меняется в зависимости от

времени года. Количество сухих дней в Каунасе и Вильнюсе невелико. Сухими бывают в среднем 5—10%, а в отдельные годы до 30% дней мая. Примерно столько же дней влажных (в среднем 10—15%) наблюдается в наиболее сухие летние месяцы. В каждом зимнем месяце влажные дни в среднем составляют 75—80%. В отдельные годы весь декабрь бывает влажным. Данные о повторяемости относительной влажности воздуха других градаций представлены в табл. 23 приложения.

Воздействие относительной влажности зависит и от уровня температуры. Например, сырость помещений наиболее ощутима при низких температурах воздуха. Коррозия металлов интенсивнее происходит при сочетании высокой относительной влажности и положительной температуры воздуха. Организм человека при высокой относительной влажности хуже переносит как самые высокие, так и самые низкие температуры воздуха. Поэтому важно знать повторяемость различных сочета-

ний показателей влажности и температуры.

Данные о повторяемости таких сочетаний в Вильнюсе представлены в табл. 23 приложения, которая построена по [34] за десятилетний период 8-срочных наблюдений. По данным этой таблицы нетрудно определить, что с мая по сентябрь условия температурно-влажностного режима в Вильнюсе комфортны, либо близки к таковым. Повторяемость температур от 14 до 24° С при относительной влажности от 50 до 80%, т. е. наиболее комфортное сочетание, здесь составляет около 27%, а в дневные часы — до 34% всех рассмотренных случаев. Сочетания относительной влажности более 80% при температуре выше 20° С определяют трудно переносимую человеком жаркую душную погоду. В Вильнюсе такие сочетания составляют всего 0,6%. Несколько более часто повторяются условия засушливой погоды (температура выше 18° C, относительная влажность менее 35%). Повторяемость такой погоды в дневные часы теплого периода года составляет около 4%.

С октября по апрель для климата исследуемого района характерна холодная сырая погода (температура ниже 0°С, относительная влажность более 80%), повторяемость которой в Вильнюсе составляет около 34%. Наименее благоприятен температурно-влажностный режим Вильнюса в отношении развития коррозионных воздействий. Погода, содействующая развитию процессов коррозии (температура выше 0°С, относительная влажность более 70%), в холодное полугодие наблюдается в 45%, а в теплое полугодие в 60% рассмотренных случаев. По приближенным расчетам (без учета продолжительности смачивания корродируемых объектов осадками при относительной влажности более 70%) средняя годовая продолжительность коррозионных воздействий в Вильнюсе равна 4176 ч за год.

5.2. Атмосферные осадки

Приходная часть водного баланса — атмосферные осадки — представлена разными параметрами: количеством, продолжительностью, интенсивностью, видом и фазовым состоянием. Режим осадков в большей степени зависит от атмосферной циркуляции по сравнению с режимом других метеорологических элементов. С теплыми фронтами связаны обложные осадки,

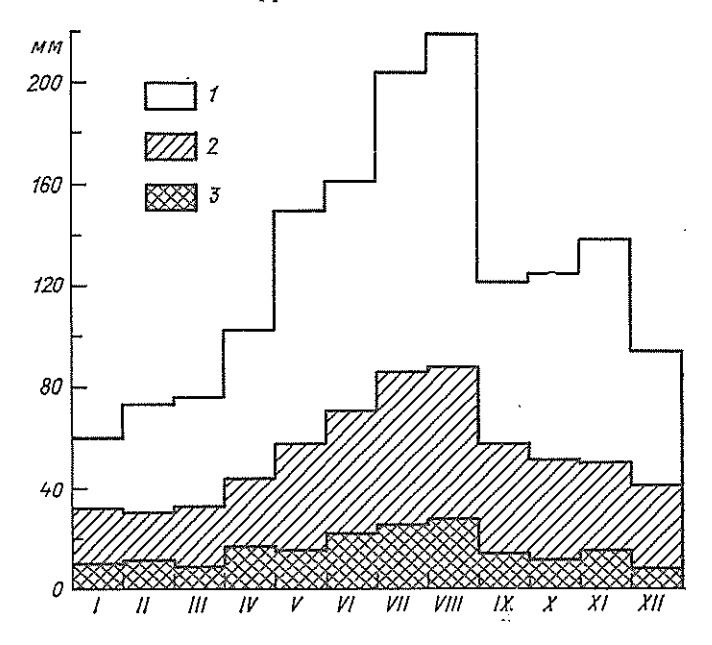


Рис. 25. Годовой ход осадков в г. Каунасе (с поправкой на смачивание).

1— панбольшее количество осадков (возможное раз в 50 лет), 2— среднее количество осадков, 3— наименьшее количество осадков (возможное раз в 20 лет).

с холодными — ливневые. От изменения общего влагосодержания воздушных масс зависит годовой ход осадков, а от температурного режима — их фазовое состояние.

Основные данные о количестве осадков представлены в табл. 24 приложения и на рис. 25, где хорошо виден замедленный рост месячных сумм осадков весной и летом до достижения максимума в августе. Заметно быстрое уменьшение количества осадков ранней осенью и почти ровный низкий уровень в холодное время года. Наряду с этим отмечается большая изменчивость месячных и годовых сумм осадков из года в год. Количество осадков отдельных месяцев (исключая зимние) может составить только 10—15% от многолетней нормы

и превысить ее более чем в два раза. В весьма широких пределах колеблется и месяц наступления экстремумов (табл. 20).

Таблица 20

Повторяемость	времени	наступления	годового	максимума	осадков
•	•	в Вильню		·	

Месяц	V	VI	VII	VIII	IX	X	XΙ	XII
Повторяемость, %	5	15	32	37	5	2	2	2

Годовой максимум осадков отдельных лет в Вильнюсе и Каунасе может наблюдаться в любой из месяцев летне-осеннего сезона, хотя наибольшая вероятность его появления относится к августу. Среднее квадратическое отклонение годовых сумм осадков от многолетней нормы составляет $\pm 95,7$ мм. Коэффициент вариации $C_V = 15,4$.

Летом и в первой половине осени в Вильнюсе и Каунасе выпадают преимущественно жидкие осадки (табл. 21). Зимой

Таблица 21 Твердые (Т), жидкие (Ж) и смешанные (С) осадки (% от их общего количества)

						•						
Осадки	ı	11 111	ıv	v	VI	VII	AIII	1X	х	ΧI	XII	Год
		Виль	нюс (1891-	-196	0 rr.	.) 1					
Т Ж С	64 12 24	60 40 17 31 23 29	$\begin{vmatrix} 11\\82\\7 \end{vmatrix}$	99 1	100	100	100	100	$\begin{vmatrix} 3\\ 95\\ 2 \end{vmatrix}$	28 67 5	45 24 31	14 79 7
		Kay	тас (195)-	197	5 гг.)					
Т Ж С	47 17 36	39 27 23 35 38 38	$\begin{vmatrix} 4\\72\\24 \end{vmatrix}$	96 4	97 3	100	100	96 4	91 9	69 24	33 36 31	9 77 14

¹ Наблюдения проводились с перерывами.

выпадение осадков часто сопровождается оттепелями, поэтому в это время года отмечается в среднем около 30% смешанных осадков, а 15—20%—в виде дождя. В переходные сезоны встречаются осадки всех трех фазовых состояний, причем ранней весной (в марте) их количество в среднем разделяется поровну, а поздней осенью (в ноябре) количество жидких осадков составляет две трети от их общего количества. Различие между Вильнюсом и Каунасом состоит в том, что в более удаленном от моря и расположенном на большей высоте Вильнюсе выпадает относительно большое количество твердых осадков, в то время как для Каунаса более характерны смешанные (табл. 21).

Годовой ход общего числа дней с осадками отличается дву-

мя максимумами (зимой и летом), двумя минимумами (в переходные сезоны) и уменьшенным диапазоном годового колебания (рис. 26). Причина годового хода с двойным максимумом и минимумом хорошо проявляется при сравнении количества осадков разного типа (табл. 25 приложения). Так, число дней с ливневыми осадками в Каунасе зимой в два раза меньше, чем летом, а частота выпадения обложных осадков зимой в 4—

5 раз больше. Исключительно осенне-зимним явлением являются моросящие осадки.

В табл. 22 содержатся некоторые сведения о различиях повторяемости осадков в течение суток. Твердые осадки чаще выпадают ночью, смешанные — днем. Слабые жидкие осадки несколько чаще выпадают ночью, а значительные — днем. Однако упомянутые различия не превышают 1—2% от годового числа дней со всеми видами осадков.

Число дней с осадками не отражает их действительной продолжительности поскольку осадки в большинстве случаев явление кратковременное. Средняя продолжительность выпадення осалков В с осадками В нсследуемом районе не превышает 3-4 ч летом и 10—11 ч зимой. Heсмотря на то что отдельные дожди могут выпадать в июле

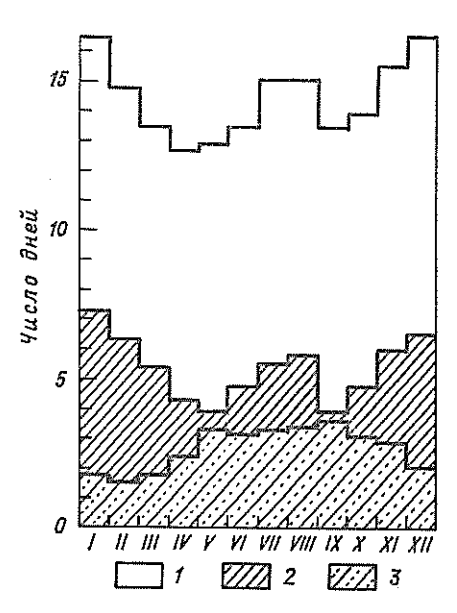


Рис. 26. Годовой ход среднего числа дней с осадками по градациям в г. Вильнюсе. 1— более 0,1 мм, 2— менее 1 мм, 3— белее 5 мм.

в течение 20 ч, а в январе более 30 ч подряд, 75% июльских дождей в Вильнюсе продолжаются менее 2 ч 15 мин. В столь-

Таблица 22 Повторяемость (%) осадков (мм) по фазовому состоянию в Каунасе (1947—1965 гг.)

Время		Жидкие		Тве	рдые	Смешанные		
суток	<3,0	3,0-8,0	>8,0	<5,0	>5,0	<5,0	> 5,0	
Ночь День	45,4 44,6	13,1 1 3, 7	5,0 6,8	26,0 24,5	2,4 1, 3	7,2 7,5	0,9 1,5	

ких же случаях январские осадки продолжаются менее 4 ч 30 мин. Повторяемость дождей различной продолжительности в Вильнюсе показана в табл. 26 приложения.

Продолжительность осадков существенно зависит от их генетического типа. Если обложные дожди продолжительностью менее 6 ч здесь наблюдаются в 58% случаев, то ливневые осадки продолжительностью меньшей, чем указанная, составляют уже 99,7% от всех осадков указанного типа (табл. 27 приложения).

Дополнительную оценку осадков можно получить с помощью показателей их суммарной продолжительности в отдельные месяцы и за год (табл. 28 приложения). Хорошо видны различия между суммарной продолжительностью дождливой погоды зимой и летом, а также различия между средней и максимальной продолжительностью осадков в разные месяцы. В частности, суммарная продолжительность осадков в Вильнюсе зимой в 4 раза больше, чем летом. В наиболее дождливые годы суммарная продолжительность осадков может превысить норму отдельных месяцев в 1,5—2 раза.

Исследование отклонений суммарной продолжительности ссадков в отдельные месяцы от их многолетней нормы показало, что среднее квадратическое отклонение σ месячной продолжительности осадков в Каунасе с апреля по октябрь колеблется в пределах 20-30 ч, а коэффициент вариации $C_{\rm V}$, как правило, близок к 0.45.

Оказалось, что с достаточной для практических целей точностью в рассматриваемом районе для каждого теплого месяца года можно применять осредненную интегральную повторяемость суммарной продолжительности осадков, выраженную в % от месячной средней (табл. 23). Точность представленных

Таблица 23

Суммарная продолжительность осадков (% от нормы)
различной интегральной повторяемости для теплого времени года
(апрель — октябрь)

Продолжительность		Вероятность превышения, %												
Продолжительность	1	5	10	25	50	75	90	95	99					
Месячная Наибольшая из месячных за теплое время	210 170	180 150	160 140	130 120	100 100	70 80	40 60	25 50	10 30					

данных для крайних значений повторяемостей (1 и 99%) не выходит за пределы $\pm 10\%$, а для средних значений составляет $\pm 3\%$.

Для практических целей наиболее важна информация о выпадении большого количества осадков за короткие интервалы времени, от такой информации зависит правильность определения условий промачивания ограждающих конструкций, пропускной способности канализационных сооружений, снеговых нагрузок, объема снегоочистительных работ и других подобных видов деятельности коммунального хозяйства.

Одним из основных показателей для гидротехнических расчетов следует считать суточные максимумы осадков различной интегральной повторяемости, которые вместе с наблюденными за весь период метеорологических наблюдений максимумами осадков представлены в табл. 29 приложения. Наибольшие суточные количества осадков, как и средние, наблюдаются летом.

Средний максимум осадков для июля в Вильнюсе составляет 25 мм/сут, тогда как в январе он достигает всего 7 мм/сут. Один раз в 20 лет наибольшее суточное количество осадков может превысить средний максимум в два раза. Один раз в 50 лет суточный максимум осадков в июле может достигать 64 мм, т. е. на 1 мм больше наблюденного максимума. (В январе этот показатель тоже превышает наблюденный.) Подобное распределение во времени суточных максимумов осадков наблюдается и в Каунасе. Самое большое суточное количество осадков в этом городе выпало в июле 1906 г. и составило 77 мм/сут (86% средней месячной нормы). Совершенно такой же абсолютный суточный максимум осадков в Вильнюсе зарегистрирован в июне 1901 г. Подобные количества осадков явление исключительное, поскольку в повседневном обиходе значительным уже считается количество осадков более 8 мм за 12 ч. Среднее годовое число таких полусуток в исследуемых городах составляет 13-14. Днапазон возможных и наиболее вероятных отклонений их ежегодного числа от среднего показан в табл. 24.

Таблица 24 Числэ полусуток со значительными осадками за год (1945—1975 гг.)

Станция	Нанбольшее	Год	Среднее	σ	Наименьшее	Год
Каунас	19	1954	12,6	3,15	7	1963
Вильнюс	24	1945	13,8	4,8	5	1955

Обильные (более 30 мм за сутки) осадки наблюдаются не ежегодно. Годы без обильных осадков в Вильнюсе и Каунасе составляют более чем 40% всех лет (табл. 30 приложения). Среднее количество осадков в течение одного обильного дождя за те годы, когда они наблюдаются, превышает 40 мм.

Интенсивность осадков тесно связана с их видом. Наименьшей интенсивностью отличаются моросящие осадки, наиболее интенсивны — ливневые.

Средняя интенсивность осадков в исследуемых городах невысокая. В годовом ходе максимум приходится на июль (табл. 25), когда наиболее часты ливневые дожди. Осадки

Таблица 25 Средняя интенсивность осадков

										1		
Интенсив- ность	I	II	III	IV	V	VI	VII	VIII	ΙX	х	ХI	IIX
	<u> </u>											
]	Вильн	юс (18	891 — 19	975 rr	'.) ¹				
T MM/9	0.22	0.22	0,25	0,46	0,89	1,29	1,56	1,48	0,94	0,67	0,36	0,25
	0,004	0,004	0,004	0,008	0,014	0,022	0,026	0,025	0,015	0,011	0,006	0,004
				Кауна	ac (18	9219	75 гг.) 1				
T wash	10.18	0.20	0.28	0.41	0,95	1,14	1,33	1,30	0,79	0,50	0,30	0,19
<u>Г</u> мм/ч <u>Г</u> мм/мин	0,00	3 0,00	3 0,00	0,007	0,010	0,019	0,022	0,022	0,013	0,008	0,005	0,003
2		• ′										

¹ Наблюдения велись с перерывами.

большой интенсивности кратковременны. Чаще всего они наблюдаются во время ливней в течение короткого промежутка времени. Обратная связь интенсивности осадков с их продолжительностью хорошо видна из данных табл. 26.

 ${
m T}_{
m 26}$ Таблица ${
m 26}$ Максимальная интенсивность осадков $I_{
m Makc}$ для различных интервалов времени

Интервал времени	I _{Makc}	Дата	I _{макс}	Дэта
Вил 1 мин 2 5 10 20 30 1 ч 12 24	5,1 4,4 2,4 1,5 1,0 0,8 0,4 0,06 0,03	-1975 rr.) 18 VII 1969 9 VIII 1963 20 VI 1956	Каунас 5,6 3,5 2,5 1,9 1,4 1,2 0,7 0,088 0,06	(1936—1975 rr.) 25 VIII 1968 13 VII 1962 23 VIII 1958 — 6 VIII 1959 20—21 VIII 1954

Максимальная интенсивность осадков для 30-минутных интервалов в исследуемом районе составляет около 1 мм/мин, для 10-минутных интервалов она в 1,5—2 раза больше, для 5-минутных возрастает до 2,5 мм/мин, а в наиболее короткие

минутные интервалы достигает 5 мм/мин и более. Это примерно в 10 раз больше максимальных часовых и на два порядка больше максимальных суточных интенсивностей выпадения осадков. Интенсивные, но короткие дожди наиболее вероятны в середине лета, при наиболее развитой термической конвекции. Продолжительные дожди повышенной интенсивности более характерны для осени, когда в Прибалтике усиливаются фронтальные процессы осадкообразования.

5.3. Осадки на вертикальные поверхности

Осадки редко выпадают при безветренной погоде. В среднем за год в 72% случаев осадки выпадают при ветре более 3 м/с. В 38% случаев скорость ветра при осадках превышает 5 м/с. Иногда осадки выпадают при ветре 10—15 м/с и более (табл. 31 приложения). При ветре траектории капель дождя становятся косыми и капли попадают на стены зданий и другие ограждающие конструкции. Согласно [53], количество дождя, падающего на вертикальную стену, перпендикулярную к несущему осадки ветровому потоку, определяется по формуле

$$X_{\scriptscriptstyle \mathrm{B}} = X_{\scriptscriptstyle \mathrm{F}} \bar{u}_{\scriptscriptstyle \mathrm{oc}} \bar{v}_{\scriptscriptstyle \mathrm{p}},$$

где X_{Γ} — количество дождя (мм), падающего на горизонтальную поверхность, u_{oc} — средняя скорость ветра во время дождя, $v_{\rm p}$ — средняя скорость равновесного падения капель дождя (м/с), определяемая согласно графику Богдановой [8, 54] или по уравнению

$$\overline{v}_{\rm p} = 7,233\overline{I}^{0,172},$$

где \overline{I} — средняя интенсивность дождя, падающего на горизонтальную поверхность (мм/мин).

В случае, когда направление ветра при дожде не перпендикулярно стене, количество падающего на нее дождя, согласно [45, 53], равно

$$X_{\text{B-o}} = X_{\text{B}} \cos{(\theta - \beta)},$$

где $X_{\rm B.0}$ — количество дождя, падающего на вертикальную поверхность заданной ориентации, 0 — направление ветра во время дождя (азимут дождевого потока), β — ориентация стены (азимут ее нормали).

По весьма ориентировочным подсчетам, количество дождя, падающего на вертикальные поверхности, в течение теплого времени года в Каунасе составляет 84% (в августе 65%, в апреле 115%) от количества осадков, падающих на горизонтальную поверхность. По более точным расчетам, учитывающим, что средняя скорость ветра при осадках в исследуемом районе на

0,5 м/с (зимой на 0,4 м/с, летом на 0,6 м/с) выше нормы, были получены отношения $\overline{X}_{\rm B}/\overline{X}_{\rm F}$ и другие данные, приведенные в табл. 27.

Таблица 27 Характеристики осадков, падающих на вертикальные поверхности, в Каунасе (1-я строка) и Вильнюсе (2-я строка) (1946—1975 гг.)

Характеристика	IV	V	VΙ	Λιι	VIII	ΙΧ	х	ΧI	IX-XI
$lpha$ $\overline{V}_{ m p}$ m/c $U_{ m oc}$ m/c $\overline{X}_{ m B}/\overline{X}_{ m r}$ % $\overline{X}_{ m B}$ mm	51	46	42	39	37	43	50	54	48
	51	47	44	40	41	44	50	54	47
	3,4	3,7	3,9	4,0	4,1	3,7	3,4	3,3	3,5
	3,3	3,5	3.8	3,9	3,9	3,6	3,3	3,2	3,4
	4,3	3,8	3.5	3,3	3,1	3,5	4,1	4,6	3,8
	4,1	3,7	3,7	3,3	3,4	3,5	3,9	4,4	3,8
	125	103	90	83	76	94	121	139	99,5
	124	106	97	85	87	97	118	138	102,8
	57	62	67	74	70	56	65	75	526
	55	60	74	76	77	57	63	73	534

Примечание. Здесь α — угол падения капель.

Оказалось, что самые большие скорости равновесного падения капель и самые малые скорости ветра при осадках в исследуемом районе наблюдаются во второй половине лета (июнь — август). В это время вертикальные поверхности получают 75—85% осадков. В крайние месяцы теплого времени года вертикальные поверхности получают уже 125—135% осадков, выпадающих на горизонтальную поверхность. Для теплого времени года в целом количества осадков, падающих на вертикальные и горизонтальные поверхности, примерно равны.

В условиях густо застроенных кварталов и у открытых стен многоэтажных зданий скорость ветра и траектории капель дождя изменяются. Для учета искривления траектории капель у стены приходится вводить в расчеты соответствующие поправки. Если, следуя [54, 67], ввести в наши расчеты поправку $x=14v_{\rm p}$, то количество осадков на вертикальную поверхность уменьшится в среднем на 50%. Значение рассматриваемой поправки существенно зависит от формы зданий и их размещения.

Ввиду того что даже средняя интенсивность осадков и скорость ветра меняются из года в год в довольно широких пределах, соответственно колеблются и месячные суммы осадков, падающих на вертикальную поверхность. Среднее квадратическое отклонение ${}^{\sigma}\bar{\chi}_{\scriptscriptstyle B}$ для отдельных месяцев в исследуемом районе колеблется от 20 до 45 мм (в июле ${}^{\sigma}\bar{\chi}_{\scriptscriptstyle B}=30$ мм). Коэффициент вариации $C_v|\bar{X}_{\scriptscriptstyle B}|$ отдельных месяцев составляет 0,4—0,6. Для всего теплого периода в Каунасе ${}^{\sigma}\bar{\chi}_{\scriptscriptstyle B}^{:}=87$ мм, $C_v=1,5$, 84

в Вильнюсе $\sigma_{\overline{\chi}_n}=118\,$ мм, $C_v=1,8.$ Данные о повторяемости различных сумм осадков, падающих на вертикальную поверхность, за теплый период представлены в табл. 28. В исследуе-

Таблица 28

Суммарное количество осадков (мм), падающих на вертикальную поверхность, различной интегральной повторяемости (в % от среднего количества за период с марта по ноябрь)

Станция	Сред-		Интегральная повторяемость, %											
		1	5	10	25	50	75	90	95	99				
Вильнюс Каунас	534 526	154 150	139 136	131 126	116 114	100 100	93 87	69 74	62 65	48 50				

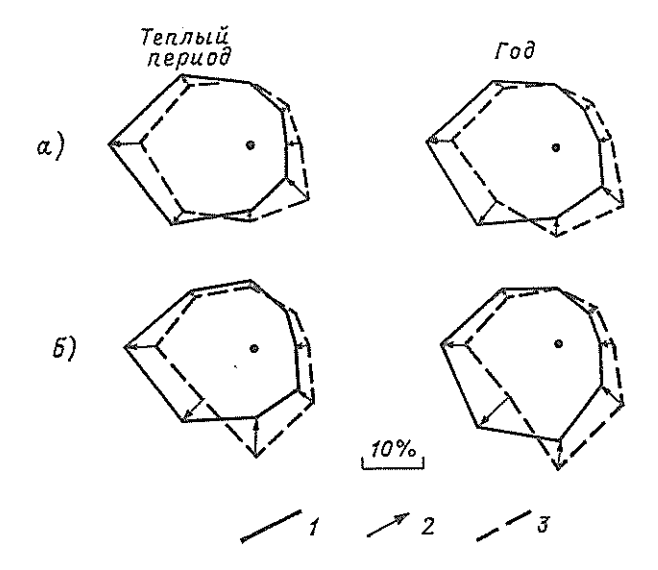


Рис. 27. Розы ветров при осадках (1), их отклонения от нормы (2) и нормальная роза ветров (3) в городах Каунасе (α) и Вильнюсе (δ).

мом районе раз в 10 лет количество осадков, падающих на вертикальные стены, может увеличиться (или уменьшиться) на 25-30% по сравнению с нормой. Один раз в 100 лет вероятны отклонения, равные $\pm 50\%$.

Количество осадков, падающих на различно ориентированные поверхности, может быть определено путем введения мно-

жителей, пропорциональных повторяемости ветра различных направлений при дожде [54]. (Нами проведено сравнение повторяемости направлений ветра при осадках, когда выпадает более 0,6 мм и более 3 мм. Разница между этими данными, выраженными в процентах от общего количества, в исследуемом районе не выходит за пределы точности их определения.)

Сравнение розы ветров при осадках более 0,6 мм (рис. 27) с общим распределением ветра по направлениям показало, что румбы наибольших и наименьших повторяемостей совпадают. Разница между ними лишь в том, что повторяемость ветра западной четверти при дожде на 3—5% больше, а для юго-восточной четверти на столько же процентов меньше общей повторяемости ветра этих направлений. Такие и даже еще меньшие отклонения обнаружены и в случае ветров при осадках более 3 мм.

По данным о повторяемости осадков при 16 направлениях ветра и данным из табл. 27 с помощью приведенных в начале данного параграфа уравнений рассчитано количество осадков, выпадающих на различно ориентированные вертикальные поверхности (табл. 32 приложения). Наибольшее количество осадков в Каунасе и Вильнюсе приходится на западные стены. В течение теплого времени года они получают около 50% осадков, падающих на горизонтальную поверхность, в то время как

восточные стены получают только 18%.

5.4. Снежный покров

Из выпавших в твердом виде осадков в холодное время года образуется снежный покров, который в Каунасе сохраняется в среднем 91 день. В Вильнюсе, расположенном дальше от моря, в связи с несколько более продолжительной и холодной зимой время залегания снежного покрова в среднем на 14 дней

больше (табл. 29).

Выпадение осадков, образующих снежный покров, в обоих городах чаще всего происходит при одном и том же синоптическом процессе. В основном это бывает при прохождении холодного фронта в тылу циклона с последующим похолоданием во время установившейся антициклонической погоды [18]. Поэтому даты появления снежного покрова в Вильнюсе и Каунасе чаще всего совпадают. Даты схода снежного покрова зависят и от количества накопившегося за зиму снега. Поэтому в Вильнюсе снег стаивает в среднем иа 7 дней позже, чем в Каунасе.

В связи с частыми оттепелями снежный покров особенно в начале сезона бывает неустойчивым. Образование устойчивого снежного покрова опаздывает по сравнению с появлением первого снега в среднем на месяц. Разрушение устойчивого снежного покрова происходит на 2—3 недели раньше, чем окон-

Таблица 29 Даты появления и схода снежного покрова, образования и разрушения устойчивого снежного покрова (1922—1975 гг.)

C	число дней со женэ		11 11 11	юявлени покро		нежного		Даты	Даты образования устойчивого спежного покрова				
Станция	вом покро-		ранняя Самая		я	вемер вкидеоп в		самая ранняя		средняя		амая явидес	
Вильнюс Каунас	105 91	17 X 1 19 X 1		13 X 16 X		24 XII 19 25 XII 19				16 XII 27 XII			
Станция	Да устой	рево итп Оповира Оправи	ия Стого		Даті		хода снежного юкрова				ет без йчиво-		
Станция	ранияя самая	сред- пяя		самая поздняя		самая ранняя	cı	редияя	1	самая квидеон	ro ci	іежно- экрова	
Вильнюс Каунас				V 1931 V 1958		III 1923 II 1974	1	8 IV 1 IV		VI 1928 VI 1928		8 5	

чательное его исчезновение. В 8—15% лет усиленный приток тепла из Западной Европы и с Атлантического океана делает снежный покров неустойчивым в течение всего холодного времени года.

В связи с неустойчивостью циркуляционных процессов, способствующих образованию снежного покрова или его разрушению, даты образования снежного покрова в отдельные годы колеблются в диапазоне двух месяцев, а даты его исчезновения—в диапазоне трех месяцев. Самое раннее появление снежного покрова в Вильнюсе отмечено 17 октября 1925 г., самый поздиий сход—2 июня 1928 г., но последний случай относится к кратковременному запоздалому снежному покрову, продержавшемуся всего 1 день.

Вероятностные характеристики образования и разрушения устойчивого снежного покрова даны в табл. 33 приложения и на рис. 28. Как видно, для исследуемого района характерна некоторая асимметрия распределения соответствующих дат снежного покрова. Отклонения ранних дат образования снежного покрова от средних меньше отклонений самых поздних дат. Отклонения самых ранних дат разрушения снежного покрова в два раза превышают отклонения поздних дат. Причиной такой асимметрии является наличие зим без устойчивого снежного покрова.

Между датами образования устойчивого снежного покрова в Вильнюсе и Каунасе видна разница, которая для интервала средних и больших интегральных повторяемостей в среднем до-

стигает 10 дней. Фактически устойчивый снежный покров образуется в этих городах либо одновременно (или в очень близкие сроки), либо в Каунасе образование устойчивого снежного покрова опаздывает на более продолжительное время (до одного месяца).

Высота снежного покрова определяется как на площадке метеорологической станции по снегомерным рейкам, так и в ее окрестностях с помощью маршрутных снегосъемок. Поскольку параметры снежного покрова в большой степени зависят от

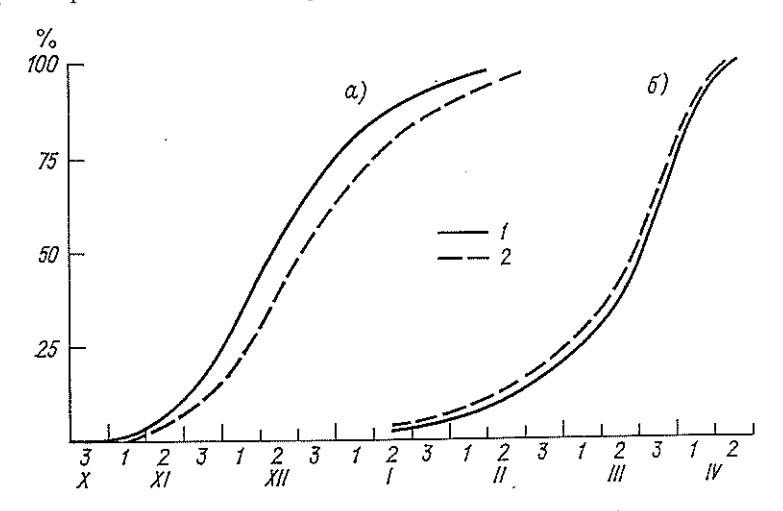


Рис. 28. Интегральная повторяемость указанных и более ранних дат образования устойчивого снежного покрова (a) и его схода (б) в городах Вильнюсе (1) и Каунасе (2).

рельефа, защищенности участка от ветра и других местных условий, наиболее надежные сведения о высоте снежного покрова, как и о других его параметрах (плотности, водности), получаются по снегосъемкам (табл. 34 и 35 приложения).

Высота снежного покрова постепенно увеличивается и в последних числах февраля достигает в исследуемом районе в среднем 15—20 см. В течение марта она быстро уменьшается до 0 см (рис. 29). В связи с непостоянством зимних циркуляционных процессов в отдельные годы максимальная высота и время, в которое она наблюдается, подвержены сильным колебаниям (табл. 30 и 31).

В морозные затяжные зимы высота снежного покрова в Вильнюсе и Каунасе достигает 40—45 см, а начало снеготаяния передвигается на середину марта. В мягкие зимы с неустойчивым снежным покровом его высота не превышает 5—6 см. Максимальные высоты снежного покрова под воздействием оттепелей могут сдвигаться на январь и даже на более ранние

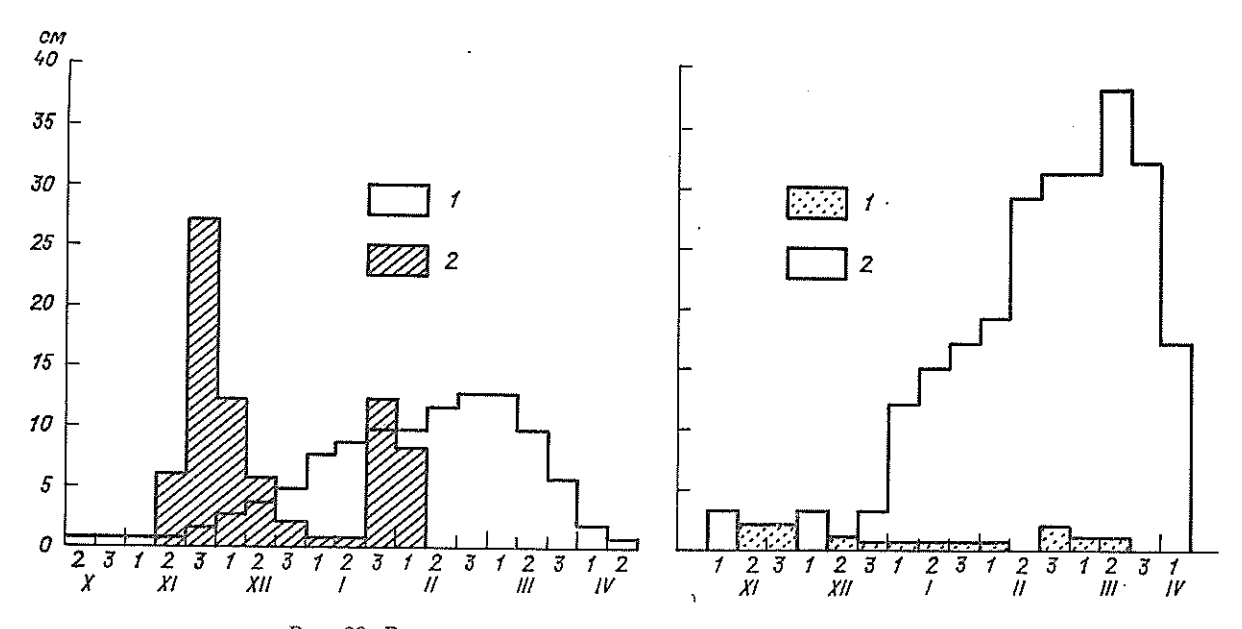


Рис. 29. Высота снежного покрова по декадам в г. Каунасе. Слева: I- средняя, 2-в 1909-10 г.; справа: I-в 1924-25 г., 2-в 1941-42 г.

Таблица 30 Повторяемость (%) декад с максимальным снежным покровом в Каунасе (1892—1975 гг.)

ХI		XII			Ţ			II		III		
3	1	2	3	1	2	3	1	2	3	1	2	3
1	3	4	4	8	4	7	12	11	20	16	9	

Таблица 31 Максимальная высота (см) снежного покрова различной интегральной повторяемости в Каунасе (1892—1975 гг.)

	Интегра	ноп квиль.	торяемост	гь (%) выс	оты, равн	ой и выше	указанной	
1	5	10	25	50	75	90	95	99
47	39	31	2 6	17	9	6	4	2

месяцы. Среднее квадратическое отклонение максимальных за зиму высот снежного покрова в Вильнюсе составляет 12,5 см. Вероятностные характеристики изменения максимальной высоты снежного покрова представлены в табл. 31.

В течение зимы изменяется и средняя плотность снега, которая достигает наибольшего значения в период снеготаяния (табл. 34 приложения). Разница средней плотности снега в начале и конце периода его залегания в окрестностях исследуемых городов составляет около 10 г/см³, т. е. примерно 50% от его первоначальной плотности.

Снежный покров на плоских крышах зданий создает дополнительные нагрузки на поддерживающие их конструкции. Такие нагрузки во второй половине зимы в году в среднем по заснеженности не превышают 40—45 кг/м², но в годы с высоким снежным покровом, даже при условии сохранения его средней плотности, могут приблизиться к 100 кг/м³. (Такие нагрузки наблюдаются реже чем один раз в 50 лет.)

6. РЕЖИМ ОБЛАЧНОСТИ И АТМОСФЕРНЫЕ ЯВЛЕНИЯ

6.1. Облачность

Твердые и жидкие продукты конденсации атмосферной влаги в свободной атмосфере образуют различные облака и их системы. Облачность оказывает многогранное влияние на климат. Она обеспечивает земную поверхность осадками, влияет на перераспределение членов радиационного баланса, тесно связана с режимом температуры и ветра, является видимым ноказателем состояния различных слоев атмосферы.

Количество облаков принято характеризовать степенью покрытия небосвода облаками (по десятибалльной шкале) и повторяемостью ясного, полуясного, пасмурного состояния неба (в %). Отдельно определяется количество ясных и пасмурных дней. При этом кроме общей выделяют и инжнюю облачность, образующуюся в нижнем двухкилометровом слое атмосферы.

Средняя облачность обладает отчетливым годовым и суточным ходом. В Вильнюсе средняя годовая общая облачность составляет 7,2 балла (нижняя—5,8 балла). В начале зимы (декабрь) она увеличивается до 8,6 (7,9), в конце весны (май) уменьшается до 6,3 (4,2) балла. Так же меняется средняя об-

лачность в Каунасе (табл. 36 приложения).

Изменение средней степени покрытия неба облаками в первую очередь зависит от процессов их развития и структуры. Зимняя, довольно тонкая, но почти всегда сплошная облачная пелена летом уступает место совокупности отдельных облаков, хорошо развитых по вертикали. От времени года зависит и суточное изменение их количества (табл. 37 приложения). С октября по март небо закрыто облаками, чаще всего по утрам (6—9 ч). Прояснение наблюдается вечером (18—21 ч). С апреля по сентябрь наиболее ясно ночное (0—3 ч) и утреннее небо. Увеличение облачности, начавшееся еще перед полуднем, продолжается до 15—18 ч. Это особенно заметно по нижней облачности, амплитуда суточных колебаний которой летом достигает ±30% от среднего месячного количества.

Среднее количество облаков используется в косвенных расчетах показателей радиационного баланса, но в отличие от температуры, оно не обладает наибольшей повторяемостью (табл. 38 приложения). На рис. 30 видно, что наиболее пас-

мурни в Вильнюсе с декабря по февраль. Ясное небо днем наиболее вероятно ранней весной. По утрам ясно бывает чаще всего в середине лета [59]. В этом сезоне чаще, чем в другие наблюдается облачность верхних ярусов.

Об устойчивости ясной (или пасмурной) погоды лучше судить по числу соответствующих дней (табл. 39 приложения). Число ясных дней значительно меньше числа пасмурных. В Вильнюсе и Каунасе среднее годовое количество ясных и пасмурных дней относится друг к другу как 9:1. В марте это отношение равно 4:1, а в ноябре — 25:1. Пасмурная погода преобладает с ноября по январь. В отдельные годы в этот период ясных и полуясных дней может и не быть.

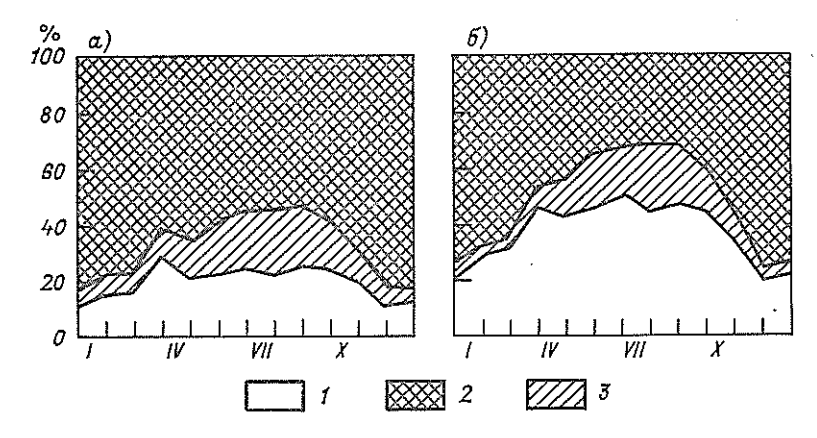


Рис. 30. Вероятность ясного (1), полуясного (3) и пасмурного (2) состояния неба в г. Каунасе по общей (a) и нижней (b) облачности.

Среднее годовое количество ясных дней в указанных городах не превышает 20—25 за год, но в отдельные годы это число может удвоиться. До 10 дней ясных по общей облачности (до 20 лней по нижней) в отдельные годы может быть только в мае. . Істом увеличивается число полуясных дней, когда облачность по существу мало препятствует радиационному нагреву городских сооружений. Общее число дней, во время которых существуют термические контрасты между освещенными и затемненными поверхностями, в каждом летнем месяце в среднем достигает 20.

Влияние облачного покрова на температурно-влажностный режим существенно зависит от их внутренней структуры, о которой можно судить по форме облачных образований. В среднем за год, наиболее часто (в 44% из всех наблюденных случаев) отмечаются конвективные формы облаков, а среди них облака хорошей погоды (кучевые и высоко-кучевые). Существенно меньше повторяемость кучево-дождевых облаков, даю-

щих ливни (табл. 32). Вторую по численности группу (37%) составляют подынверсионные облака: слоистые и слоисто-кучевые. Облака, связанные с системами теплых фронтов, — высо-ко-слоистые и слоисто-дождевые — в среднем составляют 19%.

Таблица 32 Повторяемость (%) основных форм облаков в Вильнюсе (1966—1975 гг.)

Форма облаков	I	II	III	ΙV	V	VΙ	ΝII	VIII	ıx	x	ХI	XII	Год
Кучевые Кучево-дождевые Высоко-кучевые Высоко-слонстые Слоисто-дождевые Слоисто-кучевые Слоистые	24 15 12 33 16	1 20 10 13 40 16	4 6 24 12 10 35 9	11 6 30 15 7 26 5	17 11 35 15 3 17 2	21 12 30 13 2 20 2	22 13 32 11 2 18 2	23 11 35 11 2 15 3	12 7 32 13 5 25 6	3 23 10 10 39 12	16 7 14 41 21	1 13 8 16 39 23	11 6 27 12 7 28 9

Примечание. Точка (·) означает, что повторяемость данной формы облаков составляет менее 0,5 %.

В июле общая повторяемость конвективных облаков под влиянием развития восходящих токов увеличивается до 67%, а доля подынверснонных уменьшается до 20%. В декабре повторяемость конвективных облаков сокращается до 14%, но повторяемость подынверснонных облаков, образующихся при радиационном выхолаживании влажного воздуха, увеличивается до 62%. В декабре также несколько (до 25%) увеличивается повторяемость случаев с облаками теплого фронта.

Если проследить годовой ход повторяемости каждой формы облаков в отдельности (табл. 33), то оказывается, что около

Таблица 33 Годовой ход повторяемости отдельных форм облаков (в % от годовой суммы случаев) в Вильнюсе (1966—1975 гг.)

Форма облаков	I	II	III	ΙV	v	VI	VII	VIII	ΙX	х	XI	XII
Кучевые Кучево-дождевые Высоко-кучевые Высоко-слоистые Слоисто-дождевые Слоисто-кучевые Слоистые	7 9 12 9 13	1 5 6 11 9 12	3 6 6 7 9 8 7	9 8 10 11 8 8 5	15 17 12 12 12 4 6 2	19 18 11 11 3 7 2	22 21 12 10 3 7 3	19 15 11 8 2 5	10 9 10 10 5 8	2 4 7 7 11 11 11	1 5 4 15 11 17	1 4 5 17 11 19

Примечание. Точка (-) означает, что повторяемость данной формы менее 0.5~%.

половины всех случаев со слоистыми и слоисто-дождевыми облаками отмечено в течение ноября— января. Летом эти формы облаков повторяются в 5 раз реже. Примерно 60% кучевых и кучево-дождевых облаков наблюдаются летом. Зимой они, как правило, не наблюдаются. 33% высоко-слоистых и высоко-кучевых облаков отмечены весной. Осенью таких облаков в два раза меньше. Годовой ход других форм облаков выражен не так четко.

Для отдельных форм облаков обнаруживается и суточный ход повторяемости (табл. 40 приложения). Особенно это за-

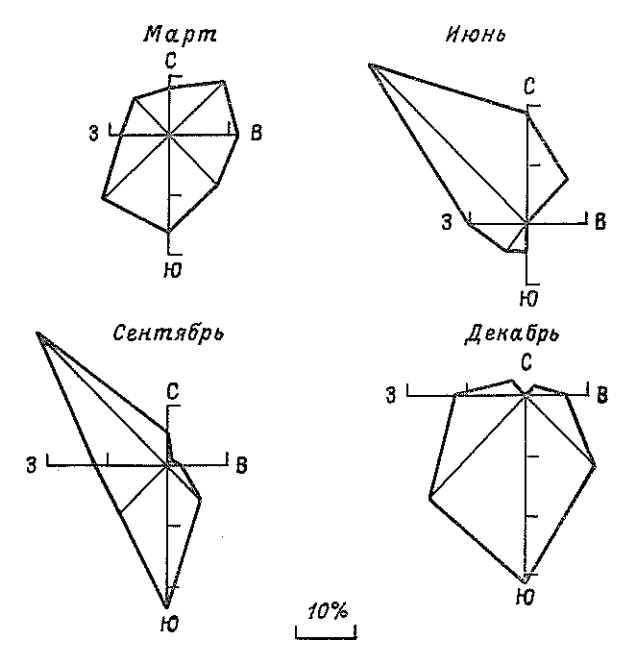


Рис. 31. Повторяемость (%) высоты нижней границы облаков ниже 100 м при различных направлениях ветра в г. Вильнюсе.

метно для кучевых форм облаков, наибольшая повторяемость которых наблюдается после полудня (15—18 ч). В теплое время года наблюдается суточный ход слоистой облачности, максимум повторяемости которой наступает утром (06—09 ч). Облачность среднего яруса летом имеет тенденцию к увеличению в вечернее и ночное время (21—24 ч), но амплитуда суточных колебаний невелика.

Годовой ход повторяемости определенных высот нижней границы облаков в районе Вильнюса и Каунаса хорошо виден из данных табл. 34. Наибольшая вероятность уменьшения ниж-

Таблица 34
Повторяемость высоты нижней границы облаков (в % от общего числа случаев за месяц) в Вильнюсе (1954—1958 гг.)

Высота, м	I	II	111	ΙV	v	Λι	VII	VIII	ıх	х	ХI	XII
>300 <300 <200 <100 <50	55 45 32 15	65 35 25 13 10	78 22 15 7 5	76 24 18 6 4	92 8 5 2	92 8 5 2	90 10 6 2	84 16 9 4 2	80 20 13 6 3	66 34 27 13 7	49 51 40 21 11	41 59 50 28 17

ней границы облаков ниже 100 м в декабре в среднем достигает 28%. Летом такие случаи единичны. Высота нижней границы облаков меняется и в течение суток. Наибольшая повторяемость нижней границы облаков для всех градаций, указанных в табл. 34, наблюдается спустя 1—2 ч после восхода солнца.

Рассматриваемый показатель также зависит от направления ветра (рис. 31). С ноября по февраль облачность с нижней границей ниже 100 м в Вильнюсе наиболее вероятна при ветрах южного и юго-западного направлений, летом при северозападном и западном ветре, весной при ветрах юго-западной и северо-восточной четверти, а осенью при южном и северо-западном.

6.2. Туманы и видимость

Скопление облачных элементов (мельчайших водяных капелек или ледяных кристалликов) у земной поверхности образует туман (горизонтальная видимость менее 1 км) или дымку (видимость 1—10 км). Туманы формируются или при адвекции холодного влажного воздуха на теплую поверхность (адвективный туман) или при ясной—тихой погоде путем радиационного выхолаживания (радиационный туман). Независимо от своего происхождения туманы в городах поглощают разные примеси (вредные газы, дым, пыль) и вместе с большой переувлажненностью увеличивают интенсивность коррозии, ухудшают дальность видимости, мещают работе транспорта.

Туман — явление очень чувствительное к местным условиям. Их количество может существенно различаться даже в близко расположенных точках. В среднем за год в районе Вильнюса и Каунаса отмечается 50—60 дней с туманами, их среднее квадратическое отклонение от нормы близко к 10 дням, наибольшее число дней с туманами за год приближается к 100 (табл. 35). Наибольшее число дней с туманами бывает в дека-

Таблица 35 Число дней с туманом (1946—1975 гг.)

Характеристика	I	11	III	IV	v		ΙV
		Вильнюс	, асмг				
Среднее с Наибольшее Год	6,9 4,30 15 1949	9,5 3,50 14 1974	7,5 3,99 13 1966	4,3 3,51 12 1966	3,1 2,66 10 1967		2,3 1,71 6 1974
	K	а у нас, агр	ометстан	ция			
Среднее σ Наибольшее Год	4,9 3,39 14 1971	4,7 3,26 12 1961	3,7 2,51 9 1967	2,7 2,32 9 1964	1,8 1,99 6 1962		1,4 1,39 5 1961
Характеристика	VII	VIII	ΙX	x	ХI	XII	Год]
		Вильню	oc, AMCI				
Среднее σ Наибольшее Год	3,0 2,25 7 1974	5,7 2,93 11 1952	6,7 1,84 10 1974	9,3 3,56 15 1951	9,9 2,86 15 1970	12,4 4,03 17 1970	39,9 10,48 97 1970
	Ka	а у нас, агр	ометстані	ция			
Среднее σ Наибольшее Год	2,4 1,78 7 1967	3,8 2,47 11 1967	3,7 2,07 10 1961	5,2 3,25 13 1960	5,1 2,46 10 1958	4,6 2,80 11 1958	46,3 11,16 72 1958

бре, наименьшее — в июне; хотя в отдельные годы время наступления максимума и минимума туманов, сильно меняется в зависимости от того, какие преобладают циркуляционные особенности, приводящие к образованию туманов.

Обычно среднее месячное число дней с туманом мало меняется в течение всего осенне-зимнего сезона. О повторяемости лет с различным месячным и годовым числом дней с туманами можно судить по данным табл. 41 приложения. В большинстве отдельных лет месячное число дней с туманами весной, летом и осенью не превышает 5, а в холодное время года составляет от 6 до 10 дней и более. В весенне-летние месяцы увеличивается повторяемость лет, когда туманов не бывает.

Туманы образуются, когда температура воздуха становится ниже температуры, при которой водяные пары достигают полного насыщения, и рассеиваются при температуре выше этого значения. По этой причине наблюдается и суточный ход повторяемости туманов. Чаще всего они образуются во второй поло-

вине ночи. В Вильнюсе весной каждый третий, а летом каждый второй туман образуется между 3 и 6 ч. Зимой наибольшее количество туманов образуется между 6 и 9 ч. В некоторых случаях туманы образуются с вечера и почти никогда не образуются в полдень (табл. 36).

Таблица 36 Повторяемость (%) времени начала образования и рассеяния туманов в Вильнюсе, АМСГ (1954—1958 гг.)

	-	Образ	ование		Рассеяние					
Время, ч	весна (ПП-V)	nero (IIIV-IV)	осень (IX-XI)	вине (П—ПХ)	весна (III – V)	лето (VI-VIII)	осень (IX—XI)	аниа (11—11X)		
0—3 3—6 6—9 9—12 12—15 15—18 18—21 21—24	18 37 27 12 0 0 3 3	9 52 35 0 0 0 4	13 · 25 23 13 3 2 10 11	11 10 25 23 11 4 8	0 11 32 49 8 0 0	0 4 79 17 0 0 0	9 10 21 31 13 8 3	10 5 11 19 34 8 7 6		

Рассеиваются туманы чаще всего в первой половине дня. В Вильнюсе летом три тумана из четырех исчезают между 6 и 9 ч. Весной половина туманов, а осенью каждый третий рассеиваются между 9 и 12 ч. Только зимой наибольшее число туманов рассеивается уже после полудня. Большинство туманов в Вильнюсе и Каунасе кратковременны. Их средняя продолжительность составляет 4—4,5 ч. Туманы продолжительностью менее 6 ч составляют 75—80% всех туманов. Однако некоторые адвективные туманы могут продолжаться более суток (табл. 42 приложения). Суммарная годовая продолжительность туманов зависит от числа случаев и в различных частях указанных городов колеблется от 160 до 420 ч (табл. 43 приложения). Суммарная продолжительность туманов в холодное время года (октябрь — март) в среднем в три раза превышает продолжительность туманов в теплое время года.

Образование и рассенвание туманов довольно тесно связано с направлением и скоростью ветра. Зимой, весной и осенью почти половина всех туманов в Вильнюсе наблюдается при ветрах южного и юго-западного направлений (табл. 37). Летом такое количество туманов наблюдается при северо-западных и западных ветрах, так как именно эти ветры чаще всего приносят массы влажного воздуха.

Быстрое движение воздуха не благоприятствует образованию туманов, поскольку при сильных ветрах нижние слои влажного воздуха перемешиваются с более сухими верхними и количество влаги, необходимой для образования тумана,

Таблица 37
Повторяемость туманов при ветрах различных направлений (в % от всех случаев данного сезона) в Вильнюсе, АМСГ

Сезон	C	СВ	В	ЮВ	Ю	103	3	C3
Весна (III—V)	8,3	6.2	6 6	9,5	35,3	10,0	11,2	12,9
Лето (VI—VIII)	15,0	5,0	3,3	3,4	18,3	8,3	21,7	25,0
Осень (IX—XI)	3,3	2,7	3,3	15,0	42,6	18,3	9,3	5,5
Зима (XII—II)	2,7	1,4	3,0	11,7	39,2	21,1	13,8	7,1
Год	4,5	2,9	3,0	11,8	38,4	17,6	12,4	8,6

внизу уменьшается. Поэтому зимой 20%, весной и осенью 25%, а летом даже 40% городских туманов наблюдается при тихой, безветренной погоде (табл. 38). Более половины зимних и три

Таблица 38 Повторяемость туманов (%) при ветрах различных скоростей, в Вильнюсе

	•	D 15.101	51110 + 5			
Сезон	0-1	2-3	4-5	6-7	8-9	12-13
Весна (III—V) Лето (VI—VIII) Осень (IX—XI) Зима (XII—II) Год	21,2 40,0 25,7 22,6 24,1	44,8 40,0 45.1 40,2 42,5	22,4 20,0 23.8 24,5 23,7	10,4 4,9 10,5 8,3	1,2 0,5 2,0 1,3	0,2

четверти летних туманов сохраняются при скорости ветра менее 3 м/с. Скорость ветра более 6 м/с отмечена менее чем в 10% случаев туманов, причем летом при таком ветре туманы в Вильнюсе не наблюдались вообще.

Наличие в атмосфере водяных капель и ледяных кристаллов тумана, пыли, дыма и других примесей (аэрозолей), а также большое количество водяных паров уменьшает ее прозрачность. В малопрозрачной атмосфере плохо видны отдаленные предметы. Резко ухудшается видимость и во время дождя, сильного снегопада, метели. Условия видимости в первом приближении разделяются на три категории. Плохая видимость отдельные предметы трудно различимы на расстоянии менее 1 км. Хорошая видимость — предметы можно рассмотреть на расстоянии от 1 до 10 км. Отличная видимость — крупные предметы видны на расстоянии до 50 км.

Плохая видимость в Вильнюсе и Каунасе бывает не очень часто. В среднем за год повторяемость видимости менее 1 км в Каунасе составляет 3,5%. С октября по февраль повторяемость плохой видимости увеличивается до 5—7%, а летом дер-

жится на уровне 1-2%. Зато отличная видимость летом наблюдается более чем в 60% случаев. В декабре такие хорошие условия видимости отмечаются в два раза реже (табл. 39).

Таблица 39 Повторяемость (%) различных градаций видимости

Градации видимости, км	I	II	III	īV	v	VΙ	VII	VIII	IX	Х	ΧI	XII	Год
			Вил	ьнюс	(1966	197	75 rr	·)·				<u> </u>	<u> </u>
0—1 1—10 10—50	59 32	10 65 25	51 43	3 49 48	$\begin{bmatrix} 2\\46\\52 \end{bmatrix}$	1 35 64	2 35 63	$\begin{bmatrix} 2\\36\\62 \end{bmatrix}$	4 45 51	6 56 38	7 62 31	9 70 21	5 49 46
			Kay	иас (1949-	— 196	5 гг.)					
0—1 1—10 10—50	72 23	68 25	60 36	3 45 52	$\begin{bmatrix} 1\\34\\65 \end{bmatrix}$	$\begin{bmatrix} 1\\32\\67 \end{bmatrix}$	1 33 66	$\begin{bmatrix} 2\\35\\63 \end{bmatrix}$	4 47 49	6 56 38	5 61 34	6 63 31	4 49 47

В течение суток видимость ухудшается по утрам с восходом Солнца и улучшается во второй половине дня (рис. 32).

Условия плохой видимости определенным образом связаны со скоростью ветра. В середине лета более 40% случаев видимости менее 1 км в Каунасе п Вильнюсе наблюдается при штилях (табл. 40). С увеличением скорости ветра усиливается рас-

Таблица 40 Повторяемость (%) горизонтальной видимости менее 1 км при различных скоростях ветра

~~~~			11 [5	и раз	SJEN4H]	ых ск	орост	ях ве	тра			
Скорость ветра, м/с	I	II	111	IV	v	VI	VII	VIII	IX	х	ıxı	XII
				Вильн:	юс <b>(</b> 19	966—1	975 rı	`.)				1
Штиль 1—2 3—5 6—11 12	11 27 50 12	15 35 39 9 2	14 28 44 13	15 42 39 4	30 32 35 3	29 38 33	59 23 18	50 26 24	35 47 18	28 34 33 5	6 35 51 8	7 22 58 13
				Каун	ac (19	49—19	965 rr	.)				•
Ш тиль 1—2 3—5 6—11 12	31 36 21 9 3	26 31 22 17 4	33 33 26 6 2	31 38 29 2	23 31 46	43 43 14	43 43 14	21 70 9	44 47 9	28 46 22 4	27 37 35 1	22 43 28 6 1

сенвание атмосферных примесей и видимость улучшается. Весной и осенью наибольшая вероятность ухудшения видимости существует при небольших скоростях ветра. С ноября по март

увеличивается повторяемость плохой видимости при ветрах средней силы. Видимость менее 1 км в 30-40% случаев в это время наблюдается при ветре более 3 м/с. При таком ветре в окрестностях Вильнюса и Каунаса наблюдаются снегопады и начинают развиваться метели. Ухудшение видимости при ветрах 6—12 м/с и более в Вильнюсе и Каунасе наблюдается редко и целиком связано с сильными метелями.

Зимой повторяемость плохой видимости в Вильнюсе увеличивается при ветрах южного и юго-западного направлений. Ви-

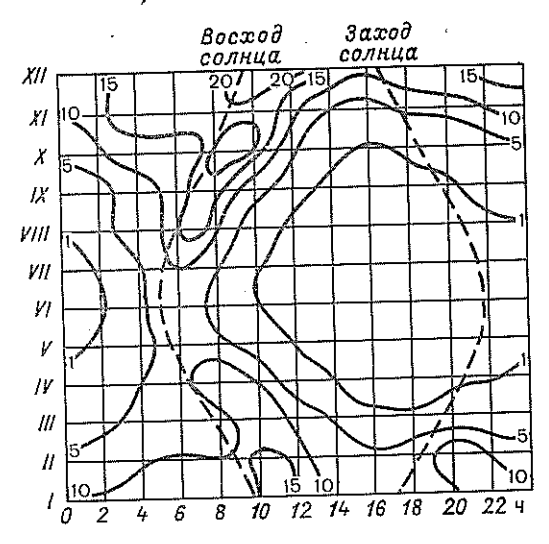


Рис. 32. Годовой и суточный ход повторяемости (%) дальности горизонтальной видимости менее 1 км в г. Вильнюсе.

димость менее 1 км в это время года при ветрах этих же направлений наблюдается в 10—15% случаев. Вероятность таких условий видимости при ветрах северной четверти горизонта примерно в три раза меньше.

Особые затруднения при работе транспорта возникают, если ухудшение видимости продолжительно. Продолжительность видимости менее 1 км в Вильнюсе летом в основном составляет 2,5—3 ч, зимой — 5—6 ч. Наибольшая непрерывная продолжительность плохой видимости (по ориентировочной оценке за 5 лет наблюдений) летом не превышает 8 ч, но в осенне-зимнее время (ноябрь — февраль) достигает 24 ч и более. Наибольшая за исследованный период непрерывная продолжительность плохой видимости в Вильнюсе отмечена равна 60 ч. Средняя и наибольшая продолжительность очень плохой видимости (менее 0,5 км) примерно такие же.

# 6.3. Грозы и град

Развитие мощных кучево-дождевых облаков с интенсивными восходящими токами часто приводит к образованию электрических разрядов (молния), шквалистого ветра, сильных ливней, а иногда и града. До 80% гроз в районе Вильнюса и Каунаса связаны с фронтами. Вероятность возникновения гроз на фронтах, движущихся с юга и востока в два раза больше, чем на фронтах других направлений. Однако в абсолютном выражении наибольшее количество гроз отмечается при западном переносе, так как он является преобладающим [9].

Вертикальные токи в облаках наиболее интенсивны во второй половине дня, поэтому около половины всех гроз образуются между 12 и 18 ч. Термодинамическая неустойчивость более высоких слоев атмосферы стимулирует ночные грозы, поэтому суточная повторяемость гроз имеет два максимума. Основной из них отмечается около 16 ч — тогда наблюдается примерно 20% их общего количества, вторичный максимум (около 15% гроз) наблюдается около полуночи. Основной минимум повторяемости гроз (0,5%) падает на 8 ч, а вторичный (около 10%) наблюдается в 21 ч [9].

В среднем за год в Вильнюсе бывает 22 дня с грозой. Из них около 70% наблюдается летом, около 20% — весной, около 8% — осенью и только единичные случаи иногда отмечаются во второй половине зимы. Годовой максимум гроз наблюдается в июле. В декабре в течение всего периода исследований не

отмечено ни одной грозы. В благоприятные для грозовой деятельности годы число дней с грозой может увеличиться на 50% (по сравнению с нормой). Среднее число дней с грозой в отдельные месяцы года и возможные пределы его колебаний из года в год показаны в табл. 41. Более подробные сведения

Таблица 41 Число дней с грозой

Характеристика	I	II	III	IV	v	. VI
	Вя	льнюс (19	06—1975 г	r.)		
Среднее σ Наибольшее Год	0,03 1 1958	0,03 1 1962	0,2 2 1961	0,8 1,30 6 1972	3.6 2,51 12 1963	4.5 2.71 13 1959
	К	аунас (192	,		1300	1909
Среднее	0,08	0,00	0,09	1,1	3,8	4.8
Наибольшее Год	2 1964	0	2 1967	1,64 8 1950	2,30 12 1963	2,97 13 1959

					1		
Характеристика	VII	AIII	IX	х	XI	XII	Год
	В	ильнюс (1	906—1975	гг,)			. 01.4
Среднее	5,9	4,5	1,4	0,11	0,03	0,00	$\begin{array}{c c} 21,4 \\ 6,35 \end{array}$
σ	2,72 13	2,46 10	1,30 6	1	1	0	36
Наибольшее Год	1960	1946	1962	1969	1971		1954
	I	Каунас (19	)23—1975	rr.)			
Среднее	6,1	4,6	1,7	0,2	0,02	0,00	22,5 6,84
оредисс	3,44	2,22	1,43 6	1	1	0	38
Наибольшее	17 1960	1946	1955	1954	1926		1960
Год	1900	1 23.0	ļ	i	1		1

о повторяемости месяцев и лет с различным числом дней с гро-

зой представлены в табл. 44 приложения.

Суммарная продол-Гроза — явление непродолжительное. жительность всех гроз в Вильнюсе за год составляет 45 ч. В Каунасе она примерно на 10 ч меньше, по-видимому, за счет более сглаженного рельефа окрестностей. Средняя продолжительность одной грозы в Вильнюсе — 1,5 ч, в Каунасе — немного более 1 ч. Около 80% всех гроз продолжается менее 2 ч. Хотя некоторые из них могут продолжаться 4—6 ч и даже 9 ч подряд (табл. 42). Грозы такой продолжительности возникают

Таблица 42 Повторяемость гроз различной продолжительности т в % от общего числа случаев (1946-1975 гг.)

B % OT COMETO Anesta en la tara (-														
			Продолжительность, ч											
Станция	<u>-</u>	Œ	0,1≯	1,1-2,0	2,1-3,0	3,1-4,0	4,1 -5,0	5,1-6,0	6,1-7,0	7,1-8,0	8,1-9,0	0,6<	^{Тма кс}	Дата
Вильнюс Каунас	1,5 1,1	1,30 1,13	49 66	28 20	12 8	6 3	2	2	0,4	0.5 0,4	0,1 0,2	0,1	9,0 9,5	25 VI 1947 28 V 1962

на почти неподвижных фронтах с несколькими волнами, способными долгое время поддерживать неустойчивость и восхо-

дящие движения над фронтальным разделом.

Если восходящие токи в грозовом облаке достигают уровня с отрицательной температурой воздуха, то водяные капли могут замерзнуть и образовать градины. Циркулируя более или менее продолжительное время в самом облаке, они могут обрасти льдом до весьма значительных размеров (несколько сантиметров). Такие градины, падая на землю, могут причинить ущерб растительному покрову, повредить хрупкие (черепичные, стеклянные) покрытия.

Град — явление локальное. Он выпадает узкой полосой, редко превышающей по ширине несколько сотен метров, поэтому часть случаев его выпадения остается не отмеченной наземной наблюдательной сетью. Повторяемость града совсем невелика. В Вильнюсе и Каунасе она в 10—12 раз меньше повторяемости гроз. В каждый четвертый — пятый год град в указанных городах не выпадает совсем (табл. 43). В 60—70% лет

Таблица 43 Число дней с градом

					-					
Характеристика	īγ	v	VI	VII	VIII	1X	x	lx I	хи	Год
Вильнюс (1896—1975 гг.)										
Среднее	0.3	0.5	0.4	0,1	0.1	0,2	0.09	0,00	0.01	1.9
Наибольшее Год % лет без язле- ния	4 1927 82	3 1922 60	3 1959 73	2 1933 86	2 1928 87	2 1928 77	2 1925 93	0 100	1 1919 99	1,54 6 1933 24
Каунас (1923—1975 гг.)										
Среднее 5 Наибольшее Год % лет без явле- ния	0.2 2 1950 91	0.5 3 1944 60	0.3 2 1950 74	0 2 2 1951 83	0,2 1 1953 85	0.2 2 1955 85	0.2 2 1933 85	0.02 1 1930 98	0,04 1 1931 95	1.7 1.22 5 1951 19

града не бывает даже в наиболее градоопасные поздне-весенние месяцы. Однако в некоторые годы, когда неустойчивость атмосферы повышена, может наблюдаться до двух-трех градобитий в любом из весенне-летних месяцев. Максимальное за год число дней с градом в Вильнюсе и Каунасе равно 6 дням. Другие данные о повторяемости различного числа дней с градом в отдельные месяцы приводятся в табл. 45 приложения.

# 6.4. Гололедно-изморозевые явления

Замерзание переохлажденных капель дождя и тумана, оседание продуктов сублимации атмосферной влаги, прилипание мокрого снега в холодное время года приводят к образованию гололеда, зернистой и кристаллической изморози и более сложных отложений льда и снега. Такие отложения образуются на проводах линий связи и электропередачи, на их опорах, высотных кранах и других сооружениях, а также на деревьях (рис. 33) и дорожных покрытиях.

Гололедно-изморозевые отложения вызывают утечку тока, вибрацию и обрыв проводов, возможно повреждение линейных опор и ветвей деревьев. Гололедица существенно ухудшает про-

ходимость дорог.

Выпадение переохлажденных капель дождя при температуре воздуха от 0 до —5° С приводит к образованию гололеда. В районе Вильнюса и Каунаса в среднем за сезон отмечается 10—15 дней с гололедом. В отдельные годы число таких дней может увеличиться до 20-25 (табл. 46 приложения). Наибольшая вероятность гололеда — в январе (среднее число дней 3,5, максимальное 12).

При тумане и температуре воздуха от 0 до —10° С на наветренных предметах образуется зернистая изморозь. Среднее число дней с зернистой изморозью за сезон составляет 3—5 дней. В отдельные годы оно может увеличиться до 8—15 дней. При более низких температурах (до -20° C) увеличивается вероятность осаждения кристаллической изморози. Среднее число дней с такими отложениями 8-9 за сезон, максимальное достигает 20 дней.

Налипание мокрого снега на проводах в среднем наблюдается 1-2 раза в год. В отдельные годы может быть 5-8 та-

ких случаев, а может и не быть ни одного.

При быстро меняющихся условиях погоды могут образоваться сложные отложения из льда и снегообразной рыхлой массы. Распределение числа случаев гололедно-изморозевых явлений по месяцам показано в табл. 48 приложения, а обобщенные данные об интегральной повторяемости числа дней с гололедом и изморозью представлены в табл. 44.

Таблица 44 Число дней с гололедно-изморозевыми явлениями (визуальные наблюдения) в Вильнюсе, АМСГ (1945-1975 гг.)

(Bio)		Интегральная повторяемость, %								
Вид отложения	Среднее за год	5	10	25	50	75	90	93		
Гололед Изморозь	15 14	25 30	23 25	19 19	15 14	12 9	9 7	6 4		

У каждого вида гололедно-изморозевых явлений существует две фазы: нарастание отложений и их постепенное разрушение. Нарастание отложений на проводах редко продолжается более суток. В 70% случаев оно продолжается менее 6 ч. Продолжительность явления, включая и период разрушения, в среднем в два раза больше и в отдельных случаях достигает двух

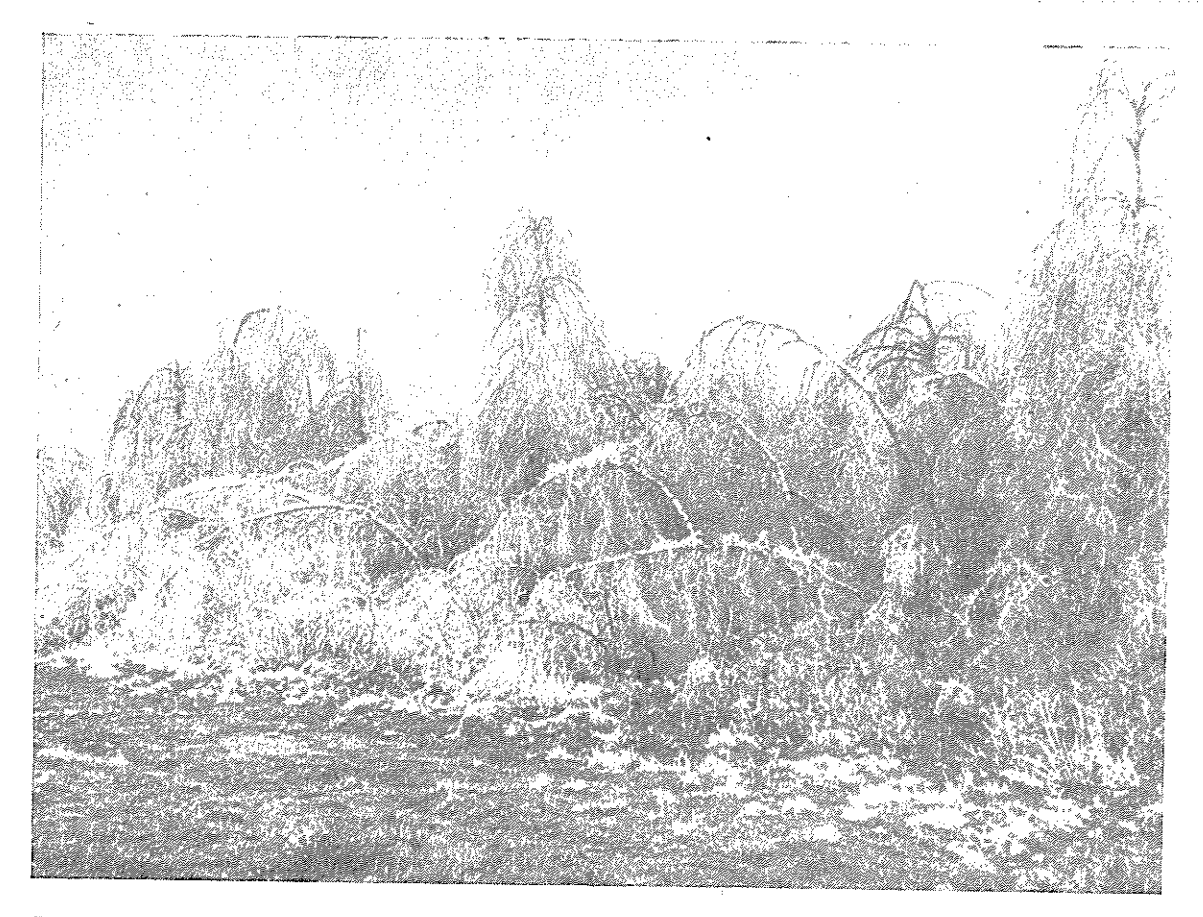


Рис. 33. Березы под тяжестью гололедных отложений в Вильнюсском лесопарке Бельмонтас 13 апреля 1977 г.

и более суток, продолжительность менее 6 ч отмечается при-

мерно в 40% случаев.

Средняя суммарная продолжительность гололедно-изморозевых явлений за год в окрестностях Вильнюса и Каунаса составляет около 200 ч и заметно меняется в зависимости от местных условий. В отдельные наиболее неблагоприятные годы суммарная продолжительность обледенения может оказаться в 2—2,5

раза больше (табл. 47 приложения).

От продолжительности и интенсивности явления зависит масса накопившихся отложений, которая в отдельных случаях может оказаться весьма значительной. Ориентировочное представление о возможных нагрузках при различного вида отложениях можно получить из табл. 48 приложения. В окрестностях Вильнюса и Каунаса наибольший диаметр отложения гололеда на проводах гололедного станка достигал 15 мм, а масса не превышала 50—75 г/м. В Вильнюсе известен случай налипания мокрого снега диаметром до 60 мм и массой до 128 г/м. Диаметры изморозевых отложений на проводах часто превышают диаметры гололеда, но их масса, благодаря малой плотности отложений, как правило, меньше. Масса отложений может быть рассчитана с помощью уравнения

$$P=0.78\,(ac-d^2)\gamma,$$

где a — большой, c — малый диаметр отложения, d — диаметр провода,  $\gamma$  — средняя плотность отложений, которая для гололеда принята равной 0,57 г/см³, для зернистой изморози 0,17 г/см³, для кристаллической 0,04 г/см³, для мокрого снега и смешанных отложений 0,3 г/см³.

Случаи, представленные в табл. 50 приложения, из-за сравнительно короткого периода наблюдений не являются предельными. В Вильнюсе известен случай (12—13 апреля 1977 г.), когда при диаметре отложений 27—32 мм масса гололеда на проводе станка достигла 512 г/м, а на уровне проводов линий электропередачи превысила 1500 г/м. Как видно из табл. 45,

Таблица 45 Масса гололеда (г/м) различной интегральной повторяемости в районе Вильнюса и Каунаса

	Интегральная повторяемость, %									
Место отложений	1	5	10	25	50	75	90			
На гололедном станке На проводах линий электро- передачи	300 900	125 <b>3</b> 75	80 240	42 130	20 60	10 30	5 15			

повторяемость такого сильного гололеда реже одного раза в сто лет.

Гололедные нагрузки увеличиваются, если гололед образуется при ветре. Во-первых, небольшие и умеренные ветры (до 15 м/с) увеличивают интенсивность гололедообразования. Вовторых, обледеневшие предметы при ветре испытывают дополнительную нагрузку. В окрестностях исследуемых городов в большинстве случаев сильный гололед образуется при ветрах, не превышающих 5 м/с (табл. 49 приложения), но в отдельных случаях скорость ветра при гололеде может увеличиться до 10—15 м/с и более. При таких ветрах и значительных диаметрах обледеневшего провода максимальная результирующая нагрузка может увеличиться в два раза.

Гололедные нагрузки увеличиваются с удалением от земной поверхности. Рост нагрузок с высотой происходит как благодаря усилению ветра, так и за счет увеличения водности воздушного потока. Согласно расчетам с использованием данных радиозондирования, гололедные нагрузки, возможные раз в 10 лет, на высоте 300 м над земной поверхностью составляют 1,5 кг/м (табл. 50 приложения). Раз в 20 лет они могут достичь 2,5 кг/м. Такие нагрузки необходимо учитывать при строительстве различных высотных мачт, заводских труб и других подобных сооружений.

## 6.5. Метели

В холодное время года при отрицательных температурах, когда снег падает при ветре, вблизи земной поверхности начинается его перенос в горизонтальном направлении. В таких условнях образуется общая метель. Если верхние слои снежного покрова находятся в рыхлом состоянии, то при усилении ветра и без выпадения снега может возникнуть низовая метель. Если сила ветра недостаточна для подъема снега на значительную высоту, он скользит струйками по поверхности снежной корки, образуя поземок.

Плотность метелевого потока больше плотности обычного снегопада. В связи с этим при метелях резко ухудшается видимость. В местах усиления ветрового потока снег выдувается, а у разных препятствий, где ветер ослабевает, снег оседает, образуя сугробы.

Возникновение метелей связано с увеличением барических граднентов при прохождении фронтальных разделов в тылу атлантических циклонов или их ложбин, движущихся с западной или с южной четверти горизонта. Когда прохождение циклонов на восток задерживается неподвижными антициклонами, метелевая ситуация может возникнуть и в передней части циклона, перед теплым фронтом. Такие метели продолжительнее обычных, но наблюдаются редко.

Подавляющее большинство метелей в Вильнюсе и Каунасе наблюдается при температуре от 0 до —10° С и скоростях ветра от 6 до 10 м/с. При более сильных ветрах обычно наступает оттепель и снег становится мокрым, а при более сильных морозах сила ветра обычно недостаточна для подъема и переноса снега. Направление ветра при метелях чаще всего юго-западное и южное, т. е. совпадает с преобладающим зимой направлением ветра.

Метели в районе Вильнюса и Каунаса возможны в течение всего холодного времени года. В течение метелевого сезона здесь отмечается в среднем 18 дней с метелью, из которых по 5 дней

приходится на январь и февраль (табл. 46).

Таблица 46 Число дней с метелью

	-										
Число дней	Х	ΧI	XII	I	II	Ш	1V	Год			
Вильнюс											
Среднее σ Наибольшее Год	$\begin{array}{ c c }\hline 0,1 \\ \hline 2 \\ 1956 \\ \end{array}$	1 1,9 9 1965	3,8 16 1966	5 3.4 13 1970	5 3,6 14 1962	3 2,3 9 1958	$0,3$ $\frac{-}{3}$ 1956	18 9,5 43 1965-66			
Каунас											
Среднее σ Нанбольшее Год	$\begin{array}{ c c c c c c c c c c c c c c c c c c c$	1 1,6 5 1973	3 3,4 12 1966	5 3,7 12 1955	5 3,7 14 1952	$\begin{bmatrix} 3 \\ 2,5 \\ 9 \\ 1958 \end{bmatrix}$	$\frac{0,4}{3}$ 1955	18 8,7 36 195 <b>7</b> -58			

В отдельные годы количество метелей весьма зависит от конкретной синоптической ситуации. В наименее благоприятные в этом отношении годы число дней с метелью за сезон может увеличиться в два раза, а в холодные и ветреные январи—в три раза по отношению к соответствующему среднему многолетнему значению. В середине зимы метели наблюдаются почти ежегодно (табл. 51 приложения). В октябре и апреле метелей почти не бывает, а в ноябре они повторяются один раз в два года.

Средняя продолжительность одной метели в районе Вильноса и Каунаса составляет 5,5—6 ч, однако этот показатель малоинформативен. Действительная продолжительность метелей колеблется в весьма широком диапазоне — от 1 до 40 ч и более (табл. 52 приложения), 40—45% метелей продолжаются менее 3 ч и около 15% метелей продолжаются менее часа. За рассмотренный период более 12 ч продолжались только 7% метелей. Наиболее продолжительная метель в Вильнюсе была отмечена в январе 1972 г. — она продолжалась 42 ч. Суммар-

ная продолжительность метелей в окрестностях Вильнюса и Каунаса в среднем достигает 110—130 ч. В центральных частях этих городов из-за уменьшения продолжительности сильных ветров суммарная продолжительность метелей примерно на 25% меньше (табл. 43 приложения).

Объем снега, переносимого во время метелей, пропорционален объему снега, переносимого через вертикальную поверхность высотой 2 м и шириной 1 м, ориентированную перпендикулярно ветровому потоку. Общее количество переносимого снега зависит от количества осадков, скорости ветра и продолжительности явления. В Вильнюсе и Каунасе нет прямых измерений количества снега, переносимого во время метелей. Согласно ориентировочным подсчетам по методике, опубликованной в [37], за зиму 1968-69 г. во время метелей в Каунасе перенесено около 125 м³ снега на 1 м погонной длины. Суммарные переносы снега более 50 м³ на 1 м погонной длины за сезон в районе Вильнюса и Каунаса возможны примерно один раз в 15 лет.

## 7. КЛИМАТИЧЕСКАЯ ХАРАКТЕРИСТИКА СЕЗОНОВ

### 7.1. Общая характеристика сезонов

Климатические времена года — это естественные сезоны и их самостоятельные фазы, отличающиеся друг от друга особенностями режима погоды. Первопричины времен года (форма Земли и ее вращение) являются общими для всей планеты, но в разных местах земного шара они приводят к возникновению весьма различных сезонов.

Деление года на климатические сезоны в зависимости от поставленной цели и требуемой детализации исследований может быть произведено по-разному. Известно деление года на вегетационный период и период покоя растений. Выделяются сезоны и по техническим показателям (отопительный сезон).

Естественные границы климатических сезонов можно определить по резким изменениям в годовом ходе климатообразующих процессов. Такие изменения наиболее отчетливо видны в режиме атмосферной циркуляции, создавая характерные особенности температурного и влажностного режима, по которым в основном и осуществляется определение границ климатических сезонов.

Год естественно делится на два полугодия, их астрономическими границами являются даты равноденствия (21 марта и 22 сентября). По радиационным признакам выделяются периоды с положительным и отрицательным радиационным балансом. Смена знака радиационного баланса в Каунасе происходит в конце февраля и в последних числах октября. По циркуляционным признакам момент разделения полугодий совпадает со временем выравнивания различий между морскими и континентальными массами воздуха умеренных широт. Приходящий в Вильнюс и Каунас морской воздух становится холоднее местного воздуха в апреле, обратная смена знака отмечается в октябре. По температурным признакам выделяется теплое и холодное время года, границей которых служит устойчивый переход от положительных температур к отрицательным.

Средняя дата наступления средних суточных температур воздуха выше 0°С в Вильнюсе приходится на 21 марта, т. е. практически совпадает с весенним равноденствием (табл. 53 приложения). Средняя дата наступления отрицательных сред-

них суточных температур приходится на 1 декабря, т. е. более чем на 2 месяца позже даты осеннего равноденствия и на месяц позже даты наступления отрицательного радиационного баланса.

Холодное полугодие в Вильнюсе и Каунасе более чем в два раза короче теплого. В отдельные годы даты начала теплого и холодного полугодий колеблются в пределах почти двух месяцев. Примерно раз в 20 лет положительные температуры устанавливаются в последних числах февраля, т. е. вместе с наступлением положительного радиационного баланса. В некоторые годы приток холодного воздуха может задержать устойчивое наступление положительных температур до середины апреля. Также и осенью время устойчивого наступления отрицательных температур в отдельные годы начинается вместе с наступлением отрицательного радиационного баланса, а раз в 20 лет оно начинается 1 января (табл. 54 приложения).

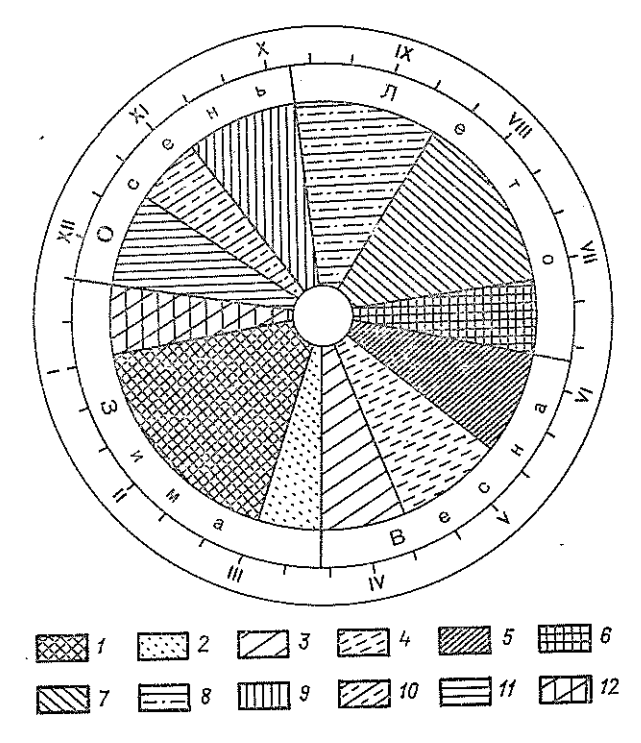
Активная вегетация большинства травянистых растений происходит при средней температуре воздуха выше 5° С. Вегетационный период в Вильнюсе и Каунасе начинается в середине апреля и продолжается почти 200 дней. Активная вегетация лиственных пород деревьев наблюдается при средних суточных температурах выше 10° С. В Вильнюсе и Каунасе она чаще всего начинается в начале мая и продолжается до конца сентября, т. е. на протяжении пяти месяцев. Диапазон колебаний этих дат в отдельные годы почти не уступает диапазону колебаний дат нулевой температуры и составляет 6 недель и более (табл. 56 приложения).

Смена зимних атмосферных процессов летними, как правило, происходит не сразу. После появления первых признаков лета бывают временные возвраты зимы, и наоборот. В итоге для перехода от зимнего режима погоды к летнему и от летнего к зимнему требуется более или менее продолжительное время. Поэтому, наряду с основными сезонами — зимой и летом, существуют и переходные климатические сезоны — весна и осень.

Отсчет климатических времен года целесообразно начинать от зимнего сезона. В это время года многие показатели климата достигают своих минимальных значений. Начало зимы обычно связывается с наступлением отрицательных значений радиационного баланса, переходом температуры через 0°С и появлением снежного покрова. Однако в Вильнюсе и Каунасе эти критерии значительно расходятся во времени. Радиационный баланс становится отрицательным при сравнительно высоких значениях температуры, так как в это время наблюдается приток теплых морских воздушных масс. Устойчивый снежный покров по той же причине устанавливается поздно и даже не ежегодно. Поэтому наиболее подходящим признаком начала

зимы следует считать переход дневной температуры через 0°С, как правило, это происходит в начале декабря (7 декабря).

Начало весны наиболее близко к ее астрономической дате — дню весеннего равноденствия. Переход средних суточных температур от отрицательных к положительным, с которым связано начало интенсивного снеготаяния, в среднем происходит 23 марта. Переход ночных температур через 0°С, совпа-



Рнс. 34. Времена года в г. Вильнюсе. 1— средизимье, 2— предвесенье, 3— ранняя весна, 4— разгар весны, 5— поздняя весна, 6— раннее лето, 7— середина лета, 8— позднее лето, 9— золотая осень, 10— листопад, 11— предзимье, 12— начало зимы.

дающий с окончанием процесса снеготаяния, в среднем наступает 5 апреля. Таким образом, март считается еще зимним месяцем, а апрель — уже весенним.

Начало лета наиболее удобно определять по дате установления дневных температур выше 20° С. В среднем это происходит 6 июня и почти совпадает по времени с переходом средних суточных температур через 15° С (5 июня) и ночных температур через 10° С (8 июня). Из этого следует, что в Вильнюсе и Каунасе первым летним месяцем является июнь.

Те же самые критерии в основном подходят и для определе-

ния начала осени. Поскольку в Вильнюсе переход средней суточной температуры через 15°С в среднем происходит 31 августа, а соответствующий переход дневных температур через 20°С и ночных температур через 10°С—только на пять дней поэже (5 сентября), то сентябрь следует отнести к осени.

Внутри каждого времени года можно выделить фазы, совпадающие с определенными фазами годового цикла изменений других компонентов географической среды (рис. 34). Так, средизимье отделяется от начала зимы датой образования устойчивого снежного покрова (27 декабря), а от предвесенья — датой начала разрушения снежного покрова, совпадающей по времени с устойчивым наступлением положительных дневных температур (4 марта). Разгар весны отделяется от ранней весны устойчивым переходом средней суточной температуры через 5° C, совпадающим с началом вегетации трав (12 апреля). Поздняя весна начинается с переходом средних суточных температур через 10°С, дата которого (2 мая) близка к средней дате прекращения заморозков. В середине лета выделяется фаза разгара лета (с 25 июня по 10 августа) с наиболее жаркой погодой, когда температура отдельных дней достигает 30° С, а ночные температуры не опускаются ниже 10° С. Ранняя осень начинается с переходом средней суточной температуры через 10° С, дата которого (28 сентября) близка к средней дате появления первых осенних заморозков. Предзимье начинается с переходом средних суточных температур через 5°C (25 октября), т. е. с прекращением вегетации трав.

Внутри указанных климатических сезонов и их фаз существуют еще более короткие естественные климатические периоды [18]: зимой — периоды устойчивых морозов и оттепелей, летом — периоды прохладной дождливой и сухой жаркой погоды, в переходные времена года — периоды кратковременного возврата зимней или летней погоды. Их причина — кратковременные отклонения атмосферной циркуляции от ее характерного для данного времени года режима, приводящие к положительным или отрицательным аномалиям погоды. Число таких периодов и их продолжительность могут быть различными.

### 7.2. Зима

Для Вильнюса и Каунаса в зимнее время характерно чередование вторжений морского и континентального воздуха, поэтому погода зимой весьма изменчива. Неустойчивый характер погоды особенно ощутим в начале зимы, когда наблюдается не только чередование периодов с положительной и отрицательной температурой, но и неустойчивость снежного покрова.

Начало зимы — самое пасмурное и сырое время года. При прохождении теплых фронтов облачность опускается до зем-

ной поверхности, образуя адвективные туманы. Первая фаза зимы заканчивается образованием снежного покрова и наступлением устойчивых морозов, средняя дата которых отмечается 28 декабря (табл. 47). Наступление таких морозов связано

Таблица 47 Даты наступления, прекращения и продолжительность устойчивых морозов в Вильнюсе (1918—1975 гг.)

Дата п	аступления	Дата п	рекращения	Продолжи	тельность, дин	
средняя (для зим с устойчи- выми морозами)	я зим с гойчи- самая ранняя выми		самая поздияя	средняя (для зим с устойчи- выми морозами)	нанбольшая	5% зим без устойчи- вых моро- зов
28 XII	6 XII 1966	19 II	22 III 1942	54	93 (1946-47)	54

с частичной перестройкой полей давления: появлением на Восточно-Европейской равнине малоподвижных антициклонов и установлением траекторий атлантических циклонов вдоль побережья Скандинавского полуострова в направлении Северного Ледовитого океана. Обычно такая синоптическая ситуация наблюдается в конце декабря.

В некоторые годы устойчивые морозы устанавливаются уже в первой декаде декабря. В этих случаях температура воздуха в конце декабря может понизиться до —30° С. Такие морозы при небольшом в начале зимы снежном покрове способствуют глубокому промерзанию почвы и могут стать причиной различных аварий в подземных коммуникациях и вымерзания теплолюбивых насаждений. В некоторые годы наступление устойчивых морозов отодвигается на январь.

Чередование потеплений и похолоданий характерно и для средизимья, только в этой фазе они проходят при более низких температурах и, как правило, уже не разрушают снежный покров. Настоящие зимние морозы возникают при вторжении холодных масс из Арктического бассейна и Сибири. Их продолжительность и сила зависит от характера и интенсивности синоптического процесса. Наиболее часто встречающиеся вторжения арктического воздуха через Северную Атлантику не приносят очень сильных морозов. Средняя температура такого воздуха в Вильнюсе составляет около —12°С [51]. Однако связанные с ним фронты способствуют возникновению обильных снегопадов.

Реже наблюдаются вторжения континентального арктического воздуха с севера или северо-востока, во время которых заметно поднимается давление воздуха, частично проясняется небо, утихает ветер и температура воздуха падает ниже —20° С. Очень сильные морозы, во время которых минимальная темпе-

ратура опускается ниже —30° С, наблюдаются не ежегодно: повторяемость зим с такими морозами в Вильнюсе и Каунасе не превышает 10—15%. Характерным примером таких холодов может служить зима 1941-42 г., продолжавшаяся более 5 мес. Средняя температура января в эти зиму была на 9° С ниже многолетней нормы, абсолютный минимум температуры упал ниже —32° С и сумма отрицательных температур за зиму превысила 1250° С (табл. 55 приложения).

Более слабые морозы арктического происхождения бывают почти каждый год, но их продолжительность мала. Средняя продолжительность периода непрерывного существования температуры ниже —10°С составляет одии сутки, а температуры ниже —20°С только 7 ч (табл. 48). При наличии континен-

Таблица 48

Средняя продолжительность (ч) непрерывного периода с температурой ниже указанных значений в Каунасе (1965—1975 гг.)

Maggy					Темпера	тура, ^с (	:			
Месяц	-10	-12	-14	-16	-18	-20	-22	24	-26	-28
IX II II III	8 21 27 13 13	5 17 23 12 10	2 18 19 10 9	15 18 9 8	14 11 8 5	7 7 6 3	6 8 3 1	9 10	2 6	4

тальных антициклонов средняя продолжительность морозной погоды увеличивается до 4—5 дней. Вероятность похолоданий увеличивается в конце первой и начале третьей декады января и февраля. В 50% зим они не образуют единый период устойчивых морозов.

В 35—40% дней средизимья наблюдаются оттепели. Каждый четвертый из этих дней имеет положительную среднюю температуру (табл. 56 и 57 приложения). Особенно сильные оттепели приносятся южными субтропическими циклонами, но и во время таких оттепелей максимальная температура воздуха обычно не поднимается выше 5°С. Примером исключительно мягкой зимы может служить зима 1960-61 г., когда отрицательная средняя месячная температура отмечена только в январе. Абсолютный минимум температуры в эту зиму не достиг—20°С. Средняя температура января и февраля была на 2,5—5°С выше многолетней нормы, а сумма отрицательных температур за зиму достигла только—150°С (табл. 55 приложения).

Ć циклонической деятельностью связаны и такие зимние атмосферные явления, как гололед, изморозь, метели. Они

в одинаковой мере характерны как для холодных, так и для

Во второй половине зимы заметно увеличивается продолжительность светлого времени суток. Ослабевают циркуляционные процессы, увеличивается вероятность ясной погоды. В начале марта начинается таяние снега под влиянием солнечной

радиации.

Вместе с появлением радиационных оттепелей начинается последняя фаза зимы - предвесенье. Вероятность тихой и ясной погоды в марте днем повышается до 20-25%. Несмотря на улучшение инсоляции, рост температуры в предвесенье происходит медленно, а снеготаяние — с перерывами. Возможны в это время года и вторжения арктического воздуха, вероятность которых увеличивается в годы с мягким циклоническим

средизимьем.

При налични такого режима циркуляции март может стать наиболее холодным месяцем года. Таким, например, был март 1952 г., когда самый морозный день зимы совпал с днем весеннего солнцестояния. Случаются и очень ранние предвесенья, когда снег исчезает уже в феврале. Мартовская погода в такие годы обусловлена интенсивной адвекцией тепла с Западной Европы и бывает истинно весенней. В 1921 г. в это время в окрестностях Каунаса проводились полевые работы, 17 марта начался вегетационный период.

Такне аномально ранние предвесенья, как и аномально поздние, в Вильнюсе и Каунасе повторяются раз в несколько десятилетий. В нормальные годы интенсивное разрушение снежного покрова происходит во второй половине марта, а к концу этого месяца создаются условия для более резкого подъема средних суточных температур, что и означает переход

к следующему времени года — весне.

#### 7.3. Весна

Переход к весне в окрестностях Вильнюса и Каунаса может произойти различными путями. В некоторые годы; особенно после мягких зим, для разрушения снежного покрова достаточно тепла радиационных оттепелей. После зим с высоким снежным покровом его окончательное исчезновение происходит уже после перехода средних суточных температур через 0°С. Около 50% весен начинаются с момента вторжения теплых воздушных масс из Западной или Южной Европы вместе с сериями подвижных циклонов с хорошо развитыми теплыми секторами, как это показано на рис. 35.

Несмотря на пасмурную погоду, потепление в таких случаях бывает значительным, снег сходит быстро, чему способствуют и теплые фронтальные дожди. Один раз в 10-15 лет

такое дружное начало весны приходит после многоснежной зимы и сопровождается большим половодьем; 30% весен начинается под влиянием циклонов, медленно движущихся вдоль берегов Скандинавского полуострова. В тылу таких циклонов может произойти повторное вторжение более прохладных масс воздуха, вызывающих одно или несколько кратковременных похолоданий, что приводит к некоторому запаздыванию наступления весенней погоды. Осадки холодных фронтов могут временно образовать снежный покров даже после устойчивого наступления положительной температуры.

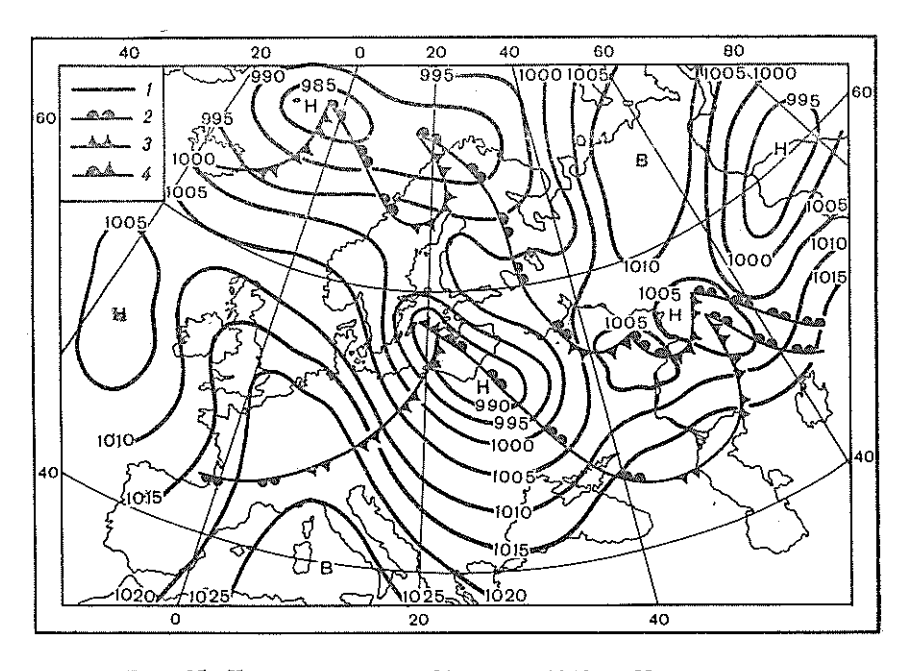


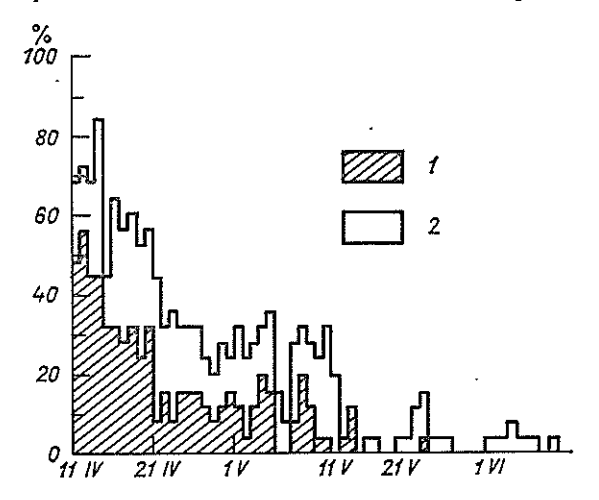
Рис. 35. Қарта погоды за 21 марта 1946 г. Начало весны. I — изобары, 2 — теплый фронт, 3 — холодный фронт, 4 — фронт окклюзин.

Примерно 20% весен приносит антициклоническая погода, во время которой потепление приходит постепенно. Такие весны бывают затяжными. Ранней весной ускоряются только темпы роста температуры воздуха. Рост температуры почвы еще задерживается до ее полного оттаивания (в среднем до 10 апреля). К этому времени температура воздуха поднимается до 5°С и начинается вегетация трав.

В середине апреля, по мере исчезновения температурных различий между континентальными и морскими воздушными массами, наблюдается некоторое ослабление циклонической деятельности. В это же время наблюдается смена зимних форм

облаков летними и перемещение суточного максимума облачности на дневное время. В разгар весны существенно увеличивается высота Солнца и продолжительность дня, что приводит к существенному ускорению подъема общего уровня температуры. От устойчивого перехода температуры воздуха через 5° С до ее перехода через 10° С в среднем проходит менее 20 дней.

Для этого времени года весьма характерны и заморозки. В начале апреля интенсивность заморозков может быть равной —5° С. Со временем их интенсивность, как и вероятность появ-



36. Изменение вероятностей появления весенних заморозков в г. Каунасе (1925—1949 гг.). 1— на уровне 2 м, 2— на поверхиости земли.

ления, уменьшается (рис. 36). Прекращаются весенние замо-

розки в среднем в последних числах апреля.

Хорошо отражает изменчивость весенней погоды соотношение дат полного оттаивания почвы и начала вегетации трав. Более чем в 50% весен вегетация начинается вместе с полным оттаиванием почвы или спустя несколько дней (5-15). Наступление вегетации до полного оттаивания почвы означает бурное развитие весенних процессов. Такими бывают около 30% вильнюсских весен. В 10% случаев вегетация наступает спустя более чем 15 дней после полного оттаивания почвы. Такие весны бывают затяжными.

С особенностями температурного режима весен связан и режим увлажнения [22]. Около 90% ранних весен одновременно бывает сухими, а 10% нормальными. Из всех поздних весен около 60% оказались влажными, 40% — нормальными, а сухие отсутствовали. В случае аномально ранней весны устойчивый

подъем температуры выше  $10^{\circ}$  С может произойти уже в первой декаде апреля, а в случае поздней весны—в конце мая, тогда как обыкновенно это случается в первой декаде мая.

После перехода средней суточной температуры через 10°С, когда деревья уже покрываются листьями, наступает последняя фаза весны. Май в Вильнюсе обычно на 10—13°С теплее марта. Дневная температура во время адвекции теплого воздуха из Южной Европы поздней весной уже может подняться до 25°С и более. 27—29 мая 1958 г. средняя суточная температура воздуха поднялась выше 20°С. Эти дни оказались самыми жаркими днями данного года.

На фоне теплой погоды весьма ощутимы относительные похолодания, вызываемые вторжениями арктического воздуха из области Гренландии. Дополнительное радиационное выхолаживание морского арктического воздуха, которое бывает достаточно интенсивным, если продолжается в течение 2—3 ночей подряд, является причиной возникновения поздневесенних заморозков. Это возможно только при установлении более продолжительной антициклонической погоды.

Поздневесенние заморозки слабы и непродолжительны. Они наблюдаются, как правило, только на поверхности почвыв наиболее низменных местах. В отдельные годы они наблюдаются в последней декаде мая и в первой декаде июня, принося большой ущерб теплолюбивым растениям, уже высаженным в открытый грунт. Вторжение прохладного морского воздуха поздней весной сказывается и на темпах роста средней суточной температуры. Период ее подъема от 10° С до 15° С, несмотря на дальнейший рост интенсивности солнечной радиации, в среднем составляет около месяца.

Устойчивый переход средней суточной температуры через 15° С, вместе с окончательным исчезновением вероятности заморозков, обычно наступает в первой декаде июня.

#### 7.4. Лето

Начало летнего сезона в Вильнюсе и Каунасе лишь ненамного опережает время летнего солнцестояния, когда поверхность земли, а от нее и воздух получают самые большие суточные количества солнечного тепла. В условиях положительного радиационного баланса усиливаются процессы термической конвекции, приводящие к прогреву не только приземного, но и выше лежащих слоев континентального воздуха. Однако продолжающийся приток более прохладного и влажного морского воздуха с атлантическими циклонами задерживает рост общего уровня температуры. Средние суточные температуры во время облачной циклонической погоды в начале лета близки к 15° С.

По сравнению с весной заметно увеличивается количество осадков, значительная часть которых уже носит ливневой характер, сопровождается шквалами, грозами, а иногда и градом. Вероятность выпадения осадков относительно больше во второй половине раннего лета из-за так называемых дождей сенокоса.

Хорошая теплая погода приходит вместе с полями повышенного давления, связанными с азорским антициклоном. При

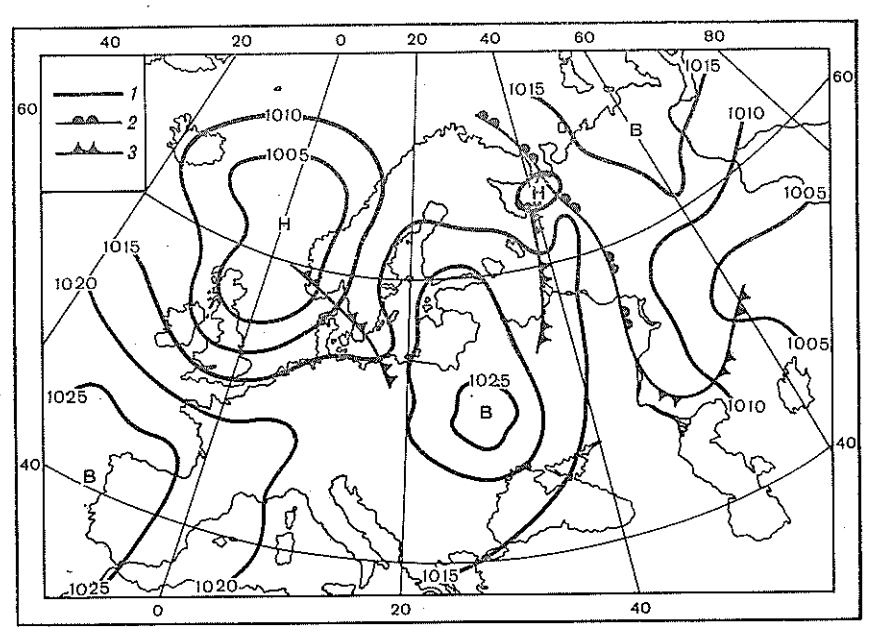


Рис. 37. Карта погоды за 27 июля 1946 г. Жаркая погода в Прибалтике.

ясном небе, на котором только около полудня появляется небольшое количество кучевых облаков, воздух нагревается до  $20^{\circ}$  С и выше. Антициклонической циркуляцией определяется погода около 40% летних дней, однако в июне такая погода, как правило, непродолжительна.

Истинно летняя погода в окрестностях Вильнюса и Каунаса устанавливается только в середине летнего сезона, когда появляется дополнительный приток теплого воздуха из более южных стран. Иногда это связано с северо-западной периферией малоподвижных антициклонов, но чаще жаркую погоду приносят подвижные центры высокого давления (рис. 37), отделяющиеся от азорского антициклона и следующие через Южную Европу. Самые высокие средние суточные температуры (выше 25° С) наблюдаются при переносе по западной периферии та-

ких антициклонов жаркого и сухого воздуха из степей Южной Украины, иногда приходящего туда со среднеазиатских полупустынь. Дневные температуры в таких случаях поднимаются выше 30° С.

Более половины летних дней связаны с циклонической деятельностью. Постоянная смена континентальных и морских вторжений в середине лета происходит так же интенсивно, как и зимой, но такой большой изменчивости температуры, как зимняя, в это время года не создается. Средняя температура воздуха морских воздушных масс, частично уже нагретых над Западной Европой, в середине лета колеблется в пределах 15—18° С.

Различия значений средней температуры сезона для отдельных лет невелики. Средняя температура наиболее теплого лета 1963 г. в Вильнюсе была только на 3°С выше температуры наиболее прохладного лета 1965 г. (табл. 58 приложения.). Зато по количеству осадков сезоны могут сильно отличаться. Количество осадков, выпавших летом при повышенной активности циклонов, может быть в 2 и более раз больше количества осадков, выпавших летом при преобладании антициклонической поголы.

В среднем в течение трех летних месяцев Вильнос и Каунас получают около 40% годового количества осадков, но внутри сезона они распределяются неравномерно. Более дождливы вторая половина июля и первые дни августа. В начале июля и в середине августа увеличивается вероятность установления антициклонической погоды, а следовательно, и вероятность образования более продолжительных бездождных периодов. В большинстве случаев продолжительность таких периодов не превышает 15 сут (табл. 49).

Таблица 49
Повторяемость (%) бездождных периодов различной продолжительности в Вильнюсе (1918—1975 гг.)

0		Продол	кительно	ость, дин	I	Макенмаль-	_	
Средняя	10-15	16-20	21-25	26-30	31 – 35	ная, дин	Дата	
14	75	16	7	1	1	31	25 IV—25 V 1938 г.	

Бездождные периоды продолжительностью до месяца в Вильнюсе и Каунасе очень редки и более характерны для весны.

Во второй половине лета начинается спад температуры: сначала ночной, а потом и средней суточной. При достаточно тихой и ясной погоде, когда ночная облачность не превышает 4 баллов, дует западный или северный ветер менее 3 м/с, а относительная влажность вечером приближается к 100%, по но-

чам выпадает обильная роса — характерный признак позднего лета. В исключительно тихие и ясные ночи процесс радиационного выхолаживания влажного приземного слоя воздуха приводит к образованию радиационных туманов в низинных местах и вблизи водных источников. Поздним летом уменьшаются контрасты между морскими и континентальными воздушными массами, а затем и активность осадкообразующих фронтальных процессов. Заметно уменьшается количество и интенсивность осадков, хотя несколько увеличивается их продолжительность. Средняя суточная температура в последних числах августа составляет около 15° С, а дневная опускается ниже 20° С.

#### 7.5. Осень

Подобно весне, осень также является переходным временем года, только последовательность процессов осенью обратная.

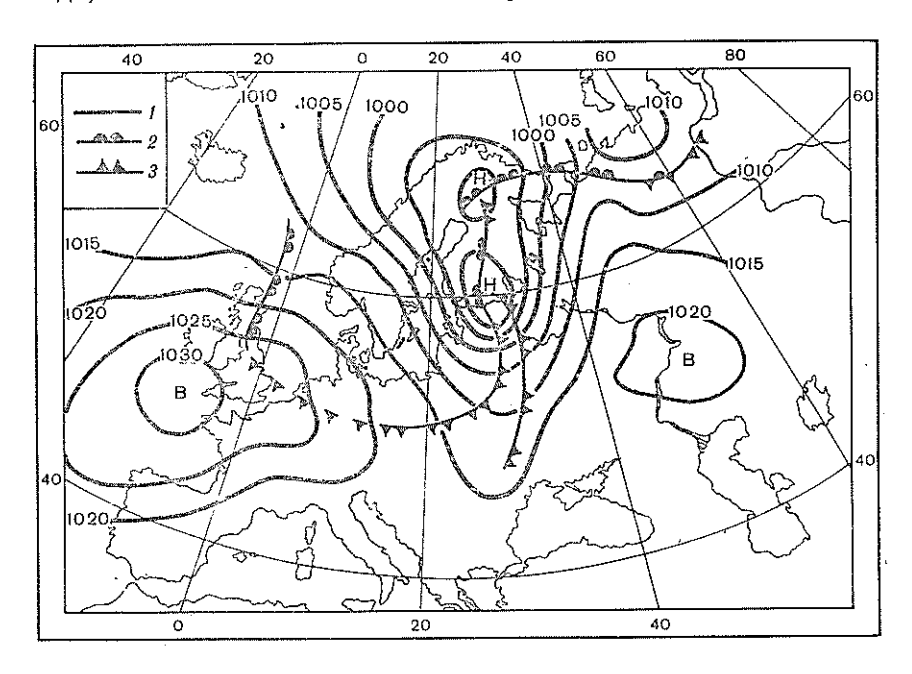


Рис. 38. Қарта погоды за 4 октября 1957 г. Дождливая осенняя погода. Усл. обозначения см. рис. 35.

Смена летних синоптических процессов зимними осенью происходит медленно. Понижение дневной температуры от 20 до 0° С в Вильнюсе и Каунасе продолжается более трех месяцев, а понижение ночной температуры от 10 до 0° С — почти два с половиной месяца. По мере выравнивания температурных различий

между континентальным и морским воздухом умеренных широт, чередование этих масс уже не приносит ощутимых изменений температуры. Поэтому общее похолодание происходит постепенно, без проявления особых аномалий.

В середине сентября при ночных прояснениях погоды у поверхности почвы возможны первые радиационные заморозки. Ночные температуры становятся ниже 5°С чаще всего в первых числах октября. Монотонная осенняя погода иногда оживляется появлением меридиональных форм циркуляции. Типичный осенний процесс, временно приостанавливающий падение температуры и на определенное время возвращающий летнюю погоду, это приток воздуха нз Южной Европы по западной периферии антициклонов.

Раннеосенняя антициклоннческая погода отличается безветрием и ясностью неба. Временное потепление в основном относится к дневным часам суток. Теплые антициклоны характерны только для первой фазы осеннего сезона. В середине осени при подобной ситуации уже формируются сильные радиационные заморозки.

С регулярным появлением заморозков наступает основная фаза осени — листопад. Вскоре окончательно устанавливается пасмурная и дождливая погода, поддерживаемая следующими один за другим фронтальными разделами (рис. 38). Дожди приобретают особо затяжной характер, если путь массам морского воздуха на восток преграждается восточно-европейским антициклоном.

С окончанием вегетационного периода начинается последняя фаза осени — предзимье. Типичным месяцем предзимья является ноябрь, средняя температура которого в Вильносе и Каунасе близка к 0° С. В 10—20% дней этого периода уже наблюдаются круглосуточные морозы. В это время обычно появляется и первый снег, выпадающий при прохождении фронтов, которые следуют по восточной периферии гренландского антициклона. Погода предзимья не отличается постоянством в многолетнем разрезе. В отдельные годы средняя температура ноября под влиянием интенсивной океанической циркуляции поднимается на 4—5° С выше нормы, и предзимье перемещается на декабрь. В годы, когда зимний сибирский антициклон образуется ранее обычных сроков, ноябрьская погода мало чем отличается от зимней.

## 8. ОСОБЕННОСТИ ГОРОДСКОГО КЛИМАТА

# 8.1. Условия образования городских микроклиматических различий

Города, взаимодействуя с окружающим их ландшафтом, сами оказывают влияние на климат. Это влияние отражается на метеорологическом режиме и города, и его окрестностей. Основным фактором, создающим климатические различия в Каунасе и Вильнюсе, является компактная застройка городских кварталов, которые изменяют радиационный баланс, затрудняют воздухообмен в приземном слое и выделяют в атмосферу дополнительное количество промышленного и бытового тепла. Кроме того, здесь ощущается влияние расчлененности рельефа и крупных массивов зеленых насаждений. Все это вместе взятое и создает различия климата между указанными

городами и их окрестностями.

Для оценки местных климатических различий и их повторяемости требуются продолжительные метеорологические наблюдения в городе и за его пределами. Ряды таких параллельных наблюдений за пять — шесть лет, полученные по стандартной программе метеорологических станций, не являются вполне достаточными для выявления всех важных для народного хозяйства климатических различий, существование которых предполагается в Вильнюсе и Каунасе. Тем более недостаточно для подобных целей эпизодических наблюдений, проводимых согласно программе мониторинга загрязнения городского воздуха. Однако анализ собранных материалов вместе с опытом, накопленным в других городах с похожим климатом, дает возможность показать основные различия в метеорологическом режиме указанных городов и их пригородов и характер их распределения.

Анализ результатов исследований, полученных в двух городах примерно одинаковой величины и имеющих общий климатический фон, но стоящих в несколько различных ландшафтных условиях, также дает возможность сравнивать степень влияния естественного и культурного ландшафта на формиро-

вание мезоклиматических различий.

Как известно, различия в режиме метеорологических элементов между городом и его окрестностями наблюдаются не ежедневно [36]. Они зависят от условий погоды. При этом по-

года, благоприятная для возникновения радиационных и температурных различий, существенно отличается от погоды, при которой обостряются различия в ветровом режиме. Указанная погода в одних случаях может наблюдаться как в городе, так и в его окрестностях, а в других случаях — только в определенной части города. Повторяемость погоды, благоприятной для возникновения микроклиматических различий, также зависит от времени года и суток.

Данные о повторяемости различных типов погоды в утренние часы основных месяцев каждого сезона для Каунаса представлены в табл. 50. Из приведенных данных нетрудно устано-

Таблица 50 Повторяемость (%) различных типов погоды в отдельные месяцы в Каунасе за 07 ч (по данным Новосибирской МСС) (1936—1965 гг.)

Погода	I	ıv	VII	х
Тихо				
ясно полуясно	9	14	22 2 12	11 2 21
пасмурно Слабый ветер	17	9	$1\overline{2}$	21
ясно	11	28	30	19
полуясно пасмурно	11 3 37	28 5 27	$\begin{array}{c c} 7 \\ 22 \end{array}$	19 5 29
Умеренный ветер				
ясно полуясно	<u>1</u>   1	7	2	3
пасмурно	18	8	2	9
Bcero	100	100	100	100

Примечание. Здесь и в табл. 51 и 52 взедены градации для скорости ветра: 0-1 м/с — тихо, 2-5 м/с — слабый ветер, >5 м/с — умеренный ветер; для облачности: 0-2 балла — ясно, 3-7 баллов — полуяено 8-10 баллов — пасмурно.

вить, что на открытой местности погода, благоприятная для возникновения микроклиматических различий температуры (облачность 0—2 балла, ветер 0—1 м/с), летом составляет более чем 20%, а зимой — менее 10% от общего количества дней каждого месяца. Повторяемость условий, благоприятных для существования различий циркуляционного происхождения (ветер 2—5 м/с, при облачности 8—10 баллов, и все случаи с ветром более 5 м/с), зимой составляет 60%, летом уменьшается до 27%. Повторяемость погоды, во время которой могут наблюдаться и радиационные и циркуляционные различия (облачность 2—7 баллов, ветер 2—5 м/с), зимой составляет менее 15%, летом она превышает 35%. Повторяемость типов погоды, неблагоприятных для всех видов микроклиматических разли-

чий (облачность 8—10 баллов, ветер 0—1 м/с), весной составляет только 9%, а осенью увеличивается до 21% от числа дней

каждого месяца.

Данные табл. 50 следует принять в качестве ориентировочных, поскольку ряд наблюдений, использованный Новосибирской МСС для подсчета приведенных повторяемостей, не был вполне однородным. (Часть данных получена в застроенной части города, другая часть — в загородных условиях.)

В местах, хорошо защищенных от ветра, где тихая погода сохраняется и тогда, когда на открытой местности скорость ветра увеличивается до 5 м/с, повторяемость погоды, благоприятной для возникновения различий радиационного происхождения, в Каунасе зимой может повыситься до 20%, а летом — до 60% и более. Более подробные сведения о годовом и суточном ходе типов погоды, благоприятствующих температурным различиям, имеются для Вильнюса [21]. Они представлены в табл. 51. Повторяемость такой погоды весной и летом здесь

Таблица 51 Повторяемость (%) различных типов погоды, благоприятных для возникновения термических различий между городом и пригородом днем и ночью в Вильнюсе (1950—1969 гг.)

-							-						
Погода	ı	11	III	IV	v	IV	VII	viii	IX	х	XI	XII	Год
	' <u>.</u>			Но	чь (С	)1 ч)							
Тихо ясно полуясно	3 2	5 3	10 2	12 5	14 7	17 12	15 9	18 8	11 5	6	1 2	2 1	10 5
Слабый ветер ясно	8	9	18	24	25	25	29	27	29	16	8	8	19
				Де	нь (1	(р 8							
Тихо ясно полуясно	2 2	3 2	4 3	1 3	1 4	1 4	1 6	1 4	1 3	1 2	0 1	1 2	1 3
Слабый ветер ясно	7	8	14	7	4	5	3	2	6	5	3	4	7

больше, чем осенью и зимой. Днем она значительно меньше, чем ночью.

Представляют интерес данные о продолжительности периодов с погодой, благоприятной для существования микроклиматических различий. Как видно из табл. 52, продолжительность тихой и ясной погоды на открытой местности коротка. В 80% случаев погода, благоприятная для существования температурных различий, продолжается не более одной ночи. Почти в 15% случаев такая погода сохраняется в течение двух ночей подряд. Три ночи подряд она повторяется уже не в каждом году. Однако

Таблица 52 Количество периодов различной продолжительности с погодой, благоприятной для возникновения температурных различий микроклимата в Вильнюсе (1950—1969 гг.) за теплый период (IV—IX)

F7		Про	долж	итель	ность	, пер	нода,	сут			Bcero
Погода	1 2	3	4	5	6	7	8	9	10	11-15	перио-
_		I	Точь	(01	ч)	***					
Ясно тихо слабый ветер	317 60 380 171	16 81	7	$\begin{bmatrix} 2 \\ 19 \end{bmatrix}$	1	9	<u>-</u>	$\frac{-}{2}$	<u>-</u>	<u></u>	403 716
		. 1	<b>День</b>	(13	ч)						
Ясно тихо слабый ветер	$\begin{bmatrix} 37 & 3 \\ 133 & 24 \end{bmatrix}$	$-\frac{1}{5}$	1 3	_   I	<u>-</u>	_			_		41 167

известны случан, когда такая погода была отмечена шесть и более ночей подряд. Очевидно, что такое может случиться только в местах, хорошо защищенных от ветра. Вероятность продолжительного сохранения тихой и ясной погоды в дневные часы еще меньше, чем ночью. Ясная и тихая погода сохраняется в продолжении двух и более дней подряд менее чем в одном случае из десяти с такой погодой.

О непрерывной продолжительности погоды, благоприятной для сохранения различий циркуляционного происхождения можно судить по данным табл. 5 приложения. Судя по ежечасным данным наблюдений за ветром в Вильнюсе, погода с ветром 5 м/с и более продолжается в среднем менее полусуток. Однако в отдельные периоды ветреная погода может непрерывно продолжаться более двух суток, а осенью и зимой — даже шесть суток подряд.

## 8.2. Климатические различия между городом и пригородом

Город со своей промышленностью, скоплением построек различной высоты, искусственными покрытиями улиц и площадей влияет на показатели радиационного баланса. Из-за увеличения закрытости горизонта и меньшей прозрачности замутненного пылью и дымом воздуха в городах уменьшается приток радиации от Солнца, но увеличивается рассеянная радиация. Более низкое по сравнению с окрестностями альбедо городских покрытий способствует поглощению радиационного тепла. Часть уходящего теплового излучения дополнительно задерживается городским воздухом.

Радиационный баланс крупного города в теплое время года примерно на 10—15%, а в холодное полугодие— на 20—30% меньше радиационного баланса сельской местности [25]. Так как Вильнюс и Каунас заметно меньше самых крупных городов Советского Союза, то для этих двух городов более вероятны меньшие значения указанных параметров. Радиационный баланс основной части Вильнюса, расположенной на дне речной долины, вероятно, на несколько процентов меньше, чем радиационный баланс Каунаса, расположенного на более открытой местности.

Сильно шероховатая поверхность города с его разновысокими строениями и сложной сетью улиц, открытыми площадями и массивами зеленых насаждений приводит к общему ослаблению ветрового потока в приземном слое атмосферы, но увеличивает его динамическое перемешивание и способствует увеличению порывистости ветра. Поэтому даже средняя месячная скорость ветра в Каунасе летом на 0,5—0,7 м/с, а зимой даже на 1 м/с меньше, чем за его пределами (табл. 59 приложения). Это равнозначно среднему ослаблению ветра над городом на 20%.

В Вильнюсе на скорость ветра влияет и сложный рельеф местности, его вертикальная расчлененность, а также большая, чем в Каунасе, лесистость. Из-за этих причин средние месячные скорости ветра в центре Вильнюса уменьшены по сравнению с его пригородом летом на 0,7—0,9 м/с, а зимой на 1,2—1,5 м/с. Это соответствует среднему ослаблению ветра в центре города на 30%.

Ветровые различия между городом и пригородом в отдельные моменты времени весьма неустойчивы. В некоторых случаях ветер в городе может стать сильнее, чем за городом. Непостоянство ветровых различий между центром Вильнюса и его пригородами хорошо видно из данных табл. 53. Вероят-

#### Таблица 53

## Повторяемость (%) различных градаций скорости ветра в пригороде Вильнюса — Лаздинай (в центре города затишье)

Скорость ветра, м/с . . . . . 0 0,1—1,0 1,1—2,0 2,1—3,0 3,1—4,0 >4,1 Повторяемость, % . . . . . . 23 38 30 8 1 <0.5

ность того, что во время штиля в центре города скорость ветра на его окраинах может превысить 2 м/с, составляет 9%. Подобные различия могут иметь место и между другими городскими районами.

Различия в радиационном и ветровом режимах города и пригорода приводят к различиям в режиме температуры. В Вильнюсе и Каунасе, как и в других городах (особенно в холодное время года), в атмосферу выделяется дополнительное количество промышленного и бытового тепла. В Вильнюсе,

кроме того, следует отметить и общее изменение температуры с высотой (наличие вертикальных градиентов температуры).

Важную роль играет также низменное положение центральной части города, куда стекает охлажденный воздух со склонов долины р. Нярис. Днем возможны некоторые различия между температурой кварталов, расположенных на склонах северной и южной ориентации. Естественно, что эти различия наиболее ярко выступают при ясной, безветренной погоде и сглаживаются при ветре. Возникают различия температуры и при смене воздушных масс, поскольку в городе несколько ослаблен воздухообмен, при адвекции тепла город остается на определенное время холоднее, а при похолодании — теплее своих окрестностей. В целом города теплее своих окрестностей [25, 32]. Как велика эта разница в Вильнюсе и Каунасе, видно из табл. 61 приложения, составленной по пятилетиим данным параллельных наблюдений на городских и загородных метеостанциях.

Центр Каунаса большую часть года теплее своих пригородов в среднем на 0,4—0,5° С. Поздней осенью и в начале зимы по мере усиления ветра эта разница уменьшается на 0,1—0,3° С. В Вильнюсе различие температуры между городом и пригородами в среднем составляет 0,7° С и колеблется в течение года от 0,6 до 0,9° С. Если из этого значения вычесть долю, соответствующую среднему вертикальному градиенту температуры между городской и загородной станцией 0,4—0,6° С/100 м при разнице высот около 80 м, тепловое влияние Вильнюса и Каунаса получается практически одинаковым.

Весной и летом в дневные часы Каунас теплее своих пригородов в среднем только на 0,3-0,4° C, а Вильнюс на 1,2-1,4° C. В ночные и утренние часы Каунас остается теплее своих пригородов в среднем на 0,6° С. Летом эта разница доходит до 1,0-1,2°С. В Вильнюсе средняя годовая разница ночной температуры остается примерно такой же, как и в Каунасе (0,5°C), а весной и летом даже имеет тенденцию уменьшаться. Это, повидимому, объясняется тем, что в Вильнюсе тепловое воздействие самого города в среднем уменьшается из-за склонового стока охлажденного воздуха в центр города, лежащий в низине. В весенние и летние ночи, когда выделение собственного тепла в городе уменьшено по сравнению с зимой, его уже недостаточно для компенсации воздействиям склонового стока. Особенно показательны в этом отношении абсолютные минимумы температуры, обычно возникающие в условиях тихих и ясных ночей (табл. 54).

В Каунасе разница между абсолютными минимумами температуры в городе и пригороде увеличивается с увеличением расходов топлива и зимой достигает 3—4° С. В Вильнюсе под влиянием успленного склонового стока рассматриваемая разница зимой даже приобретает обратный знак. В случае обративаем в случаем в случаем

Таблица 54 Разность между минимальными температурами в городе и пригороде

		Вилы	110C			Кау	nac	
Месяц	a	5	В	Г	a	б	В	r
I II III IV V VI VIII IX XII XIII	—5,1 —4,6 0.1 0,7 0,6 —0,5 0,0 1,6 0,2 1,6 0,2 —1,7 —5,1	0,9 4,6 0,1 0,7 0,6 0.5 0,7 1,6 1,6 1,6 0,2 1,7 4,6	4,3 0,8 0,5 1,0 1,8 1,1 2,4 1,6 2,4 1,1 0,9 4,3	-5,1 -1,6 -1,2 -0.6 -1,3 -0.6 -0.5 -1,7 -1,9 -1,7 -0,2 -1,7 -5,1	3,0 2,8 4,3 1,5 2,0 1,2 2,0 2,5 0,9 0,6 1,2 0,0 3,0	3,0 2,8 4,3 1,5 2,0 3,6 2,0 2,5 1,4 0,6 1,2 3,0	4,3 2,8 4,3 1,5 2,7 3,6 2,9 3,3 1,4 0,6 1,4 3,5 4,3	-0,3 -0,1 0,3 0,5 0,6 0,7 0,6 1,6 -0,9 -0,9 -0,9

Примечание. В таблице обозначено: а — разность в ночь с абсолютным минимумом в городе, б — в ночь с абсолютным минимумом в пригороде, в — наибольшая разность, г — наименьшая.

зования мощных температурных инверсий в долине р. Нярис центр Вильнюса ночью становится на 2—4° С холоднее окрестностей города. На дне долины Нярис за пределами Вильнюса при тихой ясной зимней погоде уменьшение минимальной температуры под влиянием рельефа может достичь 5—7° С.

Город оказывает влияние и на некоторые другие показатели термического режима. В Вильнюсе число дней без морозов в среднем на 10-15% (на 9 дней) больше, чем в пригороде, в Каунасе — на 5-7% (на 4 дня). В теплое время в Вильнюсе количество жарких дней ( $t \ge 25^{\circ}$  С) примерно на 20% больше, чем в пригороде. Упомянутые различия не отражаются на датах перехода температуры через определенные пределы, поскольку даже в Вильнюсе и Каунасе под влиянием адвекции эти переходы происходят почти одновременно. Разница дат в отдельные годы, как правило, не превышает одного-двух дней.

Влагонепроницаемые поверхности в городах оказывают отрицательное влияние на процессы влагообмена. Поэтому воздух в застроенной части города недополучает определенное количество влаги из почвы. Однако в Вильнюсе и Каунасе этот недостаток почти полностью компенсируется испарением с поверхности текущих через города рек и транспирацией зеленых насаждений. В результате разница в упругости водяного пара получается минимальной (в Вильнюсе она летом даже на 0,2 гПа больше, чем в большинстве его пригородов).

Различия относительной влажности в среднем не превышают 3—5%, а недостатка насыщения—0,5—0,9 гПа (табл. 60

приложения). Эти различия несколько увеличиваются летом и днем. В Вильнюсе они больше, чем в Каунасе, но для формирования городского климата влажностные различия в обоих городах имеют значительно меньшее значение, чем различия

температуры.

Повышенная турбулентность над сильно шероховатой поверхностью городов и восходящие токи над застроенной территорией способствуют активизации процессов осадкообразования над городом. Поэтому в Вильнюсе и Каунасе за год выпадает в среднем на 10% осадков больше, чем в их окрестностях. Особенно сильное влияние описываемые города оказывают на осадки холодного и наиболее ветреного времени года. Если летом количество осадков в городах превышает количество осадков в окрестностях примерно только на 5%, то зимой это превышение в Каунасе достигает 20%, а в Вильнюсе — даже 30% (табл. 55).

Таблица 55 Отношение количества осадков в городе к осадкам в пригороде

			. ородс	к осаді	Kam B I	пригор	оде
Метеостанция	I	II	111	IV	v	VI	llA
	Вильнюс	[1949-	1954 г	r.)		•	t
Город — АМСГ	1,40	1,40	1,30	1.10	1,04	1,04	1,04
	Каунас	(1950-	-1954 rr	.)			
Обсерватория — агромет- станция	1,20	1,20	1,20	1,05	1,05	1,05	1,05
Метеостанция	VIII	IX	x	1X IX	11-1X 1	IV-X	Год
	Зильнюс	(1949_	-1954 rr	.)			<del></del>
Город — АМСГ	1,04				1,30	1,04	1,11
	Каунас (	1950	1954 гг.	)			
Обсерватория — агромет- станция	1,05				1,20	1,05	1,09
C VEGETATION TO THE			,	'	1	' '	

С увеличением количества осадков в холодное время года увеличивается и высота снежного покрова. В Каунасе это увеличение составляет 30% и, кроме всего сказанного, объясняется также увеличением защищенности измерительной площадки.

Города по-разному влияют и на атмосферные явления. Повышенная турбулентность атмосферы, образование летом восходящих токов над кварталами сплошной застройки и нисходящих токов над лесопарками и водоемами способствуют сначала разрыву сплошного облачного покрова, а затем и образованию кучевых форм облаков. Летом из-за этих причин количество нижиих облаков в Каунасе уменьшается примерно на 5%. Зимой интенсификация процессов осадкообразования в этом городе приводит к некоторому увеличению облачности. В Вильнюсе упомянутые процессы под влиянием пересеченного рельефа, по-видимому, становятся настолько интенсивными, что приводят к некоторому увеличению количества облаков также и летом.

Особо ощутимы различия между этими городами и их окрестностями по числу дней с туманами. Наличие в запыленной атмосфере ядер конденсации способствует образованию туманов и увеличению их продолжительности. Так, в Каунасе среднее годовое число дней с туманом на 23—25%, а их суммарная продолжительность на 30—35% больше, чем в его окрестностях. Наибольшие различия бывают в холодное время года (табл. 61 приложения). Но этого не наблюдается в Вильнюсе. В центре этого города, расположенном в глубокой долине реки, бывает только 50% числа дней с туманами, которое в среднем за год отмечается в пригороде, находящемся за пределами долины. Суммарная годовая продолжительность туманов в Вильнюсе составляет только 40% продолжительности на его окраине (табл. 42 и 43 приложения).

Наибольшие различия, как и в Каунасе, наблюдаются зимой, но встречаются и летом. Это несколько необычное явление объясняется двумя причинами. Во-первых, в пригороде Вильнюса много адвективных туманов, которые в долину р. Нярис не спускаются и в центре города воспринимаются как пелена низкой облачности. Во-вторых, из-за повышенной температуры в городе воздух в долине быстрее перестает быть насыщенным влагой, видимость в нем улучшается — тумаи переходит в дымку. Среднее годовое число дней с дымкой в Вильнюсе составляет 289 дней, что на 35% больше, чем за городом. Разность между суммарной продолжительностью дымки в центре Вильнюса и на его окраине показана в табл. 56.

Таблица 56 Продолжительность дымки (ч) в Вильнюсе (1949—1954 гг.)

проде	OHMU	Cupu	OCID	7422	、	,						<u>'</u>	
Станция	I	[]	III	IV	v	γι	VII	VIII	IX	х	ΙX	XII	Год
Город АМСГ Разность	390 230 160	401 239 162	347 150 197	282 88 194	220 51 169	219 59 160	62	324 92 232	114	398 190 208	461 264 197	493 343 150	4146 1882 2264

Влияние города на режим ветра должно сказываться и на показателях метелей. Анализ различий в отдельные годы показал, что это влияние отчетливо проявляется только для суммарной продолжительности метелей, которая в Каунасе состав-

ляет 68%, а в Вильнюсе — 73% от продолжительности этого

явления в окрестностях (табл. 43 приложения).

Что касается числа дней с метелью, то его уменьшение в Каунасе почти ежегодно заметно только в январе, когда в городских кварталах в среднем наблюдается на 1-2 метели меньше, чем за городом. В другие месяцы, а в Вильнюсе и в теченпе всей зимы, вероятность таких случаев практически равна вероятности наступления различий обратного знака (30%). Примерно такова же вероятность и отсутствия различий. Нетипичность средних различий числа дней с метелью (табл. 61 приложения) в городах усугубляется еще и тем, что при умеренных ветрах, когда в окрестностях обычно наблюдается поземок, снег, сметаемый с крыш, может быть принят за метель, что увеличит число дней с этим явлением в городе.

Йовышенная турбулентность над городом летом должна благоприятствовать развитию гроз и выпадению града. Однако на средних показателях это почти не отражается. По-видимому, за время, необходимое для полного развития грозовых облаков, они успевают покинуть сравнительно небольшие территории Вильнюса и Каунаса, над которыми начали развиваться. Рассматриваемые явления в таком случае образуются на подветренной стороне городов, за их пределами. Более точно определить влияние Вильнюса и Каунаса на грозовую деятельность не удается, так как расстояния между городскими и пригородными станциями малы. Находясь на расстоянии 6—10 км друг от друга, обе станции обычно отмечают одни и те же грозы, не указывая местоположения грозовых очагов.

8.3. Внутригородские различия климата

## Деятельная поверхность города, под воздействием которой образуются климатические различия между городом и его окрестностями, как известно, не обладает однородностью. Во-первых, разные районы города отличаются друг от друга особен-

ностями застройки. Часто бывают различными и природные элементы структуры рассматриваемых районов. Наконец, могут отличаться и особенности окружающего их ландшафта. Все это в конечном итоге создает определенные различия в режиме

климатических показателей.

Причины возникновения климатических различий между разными точками одного и того же города по существу не отличаются от причин возникновения климатических различий между городом и его окрестностями. В основном меняется только состав участвующих в этом процессе факторов. Если климатические различия между городом и его окрестностями возникают под совокупным воздействием всего городского комплекса климатообразующих факторов, то в образовании различий между его отдельными районами обычно участвует меньшее чх

количество, иногда только какой-нибудь один фактор.

Характер рассматриваемых различий и связь их с определенными компонентами подстилающей поверхности, как известно, весьма устойчивые [36]. В пределах одного города маломеняется и их повторяемость во времени. Поэтому при изучении внутригородских климатических различий основное внимание приходится обращать на характер и закономерности их

территориального распределения.

При изучении территориального распределения метеорологических элементов в черте города приходится иметь в виду особенности двоякого рода. Наиболее ярко выступают отклонения от общеклиматического фона показателей тепло-, влаго- и массообмена, связанного с определенными элементами застройки и озеленения. Таким образом, различается приток тепла на освещенные солнцем и затененные домами участки, степень увлажнения наветренных и подветренных стен, условия аэрации открытых площадей и парковых насаждений. При этом наблюдается многократная повторяемость подобных различий на ограниченном пространстве. Они в основном и определяют микроклиматические особенности города. О некоторых показателях ряда различий можно судить по уже приведенным данным (табл. 20 и 27, табл. 4 и 32 приложения). Рассматриваемые различия в основном зависят от физических параметров элементов застройки и озеленения и, в случае однотипности последних, не зависят от того, в какой части города они наблюдаются.

Наряду с микроклиматическими различиями между разными элементами застройки существуют и определенные различия между отдельными городскими районами. Это различия мезоклиматического характера и существуют они благодаря наличию горизонтальных градиентов климатических показателей, направленных от центра города к его окраинам. Эти различия естественно меньше различий между городом и пригородами [25]. В Вильнюсе и Каунасе они также не достигают пределов, показанных в разд. 8.2 (см. также табл. 11, 53—56 и табл. 7, 28, 35—43, 46—49, 59—61 приложения). Осредненные мезоклиматические различия также, как правило, значительно микроклиматических соответствующих (табл. 20, 27 и табл. 4, 32 приложения). Поэтому климатические различия между отдельными городскими районами удобнее всего характеризовать не трудно определяемыми и незначительными средними по району отклонениями от общеклиматического фона, а территориальной изменчивостью микроклиматических показателей, параметры которой обладают известным внутрирайонным постоянством и скачкообразно изменяются при переходе от одного района к другому. Таким образом, выделенные районы также будут относиться к мезоклиматическим, потому что они сложены из множества определенным образом территориально организованных микроклиматических участков.

Предварительное изучение ландшафтных условий и архитектурных особенностей Вильнюса и Каунаса (см. разд. 1.2) показало, что главные мезоклиматические различия в этих городах обусловлены существованием весьма ограниченного количества территориальных и застроенных деятельных поверхностей (рис. 39). Среди естественных компонентов выделяются: облесенные и безлесные участки плоского дна и нижних террас глубоких речных долин; облесенные и безлесные участки склонов, сильно расчлененных густой овражно-балочной сетью или представленных плоскими верхними террасами с более или менее крутыми обрывами; облесенные или безлесные высоко лежащие плоские и слегка волнистые участки равнии.

Вышеуказанные естественные комплексы бывают полностью или частично застроены сплошной периметрической 2—4-этажной застройкой, имеющей густую сеть узких улиц и закрытых дворов; свободной разноэтажной застройкой промышленного назначения или 5—12-этажной застройкой крупными жилыми домами с редкой сетью шпроких улиц и дворами открытого типа; свободной одно- и двухэтажной застройкой пригородного типа, разбросанной среди садов, огородов и в некоторых местах среди леса. В административных границах Вильнюса и Каунаса также распространены ареалы, мало измененные деятельностью человека.

Эти элементы естественного и культурного ландшафта, накладываясь друг на друга, образуют определенные типологические комплексы деятельных поверхностей, участвующих в создании микро- и мезоклиматических различий. Как видно из рис. 39, на административной территории Вильнюса существует 19 основных типов поверхности. Некоторые из указанных типов обладают определенными общими свойствами и могут быть объединены в четыре более крупные группы. В Каунасе контрасты подстилающей поверхности меньше. В нем обнаружено только 14 типологических комплексов, естественным образом объединяющихся в две основные группы (долинную и равининую).

Каждый из вышеуказанных типов поверхности встречается в нескольких местах территории Вильнюса и Каунаса и занимает разновеликие ареалы. Из этих ареалов и слагаются территориальные комплексы элементов естественного и культурного ландшафта, образующие основные территориальные единицы городского климата, показанные на прилагаемых схемах мезоклиматического районирования.

Главные особенности выделенных таким образом мезоклиматниеских районов и ареалов формируются под влиянием основных типологических компонентов, входящих в тот или

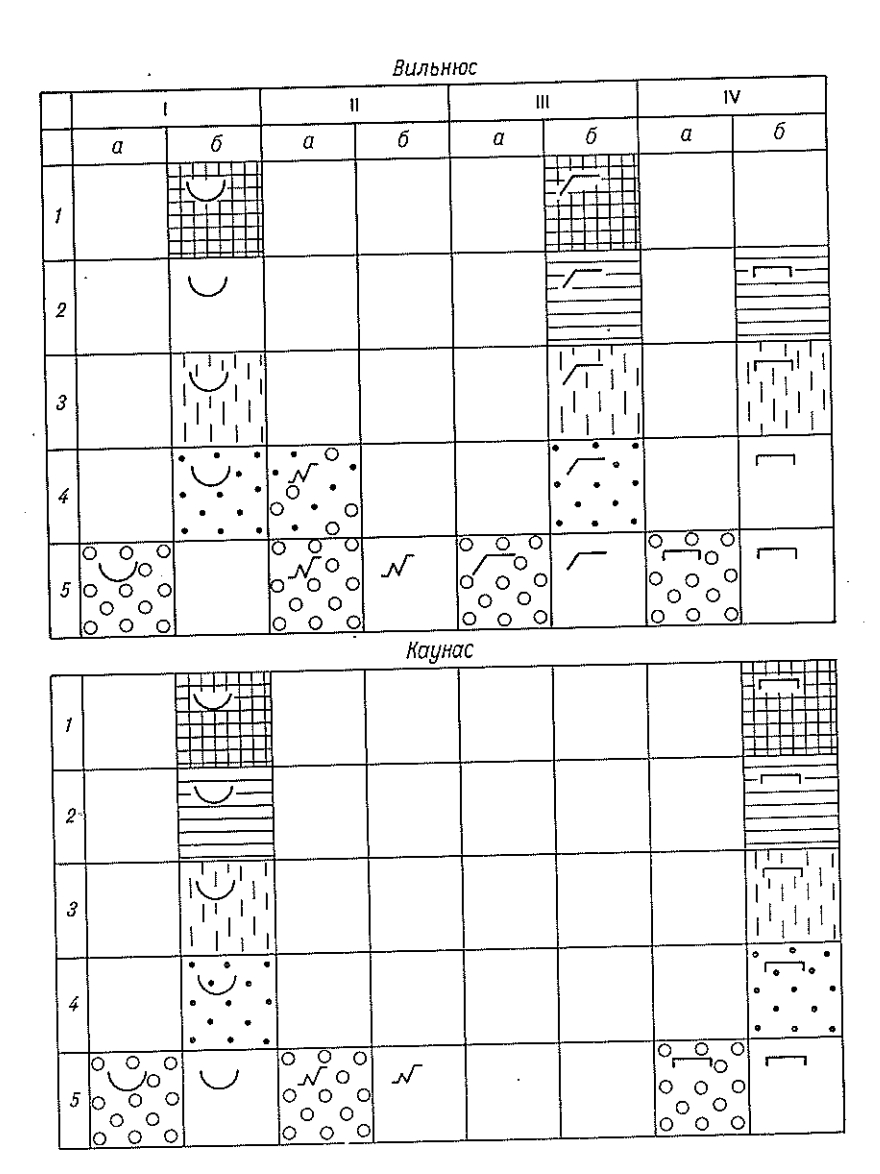


Рис. 39. Формы рельефа и типы застройки в городах Вильнюсе и Каунасе.

Формы рельефа: I — дио долины, II — овражно-балочный рельеф склонов III — верхние террасы, IV — придолинная часть волиистой равнины (плато); типы застройки: I — сплошная периметрическая, 2 — крупнопромышленная, 3 — свободная многоэтажиая, 4 — инакоэтажная пригородная, 5 — незастроенные участки лесные (a) и полевые (b).

другой территориальный комплекс. Более мелкие компоненты играют в нем роль факторов, приводящих к образованию ми-

кроклиматических различий внутри каждого ареала.

Схема мезоклиматического районирования Вильнюса представлена на рис. 40. На ней обозначены 5 крупных районов, в состав которых входят 24 городских (застроенные) и более 20 загородных ареалов, пронумерованных на вспомогательной схеме. На основной схеме условными знаками, указанными на рис. 39, обозначены главные типологические комплексы деятельных поверхностей. Это дает возможность судить о качественном подобии или различии местного климата рассматриваемых территориальных единиц. Кроме того, можно получить некоторое представление и о возможных различиях микроклимата внутри рассматриваемых ареалов. Качественная оценка данных типов мезоклимата дана в табл. 57.

Таблица 57 Качественные различия мезоклимата в Вильнюсе и Каунасе

Типы ме	230климата	Тем	пература воз	Ветер			
то рельефу	по застройке	лнем	окарон	изменчи- вость	скорость	изменчи- атое	
I III IV	1 2 3 4 5 4 5 4 6 5 1 2 3 4 5 6 1 2 3 4 5 6 6 1 2 3 4 5 6 6 1 2 3 4 5 6 6 6 7 7 8 7 8 7 8 7 8 7 8 7 8 7 8 7 8	+++++++++++++++++++++++++++++++++++++++	0 0 0 0 0 0 0 0 0 0 +++ ++++++++++++++	+++++++++++++++++++++++++++++++++++++++	0 0 0 + 0 + 0	+++0 0 0 + +++0 0 0 + +++0 0 0 + +++0	

Примечание. Здесь знаками + +, +, 0, -, - обозначены соответственно сильно повышенные, повышенные, близкие к фону, пониженные и сильно пониженные значения рассматриваемых показателей.

Наиболее существенные различия в режиме погоды наблюдаются в центральном районе Вильнюса (долина р. Нярис и примыкающие к ней склоны, изрезанные густой овражно-балочной сетью); это наиболее густо застроенная часть города, ли-

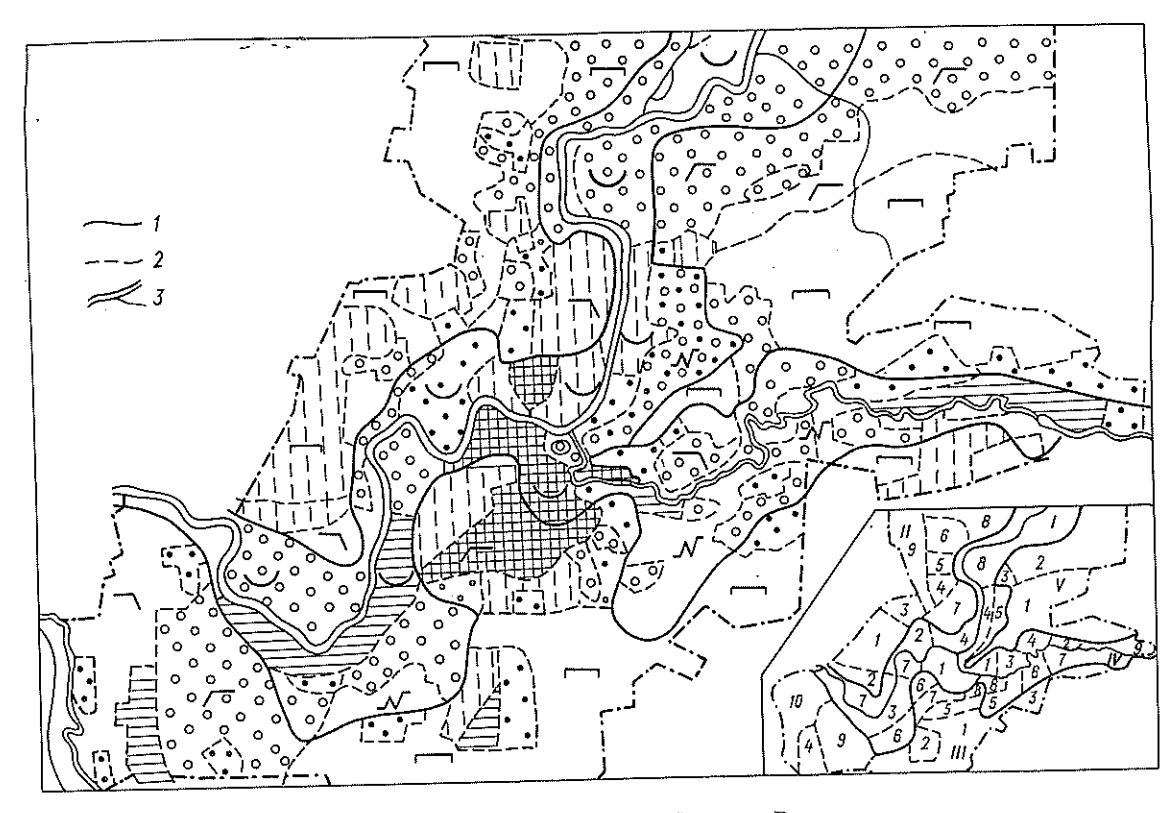


Рис. 40. Мезоклиматические районы г. Вильнюса. t-границы между районами, 2-границы мезоклиматических ареалов, 3-водоемы. Другие условные обозначения см. рис. 39 и текст.

шенная открытых пространств, кроме узкой полосы реки и небольших городских площадей с искусственными покрытиями. Долинным положением района обусловлено увеличение суточных колебаний температуры, общее уменьшение скоростей ветра и частичное сокращение повторяемости ветров, дующих

поперек долины и магистральных улиц.

Самые большие отклонения показателей от загородных наблюдаются именно в этом районе, а внутри его — в ареале Сянаместис (I—1) (рис. 41). Эта часть города расчленена густой сетью узких переулков и маленьких двориков, поэтому отличается весьма неудовлетворительными условиями проветривания. Ветер у земной поверхности здесь отсутствует даже при скорости ветра за городом равной 2—3 м/с. При больших скоростях ветра в этом ареале наблюдается повышенная порывистость. Тени от зданий даже в летний полдень закрывают более половины, а местами и более 75% территории, так что приход солнечной радиации на поверхность мостовых и освещенность квартир нижних этажей весьма ограничены.

Густота застройки определяет большую горизонтальную изменчивость климатических показателей. Линейная изменчивость (число изменений знака их отклонений от нормы на один продольный километр профиля) в районе Сянаместис превышает 50. Повышенная изменчивость температуры в солнечные дни и ветра в дни ветреные, наряду с общим повышением температуры и понижением скорости ветра (по сравнению с условиями за городом), является характернейшей особенностью кли-

мата данного ареала.

Находящийся несколько западнее ареал Жверинас (I—2) в основном имеет такой же мезоклимат, как и предыдущий. Хотя дома коттеджного типа не образуют замкнутых дворов, но в районе много садов и других древесных насаждений, поэтому значения скорости ветра и солнечной радпации здесь также сильно занижены. Главное различие состоит в том, что в Жверинасе пропорционально гасятся все скорости ветра, поэтому порывистость меньше. Жверинас одновременно является местом, ниже которого долина р. Нярис сильно сужена и окружена лесом; в тихие ночи, особенно зимой, здесь происходит скопление холодного воздуха, стекающего со склонов и вниз по долине и поэтому здесь наблюдаются самые низкие ночные температуры.

Прилегающая к Жверинасу узкая полоса лесопарка Каролинишкес, наоборот, хорошо инсолируется солицем; весной здесь наблюдается самый ранний сход снежного покрова и наступление весенних фенофаз развития растительности; по крайней мере на 8—10 дней раньше, чем в среднем по всему низ-

менному району города.

Самым теплым из долинных ареалов, по-видимому, следует считать ареал Жямейн Панеряй (1—3), расположенный в ниж-

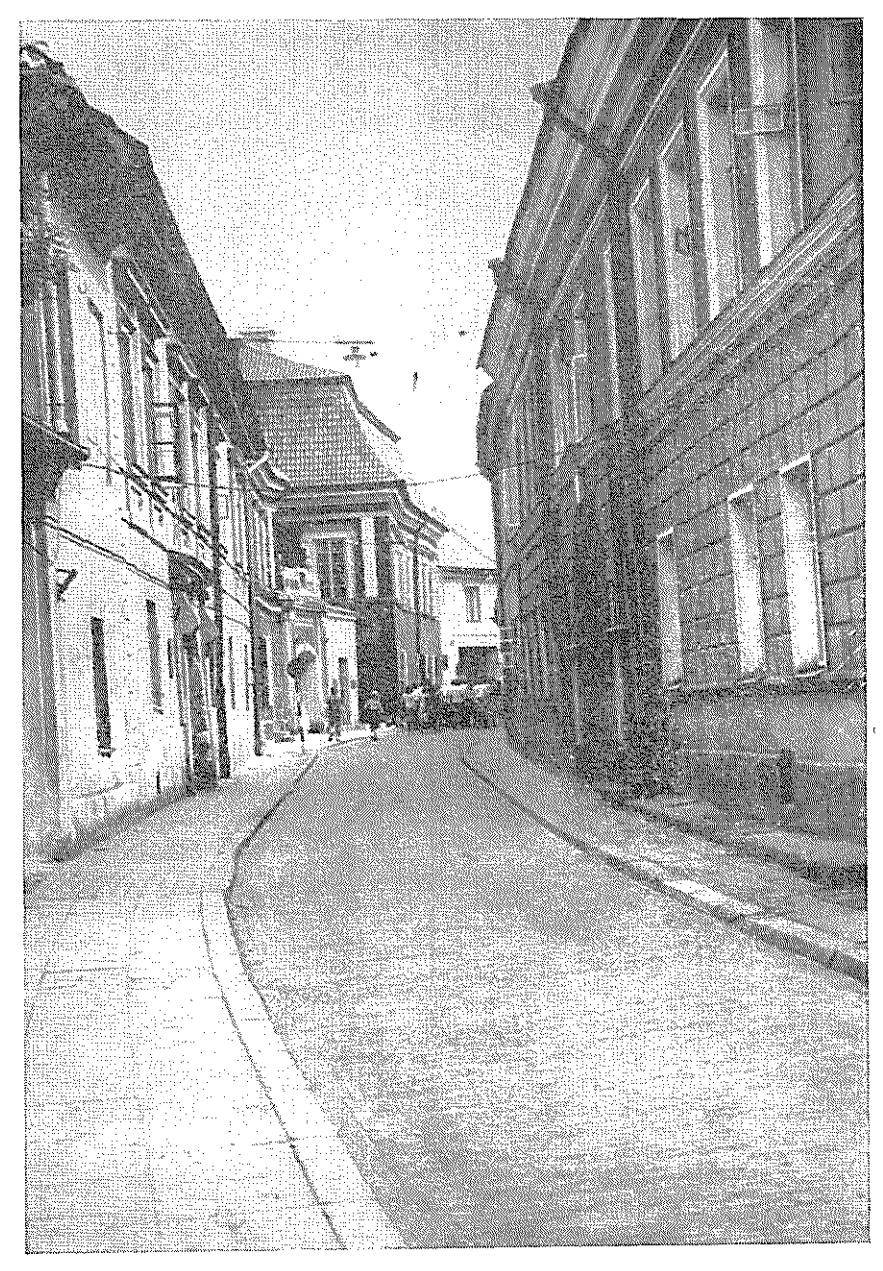


Рис. 41. Периметрическая структура застройки в районе Сянаместис г. Вильнюса.

ней части долины, окруженный почти со всех сторон лесами, но имеющий хороший сток воздуха вниз по реке. Район застроен промышленными предприятиями, широкие дворы которых хорошо прогреваются солнцем. Район также получает дополнительное количество тепла промышленного происхождения. Условия проветривания данного ареала несколько лучше предыдущих, но загрязнение воздуха относительно высокое.

Самые лучшие условия микроклимата наблюдаются в ареале Антакальнис — Жвеяй (I—4), который застроен свободно расположенными домами средней этажности. Неплохие условия инсоляции наряду с относительной защищенностью от неблагоприятных ветров, в том числе и зелеными насаждениями, делают данный ареал одним из наиболее благоприятных для проживания в нем населения.

В восточной части данного ареала велика возможность притока ночного холодного воздуха по оврагам из рядом лежащего ареала Сапегине (I—5). Днища балок, врезанных между облесенными отрогами древнего склона долины р. Нярис, причисляются к числу наиболее морозоопасных и заснеженных кварталов Вильнюса. Данный ареал с успехом пспользуется для зимнего спорта.

Наименее благоприятным микроклиматом из всех ареалов данного типа, по-видимому, обладает малоисследованный ареал Бурбишкес (I—6). Он имеет общий довольно крутой наклон на север, большей частью покрытый хвойным лесом. Его глубокие балки отрезаны от долины р. Нярис высокой насыпью железнодорожного полотна. Из-за уменьшенного радиационного баланса и благоприятных для накопления и сохранения снега условий данный ареал отличается укороченным вегетационным периодом. В его лесах мало теплолюбивых растений.

Долинный мезоклиматический район Вильнюса с обоих концов замыкается двумя большими ареалами соснового леса: Букчяй (I—7) и Валакампяй (I—8), которые по своим показателям почти не выделяются из других низменных лесных ареалов, окружающих город. Валакампяй имеет более зрелые древостои и в настоящее время служит зоной отдыха трудящихся и местом расположения летних детских лагерей. Этому весьма

способствует и сухой лесной микроклимат ареала.

Совсем иной характер местного климата имеет северо-западный район Вильнюса (II), расположенный на легковолнистой равнине и примыкающих к ней верхних террасах долины р. Нярис. Типичным ареалом этого района является ареал Каролинишкес — Виршулишкес (II—1), застроенный отдельно стоящими группами многоэтажных зданий кулисного и башенного типа (рис. 42).

Высоко поднятый над долиной реки этот ареал, как и весь район, имеет климатические показатели, близкие к загородному фону. Хорошие условия проветривания наряду с обилием

данного района: Вингис — Партизану (III—6) со свободной, преимущественно среднеэтажной застройкой, Науяместис (III—7) с периметрической жилищно-заводской застройкой и Субачяус (III—8) с пригородно-усадебной застройкой по топографическим условиям мало отличаются от других ареалов южного района, но по условиям застройки тяготеют к центральному району. В упомянутых ареалах сочетаются малые фоновые различия показателей температуры и средние различия показателей ветра с их повышенной территориальной (внутриареальной) изменчивостью. Последняя, однако, по крайней мере в два раза меньше, чем в низменной части города.

Особыми природными условиями, следовательно, и специфическими чертами местного климата, наделен восточный район Вильнюса (IV). Рассеченный с востока на запад глубоко врезанным руслом р. Вильняле, он как будто состоит из двух противостоящих друг другу половин, каждая из которых отличается сложной структурой деятельных поверхностей. Поэтому застроенные ареалы (IV—1) и (IV—2), как и не застроенные (IV—3) и (IV—4), лежащие к северу от р. Вильняле, по условиям образования микроклимата близки к своим аналогам,

расположенным в северо-западном районе (II).

Ареалы южной части района: (IV—5 и IV—6) и многоэтажный рабочий поселок Науя Вильня (IV—7) имеют свои частичные аналоги в южном районе города. Расположенные на дне долины Вильняле ареалы (IV—8) и (IV—9) по своему микроклимату несколько напоминают ареал Жямейи Панеряй (I—3), однако с той разницей, что, ввиду большей закрытости долины р. Вильняле, скорости ветра здесь еще меньше и про-

ветриваемость хуже, чем в упомянутом ареале-аналоге.

Северо-восточный район Вильнюса по характеру поверхности является загородным. Он состоит всего из двух просторных ареалов: полевого (V-1) и лесного (V-2) с соответствующими фоновыми показателями климата. В западной части последнего ареала в настоящее время только начинается формирование нового городского ареала — Университетского городка (V-3). По условиям застройки его климат будет близок к климату аналогичных кварталов Антакальниса (I-4). Коллективному садоводству, занимающему остальную часть района, местные условия микроклимата не противопоказаны.

Территория Каунаса в мезоклиматическом отношении менее сложна, чем территория Вильнюса (рис. 43). На ней отчетливо выделяются только два типа мезоклимата: долинный и равнинный, расчлененные руслами рек Нямунас и Нярис на четыре разновеликих территориальных комплекса, в состав которых входят только 12 городских и 10 загородных ареалов, т. е.

примерно в два раза меньше, чем в Вильнюсе.

Климат большинства мезоклиматических ареалов Каунаса (II—7, II—8, III—2, III—4, IV—2 и др.) почти не отличается

от климата аналогичных участков окружающей город равнины. С количественной стороны он достаточно освещен данными загородной агрометстанции Каунас (Дайнава), расположенной в ареале II—7. Такие ареалы, как весь северо-восточный район новостроек (II—3), а также Палемонас (II—4), Алексотас

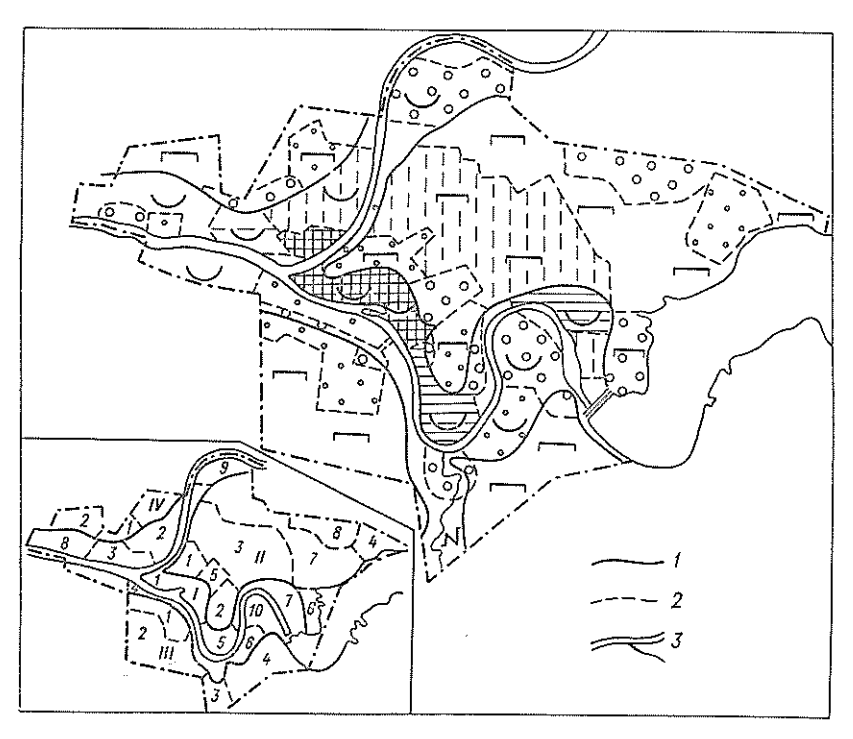


Рис. 43. Мезоклиматические районы г. Каунаса. 1—границы между районами, 2—границы мезоклиматических ареалов. Другие условные обозначения см. рис. 39 и текст.

(III—1) и им подобные, не отличаясь от общеклиматического фона, обнаруживают мелкомасштабные отклонения микроклимата, зависящие от этажности зданий и вида внутриквартальной застройки.

Более существенно отличаются от общего фона только те ареалы, которые расположены на дне речных долин. Среди последних выделяется центральная, наиболее компактно застроенная часть города (I—1) и (I—2), которая по температурному режиму тяготеет к ареалам вильнюсского центра. Однако в ней имеются и некоторые специфические различия. Из-за большей ширины русла р. Нямунас (по сравнению с руслом р. Нярис у Вильнюса) условия проветривания в центре Каунаса несколько лучше, чем в соответствующим образом застроенной

части Вильнюса. Центр Каунаса лучше защищен и от неблаго-

приятных северных и северо-восточных ветров.

Близкими по микроклимату к своим вильнюсским аналогам являются и три старых промышленных района: Вилиямполе (I—3), Шанчяй (I—5) и Пятрашюнай (I—7). Относительная защищенность упомянутых ареалов от ветра в данном случае не является благоприятной по гигиеническим соображениям.

Наиболее чистым воздухом отличаются лесные ареалы района (I—6, I—8, I—9 и I—10). Они хорошо защищены от неприятных ветров, имеют лучшие, чем у других, условия для аккумуляции солнечного тепла, поэтому подобно своим аналогам в Вильнюсе используются для кратковременного отдыха жителей. Особенно благоприятным в этом отношении микроклиматом обладает лес Пажаислис (II—6) и прилегающая полоса побережья Каунасского водохранилища, относящиеся уже

к следующему северо-восточному району.

Из других ареалов северо-восточного района своими климатическими особенностями прежде всего отличается Жалякалнис (II—1), в котором продолжительное время существовала метеорологическая станция Каунас, обсерватория. Для данного ареала прежде всего характерно уменьшение суточных колебаний температуры и некоторое увеличение (по сравнению с низменной частью города) скоростей ветра. Однако микроклимат этого района в настоящее время частично меняется из-за широкого строительства соседних многоэтажных микрорайонов (II—3). Своеобразный микроклимат наблюдается в кварталах, образующих в самой середине города зеленый остров лесного микроклимата (II—5).

Мезоклимат долины р. Еся (III—3), обладающей весьма сложным строением поверхности, является отдаленным аналогом мезоклимата овражно-балочных склонов р. Нярис у Вильнюса. Другие ареалы южной части Каунаса мало отличаются

от общеклиматического фона его окрестностей.

Отсутствие инструментальных наблюдений за микроклиматом отдельных районов Каунаса не дает возможности для более детального их освещения. И вся схема мезоклиматического районирования этого города построена большей частью путем применения метода аналогов, с некоторым только уточнением, вытекающим из сравнительного анализа общегородских климатических различий, представленных в разделе 8.1.

### 9. ЗАГРЯЗНЕННОСТЬ ВОЗДУХА В ВИЛЬНЮСЕ И КАУНАСЕ

### 9.1. Атмосферные примеси в различных городских районах

Городской климат существенно отличается уровнем атмосферных аэрозолей и различных газообразных примесей, концентрации которых в воздушном бассейне городов обычно всегда гораздо более значительны, нежели в сельской местности. Особенно значительные концентрации атмосферных примесей отмечаются в больших городах с развитой промышленностью и транспортом [6].

В Вильнюсе и Каунасе преобладают «чистые» виды промышленности, крупные источники загрязнения атмосферы с постоянным факелом выбросов практически отсутствуют. Тем не менее в этих городах сохранилось еще довольно значительное количество старых небольших предприятий и котельных, во многих домах существует печное отопление, довольно много различного транспорта, в том числе личного пользования. На застроенной территории этих городов, особенно в центральной их части, отмечается застой воздуха и создаются предпосылки для скопления атмосферных примесей.

Регулярные наблюдения за атмосферными примесями в Вильнюсе ведутся уже около 20 лет, а в Каунасе — более 10 лет (рис. 44). Начало наблюдений положено городскими санитарно-эпидемиологическими станциями. С 1967 г. в Вильнюсе и с 1973 г. в Каунасе такого рода наблюдения проводятся также постами Литовского республиканского управления по гидрометеорологии и контролю природной среды. С этого времени наблюдения стали постоянными и в настоящее время ведутся за концентрациями наиболее распространенных примесей: пыли, сернистого газа, окислов азота и окислов углерода. (В 1977 г. в Вильнюсе начаты также наблюдения за примесями фенола.)

Постоянные наблюдения за вышеупомянутыми примесями ведутся на 5 постах в Вильнюсе и на 3 постах в Каунасе в разных по расположению и особенностям застройки частях городов, согласно государственному стандарту Союза ССР. Анализ достоверности данных наблюдений осуществляется в соответствии с методическими указаниями Госкомгидромета. Предварительное сравнение показало, что средние значения концен-

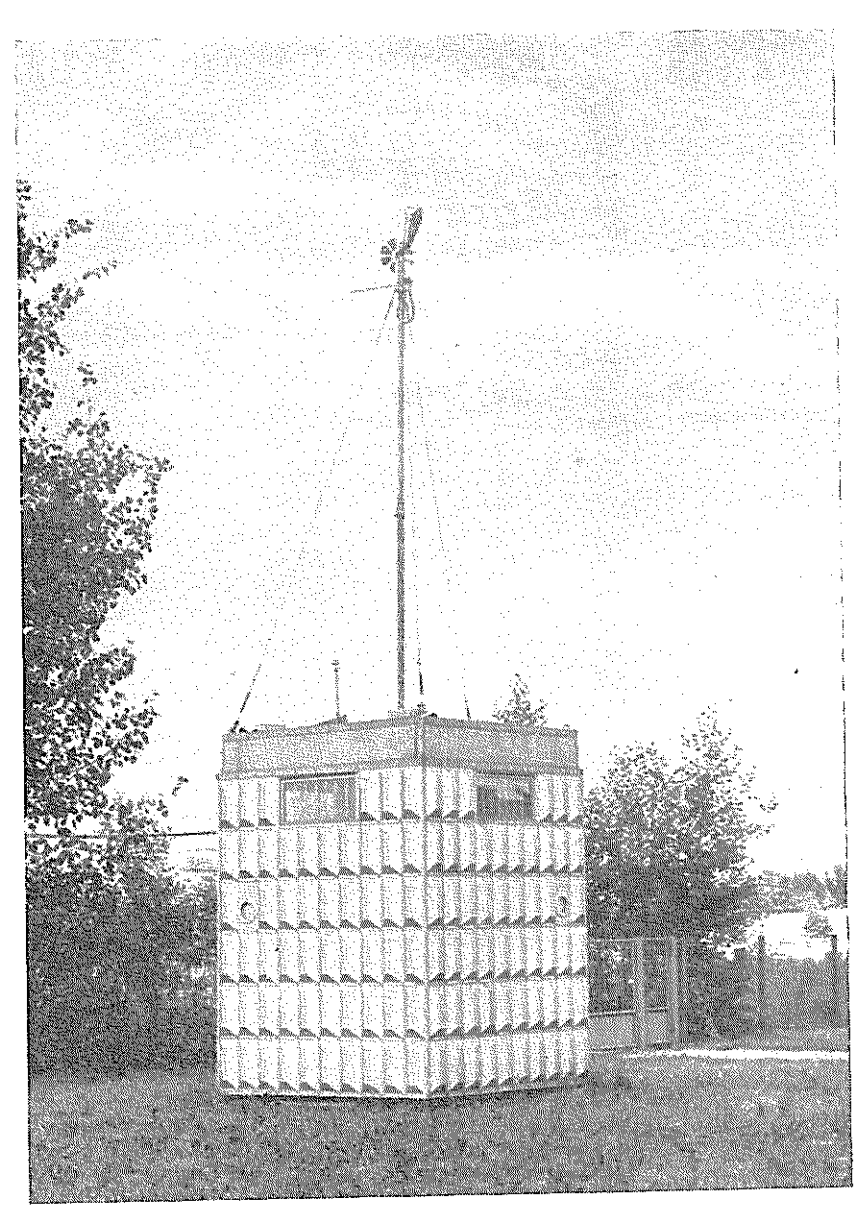


Рис. 44. Пункт регулярных наблюдений за загрязнением воздуха «Пост-1».

трации примесей за отдельные годы отличаются от пятилетних средних, принятых за основу климатического обобщения данных, не более чем на 30%.

Объем выполняемых работ как в Вильнюсе, так и в Каунасе в течение последних лет значительно возрос. Так, в 1977 г. по сравнению с 1973 г. количество наблюдений, проводимых сетью Госкомгидромета, в этих городах увеличилось в четыре раза (рис. 45). Количество обобщенных наблюдений за весь период в исследуемых городах приведено в табл. 58.

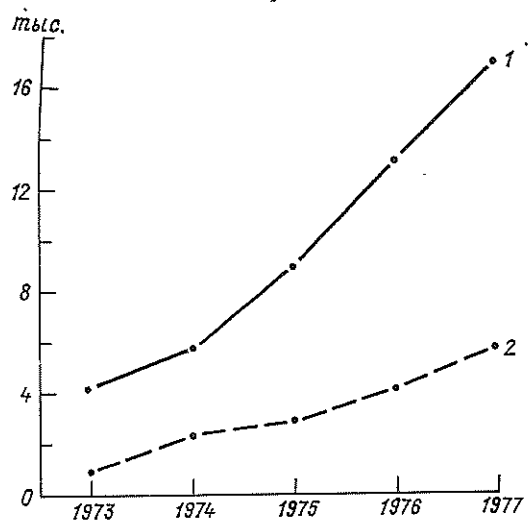


Рис. 45. Рост количества наблюдений на пунктах контроля загрязнения воздуха. I-B г. Вильнюсе, 2-B г. Каунасе.

Таблица 58 Количество наблюдений за концентрацией примесей

		Вилі	HIOC			Каунас	
Примесь	Науя- местис	Паупис	Жир- мунай	Лазди- най	Сяна- местне	Пятра- шюнай	
Пыль Серинстый газ Окись углерода Двуокись азота	5319 5682 4693 5504	1833 1883 1377 1790	2810 2680 2374 2630	3066 3004 2549 3004	2104 2056	3513  3476	2965 2946

Кроме постоянных наблюдений проводятся и маршрутные обследования загрязнения атмосферного воздуха выхлопными газами автотранспорта на выделенных для этой цели участках. Объем получаемой информации дает возможность определить

общий уровень загрязнения городского воздуха, получить общее представление о характере внутригородского распределения примесей и проследить за изменением их концентраций в течение года и непериодическими колебаниями в зависимости

от условий погоды.

Для характеристики загрязнения атмосферного воздуха в различных частях городов был использован относительный показатель  $K=\frac{q_1}{q_2}$ , где  $q_1$ —средняя или максимальная за исследуемый период концентрация примеси на отдельном посту,  $q_2$ —соответствующая концентрация примеси на посту, расположенном на окраине города. В условиях Вильнюса нормирование было проведено по отношению к средним характеристикам поста Лаздинай, в условиях Каунаса по отношению к по-

сту Жалякальнис.

Исследования показали, что отдельные районы Вильнюса и Каунаса не выделяются своим уровнем загрязнения атмосферного воздуха. Оба города занимают относительно небольшую площадь, а источники загрязнения воздуха рассредоточены по всем их районам. Вследствие этого параметр К в исследуемых городах для средних значений концентрации примеси на всех постах лишь незначительно отличается от единицы. Несколько более значительные колебания в Вильнюсе испытывают концентрации пыли. Так в центральной и восточной частях города содержание пыли превышает фоновые для города концентрации примерно на 50%. В Каунасе более высокие средние концентрации примесей отмечаются в центральной части города. Здесь значения параметра К достигают 1,2—1,5 (табл. 59).

Таблица 59 Отношения средних и максимальных концентраций примесей к средней на окраине города

			Виль	110с			Каунас	:
Примесь	Концентрация	Науяме- стис	Паунис	Жармунай	Лаздинай	Сяпаме- стис	កានក្ខេងយេ០- ពនាម័	Жалякал- инс
Пыль Серинстый газ Окись углерода	Средняя Максимальная Средняя Максимальная Средняя Максимальная Средняя	1,5 1,8 0,9 1,9 1,0 5,5	1,5 1,9 0.9 1,7 1,1 5,2	1,0 1,0 1,0 1,8 1,0 3,6 1,0	1.0 1.0 1,0 1,0 1,0 1,0 1,0	1,2 1,9 — 1,5	1,1 1,9 — — 1,2	1,0 1,0 1,0 — — 1,0
Окись углерода Двуокись азота		5,5 1,0 1,0	5,2 1,0 2.4			1,5 1,9	1,5	

Поскольку максимальные концентрации отличаются более значительным масштабом колебаний, значения параметра K в Вильнюсе также варьируют в более широких пределах. Осо-

бенно это заметно для концентраций окиси углерода, когда значения K в центральной и восточной частях города достигают 5,2—5,5. В Каунасе максимальные концентрации исследуемых

примесей примерно одинаковы во всех частях города.

Поскольку основной примесью, загрязняющей атмосферу Вильнюса и Каунаса, являются выхлопные газы автомашин, на территории Вильнюса были проведены более подробные исследования распределения окиси углерода. Параллельные наблюдения за ее концентрациями и потоком автомашин были проведены в 120 различных пунктах города. Оказалось, что под влиянием местных условий в отдельных районах города кон-

центрации окиси углерода могут довольно значительно отличаться концентраций, наблюдаемых на стационарных пунктах. Наиболее высокая концентрация окиси углерода обычно отмечается на автомагистралях самым интенсивным движением автотранспорта. Так, на основных магистралях Вильнюса в 2—3 раза она выше. чем стационарных на Необходимо, пунктах. однако, отметить. что концентрации окиси уг-

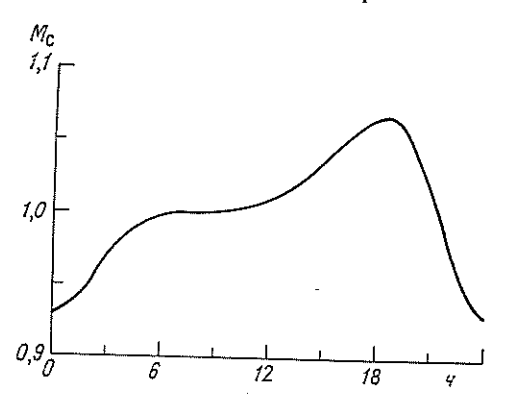


Рис. 46. Суточный ход нормированной концентрации окиси углерода в г. Вильнюсе.

лерода по удалении от проезжей части улицы довольно быстро уменьшаются. Уже в 20—40 м от автомагистрали концентрация окиси углерода понижается на 15—20%.

Особенно быстро концентрация окиси углерода понижается за зелеными насаждениями: уже на расстоянии 25—30 м от автомагистрали концентрация окиси углерода в среднем ниже на 20—25%, чем на самой автомагистрали. Таким образом, создание зеленых барьеров может успешно препятствовать проникновению примесей внутрь жилых кварталов.

С целью выяснения пространственного распределения концентрации окиси углерода в условиях застроенной селитебной зоны проводились наблюдения в районах новостроек и старом городе. Исследования показали, что концентрация окиси углерода как внутри районов с открытым типом застройки, так и в более закрытых кварталах при удалении от проезжей части улиц понижается довольно быстро. На расстоянии 10—15 м концентрация окиси углерода понижается на 15—20%, внутри жилого квартала составляет 50—60% от тех значений, которые отмечаются у проезжей части улицы. В старом городе плотность застройки намного выше, поэтому концентрации окиси углерода за первым рядом домов на 30—40% ниже, чем на автомагистрали. Однако условия аэрации здесь значительно хуже и попавшие в замкнутые дворовые пространства примеси сохраняются значительное время. Исследованиями суточного хода концентрации окиси углерода было установлено, что более высокое содержание в воздухе этой примеси отмечается в дневное время (рис. 46). Так, в 18 ч концентрации окиси углерода достигают максимальных значений, после чего отмечается уменьшение.

Известно, что концентрация окиси углерода, особенно на автомагистралях, во многом зависит от интенсивности движения автотранспорта. Коэффициент корреляции между количеством проходящих машин и концентрациями окиси углерода у проезжей части составляет 0,7—0,8. Таким образом, с заранее установленной статистической вероятностью можно определить концентрацию окиси углерода по количеству проходящего автотранспорта. Проведенные исследования позволили составить карту схематического распределения потенциально возможных уровней загрязнения атмосферного воздуха окисью углерода.

### 9.2. Временные колебания атмосферных примесей

Известно, что временные изменения являются функцией метеорологических условий и особенностей режима выбросов [6, 31]. В зависимости от географического положения, климатических особенностей исследуемого региона, развития его индустриального потенциала, орографии и других местных условий, временные изменения содержания атмосферных примесей в городских условиях могут носить весьма различный характер.

Для выявления временных изменений содержания примесей в атмосфере города был использован параметр M=q/Q, где q—средняя за месяц, Q—средняя за год концентрация примеси по всем пунктам. Наибольшая запыленность в Вильнюсе отмечается весной. В зависимости от метеорологических условий, времени образования и схода снежного покрова и т. п., в отдельные годы может наблюдаться смещение экстремальных значений пыли лишь на смежные месяцы сезона.

Довольно хорошо выраженный годовой ход в исследуемых городах имеют колебания общего содержания сернистого газа. Наиболее низкие значения М наблюдаются летом и осенью, наиболее высокие—в холодное время года, т. е. довольно четко соответствуют годовым колебаниям расходов топлива, содержащего серу (рис. 47 и 48).

Содержание окиси углерода и двуокиси азота в атмосфере

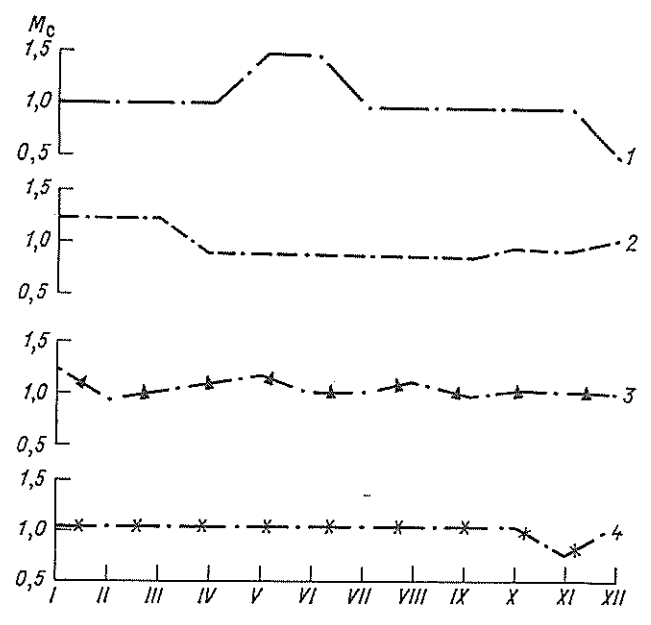


Рис. 47. Годовой ход нормированного среднего месячного содержания атмосферных примесей ( $M_c$ ) в г. Вильнюсе (1973—1977 гг.). 1—пыль, 2—сернистый газ, 3—окись углерода, 4—двуокись азота.

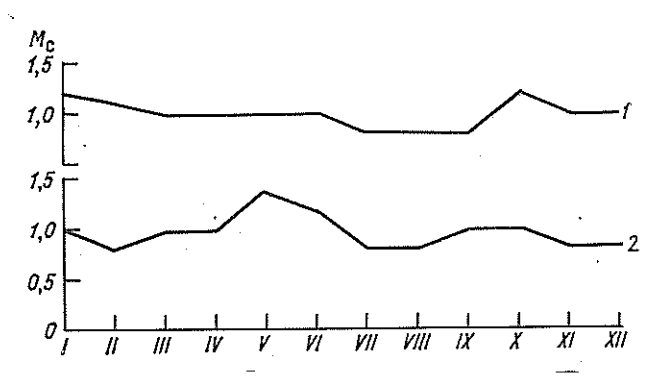


Рис. 48. Годовой ход нормированного и среднего месячного содержания атмосферных примесей  $(M_c)$  в г. Каунасе (1974—1978 гг.). I— сернистый газ, 2— двуокись азота.

в основном обусловлено постоянно действующими факторами — автотранспортом и выбросами промышленных предприятий. Поэтому годовые колебания их содержания носят менее определенный характер. Более часто высокие концентрации окиси углерода и двуокиси азота отмечаются в теплое время года, наиболее низкие — в холодное. Однако цикличность годовых колебаний выражена гораздо менее четко, чем для твердых примесей атмосферы. В отдельные месяцы и годы возможны существенные отклонения во времени наступления экстремальных значений общего их содержания в атмосфере города.

Концентрация атмосферных примесей изменяется также нерегулярно под влиянием метеорологических факторов; особенно она зависит от параметров ветра. Чтобы оценить эту зависимость, единичные данные наблюдений за концентрациями примеси на каждом посту обобщались по направлениям ветра, измеренного на метеорологической станции. С отдельным учетом штилей вычислялись средние значения концентрации при ветре каждой градации, а затем рассчитывались отношения этих средних к среднему значению для данного поста за весь период. Данные расчетов показали, что концентрации примесей при различных направлениях ветра в отдельных частях города существенно не изменяются, так как источники загрязнения воздуха разбросаны по всем его районам.

Несколько более высокая запыленность воздуха в городе

отмечается при штилевых условиях.

Увеличение содержания сернистого газа в районе Лаздинай наблюдается при ветре юго-восточного направления, когда он дует со стороны городской ТЭЦ. При ветре этого направления концентрация сернистого газа несколько повышается и в северной части города, что, по-видимому, обусловлено переносом загрязненного воздуха из центральной части города. В других районах города колебания концентраций сернистого газа в зависимости от направления ветра весьма незначительны.

Концентрации двуокиси азота несколько увеличиваются при преобладании штилевых условий. Влияния ветра на распределение содержания окиси углерода в атмосфере города не отме-

чено.

Для более подробной и комплексной оценки временного изменения общего уровня загрязнения атмосферы города и выявления его метеорологической обусловленности использован параметр P=m/n, где n — общее число измерений в течение дня, m — количество измерений в течение этого же дня с существенно повышенными концентрациями. Анализ результатов расчета параметра P для Вильнюса за пятилетний период показал, что довольно отчетливо прослеживается синоптическая обусловленность общего уровня загрязнения воздуха. Наиболее высокие значения P отмечаются в антициклонических, размытых барических полях и ложбинах (P колеблется около 0,20).

При этих условиях отмечается и наибольшая повторяемость дней (около 40%) с повышенным уровнем загрязнения воздуха, когда P > 0.2 (табл. 60). В циклонических, промежуточных по-

Таблица 60 Характеристика загрязнения воздуха при различных барических образованиях в Вильнюсе

Барическое образование	Среднее значение Р	Повторяемость (%) значения P > 0,2
Антициклоническое поле	0,18	37
Малоградиентное размытое барическое поле	0,18	37
Промежуточное барическое поле	0,15	28
Циклоническое поле	0,14	20
Фронтальная зона	0,14	18
Ось гребия	0,16	20
Ложбина	0,19	37

лях и при прохождении фронтов P обычно на 20-25% ниже и в среднем составляет около 0,14. При этих условиях почти в 2 раза реже повторяются дни с повышенным уровнем загрязнения атмосферы города, повторяемость случаев, когда P>0,2, составляет всего 15-20%.

1. Алисов Б. П. Климатические области и районы СССР. — Л.: ОГИЗ, 1947. — 210 с.

2. Алисов Б. П., _Дроздов О. А., Рубништейн Е. С. Қурс

климатологии. Ч. 1, 2. — Л.: Гидрометеонздат, 1952. — 487 с.

3. Анапольская Л. Е., Гандин Л. С. Метеорологические факторы теплового режима зданий. — Л.: Гидрометеоиздат, 1973. — 239 с.

4. Бартенева О. Д., Полякова Е. А., Русин Н. П. Режим естественной освещенности на территории СССР. — Л.: Гидрометеоиздат, 1971. — 238 c.

5. Березкина Г. Ю. Радиационные и температурно-ветровые условия в городских зеленых насаждениях. — Труды ГГО, 1977, вып. 385, c. 67—72.

6. Берлянд М. Е. О распространении атмосферных примесей в усло-

внях города. — Метеорология и гидрология, 1970, № 3, с. 45—57.

7. Богданова Е. Г. Способ расчета средних значений скорости ветра во время выпадения осадков. — Труды ГГО, 1969, вып. 244, с. 48—55. 8. Богданова Е. Г. Методика расчета сумм осадков, проходящих

через вертикальное сечение. — Труды ГГО, 1975, вып. 341, с. 79-86.

9. Буз А.И. Некоторые вопросы образования гроз в районе Вильнюса. — Труды Вильнюсской гидрометеорологической обсерватории, 1964, вып. 1, с. 113—130.

10. Воронцов П. А., Хайруллин К. Ш. Воздействие большого города на климат в разных масштабах. — Труды ГГО, 1977, вып. 391,

11. Временные методические указания по подготовке информативных документов о состоянии загрязнения воздуха и выбросах вредных веществ в городах на территории СССР. - Л.: Гидрометеоиздат, 1977. — 44 c.

12. Государственный водный кадастр. Основные гидрологические характеристики. Т. 4. Вып. 3. — Л.: Гидрометеоиздат, 1978. — 216 с.

13. Дорфман Ц. Я., Укмергишкис А. Д. Ветровой режим на территории Литовской ССР и Калининградской области РСФСР. — Вильнюс: Гос. нзд-во политич. и науч. лит., 1964. — 68 с.

14. Заварина М. В. Строительная климатология. — Л.: Гидрометео-

издат, 1976. — 312 с.

15. Қаваляускас Б. М. Некоторые свойства радиационного режима в Южной Прибалтике. — Труды АН ЛитССР. Сер. Б, 1964, № 4 (39), c. 113-123.

16. Каушила К. Краткий очерк развития климатических исследований в Литве. — В кн.: Сборник статей для XIX международного географического конгресса. — Вильнюс: Институт геологии и географии АН ЛитССР, c. 209-216.

17. Каушила К. Некоторые особенности в годовом ходе температуры воздуха и термические сезоны. - Научные сообщения Института геологии и географии АН ЛитССР, 1957, т. 5, с. 129-135.

18. Каушила К. Климатообразующие процессы и формирование кли-

мата Южной Прибалтики. — Вильнюс: АН ЛитССР, 1964. — 163 с.

19. Каушила К. К вопросу о территориальном распределении и годовом ходе различий минимальной температуры воздуха, обусловленных рельефом. — Труды ГГО, 1970, вып. 264, с. 90—96.

20. Қаушила Қ. О выделении микроклиматических ареалов в пре-

делах колхоза. — Труды ГГО, 1972, вып. 288, с. 61—65. 21. Каушила К., Каушилене Б. О повторяемости погод, благоприятных для возникновения термических различий микроклимата в Литовской ССР. — Статын по гидрометеорологии, т. 5. Вильнюс, 1972, с. 161-172.

22. Қаушилене Б., Қаушила Қ. Некоторые характеристики весен с различным типом увлажнения. — Статын по гидрометеорологии, т. 7.

Вильнюе, 1974, с. 213—221.

 Кеппен В. Основы климатологии. — М.: Учпедгиз, 1938. — 375 с. 24. Климат Минска/Под ред. М. А. Гольберга. — Минск: Вышэйшая школа, 1976. — 288 с.

25. Климат Москвы/Под ред. А. А. Дмитриева и Н. П. Бессонова. —

Л.: Гидрометеоиздат, 1969. — 324 с.

26. Климат Новосибпрска/Под ред. С. Д. Кошинского, К. Ш. Хайруллина, Ц. А. Швер. — Л.: Гидрометеоиздат, 1979. — 223 с.

27. Климатическая характеристика аэропорта Вильнюс/Под

ред. А. И. Буза. — Вильнюс: УГМС Лит. ССР, 1965. — 158 с.

28. Клюкни Н. К. Использование методов комплексной климатологии при определении режима рабочего времени в холодное полугодие. — Вопросы комплексной климатологии. - М.: Наука, 1963, с. 190-196.

29. Кондратьев К. Я., Пнвоварова З. И., Федорова М. П. Раднационный режим наклонных поверхностей. — Л.: Гидрометеоиздат,

1978. — 215 c.

- 30. Коркутис П. Об оценке потенциала загрязнения атмосферы на территории Южной Прибалтики. — Статьи по гидрометеорологии, т. 6, Вильнюс, 1973, с. 215—221.
- 31. Коркутис П., Рацевичюте Р. Некоторые особенности метеорологической обусловленности загрязнения воздуха в условиях Южной Прибалтики. — Статьи по гидрометеорологии, т. 4, Вильнюс, 1971, с. 93—106.

32. Кратцер П. А. Климат города/Пер. с нем. — М.: Изд-во иностр.

лит., 1958. — 240 с.

33. Летописи Николаевской Главной физической обсерватории. Ежемесячные и годовые выводы из метеорологических наблюдений станций 2-го разряда за 1902 г. — С.-Пб., 1903. — 354 с.

34. Мамонтов Н. В. Методика расчета комплексных характеристик климата больших городов. — В ки.: Информационное письмо ГУГМС, № 20.

M., 1976, c. 157—163.

35. Методы климатической обработки метеорологических наблюдений/ Под ред. О. А. Дроздова. — Л.: Гидрометеонздат, 1957. — 491 с.

36. Микроклимат СССР/Под ред. И. А. Гольцберг. — Л.: Гидро-

метеонздат, 1967. — 284 с.

37. Михель В. М., Руднева А. В. Методы расчета снегопереноса. — В кп.: Информационное письмо ГУГМС № 17. М., 1969, с. 52-62.

38. Назарова И. В. Влияние ветра на температуру воздуха. — Л.:

Гидрометеонздат, 1964. — 126 с.

39. Ольшаускае С. К. Максимальная интенсивность ливней на территории Литовской ССР. — Научные сообщения Ин-та геологии и географии АН ЛитССР, т. 5. — Вильнюс: АН ЛитССР, 1957, с. 153—157.

40. Пановский Г. А., Брайер Г. В. Статистические методы

в метеорологии. — Л.: Гидрометеоиздат, 1972. — 299 с.

41. Папшис А. Вильнюс. — Вильнюс: Минтис, 1977. — 140 с. 42. Пивоварова З. И. Характеристика радиационного режима на территории СССР применительно к запросам строительства. -- Труды ГГО, 1973, вып. 321. — 128 с.

43. Рекомендации по расчету климатических параметров гололедных и гололедно-ветровых нагрузок на провода воздушных линий. — Л.: Гидрометеонздат, 1974. — 35 с.

44. Романова Е. Н. Микроклиматическая изменчивость основных

элементов климата. — Л.: Гидрометеонздат, 1977. — 278 с.

45. Сагадашвили Г. Р. Распределение жидких осадков на различно ориентированных вертикальных поверхностях. - Сборник научных трудов Тбил. ЗНИИЭП, № 9, вып. 2, Тбилиси, 1974, с. 33—41.

46. Семашка А. и др. Каунас. — Вильнюс: Минтнс, 1977. — 96 с.

47. Синоптический бюллетень. Северное полушарие. Прило-

жение № 6. — Обнинск, 1977. — 58 с.

- 48. Справочник агрогидрологических свойств почв Литовской ССР и Калининградской области РСФСР. — Вильнюс: УГМС ЛитССР, 1977. — 119 c.
- 49. Справочник по климату СССР. Вып. 6. Ч. 1—5. Л.: Глдрометеоиздат, 1966-1969 гг.

50. Строительные нормы и правила. Ч. 2. Разд. А. Гл. 6. Строи-

тельная климатология и геофизика. — М.: Госстройиздат, 1973. — 320 с.

51. Стыро Б. И., Гарбаляускас И. А., Буз А. И. Некоторые динамические характеристики климата Литовской ССР. — Научные сообщения Ин-та геологии и географии АН ЛитССР, т. 7. Вильнюс, 1958, с. 19-73.

52. Хромов С. П., Мамонтова Л. М. Метеорологический сло-

варь. — Л.: Гидрометеоиздат; 1974. — 568 с.

53. Швер Ц. А. Климатические параметры для оценки смачивания стен дождями. — Труды ГГО, 1975, вып. 333, с. 72-79.

54. Швер Ц. А. Атмосферные осадки на территории СССР. — Л.: Гид-

рометеоиздат, 1976. — 302 с.

55. Шкадова А. К. Вероятностные значения максимальной глубины нулевой изотермы на Европейской территории СССР. — Труды ГГО, 1971, вып. 283, с. 68—73.

56. Biuletyn observatorium astronomicznego w Wilnye. II. Meteoro-

logia, 1921—1938, Nr 1—14.

- 57. Buzas A. Kai kurios rūku susidarymo meteorologinės salygos Vilniaus rajone. Vilniaus Valst. V. Kapsuko Universiteto Mokslo darbai, XXIII, Biologija, geografija, geologija, VI. — Vilnius, 1959 — p. 185—195.
- 58. Kausyla K. Lietuvos klimatas. Vilnius: Valstyb. polit. ir moksl. lit-ros leidykla, 1959, — 70 p.
- 59. Kausyla K. Metinis debesuotumo kitimas Vilniuje. Vilniaus Valst. Universiteto Mokslo darbai, XXIII, Biologija, geografija, V, Kapsuko geologija, VI. Vilnius, 1959, p. 197-203.
- 60. Kausyla K. Mikroklimata formuojanciu (veikliuju) pavirsiu isskyrimo ir kartografavimo principai. — Hidrometeorologiniai straipsniai, 3 t,. — Vilnius: Periodika, 1970, p. 177—205.

61. Lietuvos klimatologiniai daviniai 1926—1939. — "Lietuvos statistikos

metrastis", Kaunas, 1940. — 9 p.

- 62. Mazoji lietuviskoji tarybinė enciklopedija, 2 t., Vilnius: Mintis, 1968, p. 83-87.
- 63. Mazoji lietuviskoji tarybiné enciklopedija, 3 t., Vilnius: Mintis, 1971, p. 778—787.
- 64. Olsauskas S. Silumos pasikartojimas metu laikotarpiais Kaune. Kosmos, 1928, Nr. 9.

65. Pakstas K. Lietuvos klimatas. — Klaipéda, 1926.

66. Rocznik Panstwowego instytutu meteorologicznego. Rok 1919-

1930. — Warszawa, 1922—1938.

- 67. Sano V. Rainfall deposit on a wail of a building in a Storm. -Bull. Wisast. Prev. Res. Inst., 1970, vol. 20, p. 95-103.
  - 68. Styra B., Garbaliauskas C. Sumariné saulés ir dangaus

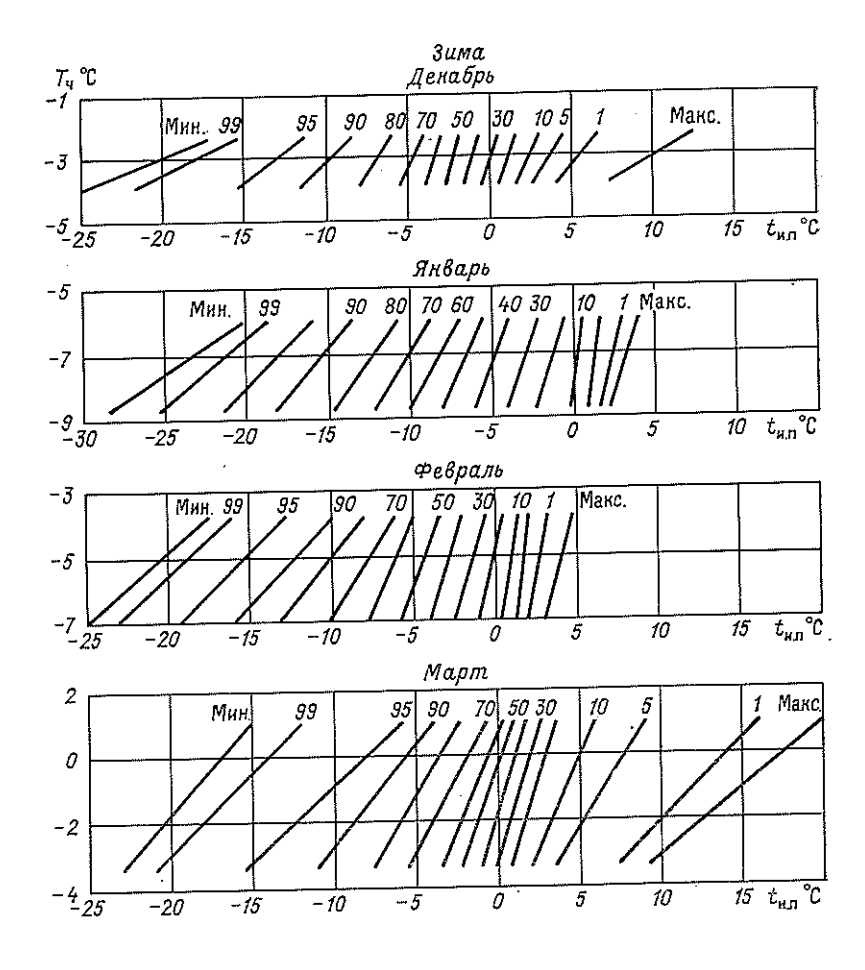
skliauto radiacija Lietuvos TSR teritorijoje - LTSR MA Geologijos ir geografijos instituto Moksliniai pranesimai, 2 t., Vilnius, 1955, p. 73-85.

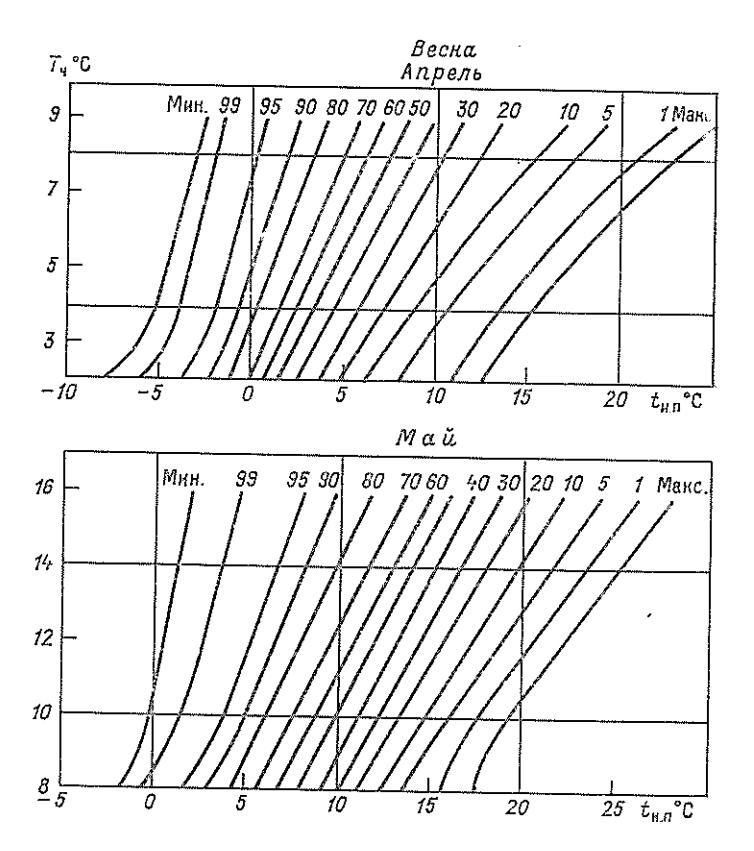
69. Scemeliovas V. Meteorologija Lietuvoje iki 1940 m.— Hidrometeorologiniai Straipsniai, Vilnius: Periodika, 1970, p. 5—12.

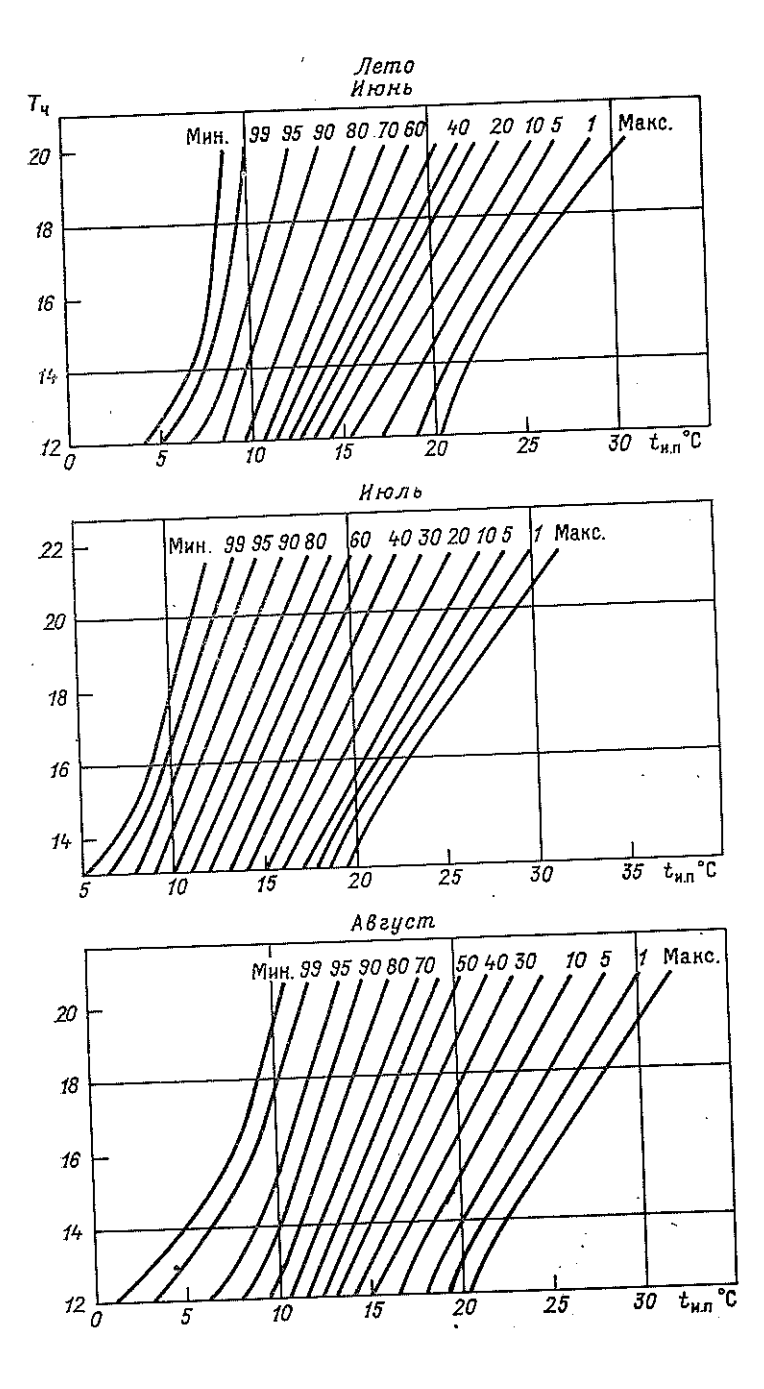
- 70. Šidlauskaite S. Kai kurie aeracinio rezimo klausimai (tiriant Vilniaus mieste). Hidrometeorologiniai straipsniai, 1977, 8 d., 17—20 p.
  71. Wahlen E. Wahle Tagesmittel und Tägliche Variation der Temperatur an 18 Stationen des Russischen Reiches. St. Peterburg, 1887. 1014 s.
- 72. Żemaitytė A. Kelionė paskuį miesta (Vilnius ateityje). Literatura ir Menas, 1978, Nr. 52 (1674), p. 11.

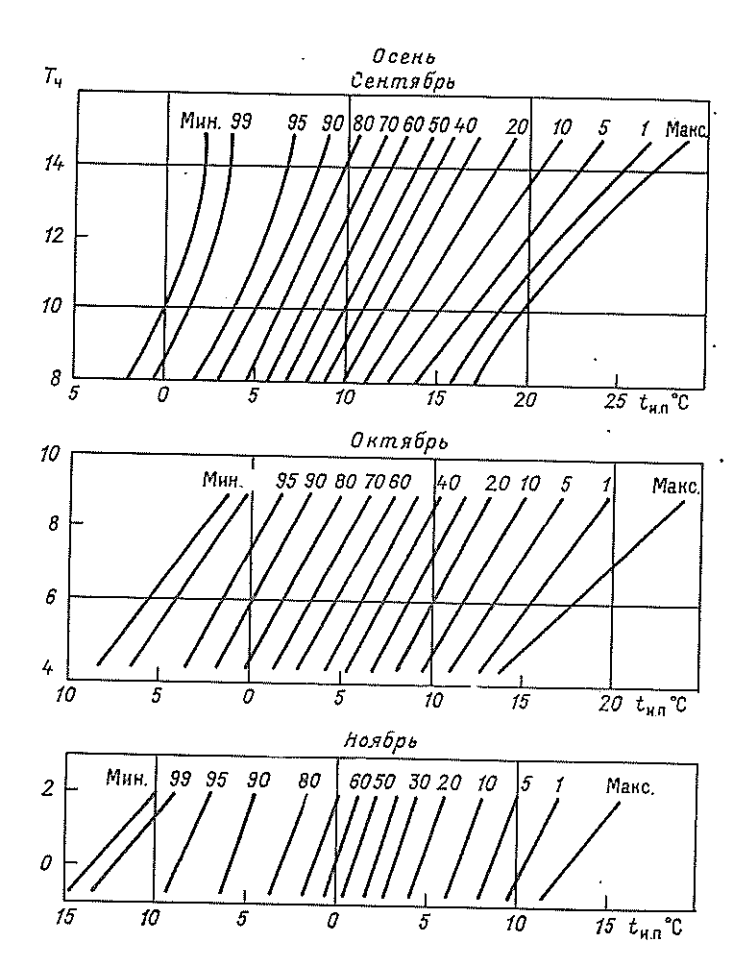
#### приложение і

#### НОМОГРАММЫ ДЛЯ РАСЧЕТА ТЕМПЕРАТУРЫ ВОЗДУХА РАЗЛИЧНОЙ ИНТЕГРАЛЬНОЙ ПОВТОРЯЕМОСТИ





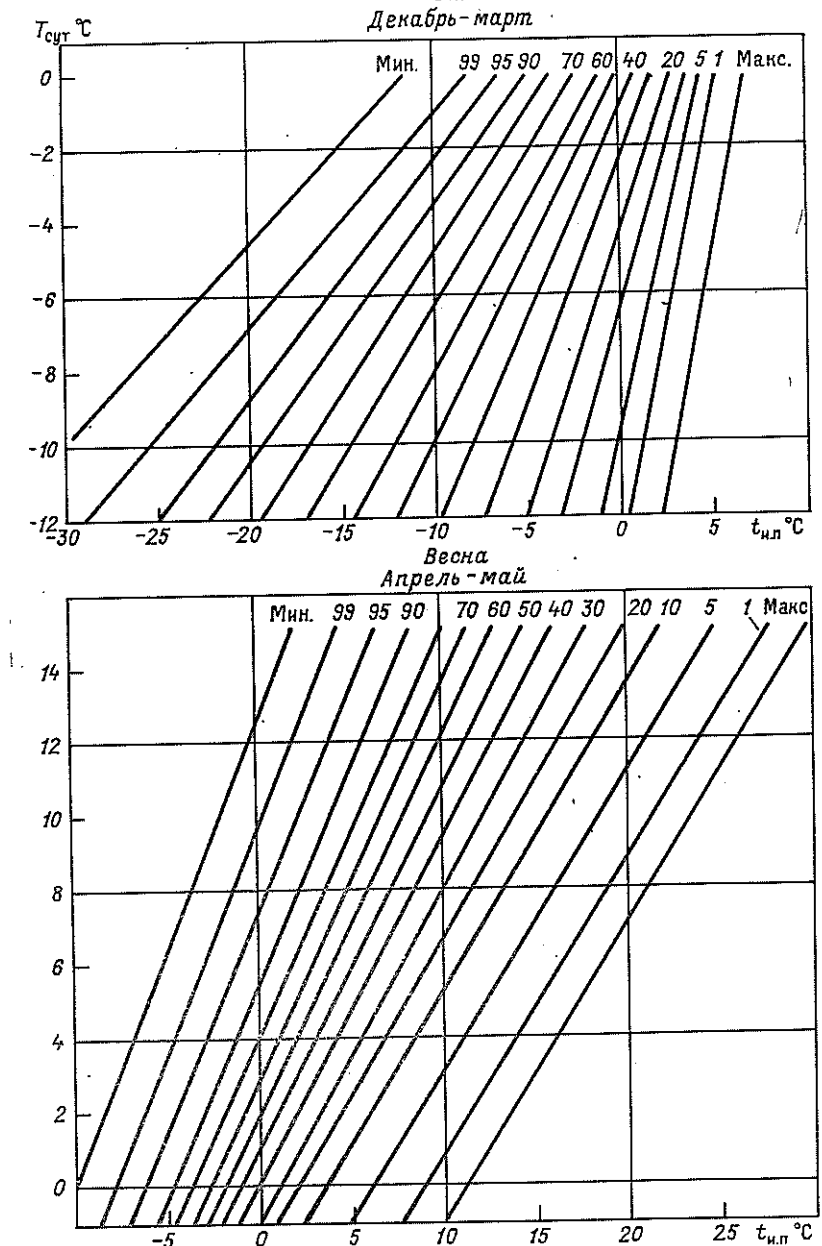


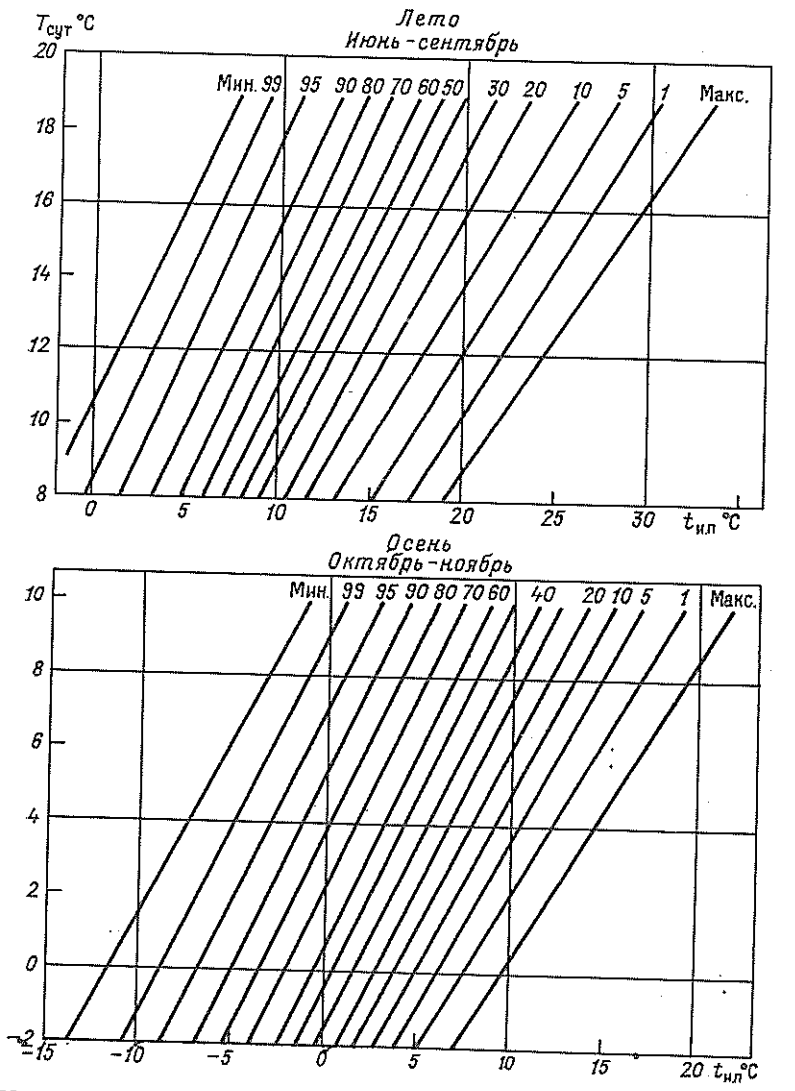


Номограмма для расчета температуры воздуха различной интегральной повторяемости по срокам в г. Вильнюсе.  $p_{
m H}$  — ежечасная средняя многолетняя температура воздуха,  $t_{
m H,\ H}$  — температура

воздуха различной интегральной повторяемости.







Номограмма для расчета температуры воздуха различной интегральной повторяемости по числам месяца в г. Вильнюсе.

 $T_{\mathrm{CYT}}$  — средняя многолетняя температура отдельных суток,  $t_{\mathrm{H,\ R}}$  — температура возлуха различной интегральной повторяемости.

#### приложение 2

### ТАБЛИЦЫ КЛИМАТИЧЕСКИХ ДАННЫХ РАДИАЦИОННЫЙ И СВЕТОВОЙ РЕЖИМ

Таблица 1

## Продолжительность солнечного сияния в Каунасе, обсерватория (1924—1964 гг.)

				<u> </u>				
		Продол	жительн	ость, ч		Отнои н	ение действ возможной	ительной , %
Месяц	средияя	наиболь- шая	год	наимень- шая	год	среднее	максималь- ное	минималь- ное
I II III IV V VI VII VIII IX X XI XII	47 57 137 185 258 276 272 232 167 98 37 30	110 106 222 266 375 383 344 322 237 186 68 60	1937 1929 1956 1961 1947 1940 1963 1944 1934 1949 1935 1935	9 13 52 76 137 204 196 162 100 50 14 5	1938 1945 1934 1956 1962 1925 1960 1956 1957 1939 1960 1960	18 23 40 46 55 58 56 53 47 33 16 15	45 41 56 59 77 81 72 74 68 64 30 30	4 5 15 27 38 43 44 40 32 17 6 2

Таблица 2

# Характеристики солнечного сияния, месячные и годовые суммы радиации (МДж/м²) и среднее альбедо в Каунасе (1956—1975 гг.)

Характеристика	I	11	III	IV	v	VI	ΛΠ	VIII	IX	х	ΙX	XII	Год
Продолжитель-	41	59	136	179	255	275	274	239	169	96	38	29	1790
ность солнечного сияния (сумма за месяц в часах) Отношение (%) действительной продолжительности солнечного сияния к возможной	18	23	39	44	54	57	56	54	47	32	16	14	40
Радиация прямая на пер- пендикуляр-	54	101	260	306	448	503	490	441	306	147	54	46	3156
ную поверх- ность прямая на го- ризонталь- ную поверх- ность	13	34	126	159	268	318	285	226	142	50	13	8	1642

Характеристика	I	11	III	ΙV	v	VΙ	VII	VIII	IX	X	ΧI	хи	Год
рассеянная суммарная отраженная поглощенная Баланс Альбедо, %	42 55 34 21 —29 59	149 67	277 122 155	356 63 293	540 109 432	594 126	570 117 452	456 96	159 301 63 235 126 22	92 142 29 109 29 21	38 51 17 34 —13 21	29 37 17 17 —29 51	1851 3493 860 2619 1483 25

Таблица 3 Экстремальные суммы (МДж/м²) прямой, суммарной радиации и радиационного баланса в Каунасе (1956—1975 гг.)

	П ₁ на	рямая горизс поверх	нтальн	Л10 ИИ	Сум	марная	радна	тня	Радн	зционн	ый бал	танс
Месяц	макси- мальная	1.02	минималь- ная	F0.R	макси- мальная	гед	минималь- ная	год	макси- мальная	год	минималь- ная	год
IIIIIIIV VVIIIVIIIX XXIXII	21 54 230 323 411 452 398 323 226 80 20 17 2011	1969 1975 1956 1961 1971 1966 1963 1959 1975 1968 1972 1963	13 42 54 126 172 142 122 84 4 0 0 1307	1975 1961 1970 1956 1962 1974 1974 1956 1962 1974 1974 1974	71 151 394 499 675 746 679 566 360 168 71 46 3884	1963 1956 1956 1961 1971 1966 1963 1959 1975 1965 1969 1963	34 71 189 243 406 457 423 348 321 80 34 21 3142	1957 1961 1967 1956 1962 1974 1974 1956 1957 1974 1971 1973	—13 130 251 364 398 377 310 161 50 4 —13 1784	1957 1974 1973 1963 1971 1966 1959 1958 1957 1959 1970 1959	-50 -29 -8 134 210 243 218 189 92 8 -29 -50 1249	1969 1968 1956 1970 1962 1974 1974 1974 1962 1961 1965 1961

Таблица 4 Солнечная радиация (МДж/м²) на вертикальную поверхность в Каунасе (1956—1975 гг.)

Ориента- ция поверх- ности	I	11	III	ΙŲ	v	VI	VII	VIII	1X	х	ΧI	XII	Год
						Пря	мая						
C CB B IOB IO IO3 3 C3	0,1 8 42 59 46 13 0,4	2 21 63 88 72 25 2	17 38 155 193 159 88 21	34 92 138 138 126 80 34	21 75 142 163 142 151 122 67	38 96 163 172 134 155 142 88	25 84 147 159 130 147 130 71	8 46 122 163 159 159 113 50	25 88 151 172 147 80 21	34 84 105 80 34 4	0,4 8 34 50 34 13 0,4	0,04 8 34 50 34 8 0,04	871 1358 1420 1310 848

#### Продолжение табл. 4

Орнента- ция поверх- ности	1	11	III	ΙV	V	vi	VII	AIII	IX	Х	ΧI	XII	Год
C CB B ЮВ	42 38 46 80	75 75 96 138	142 159 214 293	142 168 222 268	226 272 331 356	256 306 364 377	рная 243 293 348 360	184 218 285 327 331	117 138 201 264 289	67 67 96 147 168	29 29 38 63 80	25 25 29 59 71	1548 1788 2270 2732 2837
Ю Ю3 3 С3	101 84 50 38	163 142 101 75	331 298 226 159	276 260 210 168	344 344 314 264	344 360 344 298	339 352 331 281	323 276 218	260 193 138	142 92 67	63 38 29	59 29 25	2687 2204 1760

#### Таблица 5

## Прямая и рассеянная освещенность при ясном небе (клк) на 15-е число каждого месяца в Каунасе (1956—1963 гг.)

Время, ч мин	I	II	III	IV	v	VI	VII	VIII	ΙX	Х	IX	XII
6 30 9 30 12 30 15 30 18 30	5,1 13,4 2,5	Прям 13,9 26,4 8,4	ая осв   1,6   30,4   45,4   20,5	ещенно 11,2 48,4 60,3 36,7 1,3	19,6 58,3 69,7 43,1 2,5	22,8 60,5 74,9 49,5 9,4	21,1 58,7 73,7 47,9 9,3	ой по 11,1 48,2 61,9 36,6 3,8	4,2 32,9 47,4 22,4	22,6 29,8 8,9	10,0 15,9 1,7	3,6 9,0
				Pacce	еянная	освец	ценно	СТЬ		•		
6 30 9 30 12 30 15 30 18 30	5,7 9,8 4,1	9,8 12,3 7,4	4,1 11,5 13,1 9,0	8,2 13,9 13,9 11,5 3,3	9,8 13,9 14,8 13,9 6,6	10,7 14,8 14,8 13,9 8,2	9,0 13,1 13,1 11,5 6,6	8,2 13,1 13,1 12,3 4,1	4,9 11,5 11,5 9,0	9,0 9,8 6,6	6,6 8,2 3,3	4,9 7,4

### ОСОБЕННОСТИ АТМОСФЕРНОЙ ЦИРКУЛЯЦИИ

#### Таблица 6

## Среднее месячное и годовое атмосферное давление (г $\Pi$ а) на уровне моря

			-	J J	-				
Месяц	Среднее	Наиболь- шее	Год	Наимень- шее	Год	Абс. максимум	Год	Абс. минимум	Год
I II IV V V	1017,4 1016,0 1016,2 1014,0 1014,8 1013.6	1031,1 1029,4 1026,8 1019,9 1020,3 1017,4	Виль 1972 1929 1974 1960 1947 1973	1006,2 1001,5 1008,5 1007,2 1009,9 1007,7	1—1975 1921 1935 1944 1927 1928 1933	1055,4 1047,5 1046,7 1040,7 1035,4 1031,4	1929 1945 1935 1921 1943 1937	959,4 967,7 972,5 982,3 985,0 988,4	1931 1962 1956 1943 1923 1933

	***************************************								
Месяц	Среднее	Нанболь- шее	Год	Наимень- шее	Год	Абс. максимум	Год	Абс. минимум	Год
VIII VIII IX X XI XII Год	1012,3 1013 5 1015,6 1016,4 1016,3 1015,9 1015,1	1018,3 1019,0 1025,1 1028,9 1027,3 1031,2 1017,4	1967 1973 1949 1951 1941 1972 1929	1005,3 1008.0 1009,2 1007,3 1004,9 1004,9 1012,2	1930 1956 1957 1974 1969 1965 1925	1030,5 1031,5 1037,2 1044,9 1051,4 1055,0 1055,4	1923 1949 1960 1964 1941 1946 1929	989,1 980,5 988,5 980,2 973,0 967,9 959,4	1922 1933 1940 1934 1973 1957 1931
			Кау	пас (1922	1974	rr.)			
I III IV V VII VIII IX X XI XII Foa	1017,2 1015,2 1015,7 1013,7 1014,9 1013,6 1012,3 1013,5 1015,7 1015,6 1015,7 1014,8	1030,4 1029,2 1026,5 1019,2 1020,5 1017,7 1018,2 1019,9 1025,0 1028,5 1026,6 1029,3 1017,8	1972 1929 1974 1960 1947 1930 1967 1939 1949 1951 1941 1972 1972	1005,4 1001,4 1008,0 1006,8 1010,1 1008,7 1006,2 1008,2 1008,3 1006,6 1004,1 1003,6 1011,8	1959 1935 1947 1927 1928 1925 1930 1945 1957 1923 1969 1965 1925	1056,7 1046,7 1048,0 1039,1 1035,8 1031,3 1031,0 1032,4 1037,3 1043,5 1053,6 1054,5 1056,7	1929 1945 1935 1947 1943 1950 1948 1944 1936 1964 1941 1946 1929	956,9 964,9 971,2 983,4 983,0 989,7 984,8 984,0 987,2 978,7 972,7 965,0 956,9	1931 1962 1956 1943 1928 1933 1922 1933 1940 1930 1956 1957 1931

Таблица 7 Среднее месячное и годовое атмосферное давление (гПа) на уровне станции

Месяц	Среднее	Наиболь- шее	Год	Наимень- шее	Год	Абсол. максимум	Год	Абсол. минимум	Год
		Вильнюе	, ropo	д (Н=10	3,9 м,	1921—197	5 гг.)		
II III IV VIII VIII IX XI XII TOA	1003,7 1002,4 1002,9 1001,0 1002,1 1001,2 1000,1 1001,1 1002,9 1003,4 1003,0 1002,4 1002,1	1017,2 1015,6 1013,3 1003,8 1007,5 1005,0 1003,6 1012,3 1015,7 1013,8 1017,5 1004,4	1972 1929 1974 1960 1947 1973 1967 1942 1949 1951 1941 1972 1929	992,6 988,1 995,3 994,3 995,4 995,7 995,6 994,4 991,7 991,5 999,2	1921 1935 1944 1927 1928 1933 1930 1956 1957 1974 1969 1965 1925	1041,4 1033,1 1033,3 1028,0 1022,3 1018,7 1017,8 1018,5 1024,4 1031,2 1037,1 1040,3 1041,4	1929 1945 1935 1921 1943 1937 1969 1949 1960 1964 1941 1946 1929	948,0 955,3 959,8 970,4 979,3 976,4 976,9 969,7 976,0 969,1 960,4 955,3 948,0	1931 1962 1956 1943 1944 1933 1935 1935 1940 1934 1973 1957 1931
		Вильню	. AMC	CΓ (H=19	1,7 м,	1921—19	75 гг.)		
	992,2 990,8 991,3	1005,5 1003,9 1001,6	1972 1929 1974	981,2 976,7 983,8	1921 1935 1944	1028,7 1021,0 1021,6	1929 1945 1935	937,4 944,3 948,3	1931 1962 1956

#### Продолжение табл. 7

Месяц	Среднее	Наиболь- шее	Год	Наимень- нее	Год	Абсол. максимум	Год	Абсол. минимум	Год
IV VI VII VIII IX X XI XII Fon	989,9 991,2 990,4 989,3 990,4 992,0 992,3 991,6 990,8 991,0	995,6 996,6 994,1 995,2 995,8 1001,3 1004,5 1002,3 1005,7 993,3	1960 1947 1973 1967 1973 1949 1951 1941 1972 1929	983,2 986,5 984,6 982,5 985,0 985,8 983,4 980,5 980,1 988,2	1927 1928 1933 1930 1956 1957 1974 1969 1965 1925	1016,4 1011,0 1007,7 1007,0 1007,4 1013,3 1019,5 1025,1 1028,0 1028,7	1921 1943 1937 1969 1949 1960 1964 1941 1946 1929	959,5 968,8 966,1 966,5 959,2 965,4 949,7 944,6 937,4	1943 1923 1933 1935 1933 1940 1934 1973 1957

### Каунас, обсерватория (H = 85,6 м, 1922—1974 гг.)

I III III IV VIII VIII IX X XI XII FOA	1006,0 1004,0 1004,7 1003,1 1004,4 1003,4 1002,1 1003,3 1004,8 1005,0 1004,7 1004,6 1004,1	1019,1 1017,9 1015,4 1008,5 1010,0 1007,4 1007,9 1009,6 1014,7 1017,7 1015,6 1018,1 1007,1	1972 1929 1974 1960 1947 1930 1967 1939 1949 1951 1941 1972 1972	994,3 990,4 997,1 996,2 999,7 998,5 996,0 997,9 996,0 993,4 992,7 1001,2	1959 1935 1947 1927 1928 1925 1930 1945 1957 1923 1969 1965 1925	1044,5 1035,2 1036,8 1028,0 1025,0 1020,9 1020,8 1022,4 1026,6 1032,3 1042,5 1042,6 1044,5	1929 1945 1935 1947 1943 1950 1948 1944 1936 1964 1941 1946 1929	946,8 954,5 960,8 973,0 972,8 974,8 974,1 977,0 968,5 962,2 954,7 946,8	1931 1962 1956 1943 1928 1933 1922 1933 1940 1930 1956 1957
----------------------------------------	--------------------------------------------------------------------------------------------------------------------------------	--------------------------------------------------------------------------------------------------------------------------------	------------------------------------------------------------------------------------------------------	-----------------------------------------------------------------------------------------------------------	------------------------------------------------------------------------------------------------------	--------------------------------------------------------------------------------------------------------------------------------	------------------------------------------------------------------------------------------------------	----------------------------------------------------------------------------------------------------------	----------------------------------------------------------------------------------------------

Таблица 8
Повторяемость ветра (в % от случаев с ветром) и штилей (в % от всего количества наблюдений) в Каунасе, агрометстанция (1948—1975 гг.)

Месяц	С	СВ	В	ЮВ	Ю	юз	3	СЗ	Штиль
І	8 9 10 11 15 13 10 10 6 7 5 5	7 7 11 10 13 11 9 8 6 5 5 6 8	8 10 12 10 10 8 8 7 6 7 10 8 9	16 18 16 16 11 10 8 10 14 16 23 14	23 16 14 16 10 10 10 11 16 17 17 22 15	17 14 13 11 11 12 16 17 19 19 18 22 16	14 17 16 14 16 22 24 23 22 19 15 16	7 9 8 12 14 14 15 14 11 10 7 7	6 6 7 5 8 9 11 14 11 8 3 4 8

Таблица 9 Средняя скорость ветра (м/с) по направлениям в Каунасе, агрометстанция (1949—1975 гг.)

Месяц	С	СВ	. В	юв	Ю	103	3	СЗ
I III IV V VI VII VIII IX X XI XII Год	3,2 3,7 3,5 3,4 3,0 2,8 2,9 2,4 2,5 3,3 3,3 3,1	3,5 3,4 3,6 3,3 3,2 3,2 2,7 2,5 3,6 3,2 3,2 3,2 3,2 3,2 3,2 3,6 3,6 3,6 3,7 3,7 3,7 3,7 3,7 3,7 3,7 3,7 3,7 3,7	4,1 4,3 3,6 3,8 3,5 3,0 2,7 2,9 2,9 3,5 4,4 4,3 3,6	4.7 4.9 4.3 4.4 3.7 3.3 3.0 3.2 3.3 4.0 5.3 4.6 4.2	4,0 4,3 4,3 4,2 3,6 3,4 3,1 3,2 3,3 3,7 4,4 4,0	4,8 4,2 4,3 3,8 3,4 3,3 3,4 3,3 3,6 4,0 4,0 4,6 4,0	4,6 4,3 4,4 3,9 4,0 3,7 3,5 3,4 3,6 3,5 4,4 4,0	3,9 3,7 4,3 3,6 3,2 3,1 3,2 2,9 3,4 3,7 4,1 3,9 3,5

Таблица 10 Средняя месячная и годовая скорость ветра (м/с) в различные часы суток (1966—1975 гг.)

				Время с	уток, ч				
Месяц	00	03	06	09	12	15	18	21	Средняя
			В	ильнюс,	AMCL				·
І ІІ ІV VI VII VIII IX XI XII Год	4,3 3,8 2,9 3,2 2,8 2,4 2,1 2,8 3,3 4,1 4,3 3,3	3,9 4,2 3,6 3,1 2,4 2,3 2,1 2,0 2,3 3,2 4,1 4,1 3,1	4,3 4,2 3,5 3,1 2,5 2,2 2,1 2,6 3,2 4,3 4,2 3,2	4,3 4,3 3,8 3,6 3,2 2,8 2,5 2,5 4,5 4,2 3,6	4,2 4,6 4,3 4,5 4,0 3,9 3,7 3,7 4,4 4,7 4,5 4,2	4,4 4,9 4,8 5,0 4,4 4,3 4,1 4,1 4,5 4,6 4,9 4,5 4,6	4,3 4,7 4,5 4,7 4,3 4,1 4,0 4,0 4,1 4,6 4,4 4,3	4,1 4,3 3,9 3,4 3,1 3,0 2,8 2,4 2,9 3,5 4,4 4,3 3,5	4,2 4,4 3,9 3,8 3,3 3,2 3,0 2,9 3,3 3,7 4,5 4,3 3,7
Y	. 00		Кауна		метстані	•			
І ІІ ІV VI VII VIII IX XI XII ХІІ	3,6 3,7 3,5 2,9 2,3 2,1 1,6 2,4 3,2 4,1 3,8 2,9	3,7 3,7 3,4 3,1 2,2 2,1 1,8 1,6 2,4 3,2 4,2 3,9 2,9	3,7 3,8 3,4 2,8 2,3 2,1 1,8 1,6 2,4 3,2 4,1 3,9 2,9	3,8 3,9 3,6 3,4 2,9 2,7 2,5 2,8 3,9 3,9 3,3	3,9 4,1 4,2 4,3 3,9 3,7 3,4 3,2 3,7 3,9 4,4 3,9 3,9	4,0 4,4 4,6 4,8 4,4 3,9 3,8 3,6 4,0 4,4 4,4 4,0 4,2	3,6 4,0 4,3 4,2 4,0 3,7 3,5 3,2 3,3 4,1 3,7 3,8	3,8 3,9 3,5 3,1 2,7 2,5 2,3 1,7 2,5 3,4 4,2 3,9 3,1	3,8 3,9 3,8 3,6 3,1 2,9 2,7 2,4 2,9 3,5 4,2 3,9 3,4

Таблица 11 Средняя и наибольшая непрерывная продолжительность (ч) различных скоростей ветра

	нŖ	варь	• Ап	рель	И	ОЛЬ	Окт	гябрь
Скорость ветра, м/с	среднее	нанболь- шее	среднее	наиболь- шее	среднее	наиболь- шее	среднее	наиболь- шее
	1	Вильнюс,	AMCF (	(24 срока	) (1964—	-1973 rr.)	+	
<1 <2 <3 <4 >5 >8 >12 >16	3,7 4,3 4,8 6,5 11,4 2,8 3,3 2,2	31 66 91 96 148 56 13	2,3 2,6 3,2 4,6 8,4 2,3 2,5 1,8	12 16 32 40 152 26 11 5	2,4 2,9 4,2 6,6 5,1 1,7 2,1 0	23 25 60 62 86 16 7	3,1 3,5 4,2 6,5 8,6 2,2 2,6 1,0	45 49 49 179 147 34 8
	В	ильнюс, д	AMCF (8	в сроков)	(1934—	1973 rr.)		
<1 <2 <3 <4 ≥5 ≥8 ≥12 ≥16	7,6 8,4 10,2 13,3 23,7 6,4 5,8 3,0	30 66 93 93 147 60 15	4,6 5,7 7,2 9,5 17,5 8,2 4,6 6,0	12 27 36 51 153 78 9 6	5,0 6,2 9,6 13,7 10,0 4,4 4,5 0	21 48 63 111 90 24 9	6,5 7,3 9,7 13,6 17,2 6,5 4,7 3,0	45 48 66 153 147 69 9
	Каун	ac, arpox	иетстанц	ия (8 сро	жов) (19	66—1975	rr.)	
<1 <2 <3 <4 >5 >8 >12 >16	8,8 11,3 18,2 26,6 13,9 7,9 7,6 9,0	45 66 141 219 138 54 21	6,9 9,3 14,3 21,1 9,7 7,7 9,0 4,0	21 60 84 156 75 30 21 6	8,3 12,2 21,1 30,7 6,8 4,4 6,0	39 87 186 282 42 9 6	7,7 11,0 14,7 21,9 10,1 5,7 7,5 3,0	45. 90. 126 228 66 27 12

Таблица 12 Повторяемость (%) направлений ветра на разных высотах над поверхностью земли в Каунасе, обсерватория (1959—1975 гг.)

Направле-		03	ч			1	5 ч	
ние	14 M	100 м	400 м	900 м	14 M	100 м	400 м	900 м
			9	Январь				
C CB B	8 2 8	6 5 5	9 6 6	12 6 6	8 2 11	6 5 6	10 5 6	9 5 5

				menne i	40% 12			
Направле-		03	ч				15 ч	
ние	14 м	100 м	400 м	900 м	14 м	100 M	400 м	900 м
ЮВ	7	15	12	10	7	16	11	11
Ю	35	28	14	13	37	26	16	17
ЮЗ	11	21	21	21	9	21	23	20
3	16	15	21	20	15	13	17	17
C3	1	6	11	12	4	7	11	15
Штиль	13	3	1	0,4	8	2	1	0,2
				Апрель			•	. ,
C	8	7	8	9	9	7	1 8	7
СВ	2	6	7	6	3	6	7	6
В	12	9	9	7	14	9	11	9
ЮВ	7	14	12	10	6	15	15	13
Ю	26	23	21	19	25	18	18	19
ЮЗ	6	16	15	19	8	18	15	18
3	16	14	14	15	20	17	14	16
C3	3	10	15	15	4	9	11	12
Штиль	20	2	0,2	0	12	2	0,9	0,6
				Июль				
C	6	6	9	9	9	1 7	8	8
CB	3	7	8	8	3	6	7	7
В	7	7	8	6	1	7	10	8
ЮВ	3	10	10	9	4	7	7	9
Ю	19	17	13	13	17	13	12	13
Ю3 3	10 21	19	17	19	12	25	19	20
C3	8	21 11	20 14	19	29	26	25	22
Штиль	29	1	0,2	16 0,2	3 17	9 2	12 0,7	13 0
•	į	- '			11	2	0,7	U
C I	d 1	G I		ктябрь				
СВ	$\begin{bmatrix} 4 \\ 2 \end{bmatrix}$	$\begin{bmatrix} 6 \\ 2 \end{bmatrix}$	10	11	6	6	7	7
В	6	5	6	5 4	2 8	2 4	3	4
ЮВ	5	10	8	7	6	11	6 9	3
Ю	27	20	13	11	26	20	14	8 14
ЮЗ	10	27	21	21	19	26	21	20
3	23	21	23	23	27	21	24	23
C3	5	9	15	18	4	10	16	21
Штиль	19	0,4	0,4	0,2	11	0,4	0	0
l	ļ	1	j			l	ļ	

Таблица 13 Скорость ветра на различных высотах над поверхностью земли в Каунасе (высота станции 83 м над уровнем моря) (1959—1975 гг.)

	Busers   Busers													
Время, ч	Высота,	I	II	III	ıv	V	VI	VII	VIII	ΙX	x	ΧI	XII	Год
		·				Среді	няя скор	ость						
03 15	14 100 400 900 14	3,4 7,2 9,9 10,0 3,6	3,3 7,2 9,9 9,8 3,6	3,1 7,2 9,5 9,2 3,6 6,6 8,8 9,3	2,7 6,7 9,2 8,6 3,6	2,2 6,2 7,9 7,2 3,1	2,2 6,4 8,5 7,6 3,1	2,0 6,2 8,0 7,4 3,0	2,2 6,8 7,9 7,6 3,1	2,6 6,8 9,1 8,8 3,5	2,9 7,3 9,8 9,4 3,3	3,5 7,9 10,7 10,5 3,7	3,4 7,5 10,3 10,3 3,6	2,7 6,9 9,2 8,8 3,4 6,4 8,3 8,7
	100 400 900	6,9 10,2 10,3	6,7 9,8 10,2	6,6 8,8 9,3	6,2 7,9 8,1	5,6 6,7 6,9	5,6 6,5 6,9	5,8 6,7 7,0	5,8 6,5 7,1	6,6 7,7 8,7	6,6 8,8 9,6	7,8 10,3 10,6	7,3 10,3 10,4	8,3 8,7
						Сред	ний мак	симум						
03	14 100 400 900	8 13 20 22	$\begin{bmatrix} 8 \\ 14 \\ 21 \\ 23 \end{bmatrix}$	8 14 20 19	7 13 19 20	6 12 18 17	6 11 18 18	6 11 18 18	6 11 16 16	7 12 19 20	8 14 20 21	8 13 21 22	8 14 21 23	7 13 19 20 8 13 18 19
15	14 100 400 900	8 13 21 22	7 13 20 22	8 13 18 20	8 13 18 17	8 12 15 16	7 12 14 16	6 12 14 15	7 12 14 15	8 13 17 19	8 13 19 21	8 14 20 22	9 14 20 22	13 18 19
						Абсолю	отный м	аксимум						
03	14 100 400 900	12 20 23 34	17 23 32 34	14 20 25 26 14	10 16 24 26	10 16 26 24	10 15 23 27	9 15 22 26	10 14 20 24	12 14 23 29	13 19 29 27	11 16 24 29	12 20 34 32	17 23 34 34
15	14 100 400 900	10 20 23 29	15 20 28 28	14 19 23 27	12 17 26 25	10 13 18 22	12 17 19 20	9 18 18 19	11 15 17 21	12 16 22 25	12 17 24 30	13 18 26 30	12 18 24 28	15 20 28 30

### термический режим

Таблица 14 Температура воздуха в Вильнюсе (1918—1975 гг.)

( Tex	инература, °С	I	II	III	IV	v	VI	VII	VIII	IX	x	ΧI	XII
Средняя месячная	Нанболее высокая Год Средняя Нанболее низкая Год	0,2 1925 —5,9 —14,5 1940	1,3 1925 —5,1 —16,2 1929	4,2 1921 —0,9 —8,8 1942	11,3 1920 5,9 0,5 1929	16,9 1963 12,5 8,2 1965	19,1 1956 15,8 11,7 1928	20,8 1959 17,7 14,8 1974	20,2 1938 16,6 14,2 1923	14,9 1955 12,3 10,2 1959	9,5 1929 6,8 2,9 1946	5,7 1926 1,1 —5,1 1919	2,3 1960 —3,2 —8,9 1933
Средний минимум	Нанболее высокий Год Средний Наиболее низкий Год	-1,2 1925 -8,6 -19,5 1940	—0,7 1925 —8,2 —21,0 1929	0,6 1938 4,8 14,9 1942	12,5 1968 2,0 —3,9 1929	11,0 1963 7,2 3,8 1965	13,7 1956 10,6 7,6 1929	15.7 1972 12.9 11.0 1974	14,4 1963 11,9 5,0 1972	10,9 1955 8,2 5,5 1973	6,7 1934 3,7 0,0 1946	3,4 1926 —0,8 —6,5 1921	0,9 1960 —5,5 —13,4 1933
Абсолютный минимум	Наиболее высокий Год Средний Наиболее низкий Год	4,2 1925 —21,2 —35,1 1956	3,5 1939 —19,9 —35,8 1956	6,6 1945 —14,9 —29,6 1964	23,5 1968 4,9 13,4 1942	20,1 1958 0,3 3,3 1918	19,7 1924 4,5 0,4 1928	21,2 1964 8,0 4,6 1974	20,0 1951 6,5 1,0 1966	17,8 1951 1,4 —1,2 1958	13,3 1953 —3,5 —14,4 1957	10,9 1927 —9,5 —22,5 1919	6,1 1937 —16,8 —27,4 1930
Средний максимум	Наиболее высокий Год Средний Наиболее низкий Год	1,9 1925 —3,3 —11,2 1942	3,5 1925 —0,3 —11,1 1929	9,0 1921 2,6 —3,0 1942	16,6 1918 10,7 5,6 1941	23,0 1963 18,1 13,1 1965	24,9 1956 21,3 16,3 1928	26,9 1959 23,1 19,1 1974	26,0 1951 21,8 18,5 1923	20,9 1934 17,3 13,9 1973	13,2 1929 10,4 6,1 1922	7,7 1926 3,5 2,6 1919	4,3 1960 —0,9 —6,3 1969
Абсолютный максимум	Наиболее высокий Год Средний Наиболее низкий Год	7,9 1921 3,6 —27,0 1956	9,7 1925 3,9 —24,4 1929	17,6 1973 10,6 —15,6 1971	28,2 1950 20,3 —3,3 1923	31,8 1931 26,6 3,3 1935	33,4 1940 28,6 2,8 1928	35,4 1959 29,3 13,1 1922	34,3 1962 28,9 12,9 1969	29,8 1954 25,3 3,8 1973	24,5 1940 17,9 —3,8 1957	14,9 1925 10,4 —9,3 1932	10,5 1959 5,1 —20,5 1960

Таблица 15 Ежедневная средняя  $\bar{t}$  и экстремальная температура воздуха в Вильнюсе (1918—1975 гг.)

	Средняя суточная					,				<del></del>	1				
		Сред	няя сут	пая			Mi	инмальн	ая			Ma	ксималь	ная	
Дата	наиболее высокая	год	ī	наиболее низкая	дол	нанболее низкая	∑год	ŧ	нанболее высокая	год	наиболее высокая	год	ŧ	наиболее низкая	год
							Янва	рь							
1 2 3 4 5 6 7 8 9 10 11 12 13 14 15 16 17 18 19 20 21 22 23 24 25 26	2,2 4,5 5,1 4,8 5,3 5,3 5,3 6,9 2,9 4,4 7,1 8,5 3,6 9,2 9,9 4,4 7,1 8,7 8,7 1,9 1,9 1,9 1,9 1,0 1,0 1,0 1,0 1,0 1,0 1,0 1,0 1,0 1,0	1923 1959 1925 1925 1937 1975 1932 1952 1957 1921 1936 1946 1956 1925 1939 1939 1939 1949 1962 1959 1959 1959 1959	-5,4 -5,1 -4,7 -4,6 -4,5 -4,9 -6,0 -5,7 -6,2 -6,0 -5,7 -5,5 -6,4 -6,3 -5,7 -5,1 -5,1 -6,1 -6,6 -6,6 -6,6 -7,2	-28,2 -28,9 -30,3 -26,4 -20,3 -19,9 -20,7 -20,7 -29,0 -28,9 -26,7 -20,7 -22,5 -21,2 -33,6 -27,9 -24,4 -20,1 -25,0 -25,9 -22,2 -26,8	1941 1941 1941 1941 1945 1935 1940 1940 1950 1972 1968 1972 1940 1963 1951 1941 1942 1942 1942 1943 1941	-28,1 -28,8 -30,2 -26,3 -24,7 -23,6 -27,5 -30,8 -32,7 -37,2 -32,8 -32,5 -24,3 -36,2 -28,2 -26,6 -23,0 -25,6 -32,2 -25,7 -29,5 -29,5 -29,5	1941 1941 1941 1941 1924 1950 1940 1940 1950 1972 1968 1972 1968 1972 1940 1969 1942 1942 1942 1942 1942	-7,3 -7,7 -7,2 -7,0 -7,0 -7,0 -7,4 -8,4 -8,3 -8,8 -9,0 -8,9 -8,8 -8,3 -8,1 -8,4 -7,7 -7,7 -7,7 -8,9 -9,3 -9,4 -10,0	1,4 1,8 3,2 4,2 2,7 1,7 2,1 3,2 1,5 2,3 1,4 0,5 2,3 3,0 2,4 2,2 1,8 2,2 1,8 2,2 1,4 1,8 2,1 1,4	1923 1959 1949 1925 1937 1919 1921 1957 1957 1921 1946 1930 1956 1939 1925 1962 1962 1962 1959 1959 1959 1955 1975	4,6 4,4 7,5,7 5,7 6,4 5,7 6,9 7,6 5,9 5,0 4,7 5,3 4,2 6,3 5,3 4,6 7,3 5,3 3,3 3,3	1926 1922 1925 1925 1925 1975 1932 1957 1921 1946 1956 1925 1939 1939 1949 1918 1921 1959 1959 1959	-2,9 -2,8 -1,9 -2,2 -2,1 -2,3 -3,6 -3,2 -3,8 -3,7 -3,2 -3,3 -3,2 -2,9 -3,6 -2,6 -2,6 -3,1 -4,0 -3,9 -3,9 -3,9 -3,9 -3,9 -3,9 -3,4 -3,9 -3,4 -3,4 -3,4 -3,4 -3,4 -3,4 -3,4 -3,4	-19,6 -23,2 -16,9 -15,0 -16,8 -19,0 -22,6 -24,3 -24,0 -24,9 -20,1 -17,3 -19,7 -19,3 -19,5 -25,0 -14,8 -14,7 -17,1 -22,2 -18,0 -21,0 -16,6	1941 1941 1941 1941 1950 1940 1940 1940 1950 1972 1938 1972 1940 1969 1969 1942 1942 1942 1924 1924

Продолжение табл. 15

***************************************		Cpe,	циян сут	очная		1	M	нинмалы	Res		Максимальная					
Дата	наиболее высокая	год	ī	наиболее низкая	год	нанболее низкая	год	T T	наиболее высокая	год	наиболее высокая	год	ī	нанболее низкая	год	
27 28 29 30 31	3,6 3,1 1,6 1,9 3,8	1923 1944 1971 1932 1934	5,8 6,3 6,1 6,7 6,9	$\begin{array}{c c} -24.1 \\ -22.5 \\ -18.3 \\ -26.0 \\ -31.7 \end{array}$	1941 1941 1920 1954 1956	-25,3 -25,1 -22,3 -32,0 -35,1	1945 1945 1970 1954 1956	—9,8 —9,0 —8,6 —9,9 —9,9	2,3 1,6 0,7 1,3 1,6	1923 1932 1971 1955 1921	4,7 4,3 3,9 4,2 3,9	1923 1923 1932 1932 1948	-3,9 -3,6 -3,2 -4,0 -4,0	—17,4 —17,2 —16,0 —20,5 —27,0	1945 1945 1920 1956 1956	
	Февраль															
1 2 3 4 5 6 7 8 9 10 11 12 13 14 15 16 17 18 19 20 21 22	3,5 3,5 4,9 3,4 3,1 4,2 3,3 4,3 2,7 4,3 4,8 4,6 6,2 4,5 5,0 3,4 4,3 2,7 4,3 4,5 4,5 4,5 4,5 4,5 4,5 4,5 4,5 4,5 4,6 4,7 4,7 4,7 4,7 4,7 4,7 4,7 4,7 4,7 4,7	1948 1944 1948 1948 1938 1925 1957 1918 1925 1939 1925 1950 1925 1925 1950 1935 1935 1935	-6,1 -5,0 -4,7 -4,9 -5,2 -5,3 -6,2 -6,2 -5,4 -4,5 -4,5 -4,8 -5,2 -5,2 -4,7 -4,9 -5,5 -5,7 -5,7 -5,7 -5,7 -5,2 -4,7	-29,8 -18,2 -18,8 -19,0 -22,6 -26,8 -26,2 -28,0 -28,3 -25,1 -24,6 -20,2 -14,2 -16,6 -17,6 -18,4 -20,9 -18,4 -23,2 -20,4 -20,0 -17,2	1956 1970 1966 1966 1929 1929 1956 1956 1956 1956 1953 1954 1954 1954 1954 1954 1954 1956	-35,8 -26,4 -21,9 -26,8 -25,6 -32,9 -32,1 -34,9 -30,8 -31,8 -29,2 -29,9 -18,9 -22,5 -21,4 -26,2 -28,4 -23,8 -31,7 -28,2 -32,1 -26,7	1956 1929 1950 1940 1929 1940 1929 1929 1940 1956 1932 1953 1954 1954 1954 1954 1954 1954	—9,3 —7,8 —7,5 —7,8 —8,1 —8,8 —9,9 —9,2 —9,2 —9,2 —8,6 —7,2 —8,4 —8,3 —7,7 —7,5 —8,4 —8,5 —8,5	2,3 2,4 1,5 1,5 1,7 2,8 3,2 2,1 1,1 2,7 1,6 1,8 3,3 2,4 3,4 1,4 1,1 1,1 1,5	1948 1944 1948 1920 1938 1938 1939 1957 1957 1928 1928 1939 1950 1925 1925 1925 1925 1939 1935 1935	4,7 6,1 8,2 7,2 4,0 3,4 5,9 4,7 5,9 7,9 6,8 9,7 5,2 9,7 6,2 7,7 6,6 9,9 6,5	1925 1957 1948 1948 1946 1937 1939 1957 1957 1957 1925 1925 1925 1925 1925 1925 1925 1939	-3,4 -2,5 -2,3 -2,2 -2,4 -2,4 -2,6 -3,0 -3,2 -3,3 -3,0 -2,7 -1,8 -1,8 -2,0 -2,2 -1,7 -2,1 -2,6 -2,0 -2,0 -2,1 -2,1 -2,6 -2,0 -2,1 -2,1 -2,1 -2,1 -2,1 -2,1 -2,1 -2,1	-16,9 -14,2 -13,1 -15,9 -15,5 -21,4 -18,6 -22,4 -20,8 -19,5 -15,0 -12,1 -10,5 -14,2 -12,6 -11,5 -13,4 -15,9 -13,3 -11,4	1940 1929 1966 1966 1931 1929 1956 1929 1940 1940 1940 1953 1954 1940 1936 1947 1940 1936 1946	

Продолжение табл. 15

178		продолжение таол. то															
20			Сред	няя сут	очная			Mı	нимальн	ая		Максимальная					
	Дата	наиболсе высокая	год	ī	наиболее низкая	год	наиболее низкая	год	ï	наиболее высокая	год	наиболее высокая	год	ī	наиболее низкая	год	
	23 24 25 26 27 28	3,4 2,8 2,8 3,3 3,2 3,6	1936 1949 1935 1950 1922 1943	-4,5 -4,6 -4,6 -4,8 -4,4 -3,5	-16,8 -17,0 -14,7 -18,0 -18,9 -17,8	1954 1956 1932 1963 1929 1955	-26,6 -25,5 -20,0 -23,8 -28,9 -27,4	1963 1956 1954 1963 1963 1929	-7,6 -7,9 -7,7 -8,1 -8,1 -6,9	1,5 1,9 0,8 2,0 1,5 1,5	1975 1949 1922 1935 1959 1966	6,0 5,4 4,9 5,8 5,7 7,3	1934 1920 1935 1950 1975 1938	-1,6 -1,2 -1,4 -1,4 -1,2 -0,3	-9,4 -10,0 -10,0 -11,8 -14,7 -9,4	1946 1958 1929 1942 1929 1929	
		Март															
	1 2 3 4 5 6 7 8 9 10 11 12 13 14 15 16 17 18 19 20 21	3,8 4,2 4,1 5,4 5,0 6,9 4,9 5,7 8,0 7,5 8,6 4,7 6,4 6,0 6,1 7,2 7,8 9,3 9,3	1920 1920 1941 1959 1936 1920 1920 1961 1961 1975 1919 1957 1921 1938 1921 1938 1938	-3,1 -2,6 -3,0 -3,3 -3,0 -2,6 -2,7 -2,7 -2,4 -2,8 -2,3 -2,0 -1,6 -1,8 -1,6 -1,8 -1,6 -1,8 -1,9 -1,9 -1,9 -1,9 -1,9 -1,9 -1,9 -1,9	-17,8 -16,2 -19,4 -19,0 -16,4 -14,9 -15,0 -13,9 -16,0 -17,5 -18,7 -15,0 -12,0 -12,3 -14,7 -16,1	1929 1960 1971 1971 1971 1964 1964 1945 1932 1942 1942 1942 1942 1941 1952	-26,9 -24,8 -19,5 -20,6 -23,4 -26,9 -29,6 -27,3 -20,8 -20,2 -19,6 -23,0 -18,9 -22,9 -22,5 -28,3 -19,5 -18,3 -23,6 -26,1 -26,1	1929 1960 1951 1971 1971 1942 1964 1960 1963 1925 1942 1942 1942 1942 1943 1931 1963 1942 1942	-6,5 -5,9 -6,3 -6,5 -5,6 -5,6 -5,7 -6,2 -6,2 -6,2 -6,5 -5,3 -5,1 -5,2 -5,9 -5,2 -4,9 -5,5 -5,2	1,8 2,6 2,8 2,4 2,4 3,2 4,1 3,2 3,0 3,8 3,5 5,3 2,1 2,7 3,0 2,5 4,9 6,4 5,0	1922 1920 1941 1926 1961 1920 1920 1975 1961 1961 1961 1940 1957 1937 1975 1938 1938 1938 1938 1927	6,5 6,6 6,8 8,6 7,6 7,7 11,2 9,4 10,6 15,0 14,4 13,0 9,2 11,9 13,2 12,4 14,5 13,7 14,7 13,2 17,3	1959 1941 1959 1959 1950 1950 1920 1961 1961 1991 1921 1921 1921 1921 1921	0,2 0,2 0,2 0,0 0,0 1,0 0,6 0,7 1,0 1,5 1,5 2,2 2,4 1,9 1,6 2,1 2,6 2,8 4,2	-9,2 -8,7 -13,6 -15,6 -11,0 -12,4 -9,8 -9,1 -10,1 -10,7 -7,5 -11,5 -11,5 -13,2 -5,9 -6,9 -6,5 -6,9 -8,3	1960 1971 1971 1971 1942 1942 1945 1945 1945 1928 1947 1942 1942 1940 1952 1963 1952 1952	

Продолжение табл. 15

<u> </u>	]	Сред	няя сут	гангр			Mı	нималы	ая		Максимальная					
Дата	нанболее высокая	год	ī	наиболее инзкая	год	наиболее низкая	год	ī	нанболее высокая	год	нанболее высокая	дот	Ŧ	нанболее инзкая	год	
22 23 24 25 26 27 28 29 30 31	11,1 9,0 10,7 9,7 8,8 9,3 8,9 8,5 10,3 11,5	1938 1938 1938 1938 1973 1921 1973 1968 1968	0,2 0,2 0,2 0,7 1,1 1,0 1,1 1,0 1,3 1,6	—14,6 —13,9 —8,8 —7,9 —12,7 —14,3 —12,6 —11,4 —11,9 —6,1	1952 1952 1952 1952 1952 1952 1952 1952	-22,2 -22,1 -15,6 -12,7 -18,5 -22,5 -17,0 -19,9 -21,3 -11,8	1963 1952 1952 1962 1952 1952 1952 1952 1942	$ \begin{vmatrix} -4,4 \\ -3,8 \\ -2,9 \\ -2,7 \\ -2,7 \\ -2,8 \\ -2,1 \\ -2,5 \\ -2,3 \\ -1,8 \end{vmatrix} $	6,2 4,6 3,1 5,0 3,3 2,4 .3,8 6,1 6,6 5,8	1938 1921 1959 1921 1938 1924 1945 1968 1945 1921	18,2 15,1 18,2 15,8 17,3 17,6 15,2 15,9 19,5 16,8	1938 1959 1938 1938 1973 1973 1957 1957 1968 1957	4,3 4,6 4,6 4,5 5,3 5,2 5,1 5,2 5,6 6,0	-6,3 -5,2 -4,5 -4,4 -7,0 -7,0 -8,0 -2,9 -4,8 -3,5	1952 1952 1952 1952 1952 1952 1952 1952	
							Anp	ель								
1 2 3 4 5 6 7 8 9 10 11 12 13 14 15 16 17	8,0 10,9 10,2 9,6 11,9 13,5 14,3 9,5 12,5 13,2 16,2 17,6 16,0 15,9 16,5 18,5 15,5	1948 1948 1950 1953 1946 1946 1961 1920 1920 1920 1920 1972 1920 1961 1920 1936	1,8 2,6 2,5 3,0 3,8 4,4 4,1 3,7 4,0 4,3 4,7 4,8 5,3 6,5 7,2	-5,4 -5,2 -7,3 -5,3 -3,3 -4,1 -3,5 -2,7 -2,8 -2,8 -2,8 -2,5 -2,7 -1,1 -3,0 -0,1	1929 1931 1931 1936 1956 1956 1956 1931 1929 1941 1941 1931 1966 1966 1928 1929 1933	—12,4 —11,7 —13,8 —14,1 —13,4 —11,9 —6,7 —6,8 —8,5 —8,5 —8,3 —6,1 —6,9 —5,5 —4,7 —4,6 —4,6	1929 1963 1931 1931 1942 1929 1940 1963 1958 1929 1941 1929 1931 1966 1957 1929 1929	$\begin{bmatrix} -1,2\\ -0.5\\ -0.9\\ -0.4\\ -0.1\\ 0.7\\ 0.8\\ 0.1\\ 0.3\\ 0.6\\ 0.5\\ 0.7\\ 1.1\\ 1.2\\ 2.4\\ 2.2\\ 3.0\\ \end{bmatrix}$	10,7 12,0 14,5 11,1 11,1 10,2 7,9 5,4 7,6 9,5 9,6 11,6 11,7 11,0 11,6 13,3	1968 1968 1968 1968 1968 1968 1961 1918 1920 1967 1920 1920 1920 1938 1968	17,0 16,8 16,0 17,3 21,1 20,3 24,8 18,3 19,1 21,3 22,8 24,2 24,0 22,4 24,1 24,9 22,1	1957 1957 1925 1946 1946 1946 1931 1931 1951 1959 1920 1920 1972 1972 1931 1920 1922	5,4 6,8 7,0 7,3 8,2 9,0 8,7 8,1 8,4 9,6 9,4 9,9 10,5 11,7 12,3	-3,3 -1,4 -1,8 -2,9 0,2 -1,3 -2,4 -1,5 0,5 -0,3 0,6 1,9 2,8 0,1 1,5 -0,4 2,8	1923 1931 1929 1942 1936 1956 1956 1956 1955 1955 1958 1966 1928 1928 1928	

Продолжение табл. 15

				1		1100	Ouncil		. 10										
		Средняя суточная						Минимальная						Максимальная					
Дата	наиболее высокая	год	Ī	наиболее низкая	год	наиболее низкая	год	Ŧ	наиболее высокая	год	наиболее высокая	год	ī	наиболее низкая	год				
18 19 20 21 22 23 24 25 26 27 28 29 30	15,8 16,3 15,2 17,8 15,9 21,0 19,4 17,8 16,6 16,8 18,1 17,7 18,5	1920 1940 1948 1950 1962 1950 1952 1957 1951 1952 1957 1934	7,0 6,9 6,7 7,2 7,4 7,8 8,0 7,9 8,5 9,0 8,7 9,5 9,9	-1,1 0,7 -0,4 -1,5 -2,9 1,5 0,1 0,1 -0,5 1,1 -0,1 1,8 -2,9	1955 1955 1959 1929 1924 1924 1924 1924 1938 1944 1935	-3,1 -2,7 -4,0 -4,3 -4,3 -4,8 -5,1 -3,8 -4,2 -5,5 -2,7 -2,6 -3,6	1955 1967 1967 1967 1929 1929 1971 1972 1972 1972 1924 1954 1942 1942	3,1 3,0 2,3 2,3 3,4 3,6 3,4 3,7 4,5 4,6 4,8	15,6 18,6 21,2 20,4 18,6 19,5 23,5 16,1 17,7 19,0 17,1 15,3 14,3	1968 1968 1968 1968 1968 1968 1968 1968	21,8 22,9 23,3 24,8 22,9 28,2 25,5 23,2 25,3 25,7 23,9 25,1	1959 1962 1962 1964 1950 1950 1952 1957 1957 1934 1952 1969 1934	12,0 12,0 12,1 12,3 12,3 12,7 13,0 12,9 13,6 14,1 14,1 14,7 15,5	1,1 2,3 2,7 3,7 1,1 3,8 3,0 1,8 2,7 4,0 6,3 6,0	1955 1955 1955 1955 1929 1929 1924 1924 1924 1924 1941 1924 1941 1971				
							Ma	й											
1 2 3 4 5 6 7 8 9 10 11 12 13 14	20,8 17,4 18,7 22,2 20,3 20,4 20,9 19,3 19,8 20,7 19,5 20,6 20,6 20,0	1934 1934 1934 1934 1934 1954 1948 1934 1925 1924 1963	9,7 9,6 10,0 10,9 11,5 12,1 11,3 11,4 11,1 11,7 12,1 12,6	1,1 1,6 0,8 0,5 1,2 4,3 3,6 2,4 1,3 3,0 1,0 2,5 4,4 2,2	1935 1965 1965 1942 1942 1941 1942 1935 1941 1927 1927 1927	3,0 1,5 2,3 1,7 3,3 1,4 0,6 2,5 1,9 2,1 1,4 2,4 0,5 0,5	1940 1971 1965 1965 1918 1933 1918 1953 1939 1941 1922 1927 1940 1927	5,2 4,7 4,7 5,2 5,4 6,2 6,5 6,3 6,0 6,2 6,6 6,8	13,5 14,4 11,3 14,1 14,3 13,5 15,7 12,5 13,6 13,4 14,1 13,3 15,0 14,8	1934 1934 1934 1934 1931 1970 1954 1967 1924 1963 1925 1936 1924	26,8 24,0 28,1 29,6 28,6 27,4 27,5 27,2 25,5 26,7 27,5 26,0	1934 1934 1934 1934 1954 1954 1934 1934 1963 1963 1963	15,2 15,0 15,2 15,3 16,6 17,1 17,7 17,2 16,8 16,8 16,7 17,2 17,7 17,2	3,3 5,8 5,3 4,5 5,0 6,2 7,7 7,3 6,0 7,3 4,6 7,3 4,8	1935 1965 1947 1942 1942 1942 1942 1944 1928 1927 1935 1927 1919				

Продолжение табл. 15

						•	,		· · ·						
		Сред	няя сут	очная			M	нинмалы	ная	. Максимальная					
Дата	нанболее высокая	год	ī	наиболее низкая	год	наиболее низкая	год	Ī	наиболее высокая	год	нанболее высокая	год	Ŧ	нанболее назкая	год
15 16 17 18 19 20 21 22 23 24 25 26 27 28 29 30	20,9 20,9 21,1 22,2 21,1 20,9 23,4 24,9 21,3 21,1 24,2 23,1 25,5 22,8 24,1 22,4	1975 1929 1975 1938 1950 1920 1920 1937 1953 1963 1958 1958 1958 1958 1958 1958	12,9 12,7 13,3 13,4 13,7 13,6 13,6 13,2 13,5 14,5 14,0 14,3 14,3	5,2 5,0 5,0 4,6 2,9 3,8 4,6 4,7 4,9 3,9 6,4 6,9 7,2 6,0 6,4 9,1	1927 1941 1941 1952 1952 1952 1952 1955 1955 1957 1957 1957 1953 1955 1919	-1,6 -0,5 -1,7 -0,7 0,7 1,0 -1,6 1,3 -0,2 0,7 1,9 -0,6 -0,5 0,6 1,1 1,6	1935 1965 1950 1973 1952 1952 1974 1968 1959 1944 1955 1950 1951 1955 1975 1937	7,5 7,3 7,9 8,3 8,1 8,3 8,2 8,0 7,6 7,7 7,8 8,6 9,4 9,0 8,9 8,6 9,5	15,5 14,0 16,5 15,0 15,2 15,7 16,7 15,4 16,9 20,1 15,8 15,7 16,5	1946 1958 1975 1967 1971 1972 1954 1937 1963 1953 1958 1958 1958 1958 1959 1931	27,6 28,0 28,6 28,4 28,6 28,4 29,5 30,2 29,4 29,5 29,0 30,0 29,6 31,3 29,6 31,8 29,6	1947 1938 1938 1938 1938 1937 1949 1953 1949 1958 1958 1958 1958 1958 1958	18,4 18,1 19,1 19,0 19,2 18,8 19,1 18,7 18,8 19,2 19,0 19,8 19,4 20,0 19,4 20,4	5,8 6,3 9,5 9,4 7,1 5,9 7,3 7,7 8,8 8,4 9,4 9,2 9,2 10,5 11,1 9,8 12,8	1919 1940 1919 1952 1952 1952 1955 1955 1955 1955
							Ию	IЬ							
1 2 3 4 5 6 7 8 9	25,5 25,2 24,6 22,5 21,0 21,5 24,3 25,1 24,2 23,6	1921 1949 1921 1949 1948 1956 1956 1956 1956	14,3 14,3 13,9 14,3 14,3 14,5 15,2 15,8 15,9	3,8 2,2 7,2 4,8 6,9 7,0 8,0 9,4 7,6 8,4	1928 1928 1930 1918 1918 1958 1928 1920 1920 1955	2,0 0,4 1,0 1,1 2,6 2,1 1,7 2,6 1,5 3,1	1928 1928 1923 1930 1947 1931 1941 1928 1941 1955	9.4 8,9 8,7 8,8 8,9 8,8 9,2 10,2 10,3 10,5	18,5 16,8 18,1 17,2 16,3 15,7 16,3 18,1 16,8 17,4	1921 1949 1964 1921 1948 1956 1956 1961 1961 1956	32,9 32,0 32,3 28,2 29,4 29,0 32,2 31,3 30,0 30,3	1921 1921 1921 1971 1971 1960 1956 1956 1956	20,0 19,8 19,3 19,9 19,9 20,0 21,0 21,3 21,8 21,4	10,9 2,8 11,9 8,1 11,2 10,5 12,4 13,3 10,6 12,0	1928 1928 1930 1918 1962 1962 1928 1920 1920 1952

Продолжение табл. 15

	1	Сред	няя сут	очная			Mı	нимальн	1851		Максимальная					
Дата	наиболее высокая	год	ī	нанболее низкая	год	наиболее низкая	год	Ī	наиболее высокая	год	наиболее высокая	год	ī	наиболее инзкая	год	
11 12 13 14 15 16 17 18 19 20 21 22 23 24 25 26 27 28 29 30	25,2 25,5 24,6 22,5 22,8 22,7 22,8 23,3 23,7 23,4 24,4 24,6 25,2 25,0 23,2 25,6 25,9 25,0	1937 1937 1972 1924 1964 1968 1968 1968 1968 1954 1935 1935 1935 1935 1935 1935 1940 1940 1947	16,2 15,9 15,2 15,9 16,0 15,5 15,4 16,1 16,5 16,6 16,6 16,6 16,3 16,4 16,3 16,7 16,6	8,9 9,6 10,0 10,8 9,4 8,9 9,2 8,5 8,6 10,1 10,6 8,9 11,5 10,7 10,4 11,5 10,0 11,0 11,1 11,8	1950 1950 1923 1923 1928 1973 1925 1921 1925 1942 1923 1921 1949 1929 1971 1923 1921 1923	3,3 3,2 2,4 4,7 5,4 4,3 3,0 4,5 4,5 4,5 4,6 5,6 4,9 6,1 5,4 6,6 5,7 7,7 6,5	1940 1973 1942 1928 1967 1958 1934 1928 1955 1958 1957 1942 1929 1931 1929 1934 1945 1975 1921 1923	11,3 10,7 10,4 9,9 10,6 10,9 10,4 11,4 11,6 11,3 12,2 11,5 11,6 11,4 11,8 12,2 11,5 11,9 12,1	18,3 16,8 18,6 18,0 19,0 16,7 17,2 18,2 19,5 19,7 18,8 18,4 18,6 18,6 19,1 17,7 18,7 18,5	1928 1959 1972 1972 1924 1935 1939 1968 1939 1964 1924 1924 1935 1940 1951 1938	31,9 32,2 31,1 28,7 29,3 30,6 31,4 30,5 29,9 30,1 30,0 29,9 31,4 30,8 31,2 31,2 33,4 31,8	1937 1937 1972 1964 1964 1974 1939 1918 1968 1964 1947 1935 1935 1947 1940 1940 1940	21,6 21,6 21,0 21,5 21,3 20,4 21,3 21,9 21,8 22,1 21,9 21,4 21,6 22,0 22,1 21,9 21,4 21,6 22,0 22,1	11,5 13,0 11,9 14,6 12,6 12,4 11,2 13,0 12,1 13,1 12,3 14,3 14,3 14,4 16,1 14,1 14,2 14,6 15,7	1955 1923 1927 1971 1973 1928 1975 1925 1925 1925 1928 1949 1949 1949 1918 1929 1918 1923 1926 1945 1975	
							Ию	ль								
1 2 3 4 5 6 7	23,6 24,2 23,4 25,6 23,8 25,2 24,5	1936 1918 1936 1936 1947 1922 1922	16,7 17,1 17,8 17,8 17,4 17,2 17,4	12,2 12,3 12,4 11,3 11,5 11,7 11,6	1971 1965 1965 1933 1928 1965 1965	5,3 7,0 3,6 6,5 6,3 6,8 7,1	1923 1931 1965 1943 1965 1964 1952	11,8 11,5 12,4 12,6 12,3 11,9 12,2	17,9 18,9 18,6 18,6 18,3 17,0 19,5	1947 1936 1918 1952 1953 1947 1922	29,6 33,1 31,6 31,8 31,7 30,6 31,0	1936 1938 1936 1936 1947 1922 1922	21,7 22,3 23,2 23,1 23,2 22,8 22,7	15,0 , 16,8 16,5 15,5 16,9 16,0 16,0	1943 1960 1972 1965 1951 1934 1974	

Продолжение табл. 15

		Сред	няя сут	очная			M	инималы	tan			Ma	ксималь	ная	
Дата	наиболее высокая	год	ī	нанболее низкая	год	нанболее низкая	год	ī	наиболее наиболее	год	наиболее высокая	год	Ŧ	наиболее низкая	год
8 9 10 11 12 13 14 15 16 17 18 19 20 21 22 23 24 25 26 27 28 29 30 31	23,1 24,4 25,2 26,3 25,8 29,0 25,6 23,3 24,5 23,8 24,1 24,5 24,0 23,6 23,3 24,5 24,5 24,5 24,5 24,5 24,5 24,5 24,5	1932 1941 1959 1941 1959 1923 1926 1927 1927 1927 1936 1946 1959 1959 1963 1963 1963 1946 1946 1971 1971	17,8 18,0 17,8 17,9 18,1 18,5 18,3 18,1 17,7 17,7 17,7 17,7 17,7 17,7 17,7	12,4 12,4 12,7 12,5 13,1 12,6 12,3 13,1 12,7 11,9 12,1 12,2 12,4 12,6 13,0 13,7 13,4 12,2 12,5 11,8 12,2 12,9 12,5 13,1	1958 1935 1935 1936 1974 1921 1921 1921 1922 1922 1969 1961 1951 1974 1923 1965 1974 1929 1935 1974	5,2 8,4 6,9 8,7 6,7 6,8 7,2 7,5 8,0 6,5 6,2 8,1 6,8 7,8 7,8 7,8 7,6 7,8	1964 1930 1967 1965 1930 1974 1968 1919 1962 1971 1971 1955 1928 1970 1952 1928 1929 1926 1923 1929 1964	12,6 12,8 13,1 13,4 13,0 13,3 13,4 13,6 13,0 13,2 12,6 12,8 13,6 13,4 13,4 13,4 13,4 13,0 13,2 12,5 12,8	17,8 18,0 19,0 20,7 18,4 21,0 18,2 18,5 19,1 18,2 17,6 19,6 19,6 18,5 17,2 17,7 17,8 19,0 18,4 18,1 18,8 19,7 18,9 18,4 18,8	1955 1955 1941 1941 1951 1941 1932 1932 1938 1960 1972 1926 1936 1959 1963 1972 1960 1946 1936 1946 1936	31,4 31,8 32,1 31,5 32,5 32,5 33,6 33,0 29,9 33,8 30,9 30,7 31,5 31,5 31,5 31,7 32,7 32,7 32,6 32,6 32,6 32,6 32,6 31,4	1931 1941 1959 1941 1959 1959 1959 1941 1931 1958 1927 1934 1959 1953 1963 1963 1946 1946 1946 1941	23,2 23,3 23,3 22,8 23,2 24,1 23,9 23,4 23,5 23,1 22,9 23,1 23,1 23,1 23,1 23,1 23,1 23,1 23,1	16,3 15,9 16,3 15,0 16,0 15,6 16,5 17,3 16,9 15,1 13,1 16,4 17,2 17,9 15,1 17,6 15,0 16,7 14,5 16,3 16,1 13,9 15,8	1956 1974 1974 1943 1943 1921 1950 1921 1962 1922 1922 1968 1935 1943 1943 1943 1943 1943 1956 1956 1956 1956
							Авгу	ст							
$\frac{1}{2}$	24,8 25,9 25,6	1963 1963 1963	17,9 18,0 18,0	13,4 12,4 11,0	1940 1947 1964	8,8 6,5 7,1	1951 1965 1964	12,9 13,2 13,3	18,8 19,3 19,0	1971 1936 1948	31,6 32,4 33,5	1963 1936 1963	23,3 23,2 23,4	16,3 14,5 15,0	1940 1965 1964

Продолжение табл. 15

		Сред	ния сут	рчная		l	Mı	ипималы	เอม			Ma	ксималь	ная	
Дата	наиболее высокая	дол	ī	нанболее низкая	год	нанболее низкая	_год	- t	нанболее высокая	год	нанболее высокая	год	Ŧ	наиболее низкая	год
4 5 6 7 8 9 10 11 12 13 14 15 16 17 18 19 20 21 22 23 24 25 26 27 28 29 30 31	26,4 27,0 24,2 26,1 24,0 24,0 22,8 23,2 21,7 24,8 24,2 23,5 22,9 21,4 23,4 21,3 23,6 24,9 24,2 22,8 25,3 20,8 20,9 20,3 20,8 20,9 20,3 20,9 20,9 20,9 20,9 20,9 20,9 20,9 20,9	1963 1963 1963 1952 1952 1952 1972 1946 1957 1921 1935 1935 1939 1929 1955 1946 1938 1938 1938 1942 1942 1943 1963 1938 1938	17,8 17,5 17,3 17,6 17,5 17,4 17,4 17,2 17,1 16,9 17,0 16,3 16,5 16,3 16,1 16,2 16,2 15,7 15,3 15,0 15,5 15,9	11,8 11,5 12,9 13,1 12,2 12,2 12,2 12,8 10,6 10,8 11,9 12,2 11,0 10,3 8,7 8,9 10,6 10,2 11,1 10,1 11,5 11,6 9,3 7,3	1964 1964 1928 1926 1921 1921 1965 1965 1965 1968 1923 1949 1949 1949 1973 1919 1919 1970 1936 1936 1936 1936	5,7 7,2 6,9 6,9 6,0 5,9 6,6 7,0 4,3 5,8 5,2 7,0 8,8 6,6 3,8 6,6 3,8 4,1 2,1 3,6 4,2 2,7 4,3 1,6 1,0 4,6	1929 1969 1928 1922 1967 1974 1956 1956 1956 1956 1960 1951 1949 1949 1949 1949 1973 1964 1973 1971 1970 1966 1966 1966	13,1 13,0 12,7 12,4 12,8 12,3 12,4 12,5 12,2 12,3 11,6 11,6 11,7 11,5 11,4 11,6 11,7 11,5 11,4 11,6 11,7	18,6 18,1 18,9 20,0 19,2 18,0 16,4 17,2 17,6 17,5 17,5 17,6 17,6 17,6 17,6 17,6 17,6 16,8 18,8 16,8 16,7 14,9 16,3 16,4 18,9	1971 1971 1943 1953 1952 1929 1945 1946 1935 1935 1954 1932 1972 1942 1932 1942 1938 1946 1958 1968 1968 1960 1938	33,3 34,3 34,1 33,0 32,0 31,0 29,1 30,6 29,2 30,4 30,8 31,1 29,3 31,5 31,5 31,5 31,5 31,5 31,5 31,5 31	1963 1963 1963 1963 1969 1929 1946 1971 1966 1935 1932 1974 1929 1955 1955 1955 1959 1959 1938 1942 1951 1964 1938	22,8 22,5 22,5 22,5 23,1 22,8 22,9 22,8 22,8 22,4 22,0 21,4 21,5 21,4 20,5 21,4 20,5 21,4 20,5 21,1 20,2 21,1 21,3 21,1	15,0 13,4 16,0 17,1 16,2 16,4 13,9 16,6 14,4 14,9 15,6 15,7 15,0 16,1 15,1 13,7 10,5 16,2 13,8 14,3 13,5 13,4 14,6 13,3 12,6 13,3	1925 1964 1964 1932 1921 1925 1923 1933 1933 1935 1965 1923 1949 1970 1949 1973 1919 1919 1919 1925 1925 1925 1925 1925

Продолжение табл. 15

<b>W</b>	1	Cnea	цияя сут	សមារាជ		1	M	инималы	una	,	1				
Дата	нанболее высокая	год	ī	панболее низкая	год	нанболее визкая	LOY	T T	паиболее высокая	год	нанболее высокая	год	₹ £	нанболее низкая	год
							Септ	ябрь							
1 2 3 4 5 6 7 8 9 10 11 12 13 14 15 16 17 18 20 21 22 22 24 25 26	22,4 21,9 19,9 21,0 21,5 21,4 19,9 19,7 19,2 18,3 20,8 19,1 18,2 20,7 19,6 18,4 19,7 19,0 20,5 19,0 19,1 16,3 19,2 21,7 18,4	1963 1963 1954 1968 1942 1951 1954 1937 1932 1955 1955 1955 1955 1950 1961 1960 1975 1937 1924 1924 1924 1924	14,8 14,7 15,0 14,8 14,4 114,6 13,9 13,7 12,3 12,3 12,3 11,8 11,5 11,6 11,3 11,2 10,9	10,5 10,0 10,2 10,1 8,6 8,7 1,3 8,6 9,7 5,6 4,9 7,0 6,6 5,6 5,1 4,8 6,1 5,9 4,0 2,5 4,1	1964 1928 1928 1940 1922 1930 1970 1929 1964 1973 1973 1973 1973 1973 1969 1969 1969 1951 1943 1973 1973	5,0 3,7 2,8 4,1 2,3 3,0 1,8 2,2 1,3 0,7 1,6 2,2 -0,4 0,5 1,5 -1,2 -1,4 2,0 -0,4 -1,2 -0,4 -1,2 -0,5 0,2	1943 1921 1964 1930 1958 1947 1930 1970 1975 1959 1936 1973 1973 1964 1942 1952 1958 1958 1958 1958 1958 1956 1966 1966	10,2 10,1 10,5 10,4 9,6 10,0 9,8 8,8 8,6 9,4 8,8 8,7 7,7 7,5 7,2 7,6 8,3 7,7 7,1	17,4 17,6 16,1 16,5 16,0 17,8 16,5 16,7 14,6 14,5 16,9 14,8 16,4 16,1 15,2 15,5 15,7 14,2 13,8 15,1 14,2	1938   1938   1938   1968   1954   1954   1954   1958   1924   1932   1955   1951   1947   1961   1947   1932   1933   1953   1953   1953   1953   1954   1924   1924	28,6 28,6 27,5 28,0 29,3 29,8 20,2 26,9 27,7 28,4 27,6 26,2 27,1 29,4 24,6 26,1 27,5 27,8 27,8 27,9 25,8 24,2 24,7 23,0 25,0 26,7 24,5	1938 1963 1961 1942 1954 1955 1955 1955 1955 1919 1947 1947 1964 1947 1964 1947 1964 1947 1964 1947 1964 1947 1964 1947 1964 1947 1955 1924 1919 1953 1924 1924	20,1 20,1 20,4 20,3 19,9 19,9 19,0 18,7 17,9 18,5 18,0 17,7 17,3 17,4 17,1 17,0 16,5 15,9 15,7 15,5 16,0 16,1	12,5 14,4 13,8 13,7 12,6 12,4 12,5 10,5 10,5 10,5 10,5 8,5 8,4 10,8 9,0 8,7 10,2 10,0 7,5 10,1 9,6 8,8 7,6 3,9 7,4	1940 1936 1925 1933 1936 1930 1931 1939 1929 1929 1973 1973 1930 1971 1933 1968 1921 1968 1952 1964 1948 1973 1973 1973

Продолжение табл. 15

	1	Среді	няя суто	чная			Ми	нимальн	12Я			Ma	ксималы	18Я	
Дата	наиболее высокая	год	ī	наиболее низкая	год	нанболее низкая	год	ī	наиболее высокая	год	наиболее высокая	год	ī	наиболее низкая	год
27 28 29 30	18,0 15,6 16,9 16,5	1932 1965 1965 1942	10,2 9,7 9,5 9,1	2,5 1,3 2,9 4,6	1931 1931 1936 1966	—1,1 —2,4 —3,8 —1,4	1928 1931 1931 1966	6,5 6,4 6,0 5,4	12,4 12,6 13,2 11,1	1919 1942 1965 1942	25,1 22,0 22,2 21,8	1947 1956 1942 1938	14,6 14,1 14,0 13,5	6,6 3,8 5,6 7,0	1970 1972 1936 1957
							Октя	брь							
1 2 3 4 5 6 7 8 9 10 11 12 13 14 15 16 17 18 19 20 21	17,6 17,4 17,0 16,4 17,3 15,0 14,8 11,9 16,6 12,7 15,1 13,6 12,5 13,1 13,8 15,1 12,2 14,8 13,2 11,3	1942 1935 1934 1966 1935 1943 1935 1929 1935 1918 1918 1918 1918 1918 1918 1918 191	9,1 9,3 8,9 8,6 8,5 8,4 8,0 8,3 7,1 7,1 6,8 6,5 6,6 6,4 6,1 5,8	1,6 1,8 2,3 1,5 0,3 2,0 2,8 1,4 2,4 0,2 0,1 -1,5 -1,5 -0,4 0,0 -0,2 -1,5 -1,0 -1,9 -1,1	1931 1930 1972 1946 1959 1968 1936 1936 1973 1973 1973 1973 1975 1946 1971 1951 1925 1925	-1,4 -3,6 -2,9 -3,2 -4,3 -2,7 -1,9 -0,9 -3,4 -10,4 -3,8 -6,4 -5,6 -2,6 -4,2 -5,5 -5,5 -4,5	1931 1931 1960 1946 1959 1968 1949 1959 1936 1948 1973 1973 1973 1959 1946 1971 1925 1925 1925	4,9 5,7 4,7 5,1 5,0 5,1 4,8 4,9 4,3 4,2 3,6 4,0 3,7 3,6 3,7 3,7 3,3 2,9	11,4 13,3 12,2 13,0 13,1 12,4 11,9 12,1 12,5 10,7 12,4 10,5 10,4 11,3 12,0 10,4 11,7 9,8 9,3	1974 1953 1935 1924 1966 1935 1958 1955 1959 1950 1958 1954 1953 1918 1966 1957 1961	24,5 23,1 22,0 22,8 23,6 22,9 20,1 21,6 21,1 17,9 20,5 20,2 20,8 20,0 18,3 19,0 18,5 16,7 18,2 18,7 15,2	1942 1935 1935 1919 1966 1929 1966 1955 1955 1955 1918 1918 1918 1918 1918	14,0 13,7 13,4 12,9 12,7 13,0 12,0 12,5 12,0 11,4 10,8 11,1 11,1 10,0 10,1 9,6 9,1 9,2	6,8 4,8 6,0 5,0 5,8 5,4 4,8 5,9 3,0 1,2 1,3 3,8 4,3 2,1 3,0 0,9 0,0 -1,1 1,2	1968 1930 1922 1936 1959 1936 1936 1936 1936 1936 1973 1945 1971 1948 1951 1925 1973

Продолжение табл. 15

	A	Сред	няя сут	очная			M	нинмальн	ая			Ma	ксималь	ROH	······
Дата	напболее высокая	год	ī	нанболее пизкая	год	панболее инзкая	год	Ī	нанболее высокая	год	нанболее высокая	год	ī	нанболее инзкая	год
22 23 24 25 26 27 28 29 30 31	13,2 10,1 13,8 11,8 11,0 13,0 12,5 11,0 9,0 9,9	1923 1956 1923 1945 1927 1949 1937 1927 1925 1938	5,8 5,2 4,9 5,5 5,7 5,8 4,7 4,5 4,4	-0,4 -2,2 -4,3 -1,8 -3,6 -1,8 -4,1 -2,6 -5,9 -4,9	1925 1946 1946 1946 1968 1931 1940 1956 1956	-6,7 -6,8 -8,2 -5,5 -7,8 -4,5 -6,4 -7,1 -8,4 -14,4	1925 1947 1946 1946 1968 1946 1940 1940 1956	3,2 2,4 1,8 2,9 3,2 3,3 2,2 2,0 2,3 1,3	11,1 9,4 8,5 9,5 8,9 11,0 10,2 8,4 8,1 9,0	1923 1956 1956 1925 1925 1949 1937 1957 1957	16,5 15,4 16,4 17,6 16,0 16,3 14,5 13,9 14,0 12,4	1944 1928 1923 1954 1948 1949 1960 1927 1957 1968	9,2 8,4 8,2 8,4 8,4 8,8 7,8 7,2 6,9 7,0	1,3 0,6 0,0 0,6 0,6 0,3 0,7 1,4 -3,8 -2,3	1926 1973 1959 1926 1968 1940 1931 1931 1956 1956
							Нояб	<b></b>							
1 2 3 4 5 6 7 8 9 10 11 12 13 14 15	11,0 11,6 11,8 11,7 10,4 11,4 9,8 10,7 10,0 8,2 8,1 7,1 9,2 7,7 7,8	1968 1962 1967 1967 1967 1967 1967 1926 1923 1967 1937 1939 1969 1926 1969	3,7 4,0 3,8 3,8 2,6 2,9 2,8 1,4 1,5 1,4	-4,4 -5,4 -6,6 -8,4 -7,5 -6,9 -4,3 -7,6 -8,8 -8,2 -8,9 -10,4 -8,2 -11,2 -12,4	1919 1919 1919 1919 1919 1919 1919 191	-7,5 -6,7 -9,3 -9,6 -12,1 -10,0 -7,6 -10,9 -14,1 -10,6 -10,8 -13,5 -12,2 -14,4 -15,6	1966 1925 1966 1919 1919 1919 1919 1919 1919 191	1,5 1,4 1,9 1,5 1,7 1,0 0,6 1,1 1,0 0,0 0,5 0,7 0,6 0,5	9,6 11,0 10,0 10,8 9,1 10,1 8,6 9,1 7,4 6,8 4,9 6,5 7,7 6,8	1957 1962 1962 1930 1967 1967 1967 1938 1923 1937 1937 1929 1969 1928	14,9 14,0 13,7 13,5 14,1 13,6 12,2 12,4 12,1 10,5 10,6 9,9 10,5 10,8 10,9	1968 1942 1930 1968 1957 1957 1926 1926 1923 1926 1935 1969 1928 1928	6,8 6,6 6,6 6,6 6,9 5,1 5,0 4,3 3,4 3,4 3,7	$\begin{array}{c} -1,0 \\ -4,6 \\ -1,6 \\ -6,1 \\ -1,2 \\ -5,5 \\ -2,8 \\ -4,0 \\ -5,7 \\ -7,2 \\ -6,5 \\ -5,6 \\ -7,1 \\ -8,6 \end{array}$	1941 1919 1919 1919 1919 1919 1946 1956 1956 1956 1919 1919 1968

Продолжение табл. 15

						прод	Onnem	C ILOM	. 10						
		Сред	няя сут	рчная			Мі	нимальн	ая			Maı	ссималы	ая	
Дата	наиболее высокая	год	ī	наиболее низкая	год	наиболее низкая	год	ī	наиболее высокая	год	наиболее высокая	год	ť	наиболее низквя	дол
16 17 18 19 20 21 22 23 24 25 26 27 28 29 30	7,0 10,1 8,0 7,9 11,2 8,6 8,8 9,3 5,5 6,0 7,1 5,9 7,7 4,1 5,6	1934 1934 1940 1963 1926 1926 1926 1926 1958 1970 1940 1949 1934 1950	0,8 0,9 0,2 0,5 1,0 0,7 0,7 0,4 1,0 0,8 0,8 0,7 1,3 1,3	-9,8 -10,6 -13,6 -14,9 -10,8 -9,1 -11,9 -9,9 -10,3 -11,8 -11,2 -8,9 -14,0 -9,5 -9,7	1968 1919 1919 1919 1918 1971 1921 1965 1921 1975 1941 1925 1925 1931	—13,8 —15,3 —16,9 —22,5 —15,2 —13,9 —15,8 —14,7 —14,8 —13,5 —14,6 —11,3 —16,2 —15,1 —14,1	1968 1919 1919 1919 1919 1971 1971 1921 1925 1925 1925 1931	0,91,11,92,42,33,23,12,22,13,02,92,62,63,23,1	5,6 7,1 6,3 5,7 7,7 5,6 6,6 4,6 4,5 6,2 5,2 6,1 2,8 3,1	1934 1934 1934 1963 1926 1926 1926 1926 1938 1949 1960 1958 1932 1950	11,5 11,6 12,1 10,3 14,9 12,5 11,5 13,8 7,9 10,3 7,9 8,4 8,7 8,7 8,4 7,3	1943 1934 1934 1926 1926 1926 1926 1926 1938 1951 1940 1960 1934 1953	3,2 3,0 2,2 1,7 1,8 1,6 1,5 1,4 1,0 1,5 1,4 1,1	-8,6 -8,8 -8,5 -8,5 -9,2 -7,7 -8,6 -8,6 -7,5 -6,2 -9,3 -9,3	1919 1965 1965 1965 1919 1927 1927 1971 1965 1975 1953 1967 1925 1931
							Дека	брь							
1 2 3 4 5 6 7 8 9	5,9 6,6 6,9 6,2 7,5 6,9 4,0 6,3 5,5 5,9	1938 1938 1932 1932 1960 1961 1947 1960 1949 1949	$ \begin{vmatrix} -1,1\\ -1,4\\ -1,0\\ -1,2\\ -1,3\\ -1,6\\ -1,9\\ -2,5\\ -2,8\\ -3,4 \end{vmatrix} $	-12,4 -14,3 -12,7 -15,6 -16,9 -21,2 -23,4 -15,2 -15,0 -15,9	1973 1973 1925 1925 1959 1959 1973 1973 1973	-15,3 -18,6 -18,1 -17,4 -19,8 -23,0 -25,2 -22,8 -18,9 -21,4	1973 1921 1973 1925 1959 1959 1959 1973 1973	-3,1 -3,4 -3,3 -3,0 -4,0 -3,8 -4,1 -4,4 -5,1 -6,2	4,6 6,0 5,8 5,5 5,3 4,3 4,6 4,5 4,5	1953 1938 1938 1947 1960 1947 1960 1960 1949 1949	8,5 10,0 10,4 9,5 10,5 8,0 7,0 8,2 7,5 8,3	1953 1961 1961 1947 1960 1951 1960 1960 1960 1949	1,0 1,0 1,1 1,1 1,3 0,5 0,3 -0,3 -0,5 -0,5	-8,6 -12,2 -8,3 -12,2 -9,5 -18,2 -20,5 -15,0 -13,6 -11,1	1973 1973 1933 1925 1959 1959 1959 1959 1973 1959

Продолжение табл. 15

		Сре	дияя сут	очная			N	инималы	101			Ma	аксималь	ная	
Дата	наиболее высокая	год	Ī	панболее низкая	FOA	панболее низкая	год	ī	нанболее высокая	год	панболее высокая	год	ī	нанболее низкая	год
11	6,8	1960		-17,9	1918	-22,3	1918	_5,1	5,7	1980	8,0	1960	0,6	-16,0	1921
12	6,8	1960	-3,2	17,4	1918	-23,7	1918	-6,0	5,4	1960	8,5	1980	-1,0	-15,7	1921
13	5,1	1926	_3,8	18,5	1955	23,0	1955	-6,0	4,7	1926	7,7	1960	-1,7	13,9	1921
14	3,7	1922	-4,0	-19,8	1933	-24,8	1963	-6,6	2,0	1926	5,1	1941	-1,4	-17,7	1921
15	6,6	1950	3,8	<b>—19,2</b>	1933	-22,7	1933	6,3	3,1	1950	8,9	1950	1,4	—15.6	1933
16	4,7	1950	-4,0	18,5	1933	21,3	1933	<b>—5,9</b>	3,7	1950	8,7	1950	1,6	—15,1	1933
17	4,3	1972	-4,3	18,6	1927	24,9	1927	-6,7	2,8	1956	5,9	1956	<b>—</b> 2,2	-14,2	1938
18	5,2	1971	-4,6	17,8	1927	22,0	1927	6,8	3,9	1971	6,0	1956	—2,5	16,3	1927
19	3,9	1971	-4,2	19,8	1927	-21,4	1927	6,9	2,5	1971	6,2	1936	2,0	—16,8	1927
20	3,3	1932	4,0	20,6	1927	-25,2	1927	<b>—7,</b> 0	2,5	1954	6,5	1954	-1.6	—16,4	1962
21	3,4	1958	3,7	-22,5	1962	26,3	1962	6,4	2,2	1924	6,5	1954	-1,4	—17.5	1962
22	4,9	1971	-3,7	-21,9	1962	23,1	1962	6,1	3,4	1971	7,5	1971	-1,3	-18,7	1962
23	4,1	1974	-3,8	-19,6	1962	-24,2	1962	-6,1	2,3	1974	5,3	1974	-1.6	-14,5	1969
24	4,2	1974	-3,6	16,8	1969	19,5	1969	-5,9	3,4	1974	5,3	1974	-1,5	14,2	1969
25	2,3	1971	-3,3	-13,3	1969	-16,5	1923	5,7	1,3	1958	5,6	1971	-1,2	-11,7	1969
26	2,1	1947	3,4	14,5	1961	-17,7	1961	5,5	0,8	1959	4,8	1971	1,3	-10,8	1969
27	3,7	1971	-4,1	16,4	1961	-21,8	1961	6,4	2,9	1971	6,3	1974	-1,7	12,2	1961
28	3,8	1975	-4,1	18,0	1930	-27,4	1930	-6,2	1,3	1957	4,8	1975	-1,9	-12,2	1961
29	3,5	1931	-3,8	—13,8	1937	-20,7	1937	-6,2	2,5	1975	5,1	1921	-1,5	12,0	1930
30	4,5	1925	-4,4	15,8	1969	19,7	1938	6,8	1,8	1975	6,1	1925	-1,9	-10,6	1930
31	4,5	1925	-4,6	21,6	1969	25,3	1969	6,8	4,1	1925	6,7	1925	-2,3	18,1	1969

Таблица 16 Среднее квадратическое отклонение (с) стандартная ошибка (д) средней, минимальной и максимальной суточной температуры воздуха в Вильнюсе (1918—1975 гг.)

	]	.	II		111		IV	-	ν	-	V		V	11	VI	11	1)	ι	χ	ζ	х	I	Х	11
Число	σ	μ	б	Į.	σ	μ	σ	ր	a	'n	σ	μ	σ	Įs.	σ	ĺτ	σ	μ.	σ	μ	ь	þr	σ	μ.
											Ср	едия	1											
5 10 15 20 25 30 Месяц	5,5 7,1 5,2 5,9 6,6 7,2 3,8	0,9 1,0 0,8 0,9 0,9 1,0 0,7	7,2 7,0 5,4 6,0 4,8 5,4 3,8	1,0 1,0 0,8 0,9 0,8 0,8 0,8	5,0 4,7 4,5 5,0 3,7 4,4 2,8	0,8 0,8 0,8 0,8 0,7 0,8 0,6	3,3 3,8 4,2 4,0 4,1 4,1 2,1	0,7 0,7 0,7 0,7 0,7 0,7 0,5	4,2 4,2 4,4 4,1 4,3 4,2 2,0	0,7 0,8 0,7 0,7 0,7 0,7 0,5	3,8 3,9 3,2 3,6 3,2 3,1 1,6	0,7 0,7 0,7 0,7 0,7 0,6 0,5	3,5 3,2 2,8 2,8 3,1 2,8 1,4	0,7 0,6 0,6 0,7 0,6 0,7 0,6 0,4	3,3 2,6 2,6 2,6 2,5 3,3 1,4	0,7 0,6 0,6 0,6 0,6 0,7 0,4	3,2 2,8 3,2 3,2 3,5 2,6 1,5	0,7 0,6 0,7 0,7 0,7 0,6 0,5	3,8 3,3 3,0 3,5 3,9 3,8 1,6	0,7 0,7 0,6 0,7 0,7 0,7 0,5	3,4 3,8 4,2 4,8 4,2 3,6 2,2	0,7 0,8 0,8 0,8 0,8 0,7 0,6	4,6 5,2 5,2 5,9 4,0 5,3 2,5	0,8 0,8 0,9 0,7 0,8 0,6
											Минн	маль	ная											
5 10 15 20 25 30 Месян	6,7 8,2 6,9 8,0 8,2 4,4	0,9 1,0 0,9 0,9 1,0 1,0 0,8	7,5 8,1 6,2 7,2 5,7 7,1 4,6	1,0 1,0 0,9 1,0 0,9 1,0 0,8	6,6 5.8 5,6 6,6 3,8 4,7 3,4	0,9 0,9 0,9 0,7 0,8 0,7	4.3 3,9 3.6 4,0 3,8 4,0 2,2	0,7 0,7 0,7 0,7 0,7 0,7 0,5	4,2 4,0 4,1 4,1 4,1 3,6 1,6	0,7 0,7 0,7 0,7 0,7 0,7 0,7	3,3 3,7 3,2 3,4 3,2 2,7 1,4	0.6 0.7 0.7 0.7 0.7 0.6 0.4	3,0 3,0 2,6 2,3 2,6 2,2 1,2	0,6 0,6 0,6 0,6 0,6 0,5 0,4	2,9 2,9 2,9 2,3 2,8 3,4 1,4	0,6 0,6 0,6 0,6 0,6 0,7 0,4	3.6 2,9 3,6 3,3 3,7 2,9 1,2	0,7 0,6 0,7 0,7 0,7 0,6 0,4	3,5 4,0 5,1 3,8 4,4 3,9 1,6	0,7 0,8 0,7 0,8 0,7 0,8 0,7	4,2 4,0 4,7 5,0 4,4 4,2 2,3	0.8 0,8 0,8 0,8 0,8 0,8	5,8 6,1 5,9 7,2 4,7 6,3 2,9	0,9 0,9 0,9 1,0 0,8 0,9 0,6
											Макс	нмал	ьная											
5 10 15 20 25 30 Ме <b>с</b> яі	4,6 6,3 4,8 4,9 5,8 6,2 3,3	0,9 0,8 0,8 0,9 0,9 0,7	5,1 6,0 4,5 5,1 3,7 4.0 3,2	0,8 0,9 0,8 0.8 0,7 0,7 0,7	4,0 4,8 4,1 4,4 4,5 5,3 2,5	0,7 0,8 0,7 0,8 0,8 0,8 0,6	4,6 4,7 5,1 5,0 5,2 4,6 2,7	0,8 0,8 0,8 0,8 0,8 0,8	5,4 4,9 5,2 4,9 5,0 5,2 2,3	0,8 0,8 0,8 0,8 0,8 0,5	4,8 5,0 3,8 4,5 4,2 3.7 2,0	0,8 0,8 0,7 0,8 0,7 0,7 0,5	3,6 3,7 3,4 3,7 3,5 4,0 1,7	0,7 0,7 0,7 0,7 0,7 0,7 0,7 0,5	3,9 3,4 3,5 3,8 3,2 3,8 3,5	0,7 0,7 0,7	4,2 3,7 3,6 4,2 4,2 3,3 2,0	0,8 0,7 0,7 0,8 0,8 0,7 0,5	4,3 3,3 3,5 4,0 4,1 3,9 1,7	0,8 0,7 0,7 0,7 0,7 0,7 0,5	3,6 3,8 4,1 4,0 4,1 3,4 2,1	0,7 0,7 0,7 0,7 0,7 0,7 0,5	4,0 4,0 4,7 5,4 3,8 4,3 2,2	0,7 0,7 0,8 0,8 0,7 0,8 0,5

Примечание. Для февраля данные взяты за 28-е число,

Таблица 17 Суточный ход температуры вэздуха (°C) (1881—1960 гг.)

Время, ч	I	11	111	IV	v	ıv	VII	VIII	ıx	x	ХI	11X
				Вил	тынюс,	ropo	<u>'</u>			1	<u> </u>	
1 2 3 4 5 6 7 8 9 10 11 12 13 14 15 16 17 18 19 20 21 22 23 24 Седияя Ампли- туда	-5,9 -6,0 -6,0 -6,1 -6,2 -5,1 -6,1 -6,0 -5,7 -5,3 -4,9 -4,4 -4,7 -4,9 -5,4 -5,5 -5,6 -5,7 -5,5 -5,6 -5,7 -5,9 -1,8	-5,6 -5,8 -5,9 -6,0 -6,1 -6,1 -5,7 -5,0 -4,4 -3,2 -3,0 -3,2 -3,0 -3,2 -3,6 -4,8 -5,0 -5,2 -5,4 -4,8 -3,1	-2,4 -2,7 -2,9 -3,1 -3,3 -3,4 -3,2 -2,7 -1,9 -0,9 0,0 0,7 1,7 1,8 1,6 1,2 0,6 -1,0 -1,4 -1,7 -2,0 -1,5 2	3,3 3,1 2,7 2,5 2,2 4,4 4,5,7 6,8 8,5 2,9,5 9,5 9,5 1,4,6 4,1 5,9 7,3	9,3 8,9 8,4 8,1 9,0 10,6 12,0 13,4 14,5 15,3 16,0,5 16,7 16,5 16,2 15,7 14,8 12,5 11,5 10,8 10,1 12,7 8,6	12,6 12,2 11,8 11,5 11,9 12,9 14,4 15,6 16,7 17,6 18,3 19,0 19,4 19,5 19,6 19,4 19,2 18,7 18,7 18,1 11,0 16,2 14,8 13,9 13,2 16,0 8,1	14.7 14,2 13,8 13,6 13,8 14,7 16,2 17,5 18,8 19,7 20,4 21,0 21,6 21,2 20,7 21,6 21,2 17,7 16,7 15,9 15,3 18,0 8,2	14,0 13,7 13,4 13,1 13,0 13,3 14,4 15,6 20,1 20,4 20,5 20,3 19,9 19,3 18,2 17,1 16,2 15,6 14,9 14,4 16,7,5	10,3 10.0 9,7 9,5 9,3 9,8 10,7 12,1 13,4 14,5 15,9 16,1 15,9 11,4 13,2 11,9 11,4 10,9 10,6 12,4 6,9	5,6 5,3 5,2 5,0 5,0 5,0 5,4 7,0 8,8 8,5 9,0 9,2 1 8,8 8,1 7,5 7,1 6,4 6,4 6,1 9,5 7,6 7,0 6,7 6,7 6,7 6,7 6,7 6,7 6,7 6,7 6,7 6,7	0,6 0,5 0,4 0,3 0,2 0,2 0,2 0,4 0,8 1,9 2,0 1,6 1,9 2,0 1,1 1,0 0,8 0,7 0,6 0,9 1,8	3,4  3,4  -3,5  -3,5  -3,5  -3,5  -3,5  -2,9  -2,6  -2,8  -2,9  -3,0  -3,1  -3,2  -3,3  -3,3  -3,4  -3,1
1 1	521	4,9	—1,9			ерват		. 7 4 0 1				
1 2 3 4 5 6 7 8 9 10 11 12 13 14 15 16 17 18 19 20 21	-5,2 -5,3 -5,4 -5,5 -5,5 -5,5 -5,5 -4,7 -4,3 -3,8 -3,9 -4,1 -4,6 -4,8 -4,8 -4,8		-1,9 -2,1 -2,3 -2,5 -2,6 -2,8 -2,8 -2,3 -1,5 -0,5 0,4 1,3 1,9 2,2 2,2 1,8 1,1 -0,1 -0,5	3,7 3,4 3,2 2,9 4,5 7,0 9,5 2,2 8,5 5,7 9,5 5,5 6,5 8	9,6 9,1 8,8 8,4 8,5 9,3 10,6 11,8 13,1 14,3,1 15,7 16,5 16,5 16,5 16,5,7 14,7,5 12,4	12.7 12.2 11,9 11,7 12,0 14,2 15,3 16,4 17,4 18,2 19,3 19,4 19,5 19,3 19,1 18,6 18,0 16,9 15,7	14,9 14,6 14,3 14,1 15,0 16,2 17,3 18,5 19,5 20,2 21,2 21,3 21,2 20,9 20,4 19,8 18,6 17,5	14,2 13,9 13,6 13,4 13,3 13,6 14,5 15,5 16,7 17,9 18,8 19,5 20,0 20,1 20,2 20,1 19,8 19,2 18,2 17,1 16,1	10,7 10,4 10,1 9,9 9,7 10,1 11,0 12,4 13,7 14,8 15,6 16,3 16,3 16,3 16,1 15,6 14,5 13,3 12,6 12,0	6,0 5,8 5,6 5,4 5,3 5,5,1 5,5,5 6,3 7,3 8,9 9,5 6,9 9,2 8,2 7,3 6,9 6,6	1,1 1,0 0,9 0,9 0,8 1,0 1,3 1,7 2,1 2,4 2,1 1,8 1,6 1,5 1,4 1,3	2,5 2,6 2,6 2,7 2,7 2,7 2,7 2,5 2,4 2,1 2,1 2,2 2,3 2,4 2,4 2,5

Время, ч	Į	П	III	IV	v	VΙ	VII	lliv	ıх	Х	ΧI	IIX
22 23 24 Средняя Ампли- туда	—5,0 —5,1 —5,2 —4,9 —1,8	-4,3 -4,5 -4,6 -4,2 3,0	-0,8 -1,1 -1,3 -0,5 5,0	5,3 4,8 4,4 6,1 6,9	11,5 10,9 10,1 12,7 8,2	14,7 14,0 13,4 15,9 7,8	16,6 16,1 15,4 17,9 7,2	15,6 15,0 14,6 16,7 6,9	11,6 11,2 10,8 12,7 6,6	6,4 6,2 6,0 7,0 4,5	1,3 1,2 1,2 1,4 1,8	-2,6 -2,7 -2,7 -2,4 1,0

Таблица 18 Средняя температура воздуха (°С) в зависимости от направления ветра в Вильнюсе (1945—1975 гг.)

Месяц	С	СВ	В	ЮВ	Ю	103	3	СЗ	Штиль	Сред- нее
				У	тро (7	ч)				
ī	11,9	—11,5 I	98	7,1	<b>—</b> 5,4	2,6	<b>2,0</b> ∤	5,1	10,4	-6,4
II	<b>—</b> 9,2	10,7	8,9	-6,9	-5,4	2,7	<b>2,4</b>	<b>—</b> 5,2	-11,2	-6,5
III	<del>7,</del> 2	7,4	<b>—</b> 5,7	-2,6	-2,0	1,4	-1,0	3,8	7,9	4,0
IV	2,0	3,4	3,9	5,7	5,0	3,6	2,7	1,2	3,2	3,7
V	9,2	10,9	11,9	13,3	12,4	10,1	8,5	8,2	11,0	10,7
VI	14,4	15,0	16,0	17,5	16,2	13,5	12,9	13,2	16,0	14,8
VII	15.1	16,8	18,0	17,2	16,5	14,8	14,8	14,5	17,1	15,9
VIII	13,9	14,9	15,3	16,2	15,0	13,8	13,8	13,2	14,5	14,4
IX	8,9	9,4	10,2	11,4	11,1	10,0	9,4	9,0	8,5	9,9
X	2,7	2,9	4,9	5,9	4,9	6,2	5,9	4,3	2,9 —0,1	4,8 0,6
ΙX	_1,0	—1,6	0,1	0,6	0,7	2,1 0,8	1,6 $-0,4$	0,6 2,6	-7,4	1
XII	_5,9	<b>7,</b> 9	5,3	3,3	-2,4	0,0	-0,4	2,0	— <i>1</i> ,4	
				Де	нь (13	ષ)				
I	-8,3	<b>—</b> 9,8	7,6	5,9	3,7	-1,7	1,0	-4,9	-9,2	4,8
H	<b>⊸</b> 5,7	<b></b> 7,3	5,4	-4,0	-2,4	-0,8	0,9	-4,5	5,1	3,3
Ш	0,3	-1,0	0,3	0,5	2,9	3,0	2,4	0,9	2,2	1,3
IV	6,9	8,7	10,3	11,3	11,4	9,7	8,1	6,7	8,1	9,3
V	14,6	15,8	18,0	19,0	18,8	16,0	14,8	14,0	14,6	16,2
VI	18,8	19,4	21,3	22,8	21,8	19,5	18,2	18,6	20,5	19,7
VII	21,0	22,1	23,8	23,5	22,9	20,6	19,7	20,4	21,9	21,2
VIII	19,8	20,1	21,5	23,1	22,4	20,1	19,4	19,0	20,5	20,4
IX	13,6	14,7	15,0	18,3	14,1	15,9	15,0	14,1	14,8	15,9
X	5,9	6,8	7,6	9,8	9,8	10,1	9,1	7,5	9,7	9,5
ΧI	0,2	0,0	1,1	2,3	2,9	3,1	3,5	1,5	0,5	2,2
XII	5,1	6,1	<b>→</b> 5,2	-2,2	-1,4	0,1	0,1	-2,4	<b>—</b> 5,2	-2,0
	1			l		l		i	l	

Таблица 19 Повторяемость (%) температуры выше или ниже указанных пределов при различных направлениях ветра в Вильнюсе (1945—1975 гг.)

							•		•
Время,	Темпера- тура, °С	С	СВ	В	ЮВ	Ю	юз	3	сз
				нŖ	варь				
07	$\begin{array}{c c} < -30 \\ < -25 \\ < -20 \\ < -15 \\ < -10 \\ < -5 \\ < 0 \\ \geqslant 0 \end{array}$	6,2 9,2 12,3 27,7 49,2 81,5 93,8 6,2	2,8 8,5 25,4 54,9 78,9 95,8 4,2	1,5 8,8 20,6 45,6 75,0 94,1 5,9	2,2 8,2 29,9 58,2 85,8 14,2	3,1 7,6 23,3 45,7 77,1	1,8 9,1 23,8 62,8	3,8 23,8 61,3	6,1 15,9 41,5 91,5
13	<-25 <-20 <-15 <-10 <-5 < 0	1,4 4,3 12,9 31,4 71,4 94,3 5,7	1,5 3,0 21,2 43,9 78,8 95,5 4,5	8,3 31,9 70,8 90,3 9,7	2,9 22,5 58,7 84,8 15,2	3,6 12,6 40,1 68,0 32,0	37,3 0,6 6,0 20,8 52,4 47,6	2,1 14,7 49,5 50,5	5,4 16,3 40,2 84,8 15,2
				Фев	раль				
07		4,7 7,8 17,2 39,1 70,3 98,4 1,6	4,3 9,8 27,2 48,9 77,2 100,0	1,6 4,7 14,1 40,6 67,2 90,6 9,4	0,8 1,5 10,7 28,2 53,4 81,7 18,3	4,5 7,4 23,3 43,2 77,3 22,7	0,8 6,8 26,3 59,3 40,7	3,5 9,4 20,0 62,4 37,6	2,8 4,2 7,0 19,7 38,0 84,5 15,5
13	<-25 <-20 <-15 <-10 <-5 < 0 > 0	1,9 3,7 18,5 48,1 85,2 14,8	1,4 5,5 32,9 67,1 95,9 4,1	3,0 20,9 62,7 91,0 9,0	1,4 12,1 45,0 72,9 27,1	0,6 5,7 27,7 61,6 38,4	16,9 47,1 52,9	1,0 1,0 5,2 16,7 44,8 55,2	0,9 6,1 17,5 37,7 73,7 26,3
				Ma	рт				
07	<-20 <-15 <-10 <-5 < 0 > 0	6,3 15,0 27,5 56,3 92,5 7,5	2,1 17,5 33,0 55,7 88,7 11,3	3,7 8,5 18,3 42,7 85,4 14,6	1,6 8,1 27,6 64,2 35,8	1,9 3,8 8,9 19,6 56,3 43,7	0,8 6,1 20,6 54,2 45,8	12,1 56,6 43,4	1,3 3,8 11,5 29,5 71,8 28,2
13	<-10 <-5 < 0 > 0 > 5 > 10 > 15	2,5 22,8 63,3 36,7 6,3	2,8 16,9 60,6 39,4 9,9 1,4	23,5 55,1 44,9 11,2 2,0	1,3 9,5 39,9 60,1 15,8 5,1 1,9	5,7 22,0 78,0 24,8 9,9 1,4	2,0 20,1 79,9 26,2 6,7 1,3	1,6 26,8 73,2 23,6 4,7	0,8 15,8 46,7 53,3 14,2 2,5

			•						
Время,	Темпера- тура, °С	С	СВ	В	ЮВ	Ю	103	3	С3
		· · · · · · · · · · · · · · · · · · ·		Апр	ель				
07	$\begin{array}{c c} < -5 \\ < 0 \\ > 0 \\ > 5 \\ > 10 \\ > 15 \end{array}$	1,3 23,7 76,3 15,8 1,3	2,4 15,7 84,3 32,5 4,8	14,3 85,7 40,0 5,7 1,4	5,6 94,4 53,2 19,4 0,8	8,8 91,2 44,1 12,9 1,8	0,9 14,5 85,5 34,2 6,0 0,9	12,9 87,1 24,7 3,5	2,2 30,4 69,6 9,8 1,1
13	< 0 > 0 > 5 > 10 > 15 > 20 > 25	2,8 97,2 64,8 22,5 5,6	1,4 98,6 73,6 34,7 16,7 2,8	1,3 98,7 80,0 54,7 24,0 6,7	3,0 97,0 85,9 57,0 25,9 8,1	100 86,7 53,6 27,7 12,0 0,6	0,8 99,2 82,5 39,7 19,0 5,6	1,5 98,5 69,7 31,8 12,1	7,5 92,5 60,9 18,8 8,3 2,3
				M	ай				
07	> 0 > 5 > 10 > 15 > 20	100 87,9 41,1 7,3	100 93,0 59,7 14,5 1,6	100 93,5 68,2 25,9	100 98,1 82,9 36,2 1,0	100 94,7 71,7 28,3 3,5	100 90,2 44,6 14,1 2,2	100 86,5 31,5 2,2	100 78,4 32,4 1,8
13	> 0 > 5 > 10 > 15 > 20 > 25	100 96,0 79,4 49,2 13,5 0,8	100 99,0 86,0 63,0 20,0 3,0	100 100 90,8 70,4 35,7 10,2	100 100 95,7 75,7 41,7 12,2	100 100 95,4 71,6 45,8 11,9	100 98,1 89,7 54,2 20,3 2,8	100 100 89,1 43,8 14,8 2,3	100 100 78,8 40,6 13,1 2,5
				И	онь				
07	> 5 > 10 > 15 > 20	100 93,1 42,2 3,9	100 93,5 48,7 10,6	100 95,1 67,2 9,8	100 98,9 83,9 19,4	100 93,9 61,8 18,3	100 88,9 29,3 1,0	100 .87,6 20,6 1,0	100 85,3 30,1 2,1
13	> 5 > 10 > 15 > 20 > 25 > 30	100 99,2 82,2 40,7 4,2	100 98,7 81,8 42,9 14,3	100 98,4 91,8 72,1 16,4	100 99,0 87,5 78,1 35,4 1,0	100 98,1 92,2 68,9 28,2 1,9	100 100 84,1 44,2 15,9 0,9	100 98,2 79,3 35,5 4,7	100 97,7 82,8 38,5 4,6
					юль			. 100	+ 100
07	>10 >15 >20 >25	100 65,7 6,1	100 83,7 13,0	100 89,6 29,2	100 81,0 16,7	100 61,9 16,8 0,9	100 37,7 3,1	100 43,6 2,1	39,5 2,3
13	>10 >15 >20 >20 >25 >30	100 99,1 62,5 13,4	100 97,5 76,3 20,0	100 100 88,3 35,0 1,7	100 100 85,2 35,8 2,5	100 94,7 69,5 35,8 9,5	100 87,7 49,4 12,3 3,1	100 88,9 42,2 7,0 0,5	100 95,2 55,1 10,8

	1			у одолже.	nne rao.	W. 19			
Время,	Темпера- тура, °С	С	СВ	В	юв	10	103	3	СЗ
				AB	густ		*** <u>*</u>		<u></u>
07	> 5 >10 >15 >20	100 90,5 40,5 1,2	100 95,6 46,2 7,7	100 100 50,0	100 99,0 71,4 8,2	100 95,7 47,8 5,8	100 96,0 30,9 0,7	100 96,6 27,1 1,7	100 93,3 26,7
13	>10 >15 >20 >25 >30	98,9 90,1 51,6 11,0	100 90,8 52,6 13,2	100 94,9 64,4 20,3 1,7	100 98,8 74,4 34,9 3,5	100 96,9 70,1 27,6 3,1	100 92,4 46,8 11,7 0,6	100 92,7 40,7 5,6	99,3 90,7 38,0 4,0
				Сент	ябрь			. ,	ı
07	<ul> <li>&gt; 0</li> <li>&gt; 5</li> <li>&gt; 10</li> <li>&gt; 15</li> <li>&gt; 20</li> </ul>	100 82,9 29,3	100 80,4 39,3 5,4	100 85,0 45,0 12,5	100 93,5 64,5 11,2 0,9	100 95,1 55,7 11,5 0,5	100 92,3 56,0 4,8	100 85,3 46,8 6,4	100 87,3 43,7 2,8
13	<ul> <li>5</li> <li>10</li> <li>15</li> <li>20</li> <li>25</li> </ul>	100 80,3 36,6 5,6	97,2 88,9 47,2 16,7 2,8	100 85,4 53,7 19,5 2,4	99,1 96,2 76,4 36,8 9,4	100 95,7 74,8 42,3 9,8	100 91,6 55,8 17,4 3,7	99,4 91,2 49,4 8,2 1,8	99,3 89,9 39,1 8,0
				Октя	брь			, ,	•
07	<-5 < 0 ≫ 0 ≫ 5 ≫ 10	1,7 28,3 71,7 33,3 3,3	1,9 21,2 78,8 38,5	9,3 90,7 46,5 16,3	7,4 92,6 58,7 18,2	1,0 11,3 88,7 50,8 9,2	5,3 94,7 64,3 13,5	5,3 94,7 61,7 9,6	10,2 89,8 42,9
13	<-5 < 0 > 0 > 0 > 5 > 10 > 15 > 20	6,8 93,2 57,5 12,3	1,8 3,6 96,4 67,9 25,0 3,6	4,2 95,8 75,0 35,4 4,2	2,7 97,3 80,0 51,8 19,1	1,6 98,4 89,3 47,1 14,4 1,6	0,5 99,5 91,9 49,5 10,6	100 90,8 41,2 4,6	2,3 97,7 69,2 26,2 1,5
0.7				Ноя	э́рь	٠			
13	<-10 <-5 < 0 > 0 > 5 > 10	20,0 57,5 42,5 7,5	5,6 24,1 59,3 40,7 9,3	6,0 13,4 44,8 55,2 16,4	1,1 11,6 45,3 54,7 17,1 2,2	3,3 10,0 41,6 58,4 15,3 1,4	1,7 26,0 74,0 23,1 0,6	1,2 6,0 28,6 71,4 14,3	6,9 56,9 43,1 3,4
	<-10 <-5 < 0 >> 0 >> 5 >> 10	11,4 52,3 47,7 13,6	16,7 39,6 60,4 6,3	1,2 16,0 32,1 67,9 21,0	5,6 27,8 72,2 27,8 4,9	0,9 5,0 25,9 74,1 30,0 5,5	1,7 15,2 84,8 29,2 2,8	4,3 13,8 86,2 33,0 2,1	1,4 31,5 68,5 11,0

# Продолжение табл. 19

Время,	Темпера- тура, °С	С	СВ	В	ЮВ	10	ЮЗ	3	сз
				Дека	брь				
07	$\begin{array}{c c} < -20 \\ < -15 \\ < -10 \\ < -5 \\ < 0 \\ > 0 \\ > 5 \end{array}$	7,3 24,4 51,2 95,1 4,9	7,0 14,0 35,1 68,4 89,5 10,5	1,5 4,5 27,3 47,0 81,8 18,2 1,5	2,9 13,6 33,6 70,7 29,3 5,7	1,3 6,7 24,6 58,9 41,1 0,9	1,9 16,4 50,2 49,8 3,9	2,4 10,6 48,2 51,8 3,5	2,9 4,3 26,1 68,1 31,9 1,4
13	<-20 <-15 <-10 <-5 < 0 > 0 > 5	2,1 14,9 48,9 89,4 10,6	8,5 23,7 49,2 93,2 6,8	1,6 3,2 17,5 52,4 81,0 19,0 3,2	4,5 22,6 69,2 30,8 5,3	4,5 16,5 55,1 44,9 2,5	2,0 10,9 39,6 60,4 5,4	6,7 39,4 60,6 5,8	2,8 4,2 27,8 65,3 34,7 1,4

Таблица 20

# Повторяемость (%) различных сочетаний температуры воздуха и скорости ветра в Вильнюсе (1964—1973 гг.)

** **	6-		-										
				Ско	рост	ь ветр	а, м/с					оряе-	e. cTb,
Температура	0-1	2-3	4-5	6-7	8-9	10-11	12-13	14-15	16-17	18-19	20-21	Повто	Ofecn 4e1110 %

# Теплый период (май — сентябрь)

—2,0···—0,1 0,0··· 1,9 2,0··· 3,9 4,0··· 5,9 6,0··· 7,9 8,0··· 9,9 10,0··· 11,9 12,0··· 13,9 14,0··· 15,9 16,0··· 17,9 18,0··· 19,9 20,0··· 21,9 22,0··· 23,9 24,0·· 25,9 26,0·· 27,9 28,0·· 29,9 30,0··· 31,9 32,0··· 33,9 Повторяемость, 9 Обеспеченность, 9	$ \begin{array}{c ccccccccccccccccccccccccccccccccccc$	•	0,1   100 0,5   99,9 1,4   99,4 2,8   98,0 4,9   95,2 8,7   90,3 12,4   69,2 14,5   54,5 13,2   40,0 9,8   26,8 7,1   17,0 4,8   9,9 5,1 1,5   0,6 (0,1)   0,1 100
----------------------------------------------------------------------------------------------------------------------------------------------------------------------------------------------------------------------------------------------------------------	--------------------------------------------------------	---	-----------------------------------------------------------------------------------------------------------------------------------------------------------------------------------------------------------------

-				Ско	рость	ветр	a, M c	:				-916-	, j
Температура	0-1	2-3	4-5	2-9	8-9	10-11	12-13	14-15	16-17	18-19	20-21	Повторяе-	Обеспе- ченность, %
	Хол	одны	ій пе	рнод	(окт	ябры	a	пре	ль)				
$\begin{array}{c} -30,0 \cdots -28,1 \\ -28,0 \cdots -26,1 \\ -26,0 \cdots -24,1 \\ -24,0 \cdots -22,1 \\ -22,0 \cdots -20,1 \\ -22,0 \cdots -18,1 \\ -18,0 \cdots -16,1 \\ -16,0 \cdots -14,1 \\ -14,0 \cdots -12,1 \\ -12,0 \cdots -10,1 \\ -10,0 \cdots -8,1 \\ -8,0 \cdots -6,1 \\ -6,0 \cdots -4,1 \\ -4,0 \cdots -2,1 \\ -2,0 \cdots -0,1 \\ 0,0 \cdots 1,9 \\ 2,0 \cdots 3,9 \\ 4,0 \cdots 5,9 \\ 6,0 \cdots 7,9 \\ 8,0 \cdots 9,9 \\ 10,0 \cdots 11,9 \\ 12,0 \cdots 13,9 \\ 14,0 \cdots 15,9 \\ 16,0 \cdots 17,9 \\ 18,0 \cdots 19,9 \\ 20,0 \cdots 21,9 \\ 20,0 \cdots 21,9 \\ 22,0 \cdots 23,9 \end{array}$	0.1 0.1 0.1 0.1 0.2 0.2 0.3 0.3 0.4 0.6 0.5 0.3 0.3 0.3 0.2 0.1	0,1 0,2 0,3 0,4 0,4 0,5 0,7 2,2 1,4 1,3 1,0 0,8 0,4 0,2 0,1 0,1	0,1 0,1 0,3 0,4 0,5 0,7 1,1 1,7 2,1 2,6 3,9 4,7 2,5 2,0 1,3 1,2 0,8 0,2 0,1 0,1	0.1 0.1 0.2 0.3 0.5 0.8 1.2 1.4 1.7 2.1 2.7 4.3 5.6 1.8 1.6 1.0 0.3 0.3	0,1 0,2 0,4 0,6 0,6 0,8 0,9 1,4 1,1 0,7 0,6 0,4 0,3 0,1 0,1	0.1 0.1 0.2 0.2 0.2 0.3 0.3 0.1 0.1 0.1	0,1 0,1 0,1 0,1 0,1 0,1 0.1	0,1				0,1 0,4 0,5 0,5 0,1 1,7 2,7 3,9 4,5 6,1 7,2 9,1 13,3 16,2 9,2 4,4 2,7 0,7 0,7 0,4 0,2 (0,1)	100 99,5 99,5 99,0 98,1 95,0 92,3 88,4 77,8 70,6 61,5 48,2 32,0 15,4 10,2 5,8 11,4 0,7 0,3 0,1
Повторяемость, % Обеспеченность, %	4,8 100	17,7 95,2	28,1 77,5	32,3 49,4	14,0 17,1	2,1 3,1	0,6 1,0		(0,1) 0,1			100	•

Примечание. Точка (.) означает, что повторяемость данного сочетания менее 0.05%.

Таблица 21 Глубина проникновения температуры 0°С в почву под естественным покровом (по наблюдениям на глубинах 0,2, 0,5 и 1,0 м) в Каунасе, обсерваторня (1925—1950 гг.)

Глубина, см	X	X1	XII	I	11	III	ΙV
Средняя многолетняя	0		43	57	63	58	
Наибольшая	0	33	72	88	103	103	100
Наименьшая	0	0	0	0	0	0	0

Примечания: 1. В таблице обозначено: 0 — нулевая температура не достигает глубины 20 см; точка (·) — нулевая температура в данном месяце более чем в 50% зим не достигала глубины 20 см.

2. Средняя глубина проникновения температуры в почву для апреля не приводится из-за малого числа лет наблюдений.

## РЕЖИМ АТМОСФЕРНОГО УВЛАЖНЕНИЯ

 Таблица
 22

 Влажность воздуха по месяцам и за год

			•••									<del></del>
	водяного	онтО	ситель	іая вл	жност	ь, %	Миним отпоси		с от: вл:	исло ди носител ижност	тыной	сыше-
	Водз						BHAN	HOCIP	в о из сј	дин Юков	96	ж на
Месяц	Упругость пара, гПа	1	7	13	19	сутки	средняя	абс. мяни- мум	<30%	<50%	в 13 ч ≯80%	Недостаток насыще- иня, гПа
				Вил	ьнюс	(1945-	-1975	rr.)				
т.	3,8	88	88	84 1	86	87	60	32	0,0	0,3	22,8	0,5
I I	3,9	87	88	80	84	85	52	28	0,1	0,7	16,2	0,6
III	3,9 4,6	86	88	70	77	, 80	40	26	0,3	5,0	11,1	1,2
IV	6,9	84	84	59	68	73	30	19	1,4	12,9	6,2	3,1
V	9,8	82	76	52	61	68	26	16	2,9	18,6	4,0	5,6
VI	12,8	85	76	56	62	70	30	21	1,0	15,3	4,5	6,6
VII	14,6	87	81	58	67	73	35	19	0,5	13,5	4,0	6,6
VIII	14,3	88	86	60	71	76	37	23	0,3	11,3	4,8	5,4
IX	11,4	89	90	66	79	80	39	26	0,2	7,0	6,7	3,4
Х	8,5	90	92	75	84	85	45	30	0,0	2,2	14,2	1,6
ΧI	6,2	90	91	84	88	88	54	20	0,1	0,5	21,5	0,8
XII	4,8	90	90	87	89	89	59	34	0,0	0,2	25,2	0,5
Год	8,5	87	86	69	76	80	42	16	6,8	87,5	141,2	3,0
				Kay	иас (	1950-	–1975 i	rr.)				
I	4,0	88	88	84	86	86	57	39	0,0	0,5	22,7	0,5
II	4,1	88	89	80	84	85	54	32	0,0	0,7	16,4	0,6
Ш	4,7	85	87	69	77	79	39	23	0,2	5,2	9,8	1,3
ΙV	7,1	85	84	61	72	76	33	23	0,8	11,8	7,8	2,8
v	9,9	85	79	55	64	71	30	21	1,5	15,9	4,4	4,8
VI	12,6	87	78	56	64	71	32	22	0,6	14,4	3,9	6,3
VII	14,7	88	83	59	68	74	37	23	0,3	12,6	3,8	6,1
VIII	14,4	90	87	60	74	78	37	25	0,6	11,0	4,7	5,2
IX	11,6	91	90	65	82	82	40	22	0,3	5,9	6,6	3,2
X	8,9	91	92	75	86	86	47	33	0,0	1,5	14,4	1,6
IX	6,4	90	90	83	86	88	54	26	0,0	0,5	20,8	0,8
XII	5,0	90	90	86	89	89	60	26	0,1	0,2	25,0	0,6
Год	8,6	88	86	69	78	80	43	21	4,4	80,2	140,3	2,8

Таблица 23 Повторяемость (%) различных сочетаний температуры и относительной влажности воздуха в Вильнюсе (1966—1975 гг.)

				-, -, -, -, -, -, -, -, -, -, -, -, -, -				700—I	919 FI	•)
			Относ	нтельн	ая влах	кность,	96		£ 37	, á
Температура, °С	100-91	90 – 81	80 – 71	19-02	60 – 51	50-41	40 – 31	₹30	Повторя- емость, %	Обеспе- ченность, %
Теп —2,0···-—0,1	лый пе	ернод	(май	— сен	тябрь	), все	срок	и		
0,0··· 1,9 2,0··· 3,9 4,0··· 5,9 6,0··· 7,9 8,0··· 9,9 10,0··· 11,9 12,0··· 13,9 14,0··· 15,9 16,0··· 17,9 18,0··· 19,9 20,0··· 21,9 22,0··· 23,9 24,0··· 25,9 26,0··· 27,9 28,0··· 29,9 30,0··· 31,9	0,2 0,8 1,3 2,1 3,6 5,0 4,9 3,3 2,1 0,4 0,1	0,1 0,4 0,7 1,2 2,0 3,1 4,1 3,7 2,3 1,5 0,4 0,1	0,1 0,1 0,4 0,8 1,1 1,9 2,8 3,2 2,6 1,9 1,0 0,3 0,1	0,1 0,1 0,4 0,7 0,8 1,7 2,2 2,8 2,2 1,5 0,8 0,3 0,1	0,2 0,3 0,7 1,0 1,4 1,8 2,2 1,9 1,3 0,8 0,3 0,1	0,1 0,3 0,5 0,7 1,1 1,5 1,8 1,7 1,1 0,6 0,2	0,1 0,3 0,4 0,5 0,5 0,6 0,6 0,6 0,4 0,2	0,1 0,1 0,2 0,1	0,4 1,4 2,5 4,7 7,8 11,9 15,3 14,9 13,2 10,3 7,3 5,1 1,5 0,5	100 99,6 98,2 95,7 91,0 83,2 71,3 56,0 41,1 27,9 17,6 10,3 5,2 2,1
Повторяемость, %	23,8 23,8	19,6 43,4	16,3 59,7	13,7 73,4	12,0 85,4	9,6 95,0	4.5	0,5	0,1 100	0,1
Тепль	яй пер	иод, ј	цневні	ле ср	оки (9	, 12,	15, 18	ч)		
$0,0\cdots 1,9$ $2,0\cdots 3,9$ $4,0\cdots 5,9$ $6,0\cdots 7,9$ $8,0\cdots 9,9$ $10,0\cdots 11,9$ $12,0\cdots 13,9$ $14,0\cdots 15,9$ $16,0\cdots 17,9$ $18,0\cdots 19,9$ $20,0\cdots 21,9$ $22,0\cdots 23,9$ $24,0\cdots 25,9$ $28,0\cdots 29,9$ $30,0\cdots 31,9$	0,1   0,3   0,6   1,2   1,8   2,9   3,1   1,9   1,3   0,2   0,1	0,2 0,3 0,8 1,1 1,8 2,8 2,8 1,9 1,3 0,3	0,2 0,6 0,7 1,3 2,3 2,7 2,7 2,1 1,4 0,4	0,1 0,3 0,6 0,7 1,5 2,3 3,8 2,9 2,1 1,3 0,4 0,2	0,2 0,3 0,7 1,3 1,6 2,4 3,1 2,8 2,1 1,3 0,5 0,1	0,1 0,2 0,4 0,7 1,1 1,9 2,4 3,1 2,0 1,1 0,5	0,1 0,4 0,6 0,8 0,9 1,1 1,5 1,2 0,7 0,4 0,2	0,1 0,1 0,2 0,1 0,1 0,4 0,2 0,1	0,1 0,5 1,2 3,2 4,7 7,9 12,1 13,1 14,9 13,1 11,0 8,5 5,5 2,7 1,1 0,3	100 99,9 99,4 98,2 95,0 90,3 82,4 70,3 57,2 42,3 29,2 18,2 9,6 4,1
Повторяемость, % Обеспеченность, %	13,5 13,5	13,4 26,9	. , -	16,2 57,7	16,4 74,1	16.7	7,9	1,3 100	100	0,3
*		Γ	од, вс	е сро	ки					
$\begin{array}{c ccccccccccccccccccccccccccccccccccc$		0,1 0,1 0,3	0,1 0,1 0,1 0,1	0,1					0,2 0,2 0,2 0,5	100 99,8 99,6

			Относи	тельна	я влаж	ность,	26		- Bd-	1.15
Температура, °С	100-91	90 – 81	80-71	70-61	60-51	50-41	40-31	<30	Повторя емость,	Обеспе- ченность,
—18,0 · · —16,1 —16,0 · · —14,1 —14,0 · · —12,1 —12,0 · —10,1 —10,0 · — 8,1 —8,0 · — 6,1 · —6,0 · — 4,1 —4,0 · — 2,1 —2,0 · — 0,1 0,0 · — 1,9 2,0 · — 3,9 4,0 · — 5,9 6,0 · — 7,9 8,0 · — 9,9 10,0 · — 11,9 12,0 · — 13,9 14,0 · — 15,9 16,0 · — 17,9 18,0 · — 19,9 20,0 · — 21,9 22,0 · — 23,9 24,0 · — 25,9 26,0 · — 27,9 28,0 · — 29,9 Повторяемость, % Обеспеченность, %	0,2 0,5 0,5 1,0 1,5 2,2 4,3 4,0 2,7 2,2 2,7 2,2 1,4 0,9 0,2	0,4 0,5 0,6 0,8 0,9 1,1 1,3 1,4 1,8 2,1 1,6 1,0 0,6 0,2	0,2 0,3 0,3 0,4 0,4 0,5 0,7 0,8 0,8 0,8 0,8 1,3 1,4 1,2 0,4 0,1	0.1 0.2 0.3 0.1 0.2 0.3 0.4 0.4 0.4 0.5 0.6 0.5 0.6 0.5 0.9 0.6 0.1 0.9 0.1 0.9	0,1 0,1 0,1 0,2 0,2 0,2 0,3 0,3 0,3 0,5 0,5 0,5 0,5 0,5 0,5 0,5 0,5 0,5 0,5	0,1 0,1 0,1 0,2 0,3 0,3 0,4 0,5 0,7 0,8 0,7 0,5 0,3 0,1 5,3 97,3	0,1 0,1 0,1 0,1 0,2 0,2 0,2 0,3 0,3 0,3 0,4 0,2 0,1 2,6 99,9	0,1 100	0,7 0,9 1,3 2,0 2,0 2,9 3,7 4,8 7,5 10,9 5,3 6,7 7,2 6,7 5,8 4,4 3,1 1,3 0,2 100	99,1 98,4 97,5 96,2 94,2 92,2 89,3 85,6 80,8 73,3 49,4 44,1 38,1 24,2 17,5 11,7 7,3 4,2 2,1 0,8 -0,2

Примечание. Точка (·) означает, что повторяемость данной градации менее 0,5 %

Таблица 24 Количество осадков (мм), приведенное к показаниям осадкомера, с поправками на смачивание

Характеристика	I	[]	III	IV	v	VΙ	VII	VIΙΙ	ĮΧ	х	ХI	XII	X~[[]	IV-X	Год
	1	Вилі	ьню	с, г	оро,	ц (1	891-	<b>—</b> 19	75 r	r.) ¹					
Среднее 2 %-ная вероят-	37 65	36 62	36 70	44	57 150	76	89	89	59	53	53	44 87	206	467	673 827
ность 95 %-ная вероят- ность	10	8	9	14	11	18	32	19	15	. 8	12	12			435
	Кау	нас,	об	сері	вато	рия	t (18	392	-197	75 г	г.) 1				
Среднее 2 %-ная вероят-	37   54	36 66		146	60	74	89	92	60	54	54 118	46 82	211	475	686  858
ность 95 %-ная вероят- ность	9	10	7	14	14	20	24	26	12	10	12	6			465,

¹ Наблюдения велись с перерывами.

Таблица 25 Число дней с осадками различного вида в Каунасе (1950—1975 гг.)

Вил осадков	I	Ħ	Ш	IV	v	VI	VII	VIII	ıx	X	Χi	XII	Год
Ливневые жидкие твердые смешанные Обложные жидкие твердые смешанные Моросящие жидкие твердые	6 1 24 5 15 4 4 4	6 5 1 22 5 13 4 4 4	8 2 4 2 18 6 7 5 3 2 1	9 6 2 1 14 10 1 3 1	13 12 1	13 12	13 13	13 13 6 6	9 9	6 6 14 13 1 3 3	6 3 2 1 22 14 4 4 5 4	6 1 4 1 26 9 12 5 6 5	110 80 24 6 172 94 52 26 29 26

Примечание. Точка (·) означает, что среднее число дней менее 0.05 % ,

Таблица 26
Повторяемость дождей различной продолжительности (в % от числа случаев данного месяца) в Вильнюсе (1951—1970 гг.)

			-	П	родолжі	тельност	ъ, ч		A CONTRACTOR OF THE CONTRACTOR	
Месяц	0,1 -0,5	0,6-1,0	1,1-2,0	2,1 -4,0	4,1 -8,0	8,1-12,0	12,1-16,0	16,1-20,0	20,1 -3,0	3,0
I	13,5	14,0	22,4	21,9	18,8	4,7	1,6	2,1	0,5	0,5
I II	8,8	9,5	18,2	29,1	20,3	10,1	2,0	1,4	0,7	******
III	11,5	13,0	21.6	23,6	15,4	7,7	3,4	2,4	1,4	*****
IV	11,5 24,9	15,3	18,3	15,8	16,7	4,4	2,7	1,6	0,3	_
V	33,8	15,9	17.7	16,0	11,2	2,6	1,5	0,2	0,7	0,4
VI	34,0	17,9	16,9	19,8	7.0	3,0	0.6	0,2	0,6	
VII	39,1	18,2	14,9	16,9	7,3	2,4	0,8	0,4		
VIII	37,3	17,4	18,6	14,9	6,1	3,0	1,5	0,4	0,6	0,2
Χl	35,9	17,6	19,1	13,7	9,2	2,7	1,2	0,3	0,3	_
X	23,4	12,8	19,4	18,1	17,1	5,3	2,9	1,0	—	
ΧI	14,3	11,2	20,4	21,7	18,3	7,2	4.2	1,8	0,7	0,2
IIX	14,4	6,9	23,5	22,0	21,3	6,9	1,4	1,4	2,2	
Год	27,7	15,0	18,8	18,1	12,6	4,3	1,9	0,9	0,6	0,1

Таблица 27 Повторяемость (%) обложных и ливневых осадков различной продолжительности (ч) в Каунасе (1949—1965 гг.)

Обложине	осадки	Ливневые осадки					
продолжительность, ч	повторяемость, %	продолжительность, ч	повторяемость, %				
6	58,5	≪2	84,2				
6,1—12	22,8	2,1-4	14,1				
12,1—18	10,1	4,16	1,4				
18,1—24	5,3	6,1-8	0,3				
24,148	3,0	8.1—10					
48,1—72	0,3	10,1—12					

Таблица 28 Суммарная продолжительность осадков (1945—1975 гг.)

Продолжи- тельность, ч	I	II	Ш	ΙV	٧	VΙ	VIΙ	VIII	IX	Х	ΧI	XII	Год
			]	Виль	нюс.	rone	Д						
Вильнюс, город Средняя   185   180   134   105   66   57   50   50   64   96   164   196   1347													
				Виль	нюс,	AMO	CF					-	
Средняя Наибольшая Год	244 319 1967	277	142 217	113	76   78	72 127	67	151	144	243	287	367	1594 1778 1954
			Kay	тас,	обсе	рват	ория	Į.					
Средняя	210	184				•	-		76	108	181	237	1512
			Каун	iac, a	irpoi	нетст	ганци	ıя					
Средняя Наибольшая Год	136 270 1960	188	224	155	130	92	87	119	137	170	262	283	7 1011 8 1522 6 1958
				Та	блиц	a 29							

Суточный максимум осадков (мм) различной интегральной повторяемости P (%)

				•		<b>,</b> ,				
	Сред-			Ρ,	96			Наблю	денный м	аксимум
Месяц	ний макси- мум	63	20	10	5	2	1	ММ	число	год
			Виль	нюс (18	391—19	)75 rr.)	1			
I III IV V VI VIII IX X XI XII Год	7 8 8 11 16 20 25 23 14 12 10 9 37	5 6 6 8 11 16 18 17 11 9 7 6 30	9 11 10 15 23 28 37 34 20 16 14 12 48	12 13 13 19 31 35 48 41 24 20 19 15 58	14 15 16 24 39 42 55 47 27 23 24 18 67	16 18 20 31 51 52 64 57 32 28 33 23 80	19 23 21 37 60 60 70 62 35 30 39 28 89	13 27 23 36 63 77 63 63 40 30 32 24 77	25 24 30 20 31 	1935 1960 1927 1959 1897 1901 1924 1927 1957 1912 1960 1904 1901
			Кa	унас (1	1297—1	965 rr.	) ¹			
I III IV V VI	7 7 8 11 16 21	5 6 7 8 11 15	9 10 11 15 22 28	12 13 14 19 29 36	14 15 17 22 36 44	17 18 20 28 47 54	19 20 23 32 55 63	22 24 20 29 75 48	31 26 6 3 27 29	1900 1950 1962 1897 1930 1963

¹ Наблюдения велись с перерывами.

	Сред-		1.	Ρ,	Наблюденный максимум					
Месяц	ний макси- мум	63	20	10	5	2	I	мм	число	год
VII VIII IX X XI XII Год	24 24 16 12 11 9 38	17 17 12 9 8 7 31	33 34 21 17 15 13 48	43 44 26 22 18 16 57	53 54 32 28 22 20 66	66 68 39 36 26 24 78	78 80 45 41 30 28 88	77 79 45 34 22 25 77	20 27 9 14 VII	1906 1954 1913 1929 1923 1901 1906

Таблица 30

## Характеристики обильных осадков (мм) за апрель - сентябрь

Нан- боль-	99				Ин	тегра.	пьная	повт	ряем	ость.	%			(%) elx
жество <u>2</u>	Средне	ь	5	10	20	30	40	50	60	70	80	90	95	Число лет без обильн осадко

Вильнюс (1918—1975 гг.)

79,1 | 1954 | 40,9 | 11,6 | 68 | 60 | 46 | 41 | 39 | 37 | 35 | 34 | 32 | 31 | 30,2 | 41

Наблюдения велись с перерывами.

Таблица 31

# Повторяемость (%) сочетаний температуры воздуха и скорости ветра при количестве осадков > 0,1 мм

	1			Скорость	Barna (	) - 1/1/1/2 ) (1/1/2)	· · · · · · · · · · · · · · · · · · ·		1
	l		`	akopocia	berpa (	MIL)			
Температура воздуха, °С	0,0-2,0	2,1 4,0	4,1 -6,0	6,1-8,0	8,1-10,0	10,1-12,0	12,1 –14,0	14,1-18,0	Σ
В	ильню	ос. нек	абрь —	- март	(1936—	1975	s 1		
$\begin{array}{c} \ll -20,1 \\ -20,0 \cdots -16,1 \\ -16,0 \cdots -12,1 \\ -12,0 \cdots -8,1 \\ -8,0 \cdots -4,1 \\ -4,0 \cdots -0,1 \\ 0,0 \cdots 3,9 \\ 4,0 \cdots 7,9 \\ \end{array}$	0,4 1,0 2,2 3,6 6,8 7,0 0,1 21,1	0,1 0,2 1,3 1,8 4,5 8,8 9,8 0,7 27,2	0,1 0,2 0,9 1,8 4,9 8,5 11,4 0,5 28,3	0,2 0,8 1,8 3,8 4,3 4,5 0,4 15,8	0,3 0,6 1,4 1,0 1,6 0,4 5,3	0,1 0,1 0,2 0,3 0,5 0,1 0,2 1,5	0,2 0,1 0,2 0,5	0,1 0,1 0,1	0,2 1,2 4,4 8,5 18,8 30,0 34,6 2,3 100,0
		Вильн	юс, ап	рель —	- ноябр	Ь			
$\begin{array}{c} -12,0\cdots-8,1\\ -8,0\cdots-4,1\\ -4,0\cdots-0,1\\ 0,0\cdots-3,9\\ 4,0\cdots-7,9\\ 8,0\cdots-11,9\\ 12,0\cdots-15,9\\ 16,0\cdots-19,9\\ \geqslant 20,0\\ \Sigma \end{array}$	0,3 0,6 3,2 3,5 5,9 7,3 0,9 25,1	0,1 0,4 1,7 5,1 5,2 8,6 8,4 3,3 0,5 33,3	0,1 1,7 6,1 6,3 5,9 5,1 2,0 0,6 27,8	0,7 2,7 2,2 2,0 1,0 0,3 0,1 9,0	0,6 0,9 0,8 0,5 0,2 0,1	0,5 0,3 0,2 0,2 0,1	0,3	0,1	0,1 0,8 5,8 18,6 18,3 23,1 22,1 9,1 2,1 100,0

$ \begin{array}{c ccccccccccccccccccccccccccccccccccc$			пре	одолже	ние та	ол. от				
Вильнюс, год  —20,0				С	корость	ветра (з	1/c)			
$ \begin{array}{c c c c c c c c c c c c c c c c c c c $	Температура воздуха, °С	0,0-2,0	2,1-4,0	4,1-6,0	6,1-8,0	8,1-10,0	10,1-12,0	12,1-14,0	14,1 -18,0	Σ
$\begin{array}{c ccccccccccccccccccccccccccccccccccc$				Вильн	нос, го	д				
$ \begin{array}{c c c c c c c c c c c c c c c c c c c $	$\begin{array}{c} -20,0\cdots -16,1 \\ -16,0\cdots -12,1 \\ -12,0\cdots -8,1 \\ -8,0\cdots -4,1 \\ -4,0\cdots -0,1 \\ 0,0\cdots 3,9 \\ 4,0\cdots 7,9 \\ 8,0\cdots 11,9 \\ 12,0\cdots 15,9 \\ 16,0\cdots 19,9 \\ \geqslant 20,0 \\ \Sigma \end{array}$	0,4 0,9 1,7 3,1 4,7 2,1 3,5 4,4 2,0 0,5 23,5	0,5 0,8 2,0 4,5 6,9 3,4 5,2 5,1 2,0 0,3 30,8	0,4 0,7 2,0 4,3 8,2 4,0 3,6 3,1 1,2 0,4 28,0	0,3 0,7 1,5 2,1 3,4 1,5 1,2 0,6 0,2 0,1 11,7	0,2 0,5 0,8 1,2 0,7 0,3 0,1 0,1 4,1	0,2- 0,5 0,2 0,2 0,1 ·	0,1 0,2	0,1	0,5 1,8 3,4 8,0 15,4 24,9 12,0 13,9 13,3 5,5 1,3 100,0
—20,0 —10,1			с, дека	брь —	март (	(1966—)	1973 гг	.)		. 05
Каунас, апрель — ноябрь $\frac{1}{2}$ — $1$	$ \begin{array}{r} -16,0 \cdots -12,1 \\ -12,0 \cdots -8,1 \\ -8,0 \cdots -4,1 \\ -4,0 \cdots -0,1 \\ 0,0 \cdots 3,9 \\ 4,0 \cdots 7,9 \\ 8,0 \cdots 11,9 \end{array} $	1,2 1,2 3,2 6,3 9,2 1,0 0,1	0,8 2,6 4,4 8,3 15,0 0,9	1,3 4,7 6.5 13,2 1,7	1,2 2,1 2,8 4,2 0,8	0,7 0,7 1,3 1,0 0,3	0,4 0,2 0,3 0,1 0,1			3,6 7,4 15,3 25,5 42,8 4,8 0,1 100,0
$\begin{array}{c c c c c c c c c c c c c c c c c c c $	<u> </u>	1		-	•	ноябр	Ь			
$\begin{array}{c ccccccccccccccccccccccccccccccccccc$	$\begin{array}{cccc} -4,1 & \cdots & -0,1 \\ 0,0 & \cdots & 3,9 \\ 4,0 & \cdots & 7,9 \\ 8,0 & \cdots & 11,9 \\ 12,0 & \cdots & 15,9 \\ 16,0 & \cdots & 19,9 \\ 20,0 & \cdots & 23,9 \end{array}$	0,2 4,2 5,5 6,5 9,5 4,6 0,9	0,1 1,1 6,5 6,1 7,9 8,8 3,8 0,8	0,1 1,2 3,9 6,5 4,6 4,4 1,6 0,3	0,6 2,0 2,2 1,6 0,5 0,5 0,1	0,1 0,6 0,8 0,4 0,1 0,1 0,1	0,1 0,1 0,3	•	0,1 0,1 0,1	0,4 3,2 17,5 21,3 21,4 23,3 10,7 2,2 100,0
$\begin{array}{c ccccccccccccccccccccccccccccccccccc$				Kay	нас, го	Д	1	1	ı	0,2
200 23 9   0.5   0.5   0.2   0.1	$\begin{array}{c} -16,0\cdots-12,1\\ -12,0\cdots-8,1\\ -8,0\cdots-4,1\\ -4,0\cdots-0,1\\ 0,0\cdots-3,9\\ 4,0\cdots-7,9\\ 8,0\cdots-11,9\\ 12,0\cdots-15,9\\ 16,0\cdots-19,9\\ 20,0\cdots-23,9 \end{array}$	0,5 1,4 2,6 6,2 3,7 4,0 5,7 2,8 0,5	0,3 1,0 1,8 4,0 9,8 4,0 4,8 5,3 2,3 0,5	0,5 1,9 3,4 7,5 4,6 2,8 2,6 1,0 0,2	0,5 0,8 1,5 2,9 1,6 1,0 0,3 0,3 0,1	0,3 0,5 0,7 0,6 0,3 0,1	0,1 0,1 0,2 0,1 0,2	•	0,1	1,4 2,9 6,3 12,1 27,5 14,7 13,1 14,0 6,4 1,4

Примечание. Точка (·) означает, что повторяемость данной градации менее 0,05 %.

Таблица 32 Количество осадков (мм), падающих на стены различной ориентации, за теплый период (апрель—ноябрь)

Станция	С	СВ	В	ЮВ	ю	103	3	СЗ
Вильню <b>с</b>	148	116	110	147	190	232	234	199
Каунас	154	111	98	112	164	230	259	219

Таблица 33 Даты образования и разрушения устойчивого снежного покрова различной обеспеченности

	Об	еспечені	пость в ук	азанные д	аты и (	иниер ээг.оо	10, fá		Крайние
Станция	95	90	75	50	25	10		5	даты
			Oốn	азовани	۹.				
Вильнюс Каунас	3 II   14 II	20 I 3 II				I   19 X II   24 X	I   13 I   17	XI XI	29 X 12 XI
			Раз	рущение	:				
Вильнюс Каунас	11 IV   10 IV	8 IV 7 IV	1 IV 30 III	22 III 20 IV	5 H 2 H	I   14 II I   7 II	19	) I 5 I	14 IV 15 IV
			Та	блица 34	ļ				
Высота	снежног	о пок	рова, ег	нтопп о	ость	и запас	воды	в ст	неге
			XII	1		11	1		111
Характері	истика	1	2   3	1 2	3	1 2	3	1	2 3
	,	R	ильнюс	(195319	965 rr	. )			
Высота, см		1 / L	5   5	R   G	111	•/ -13   17	18 1	17 1	13 1 .
Плотность, г	см3	-		0.18 0.2	3 0.22	$ \begin{array}{c cccc} 13 & 17 \\ 0,24 & 0,22 \end{array} $	0.23	0.24	0.27
Запас воды,		•		13   23	26	28 33	38	42	38   •
•		ŀ	Саунас (1	1948—196	65 . rr.)				
Высота, см		.	4   4	6   5	8	10   12	14	13	8   •
Плотность, г Запас воды,		:			0.20	$\begin{array}{c c c} 10 & 12 \\ 0.21 & 0.22 \\ 26 & 33 \end{array}$	0,25	0,25 41	0,30  · 31   ·
		- 1		•	,				

Примечание. Точка (·) означает, что снежный покров в данной декаде наблюдался менее чем в 50~% зим и что при высоте покрова <5 см его плотность и запас воды не измерялись.

Таблица 35 Средняя декадная высота снежного покрова (см) по постоянной рейке

XI XII	I	II	111	IV	Наибольшая за зиму
1 2 3 1 2 3	1 2 3	1 2 3	1 2 3	1 2 3	Сред- нал Макси- маль- нал (год) Мини- маль- ная (год)

Вильнюс, город (1917—1975 гг.) . | 1 | 1 | 3 | 5 | 6 | 8 | 10 | 11 | 12 | 14 | 15 | 13 | 11 | 6 | 1 | · | · | 21 | 45 | 6 1959-60 1924-25

IIX IX	1		II			II	1	ΙV	Н	анбол	т кети	азиму
1 2 3 1 2 3	1 2	3	1 2	3	1	2 3	1	2	3 -redo	ная макси-	(roa)	мини- маль- ная (гоп)
			Вил	PHIO	AN	1СГ						
.   1   2   3   5   7	1 1		4  16	1	1				$\cdot \mid_{2^{i}}$	4 1966	7 5-67 1	7 922-23
.   .   1   2   3   4	7   8	-	бсерв 9  11				-197	5 rr.	) ·   ^{[1}		3 2-53]1	5 929-30
			аунас,			стан	ция					
.   .   1   2   2   3 Примеча	5   6 ание. 1		7   8   (·) оз	9   нача		7   3 410	¹	ный	·   14	1959		2 924-25 анн ой
декаде́ наблюда	ался ме	нее че	ем в	50 %	ó ЗИМ	1.				^		
РЕЖ	им об	ПАЧН	ОСТИ	И	ATM	ОСФ	EPH	ЫЕ :	явлі	ЕНИЯ	न	
					ица З							
Средняя ме	сячная	и год			цая і 1975		княя	обл	ачно	сть	(бал.	лы)
Облачность	I	Ili	ıv	V	VI	VII	VIII	IX	х	ХI	XII	Год
					, гор							
Общая Нижняя	8,2   8,   7,1   7,	2   6,8 1   5,3	6,8 4,9		6,4   4,5 c, A <i>l</i>		6,4	6,5 4,9	7,6 6,4	8,4 7,9	8,6 7,9	7,2 5,8
Общая	18218	1   67					1641	66	177	184	1871	73
Нижняя	8,2   8,   7,4   7,	6 5,8	5,3	4,4	4,5	4,7	4,7	5,4	6,7	8,1	8,2	7,3 6,1
			аунас						•	•	•	
Общая Нижняя	8,1   8, 6,8   6,							6,7 4,8	7,5 6,2	8,6 7,8	8,6   7,6	7,3 5,6
Общая	181:8		унас, 1751					71	180	187	1871	7,5
Нижняя	8,1   8,   6,6   6,	5,2	5,4	4,7	4,8	4,8	5,1	5,2	6,6	8,1	7,8	5,9
					ица З					•		
Средняя ме				обл	ачно	сть і				чась	а сут	ок
Время, ч	I I	III	ıv	V	VI	VII	AIII	ıx	x	ΧI	IIX	Год
	·		Обла	чнос	ть о	бщая	·					
00	7,3 7,	7   5,8	16.21	5.3	6,0	5,4	4,1	5,2	6,8	8,2 8,3	8,6	6,4
03 06	7,7 7,		6,2 7,1	5,2 6,8	5,6 6,3	4,8 6.2	4,0 5,6	5,0 6,4	7,2 7,5	8,3 8,6	8,5 8,7	$^{6,4}_{7,2}$
09	8,1 8,	5 7,4	7,6	6,6	6,1	6,2	5,9	7,3	8,5	8,8	8,8	7,5
$\frac{12}{15}$	8,1 8,	2 7,4	7,7	7,2	6,8	6,8	6,2	7,1	8,4	8,9	8,9	7,7
15 18	8,0   8, 7,8   8,		8,0 7,9	7,5 7,4	7,4	7,4 7,1	6,9 6,5	7,3 7,0	8,1 7,8	8,8 8,7	8,8 8,9	7,8 7,6
21	7,1 7,	6,3	7,5	6.8	6.6	6.2	5,8	6,4	6,7	8,2	8,6	7,0
Амплитуда	1,0   0,	9   1,6	1,8	2,3	1,8	2,5	2,9	2,2	1,8	0,7	0,4	1,4

Время, ч	I	П	III	IV	V	VI	VII	VIII	IX	X	XI	XII	Год
			(	Облач	ност	ь ни	жняя						
00 03 06 09 12 15 18 21	5,8 6,2 6,6 6,4 5,7 5,4 5,2 5,4	6,3 6,5 7,0 6,9 6,0 5,9 5,8 5,9	4,1 4,6 5,2 5,3 5,1 4,6 4,0	3.4 3.6 4.2 4.5 5,1 5,8 5,4 4.1	1.9 2.0 3.1 3.1 4.0 4.8 4.5 3.0	3.1 2.7 3.2 3,1 4.6 5.3 5.0 3,4	2,6 2,4 3,2 3,3 4,6 5,4 4,9 3,3	1,5 1,8 2,8 2,8 4,0 5,0 4,4 2,5	2,7 3,1 4,4 4,7 4,6 5,3 4,3 4,6	5,4 6,2 6,5 6,8 6,7 6,4 5,6 4,8	7,3 7,9 7,9 7,6 7,2 7,1 6,9	7,8 8,0 8,0 7,8 7,5 7,1 7,7 7,6	4,3 4,5 5,2 5,2 5,4 5,7 5,4 4,5
Амплитуда	1,4	1,2	1,3	2,3	2,9	2,6	3,0	3,5	2,6	1,9	1,0	0,9	1,4

Таблица 38 Повторяемость (%) ясного, полуясного и пасмурного состояния неба (1945—1975 гг.)

			(		• • • •	•,						
Облачность	Баллы	1   11	111	IV	v	VI	VII	VIII	IX	X	XI	XII
		I	Зилы	110C,	горо	Д						
Общая	3-7	$\begin{array}{c ccccccccccccccccccccccccccccccccccc$	26   12	23	25 23	23 24	24 24	23 25	25 18	17 12	9 7	11 4
Нижняя	0-2 2	9   78 9   28 4   6 7   66	62 43 10 47	60 44 18 38	52 45 25 30	53 42 29 29	52 42 30 28	52 42 28 30	57 40 22 38	71 29 14 57	84 16 9 75	85 18 7 75
		Е	Вильн	ioc,	AMC:	Γ						
Общая		$\begin{array}{c ccccccccccccccccccccccccccccccccccc$	25	21 17	21 24	20 26	22 27	21 30	$\begin{array}{c} 22 \\ 23 \end{array}$	16 12	8	9
Нижняя	8-10 7	8 78 5 28	62 45	62 45	55 47	54 45	51 45	49 46	55 45	72 32	84 18	85 19
111111111111111111111111111111111111111		8 5	7 48	18 37	26 27	27 28	28 27	27 27	21 34	13 55	8 74	5 76
		Kay	нас,	обсе	рвато	пидо						
Общая	3—7	$\begin{bmatrix} 7 & 17 \\ 6 & 7 \end{bmatrix}$	28	22   18	27 22	24 21	27 21	24 22	24 18	20 12	11 7	12 7
Нижняя	0-2 2	77   76 25   28	61 40	60 43	51 52	55 47	52 45	54 48	58 46	68 36	82 19	81 23
		6 1 71	7 53	17 40	16 32	14 39	22 33	16 36	14 40	7 57	6 75	5 72
		Кауг	iac, a	агром	тетст	анци	я					
Общая	3-7	15   16 7   6	28	21	22   19	24 21	22 23	25 21	23	19   11	10	11 6
Нижняя	8—10	78   78 28   31	62 46	66 43	59 46	55 50	55 45	54 47	60 44	70	83 20	83 21
	37	4   4 88   65	7 47	13 44	19 35	17 33	23 32	21 32	15 41	10 57	76	5 74
		,	,			,			,			

Таблица 39 Число ясных и пасмурных дней по общей и нижней облачности (1946—1975 гг.)

	1			***************************************	Яс	:но									Пасы	урно				
			общая		, , ,			прижин	ſ				общая				1	нжняя		
Месяц	сред- нее	наи- боль- шее	год	нан- мень- шее	год	сред- нее	наи- боль- шее	год	наи- мень- шее	год	сред- нее	наи- озь-	год	наи~ мень- шее	год	сред- нее	нан- боль- шее	год	наи- мень- шее	год
								В	ильню	c, rop	ЮЛ									
I III IV V VI VIII IX X XI XII	1,6 1,6 1,6 2,8 3,8 2,7 2,6 1,8 3,1 1,3 0,7 0,9	5 4 9 8 14 6 10 9 11 6 3 3	1950 1947 1956 1963 1949 1954 1951 1963 1949 1962 1962	0 0 0 0 0 0 0 0 0 0 0 0 0 0 0 0 0 0 0 0	1957 1952 1961 1956 1951 1956 1958 1958 1962 1957 1958 1958	3,5 3,0 7,1 7,4 7,9 6,8 5,8 5,9 6,6 3,1 1,4 1,7	7 17 12 15 10 15 14 8 6 6	1946 1959 1960 1952 1949 1950 1953 1955 1953 1951 1953 1959	0 0 0 2 2 3 2 2 1 0 0	1950 1952 1947 1956 1964 1948 1953 1953 1952 1952 1956 1958	20,9 18,1 14,3 12,4 10,0 8,9 10,7 10,5 10,4 16,1 22,1 23,4	27 26 22 26 19 15 16 18 25 27 29	1950 1952 1954 1956 1952 1946 1932 1930 1952 1954 1950 1954	15 9 9 4 1 4 6 3 2 15 12	1946 1956 1956 1951 1949 1955 1963 1959 1949 1949 1962 1961	16,7 14,1 9,2 6,4 4,5 2,9 4,0 3,3 5,1 10,7 18,6 19,7	23 24 19 15 10 10 8 8 11 19 26 26	1950 1952 1954 1956 1952 1948 1950 1962 1952 1952 1950 1954	11 5 3 0 1 0 1 0 2 2 11 8	1953 1956 1952 1946 1953 1954 1955 1949 1953 1961
Год	26,5	50	1949	0	1958	60,2	86	1963			177,8	208	1958	146	1949	115,2	148	1952	87	1933
І ІІІ ІV V VI VIII IX X XI XII Год	1,4 0,9 3,4 2,2 1,6 1,7 2,2 1,6 1,9 1,1 0,7 1,1	9 3 9 6 9 7 7 9 5 4 4 4	1969 1951 1974 1953 1949 1968 1971 1951 1969 1949 1953 1972	0	1967 1968 1967 1967 1968 1967 1965 1967 1966 1967 1967	2,3	15 8 17 14 21 14 11 13 15 9 6 7 89	1972 1969 1974 1965 1971 1968 1971 1965 1949 1975 1972	0 0 1 1 3 0 2 3 1 0 0	1953 1965 1966 1967 1966 1974 1974 1974 1971 1970 1970 1967	20,2 17,2 13,5 12,6 10,5 10,1 8,4 8,5 10,1 15,9 22,4 22,9 172,3	24 25 21 15 15 18 14 16 25 28 29 190	1956 1950 1967 1967 1965 1974 1965 1952 1974 1952 1974 1966	13 11 3 3 4 4 1 1 3 3 14 15 139	1969 1970 1952 1952 1971 1951 1951 1949 1949 1953 1972 1951	14,4 12,1 7,8 5,4 3,2 2,4 2,2 2,8 3,9 10,0 17,4 18,4 100,3	21 21 18 10 11 10 8 8 8 20 26 27 139	1953 1950 1954 1969 1952 1949 1954 1954 1952 1972 1971 1954	5 7 1 0 0 0 0 0 0 1 7 12 58	1970 1969 1969 1974 1971 1967 1966 1965 1949 1965 1972 1965

Продолжение табл. 39

								1	O MARCE I		ou. ou									
					Я	сно								<del>*************************************</del>	Пась	аурно			***************************************	<del></del>
			общая					нижняя					общая		***************************************		1	нжияя		
Месяц	сред- нее	наи- боль- шее	год	нан- мень- шее	год	сред- нее	нан- боль- шее	год	пан- мень- шее	год	сред- нее	нан- боль- шее	год	нан - мень- шее	год	сред- нее	пан- боль- шее	год	нан- мень-	год
								Каун	ac, of	серва	тория					·			·	
І ІІ ІІ IV VI VII VIII IX X XI XII Год	1,1 1,2 3,6 1,9 2,5 2,0 3,6 2,1 1,9 2,1 0,7 1,1 23,8	8 4 11 12 11 8 5 14 14 4 6 7 48	1937 1947 1942 1940 1947 1937 1946 1938 1949 1953 1976 1940	0 0 0 0 0 0 0 0 0 0	1965 1955 1947 1955 1955 1954 1953 1953 1954 1954 1954	3,2 2,6 6,9 7,1 8,3 8,4 7,7 8,6 4,6 1,8 2,2 70,0	13 7 15 15 21 16 13 21 16 13 7 9 95	1940 1936 1943 1940 1947 1934 1941 1939 1938 1943 1953 1953 1951	0 0 0 1 3 1 0 1 2 1 0 0 50	1938 1955 1947 1932 1955 1931 1937 1936 1945 1952 1955 1935	20,5 17,2 12,3 13,5 10,8 11,2 11,3 8,0 9,3 13,9 21,1 21,7 170,7	28 25 24 19 18 17 18 17 19 24 28 30	1931 1936 1927 1941 1926 1928 1954 1928 1945 1952 1937 1935 1926	8 9 6 5 3 3 2 3 2 12 14 127	1937 1929 1953 1953 1949 1940 1937 1951 1949 1953 1933 1953	15,4 14,0 6,8 7,0 3,3 3,9 2,8 2,2 4,0 7,6 15,8 16,2 99,0	24 22 24 15 13 10 10 10 12 25 28 27 165	1939 1934 1941 1939 1931 1943 1932 1943 1937 1937 1935 1939	7 2 2 1 1 0 1 0 0 1 9 11 87	1937 1947 1950 1946 1946 1951 1950 1948 1944 1949
								Кауна			танци									
І II IV V VI VIII IX XI XII Год	1,7 1,0 3,4 1,9 2,7 2,4 1,8 1,9 2,1 1,3 0,7 0,9 21,8	6 3 10 5 6 6 6 9 5 4 6 5 6 3 6	1951 1962 1952 1953 1950 1966 1971 1951 1955 1955 1972 1951	0 0 0 0 0 0 0 0 0	1975 1974 1971 1974 1974 1974 1972 1973 1979 1974 1973	3,4 2,8 8,1 6,1 8,1 7,4 6,9 6,0 6,2 4,0 1,4 2,0 62,4	9 6 19 13 16 13 15 20 13 8 7 8	1950 1963 1960 1961 1971 1968 1963 1955 1913 1955 1953 1972 1959	0 0 0 1 3 0 1 0 0 0 0 37	1967 1973 1967 1972 1974 1974 1974 1967 1973 1974 1967 1971 1967	19,9 17,4 13,7 13,3 11,4 11,0 11,1 9,8 10,9 15,7 21,3 21,9 177,4	26 23 22 22 20 22 19 17 17 27 28 208	1960 1952 1967 1966 1962 1974 1974 1957 1952 1959 1954 1974	15 11 6 3 4 4 3 1 5 7 12 12 140	1954 1954 1956 1953 1950 1951 1963 1973 1975 1961 1953 1972 1951	15,4 14,0 6,8 7,0 3,3 3,9 2,8 2,2 4,0 7,6 15,8 16,2 99,0	20 17 15 9 8 11 9 12 21 26 24	1957 1974 1967 1956 1962 1974 1974 1963 1974 1952 1971 1952	8 5 3 1 1 0 0 0 3 4 10 79	1969 1970 1970 1960 1960 1970 1970 1960 1960 1960 1960

Таблица 40 Повторяемость (%) основных форм облаков по месяцам в разные сроки наблюдений, в Вильнюсе, АМСГ (1945—1964 гг.)

	K	Сонвективнь	ie	Фронт	альные	Подынве	рснонные
Время, ч	кучевые	кучево- дождевые	высоко- кучевые	высоко- слоистые	слоисто- дождевые	слоисто- кучевые	слоистые
			Яня	варь			
00 03 06 09 12 15 18 21	0 0 0 0 0 100 0	0 0 0 0 0 0 0	12 9 10 12 15 16 15 11	12 11 10 11 13 14 16 13	10 12 15 13 15 12 12 11	13 13 11 11 11 14 13 14	14 14 16 14 14 10 9
	_			враль		. 10	10
00 03 06 09 12 15 18 21	0 0 0 0 0 0 0 100	12 13 0 0 12 50 13 0	10 9 8 12 16 17 16 17 16 12	10 8 7 12 16 15 20 12	14 17 17 13 14 9 8 8	13 12 10 12 12 12 14 14 14 13	12 11 14 17 12 14 10 10
				арт			1 10
00 03 06 09 12 15 18 21	0 0 0 0 22 50 28 0	6 3 1 9 13 22 26 20	12 10 9 13 14 14 13 15	12 11 9 13 13 15 13 14	10 11 18 13 18 8 10 12	11 13 12 12 11 13 15 13	10 10 16 17 18 14 9 6
				рель			
00 03 06 09 12 15 18 21	0 0 3 26 41 29 0	8 5 4 5 9 22 23 24	12 12 13 13 10 10 10 12 18	11 10 11 12 11 12 15 18	12 12 13 18 17 13 6 8	9 8 9 11 13 14 19 17	14 13 20 22 14 6 6 5
				Лай			
00 03 06 09 12 15 18 21	0 0 4 27 37 29 3	9 4 5 4 9 19 26 24	15 13 14 12 10 10 13 13	14 13 11 10 11 11 11 16 14	6 10 19 19 13 12 9 12	12 11 12 12 13 9 12 19	4 9 20 39 15 7 4 2

Продолжение табл. 40

			тродоние:				
	J	Конвективнь :	ie .	Фроит	альные	Подынве	рснонные
Время, ч	кучевые	кучево-	высоко- кучевые	високо- слонстые	слонсто- дождевые	слоисто- кучевые	слоистые
			V	Іюнь			
00 03 06 09 12 15 18 21	0 0 1 5 27 32 30 5	12 7 5 3 9 19 24 21	14 13 12 13 11 11 11 12 14	16 14 9 12 10 13 13 13	15 14 19 18 11 3 8 12	18 14 13 11 10 10 9 15	5 14 29 35 10 0 5
			И	оль			
00 03 06 09 12 15 18 21	0 0 1 5 25 34 28 7	13 6 3 5 11 20 24 18	14 11 13 12 11 11 13 15	13 10 11 10 10 10 14 16 16	15 20 16 20 8 5 5	14 13 13 12 10 8 10 20	6 7 31 38 10 4 3
				густ			
00 03 06 09 12 15 18 21	0 0 0 4 25 36 32 3	10 5 6 2 10 21 24 22	13 11 14 13 11 10 12 16	15 10 14 9 10 13 12 17	9 11 17 26 13 12 6 6	9 16 14 12 7 10 23	7 13 20 39 9 4 3 5
			Сент	ябрь			
00 03 05 09 12 15 18 21	0 0 0 1 22 45 32 0	6 4 2 5 11 26 28 18	13 11 10 13 11 10 15	13 11 10 10 12 13 15	11 12 16 21 15 9 7	13 10 11 10 12 13 12 19	6 9 21 30 19 5 5
			Окт	ябрь			
00 03 06 09 12 15 18 21	0 0 0 0 30 52 18 0	4 4 3 2 9 30 31 17	12 8 8 12 14 14 17 15	10 7 8 11 15 18 19 12	13 12 19 15 12 8 8	12 11 9 10 12 16 18 12	8 12 13 22 18 12 9

Продолжение табл. 40

				П	одол	кен	ле та	юл. 4	Ю					
1		ŀ	Онвек	гивные	:		Ċ	рронт			Πc	одынв	ерснопп	ые
Время, ч		кучевые	кучево-	дождевые	високо-	and and the	высоко-	слоистые	cnoucto-	дождевые	CHOROLO	кучевые	owtowono	
						Hos	брь							
00 03 06 09 12 15		0 0 0 0 0 0	0 0 0 21 16 37		11 11 7 10 13 16		11 11 7 6 14	; }	13 13 14 13 13	3 3 3		13 12 11 11 12 13	11 12 15 15 15 15	2 5 5
18		0	26	<b>;</b>	18 14		21 18		1 1			l5 l3	10	)
21		0	(	, !	14	Дек		,	1	U	1 -	·	, 1	
00	l	0	(		11		15		1	3		12 11	1 13	2
03 06		0		)	7 6		į	7 5	1 1	3		12	14	1
09 12		0 33	18	)	14 19		1 1			3 4		12 11	15 15	5
15		67	40	3	19 11	)	1: 1:	8		$\frac{1}{2}$		13 15	1	l 9
18 21		0	36		13		1			1		14	1	
							ица 4							
	По	вторя	емос	ть (%	) pa	злич	ного	чис	ла д	ней	с ту	манс	M	<del></del>
Число дней	I	II	III	IV	v	VI	VII	VIII	IX	х	ΧI	XII	Дин	Год
			I	Зильн	юс, г	op <b>o</b> 1	(194	15—1	963 г	r.)				
	5 59 26	58 32 10	5 69 26	11 84 5	21 74 5	53 47	37 63	89 11	74 26	62 16 11	5 79 16	63 37	11—20 21—30 31—40 41—50 50	5 32
			B	альню	c, A	МСГ	(194	9—19	75 r	r.) ¹				
6—10	24 47 23 6	12 53 35	35 35 30	12 59 17 12	$\begin{bmatrix} 6\\70\\24 \end{bmatrix}$	18 76 6	6 76 18	59 35 6	30 70	18 35 47	18 64 18	12 23 47 18	51—60 61—70 71—80 81—90	12
·			Кау	нас,	обсер	ватс	рия	(1923	—198	54 rr	.)			
6—10	3 41 34 22	37 47 16	44 37 19	9 78 13	34 63 3	28 72	12 .88	6 72 22	59 38 3	44 44 6	16 56 28	41 44 12 3	31—40 41—50 51—60 61—70 71—80 81—90 >90	0 28 0 28 0 16 0 16

¹ Наблюдения велись с перерывами.

#### Продолжение табл. 41

Число дней	I	11	III	IV	v	VI	VII	VIII	IX	х	ΧI	XII	Дии	Год
0 1—5 6—10 11—15	11 50 31 8	4 50 42 4	Каун 12 69 19	ac, ar   8   80   12	роме   15   77   8	тста   23   73   4	нция 4 88 8	(195)   8   69   19   4	0—19 69 31	975 r 4 50 38 8	r.)   4   58   38	4 58 34	31—40 41—50 51—60	42 23 23

Таблица 42

# Повторяемость туманов различной продолжительности $\tau$ (% от общего числа случаев)

						родо.	тижи	иакэт	ості						
•	5	<1,0	1,1-3,0	3,1 6,0	6,1-9,0	9,1-12,0	12,1-15,0	15,1-18,0	18,1-21,0	21,1-24,0	24,1-30,0	30,1 36,0	36,1-42,0	тмакс	Дата

#### Вильнюс, город (1946-1964 гг.)

4,2 | 3,82| 14 | 37 | 29 | 9 | 5 | 3 | 2 | 0,6| 0,3| 0,1| — | — | 29,4 | 13—14 XII 1959 Вильнюс, АМСГ (1965—1975 гг.)

4,4 | 5,06| 21 | 32 | 23 | 11 | 6 | 4 | 0,8| 0,3| 0,6| 0,3| 0,5| 39,7 | 6---7 I 1973

Каунас, агрометстанция (1950—1975 гг.) 4,5 | 4,38| 17 | 32 | 26 | 11 | 7 | 4 | 1 | 1 | 0,5| 1 | 2 | — | 32,0 | 29—30 X 1972

Таблица 43

#### Средняя продолжительность явлений (ч) (1945-1975 гг.)

	Вил	ьнюс, го	род		ьнюс, 1СГ	Кауна	с, обе.	К	аунас, ат	.bo
Месяц	туман	метель	гроза	туман	метель	туман	метель	туман	метель	гроза
		C	уммар	ная пр	одолжі	тельн	ость			
Ţ	13	24	.	49	38	32	16	27	34	
II	20	34	•	63	47	46	28	28 19	34	
III	16	16 3	0,1	42	20	36	16 1	19	17 1	1
IV V	10	ა	1 8	22 11	1	20 12	1	7	1	6
νĭ	9		12	6		4				9
VΪΪ	5 2 5 7		$1\overline{2}$	8		4 7		4 8	.	6 9 9 7 2
VIII			9 3	18		17		16		7
IX	15		3	22		15		23		
X	29	0,5 5		48	1	34	1	34	0,1	0,2
ΧI	18	5		60	.8	45	2 12	30	6	
XII	25	16		71	19	51	12	30	19	
X—III IV—IX	122 44			333 87		243 76		$\frac{168}{72}$		
Год	166	98	45	420	134	319	76	240	111	34

	Вил	ьнюе, г	род	Вил	тьнюс, МСГ	Каун	ас, обс.	К	Саунас, аг	po
Месяц	туман	метель	гроза	туман	метель	туман	метель	туман	метель	гроза
							вление			
X—III IV—IX Год	4,6 3,3 4,2	5,9	1,8	6,0 3,5 5,3	6,8	6,5 3,6 5,5	4,4	5,9 4,0 5,2	5,6	1,3
				Tac	блица 4	4				
	Повто	ряемос	ть (%	) разл	отонриг	числ	а дней	с гро	30й	
Число дней	II	III I	v v	VΙ	VII VII	I X	x xi	XII	Число дней	Год
	-				1906—19					
$\begin{vmatrix} 0 & 1 & 5 \\ 6 & -10 \\ 11 & -15 \end{vmatrix}$	$\begin{bmatrix} 7 & 97 \\ 3 & 3 \end{bmatrix}$	84   5	$ \begin{array}{c cccc} 3 & 10 \\ 6 & 74 \\ 1 & 15 \\ & 1 \end{array} $	9 54 34 3	$\begin{bmatrix} 3 & 2 \\ 45 & 65 \\ 47 & 33 \\ 5 & \end{bmatrix}$	$\left \begin{array}{c}27\\71\\2\end{array}\right $	86   97 14   3	100	1—10 11—20 21—30 31—40	6 42 42 10
					1923—1	975 гг				
$\begin{array}{c c} 0 & 5 & 9 \\ 6-10 & 11-15 & 9 \end{array}$	4   100	92   5 8   4	$ \begin{array}{c cccc} 5 & 2 \\ 1 & 75 \\ 4 & 21 \\ 2 \end{array} $	2 60 32 6	$\begin{array}{c c} 2 & 0 \\ 41 & 66 \\ 45 & 32 \\ 9 & 2 \end{array}$	19 79 2	83   98	100	1—10 11—20 21—30 31—40	4 38 45 13

¹ Наблюдения велись с перерывами.

Таблица 45 Повторяемость (%) различного числа дней с градом

Дин	I	II	111	IV	v	VI	VII	VIII	1X	х	ΧI	XII	Год
		•		Вил	ьнюс	(189	961	975 ı	r.) 1				
0 1 2 3 4 5	100	100	100	82 13 4	60 27 10 3	72 18 9 1	86 13 1	87 12 1	79 20 1	93 6 1	100	100	23 22 27 11 10 6
				Ка	аунас	(192	231	975 1	rr.)				
0 1 2 3 4 5	100	100	100	90 4 6	60 32 6 2	74 24 2	83 15 2	85 15	85 11 4	85 13 2	96 4	96 4	19 26 34 11 8 2

¹ Наблюдения велись с перерывами.

` Таблица 46
Число дней с гололедно-изморозевыми отложениями на проводах

Вил отложения	x	XI	XII	I	11	111	ΙV	Макси- маль- ное за энму	Год				
	Вильн	юс, г	ород (	(1952–	-1964	rr.)							
Гололед Изморозь	0,1	2	3	4	2	1	0,2	27	1959-60				
зернистая кристаллическая Мокрый снег Сложное отложение	0,1	0,2 0,1 0,1	0,8 1 0,4 0,2	0,9 3 0,2	0,5 3 0,4 0,2	0,1 2 0,8	0,1	8 14 8 4	1952-53 1961-62 1957-58 1964-65				
Вильнюе, АМСГ (1952—1975 гг.)													
Гололед Изморозь зернистая кристаллическая Мокрый снег Сложное отложение	0,1	2 0,5 0,4 0,1 0,4	2 2 0,7	5 2 3 0,1 0,9	3 1 2 0,3	0,7 1 0,3 0,1	0,1	32 16 18 5 8	1952-53 1970-71 1967-68 1964-65 1970-71				
Каунас, агрометстанция (1952—1975 гг.)													
Гололед Изморозь зернистая кристаллическая Мокрый снег Сложное отложение	0,2 0,1 0,1	0,6 0,1 0,3	2 2 0,3 1	3 2 3 0,3 0,9	2 0,6 3 0,1 0,4	0,8 0,6 1 0,3	0,1 0,1 0,2	20 15 21 5 11	1957-58 1953-54 1969-70 1954-55 1959-60				

Таблица 47 Повторяемость (%) различной продолжительности обледенения проводов

				Прод	оля	кител	ьпо	сть,	ď		1	Средняя		Среднее
Процесс		<6		7-12		13-24	1	25 – 48	8	>48		годовая продолж тельност ч	11-11	число случаев за год
	Ви.	тьню	c,	гор	οд	(195	52	-196	4 r	г.)				
Нарастание Обледенение		79 45		15 30		6 19		5		1		$\frac{96}{215}$		18 18
	Вил	ьню	÷, .	AMC	СГ	(196	4	1978	5 r	r.)				
Нарастание Обледенение		67 39		19 33	-	12 20		1 6		$\frac{1}{2}$		169 315		25 25
	Каунас,	агр	OM	етст	ан	ния	(19	52-	-19	75 г	r.)			
Нарастание Обледенение		66 35		23 33		9 20		2 9		3		131 289		20 20

Таблица 52
Повторяемость метелей различной продолжительности т (% от общего числа случаев) (1946—1975 гг.)

				Прод	жкол	нтел	ьпос	ть, ч	[					
g	<1 1,1—3,0	1.1	6,1-9,0	9,1-12,0	12,1-15,0	15,1-18,0	18,1-21,0	21,1 -24,0	24,1 30,0	30,1 36,0	36,1 42,0	42,1-48,0	⊽ма ко	Дата

#### Вильнюс

5,8 | 6,31 | 16 | 23 | 27 | 15 | 8 | 4 | 1 | 2 | 1 | 2 | 0,4 | 0,4 | 0,2 | 42,1 | 28—30 | I 1972

#### Каунас

 $5,6 \mid 5,93 \mid 14 \mid 31 \mid 21 \mid 15 \mid 7 \mid 5 \mid 3 \mid 1 \mid 1 \mid 0,9 \mid 0,7 \mid 0,4 \mid 0,0 \mid 42,1 \mid 30 \text{ I} — 1 \text{ II } 1972$ 

## КЛИМАТИЧЕСКАЯ ХАРАКТЕРИСТИКА СЕЗОНОВ

#### Таблица 53

Даты наступления средних суточных температур воздуха выше и ниже определенных значений и число дней (n) с температурой, превышающей эти пределы в Вильнюсе (1918—1975 гг.)

> 5 °C	п	<-5 °C	2° 0<	n	೨. 0>	>5 °C	. "	>5 °C	>10 °C	n	<10 °C	>15 °C	и	<15 °C
17 II	316	31 XII	21 III	254	1 XII	12 IV	195	25 X	2 V	148	28 IX	5 VI	86	31 VIII

#### Таблица 54

Даты наступления средних суточных температур воздуха выше и ниже указанных значений различной интегральной повторяемости в Вильнюсе (1918—1975 гг.)

	Д	ara	1	Вероятность (%) наступления в указанные и более ранине даты									
Температура, С	средняя	самая ранняя	5	10	25	50	75	90	95	самая 1103Д- 11ЯЯ			
Выше 0° С Ниже 0° С Выше 10° С Ниже 10° С Выше 15° С Ниже 15° С	28 IX 5 VI	4 IX	26 II 6 XI 15 IV 12 IX 12 V 15 VIII	3 III 11 XI 19 IV 16 IX 16 V 19 VIII	13 III 18 XI 26 IV 21 IX 26 V 24 VIII	28 IX 5 VI	19 VI	5 IV 23 XII 13 V 9 X 1 VII 13 IX	31 XII 17 V 12 X	29 V 15VII			

Таблица 55 Сведения о температурном и ветровом режиме в наиболее теплую и наиболее холодную зимы в Вильнюсе

		Темпер	атура в	оздуха	°C			Скорс	сть вс	тра, з	M/C	
Месяц	средняя	отклоне- ине от пормы	абсолют- пый мак- симум	абсолют-	To Camera	растаю- шим ито-	1001	средняя	отклоне- ине от нормы	макси-	Мальная	Число дией с ме- телью
		Те	эплая :	знма	196	0-61	г,					
XI XII I II III За знму	2,5 2,3 3,1 0,0 2,8 0,9	1,4 5,5 2,7 5,1 3,7 3,7	13,4 10,5 3,5 5,1 15,0 15,0	—7, —2, —18, —5, —8, —18,	7 8 - 4 -	15, 24, 131, 152, 157,	8 6 4	3,0 2,4 2,9 2,4 3,9 2,9	0,9 1,7 1,3 1,8 0,1 1,2	10 9 7 14	0,0	0 0 2 4 4 10
		Хол	одная	зима	19-	11-42	г.					
ХІ ХІІ І ІІ ІІІ За знму	$\begin{bmatrix} -3,6 \\ -4,1 \\ -15,0 \\ -9,9 \\ -8,8 \\ -8,3 \end{bmatrix}$	-2,5 -0,9 -9,2 -4,8 -7,9 -5,1	3,8 8,0 1,4 0,8 3,6 8,0		2 - 2 - 4 - 3 -	—107, —258, —721, —993, -1268,	7 6 8	2,8 4,1 2,6 2,9 3,4 3,2	-1,1 0,0 -1,6 -1,3 -0,6 -0,9	14	0, 0, 0,	0 3 2 0 1 6
			Та	блица	56			·				
Среднее числ	о дней	без м через	орозо орозо	в, с і и б <b>е</b> з	тер От	еход тепе.	ом лей	темпе	ерату	ры	B <b>0</b> 3)	ıyxa
Число дней	Ţ	11   111	ιν	v	VI	VII	VII	ıı lx	х	ΧI	XII	Год
	F	Зильню	с, горо	од (19	18-	-1975	rı	·.)				
Без морозов С переходом Без оттепели	$\begin{bmatrix} 3\\8\\20 \end{bmatrix}$	$\begin{array}{c c} 3 & 7 \\ 9 & 16 \\ 16 & 8 \end{array}$	10	30	30	31	31	30	26 5	13 11 6	6 10 15	$\left \begin{array}{c}230\\70\\65\end{array}\right $
	E	онали	c, AMC	CΓ (19	18-	-1975	5 FI	r.)				
Без морозов С переходом Без оттепели	$\begin{bmatrix} 2 \\ 7 \\ 22 \end{bmatrix}$	3   7 9   14 16   10		30	30	31	31	30	25 6	12 11 7	4 10 17	223 70 72
	Kayı	нас, об	серват	орня	(19	221	975	rr.)				
Без морозов С переходом Без оттепели	3 9 19	$\begin{array}{c c} 4 & 7 \\ 9 & 16 \\ 15 & 8 \end{array}$	$\begin{bmatrix} 21 \\ 9 \\ . \end{bmatrix}$	30	30	31	31	30	27 4	16 10 4	7 10 14	237 68 60
	Кауна	ac, arp	ометст	анция	(1	922	197	5 rr.)				
Без морозов С переходом Без оттепели	3 9 19	4   7 9   16 15   8	19   11   •	30   3	30	31	31	30	$\begin{bmatrix} 25 \\ 6 \\ \cdot \end{bmatrix}$	16 10 4	7 10 14	233 72 60

Примечание. Точка (-) означает, что среднее в данном месяце менее 0,5.

Таблица 57

	#	среднее квадратическое отклонение (с)	
Чиспо	пией с оттепелью (х) и его	среднее квидрати теское отполнять	

XII	I		II				XII-	11		
$\overline{x}$ $\sigma$	<u></u>	σ	$\bar{x}$	σ	нан- боль- шее	год	$\overline{x}$	σ	наи- мень- шее	год
	_ '		Виль	нос (	1 1918—1	975 rr.)				
5,2   2,7	4,6	2,8 [	5,4	3,1	30	1974-75	15,3	5,8	2	1953-54
•			Кауна	ac (19	2219	75 rr.)				
4,5   2,2	2   4,6	2,8	4,8	2,8	23	[1943-44]	13,9	5,2	2	[1946-47

Таблица 58

# Сведения о температурном и ветровом режиме в наиболее теплое и наиболее холодное лето в Вильнюсе

Скорость ветра, м/с

Температура воздуха, °С

Число дней

Месяц	средняя	отклоне» ине от пормы	абсолют- ный мак- симум	абсолют- ный миня- мум	сумма темпера- тур нара- стающим нтогом	средияя	отклоне- ние от нормы	макси- мальная	c Berpow 0-1 M/c	с туманом	с грозой	коли- чество осад- ков, мм
				Теп	лое лето	196	3 г.					
V VI VII VIII IX За лето	16,9 15,8 20,0 19,6 14,1 17,3	3,0 1,8	28,1 25,3 34,5 34,3 28,6 34,5	4,0 4,6 8,4 7,3 —1,2 —1,2	552,6 996,6 1 615,9 2 222,2 2 643,8	2,5 2,0 1,6 1,4 1,7 1,8	$\begin{array}{c c} -1,1 \\ -1,5 \\ -1,4 \\ -1,7 \\ -1,7 \\ -1,5 \end{array}$	8,0 7,0 6,0 6,0 6,0 8,0	24 28 29 30 26 137	0 0 0 3 7 10	12 6 4 9 3 34	30,1 83,2 21,2 101,0 53,1 288,6
					дное ле:	ro 19	65 г.					
V VI VII VIII IX За лето	8,2 14,6 15,3 14,5 13,3 13,2	-2,4 $-2,1$ $1,0$	18,3 25,7 28,4 26,7 25,5 28,4	2,3   4,4   6,3   6,5   3,7  2,3	254,6 691,2 1 166,0 1 616,9 2 014,1	3,8 4,3 3,2 2,8 4,1 3,6	0,2 0,8 0,2 0,3 0,7 0,3	12,0 14,0 10,0 10,0 15,0 15,0	6 14 20 10	$\begin{vmatrix} 3 \\ -2 \\ 0 \\ 5 \\ 4 \\ 14 \end{vmatrix}$	$\begin{vmatrix} 3 \\ 6 \\ 6 \\ 3 \\ 24 \end{vmatrix}$	87,6 118,5 75,2 121,6 39,5 442,4

# ОСОБЕННОСТИ ГОРОДСКОГО КЛИМАТА

Таблица 59 Различия в термическом и ветровом режиме города и пригорода

		Вил	ьиюс (1	949 1954	rr.)	Ка	унас (198	i01954	r <b>r.</b> )
			Тем	ператур	a, °C		Тем	ператур	a, ºC
Месяцы	Пункт наблюдений	Ско- рость ветра, м/с	средняя за месяц	средний максимум	средний минимум	Ско- рость ветра, м/с	средняя за месяц	средний максимум	средний минимум
Январь	Город Пригород Разность	3,4 4,8 —1,4	—5,9 —6,5 0,6	-3,2 -4,0 0,8	-8,7 -9,2 0,5	3,5 4,5 —1,0	6,0 6,3 0,3	-3,4 3,9 0,5	8,8 9,3 0,5

			2,						
		Bii	льнюе (1			Ka	унас (19		
	77		Te	иператур	a, °C		Tex	ператур	a, °C
Месяцы	Пункт наблюдений	Ско- рость ветра, м/с	средняя за месяц	средний максимум	средний минимум	Ско- рость ветра, м/с	средняя за месяц	средний максимум	средний минимум
Февраль	Город	3,3	5,2	-2,2	8,3	3,4	-5,4	-2,6	8,2
	Пригород	4,8	5,8	-3,1	8,5	4,1	-5,8	-2,7	8,9
	Разность	—1,5	0,6	0,9	0,2	0,7	0,4	0,1	0,7
Март	Город	3,1	1,9	2,1	-5,5	3,3	—1,5	2,3	5,0
	Пригород	4,1	2,6	1,0	-6,0	3,8	—2,0	1,9	5,7
	Разность	—1,0	0,7	1,1	0,5	—0,5	0,5	0,4	0,7
Апрель	Город	3,2	7,4	12,7	2,4	3,1	7,6	12,6	3,1
	Пригород	4,2	6,6	11,6	2,1	3,7	7,1	12,2	2,4
	Разность	—1,0	0,8	1,1	0,3	—0,6	0,5	0,4	0,7
Maii	Город	2,9	12,6	18,4	7,1	2,8	12,1	17,2	7,0
	Пригород	3,8	11,9	17,2	6,8	3,5	11,7	17,4	6,3
	Разность	—0,9	0,7	1,2	0,3	—0,7	0,4	0,3	0,7
Июнь	Город	2,8	16,5	22,2	11,1	2,5	16,6	22,1	11,2
	Пригород	3,6	15,6	20,8	10,8	3,2	16,1	21,8	10,0
	Разность	0,8	0,9	1,4	0,3	0,7	0,5	0,3	1,2
Июль	Город	2,6	17,6	23,0	12,8	2,5	17,4	22,6	12,7
	Пригород	3,4	16,7	21,8	12,3	3,0	16,9	22,5	11,7
	Разность	—0,8	0,9	1,2	0,5	—0,5	0,5	0,1	1,0
Август	Город	2,5	17,0	22,5	12,3	2,3	17,2	22,4	12,7
	Пригород	3,2	16,4	21,3	11,9	2,8	16,8	22,3	11,7
	Разность	—0,7	0,6	1,2	0,4	0,5	0,4	0,1	1,0
Сентябрь	Город	2,6	13,0	18,1	9,0	2,9	12,9	17,5	9,2
	Пригород	3,5	12,3	17,0	8,5	3,3	12,5	17,3	8,4
	Разность	—0,9	0,7	1,1	0,5	—0,4	0,4	0,2	0,8
Октябрь	Город	3,0	6,6	10,2	3,9	3,2	6,8	10,1	4,0
	Пригород	4,2	5,9	9,4	3,3	3,8	6,5	10,0	3,5
	Разность	—1,2	0,7	0,8	0,6	—0,6	0,3	0,1	0,5
Ноябрь	Город	3,6	1,4	3,6	0,4	4,3	1,5	3,6	-0,4
	Пригород	5,5	0,8	2,8	1,0	4,9	1,4	3,6	0,5
	Разность	—1,9	0,6	0,8	0,6	—0,6	0,1	0,0	0,1
Декабрь	Город	3,7	1,0	1,0	2,7	3,8	-0,8	1,1	-2,8
	Пригород	5,1	1,6	1,1	3,4	4,6	-0,9	1,1	-3,0
	Разность	—1,4	0,6	0,1	0,7	—0,8	0,1	0,0	0,2
Год	Город	3,0	6,5	10,7	2,8	3,0	6,6	10,5	2,9
	Пригород	4,2	5,8	9,7	2,3	3,7	6,2	10,3	2,3
	Разность	—1,2	0,7	1,0	0,5	—0,7	0,4	0,2	0,6
1	l				I	I	-	1	

Таблица 60 Различия в режиме влажности города и пригорода

Tuoni in 2 pointie 2 in													
Характеристика	I	II	111	ıv	v	VI	шу	VIII	IX	x	XI	XII	Год
	Ви	льнюс,	город	— AM	Cr (194	19—195	4 гг.)						
Упругость водяного пара, гПа	0,1	0,1	0,1	0	0	0,3	0,2	0,2	0,2	0,2	0,2	0,1	0,1
Относительная влажность, %													
за 03 ч	1,8	2,2	2,0	1,8	0,2	0,3	—1,5	0,2	1,7	2,0	<b>—2,0</b>	2,7	1,5
за 15 ч	3,8	3,7	<b>—5,7</b>	3,8	-4,3	-3,0	2,7	3,0	<b>—</b> 2,5	1,6	—1,5	1,9	3,4
за сутки	1,7	1,8	3,3	4,7	2,8	2,3	2,7	<b>—1,</b> 5	2,5	<b>—</b> 2,2	2,0	3,0	2,5
Недостаток насыщения, гПа	0,1	0,1	0,2	0,6	0,8	0,9	0,9	0,7	0,6	0,4	0,2	0,2	0,5
Kaj	унас, об	бсерват	ория –	– агром	цетстан	нция (1	95019	54 rr. <b>)</b>					
Упругость водяного пара, гПа	0,1	0,1	0	0	0	0,2	0,1	0,1	0,1	0,2	0	0	0,1
Относительная влажность, %													
за 03 ч	0,6	0,2	0,8	-2,0	-3,0	3,4	-3,2	-3,4	-1,2	0,4	0,2	0,6	-1,4
за 15 ч	0,8	<b>0,</b> 6	0,8	<b>—1,</b> 2	<b>—2,</b> 2	0,4	0	0,8	0,4	1,4	0,8	0,6	0,1
за сутки	0,8	0	0,4	-3,8	0,8	0,6	_1,2	<b>—1,</b> 2	-0,6	0,2	0.4	0,8	0,7
Недостаток насыщения, гПа	0	0	0,1	0,2	0,2	0,3	0,3	0,3	0,2	0	0	0	0,1

Таблица 61 Различия в режимах облачности (баллы) и атмосферных явлений (число дней) города и пригорода

у теретини (шеме длему гереда и прис														
Характеристика		I	11	III	IV	v	VΙ	VII	VIII	IX	х	ХI	XII	Год
Вильнюс, город — АМСГ (1949—1954 гг.)														
Туман		<del>-7</del>	5	3	1	<b>—</b> 1	<del>-1</del>	<b>-</b> 2	<b>—</b> 3	—3	-4	<u> </u>	8	44
Метель		1	_0,3	-0,2	0,1						-4 0,3 0,2 0,0	0,0	0,2	1,5
Гроза					0,3	0,6	0,2	0,6	0,7	0,1	-0,2			0,3
Град					0,0	0,0	0,0	0,0	0,0	-0,2	0,0			0,2
Облачность общая		-0,1	0,0				0,2			0,1			<b>—0,</b> 2	0,1
<b>е</b> кнжин		0,4	0,5	0,6	0,4	0,2	0,1	0,3	0,3	0,5	0,3	0,2	0,3	0,3
Каунас, обсерватория — агрометстанция (1950—1954 гг.)														
Туман		0	2	2	2	1	0	0	1	1	1	1	3	12
Метель		2,5	1,3	0,2	0,7						0,3 0,0 —0,4	0,0	0,5	2,5
Гроза					0,4	0,0	0,2	0,0	1,6	0,8	0,0		,	2,4
Град					0,4	0,6	0,0	0,0	-0,2	-0,2	-0,4			<b>—0,</b> 6
Облачность общая		0,0							i	i			l	
<b>Р</b>	•	0,2	0,5	0,1	0,4	-0,4	-0,5	-0,4	0,6	0,4	0,4 0,4	0,3	-0,2	-0,3

# ОГЛАВЛЕНИЕ

ПРЕДИСЛОВИЕ	5 5
The manufacture and the second	_
1.1. Историческое развитие Вильнюса и Каунаса 1.2. Физико-географическое местоположение Вильнюса и Каунаса 1.3. Краткая характеристика метеорологических наблюдений 1.4. Общая характеристика климата	11 17 22 25
2. РАДИАЦИОННЫЙ И СВЕТОВОЙ РЕЖИМ	25
2.1. Астрономические факторы и солнечное сияние	29 33 37
3. ОСОБЕННОСТИ АТМОСФЕРНОЙ ЦИРКУЛЯЦИИ	40
3.1. Погодообразующие механизмы 3.2. Давление воздуха 3.3. Ветер	49 51 60
4. ТЕРМИЧЕСКИЙ РЕЖИМ	_
4.1. Годовой и суточный ход температуры воздуха	66 70 73
с режим атмосферного УВЛАЖНЕНИЯ	/3
5.1. Влажность воздуха	77 83 86
6 РЕЖИМ ОБЛАЧНОСТИ И АТМОСФЕРНЫЕ ЯВЛЕНИЯ	91
6.1. Облачность	95 101 103 107
7. КЛИМАТИЧЕСКАЯ ХАРАКТЕРИСТИКА СЕЗОНОВ	
7.2. Знма	113 116 119 122 124
8. ОСОБЕННОСТИ ГОРОДСКОГО КЛИМАТА	124
лнчий	127 133
9. ЗАГРЯЗНЕННОСТЬ ВОЗДУХА В ВИЛЬНЮСЕ И КАУНАСЕ .	147
9.1. Атмосферные примеси в различных городских районах . 9.2. Временные колебания атмосферных примесей	152 156
приложение 1 номограммы для расчета темпера-	160
ТУРЫ	166